

ISSN—0132—1447
საქართველოს
გიგანტი

594
1986

საქართველოს სსრ
აკადემიის აკადემიუ

АМЕДАС СООБЩЕНИЯ

АКАДЕМИИ НАУК
ГРУЗИНСКОЙ ССР

BULLETIN

OF THE ACADEMY OF SCIENCES
OF THE GEORGIAN SSR

ტომი 123 თომ

№ 2

აგვისტო 1986 ავგуст

თბილისი * ТБИЛИСИ * TBILISI

1986
საქართველოს სსრ
მეცნიერებათა აკადემიის
გამოცემა

საქართველოს სსრ
მეცნიერებათა აკადემიის
გამოცემა

გოგონები
СООБЩЕНИЯ

АКАДЕМИИ НАУК
ГРУЗИНСКОЙ ССР

BULLETIN
OF THE ACADEMY OF SCIENCES
OF THE GEORGIAN SSR

ტომი 123 თომ

№ 2

აგვისტო 1986 ავგуст

ს ა რ მ დ ა ხ ც ი მ ა მ ლ მ გ ი ბ ი ს

ე. ანდრიაშვილი, ა. აფაქიძე, ბ. ბალავაძე, ა. ბიჭაძე, ლ. გაბუნია (მთავარი რედაქტორის
მოადგილე), თ. გამყრულიძე, გ. გომელაური, ა. გუნია (მთავარი რედაქტორის
მთავარი მოადგილე), ს. დურმიშიძე, ა. თავხელიძე, ჭ. ლიმინაძე (მთავარი რედაქტორის
მთავარი მოადგილე), გ. მელაქიშვილი, თ. ონაანი, ე. სენანიშვილი, ა. ფრანგიშვილი,
ო. ფრანგიშვილი, ა. ცაჟარელი, გ. ციცელიშვილი, ა. ძაძიგურია, შ. ძიძიგური,
გ. ხარიტიშვილი, ე. ხარაძე (მთავარი რედაქტორი),
ნ. ჯავახიშვილი, გ. ჯიბლაძე

РЕДАКЦИОННАЯ КОЛЛЕГИЯ

ე. ლ. Андronикашвили, ა. მ. Апакидзе, ბ. კ. Балавадзе, ა. ვ. Бицадзе,
ლ. კ. Габуния (заместитель главного редактора), თ. ვ. Гамкрелидзе,
ვ. И. Гомелаури, А. Л. Гуния (заместитель главного редактора).
Н. А. Джавахишвили, Г. Н. Джибладзе, А. А. Дзидзигури,
Ш. В. Дзидзигури, С. В. Дурмишидзе, Д. Г. Ломинадзе
(заместитель главного редактора), Г. А. Меликишвили,
Т. Н. Онiani, А. С. Прангishвили, И. В. Прангishвили,
Э. А. Сехниашвили, А. Н. Тавхелидзе, Е. К. Харадзе
(главный редактор), Г. В. Харатишвили,
А. Л. Цагарели, Г. В. Цицишвили

პასუხისმგებელი მდინარე მ/შ ა. ტერ-ოგანვი
И/о ответственного секретаря А. К. Тер-Оганов

გადაეცა ასაშუობად 7.7.1986; ხელმოწერილია ფასაბეჭდად 26.8.1986; შექვ.
№ 2155; ანაშენიბის ზომა $7 \times 12\frac{3}{4}$; ქაღალდის ზომა 70×108 ; ფიზიკური ფურცე-
ლი 14: სალრიცხვო-საგამომცემლო ფურცელი 18,5; ნაბეჭდი ფურცელი 19,6;
უ. 04267: ტირაჟი 1400: ფასი 1 მან. 90 კაპ.

Сдано в набор 7.7.1986; подписано к печати 26.8.1986; зак. № 2155; размер
набора $7 \times 12\frac{3}{4}$; размер бумаги 70×108 ; физический лист 14; уч. издатель-
ский лист 18,5; печатный лист 19,6; УЭ 04267; тираж 1400;
цена 1 руб. 90 коп.

* * *

საქართველოს სსრ მეცნ. აკადემიის სტამბა, თბილისი, 380060, კუტუზოვის ქ., 19
Типография АН Грузинской ССР, Тбилиси 380060, ул. Кутузова, 19

გამომცემლობა „მეცნიერება“, თბილისი, 380060, კუტუზოვის ქ., 19
Издательство «Мецнериба», Тбилиси 380060, ул. Кутузова, 19

థర్నారసి

బాటమాతికా

*. కాలాంచింశ్విల్. డేరిసె సిఎర్ప్రెషిస్ శేసాంగె	244
*. శాసుక్కె. కృష్ణిసె అమ్మాన్‌బాండ్రె రాఘవాన్‌లిల్. వ్యాపారమార్పుల్. మార్కెట్‌సె అమ్మాన్‌బి	248
*. నిశాఖాక్కె. G-చోమాతా శింగియ్‌రట్టి గ్రెంప్రెట్రిష్యుల్. ట్విస్ట్‌బిస్సె శేసాంగె	251
*. లాంచింగ్‌వా. త. కుమార్ కుమార్. గ్రెంప్రెల్సె ఫోరమ్‌మ్యూల్. స్టేమిమార్కెట్‌ఇంగాల్సెప్‌ట్రెంట్‌సాంగెసె డా మిసి గామప్రెస్సెబా ర్యాప్‌రెస్ట్‌ట్రైల్. శేఫ్టాస్టెబిసాసె	256
*. శ్రుధలాక్కె. నర్సి కృమిప్లేస్‌శ్రుధీ ప్రెంట్‌సిసె అనాలిష్‌శ్రుధీ ఫ్రెంచ్‌ప్రొస్ట్రీట్‌ట్రైల్. వీట్‌ట్రైల్-ర్యాప్‌ట్రైల్ గాన్‌సాంగ్‌ట్రైప్‌ట్రైల్‌టాతా శేసాంగె	260
*. శ్రీలాక్కె. ఫ్రెంచ్ — తొందిసె ప్రెంచ్‌రింగ్‌టా L-శి ల్యాప్‌టాప్‌టాప్‌టాప్ క్ర్యూడాఫ్‌టాప్ శేసాంగె	263

బిహారికా

*. కాలాండాక్కె. బ. పొర్కెక్కిక్కె. కొడ్యుల్. డాగింగ్‌శిసె వాగణిసె సాముక్కుశ్శే కాలిసె ర్యాప్‌ట్రైల్‌బాండి డామ్పేర్లి మిష్ట్‌ప్రాంబిల్మాంబిసె అంగార్హిశ్శీ	268
*. క్రూపించ. శ్రూల్యుద్యుర్లి మిఠ్లెంగ్‌బి మొప్పుల్లాంబిసె గావ్లెన్. మర్క్వాల్‌సాఫ్ట్‌ప్రైస్‌శ్రుంగిం. తిండ్రం-సాక్రాంసిపెంక్రిం సిస్ట్రేమిసె శేమాల్‌గ్రెన్‌ల్పి సాఫ్ట్‌ప్రైస్‌బిసె ఫ్రెంచ్‌ప్రింసింగ్‌బిసె అంగాంబాంగ్	271

జింబికా

*. కాలశిలాక్కె. త. క్రమ్మిశాక్కె. బ. శాసిస్తుంచాక్కె. త. తాండాగార్లు. ప. గ్రాంశ్విల్. ల. భాజించాక్కె. స. న్యామిసాక్కె. మాగ్నిట్‌ట్రమ్‌బ్రింగ్‌మొహంబాంగ్‌బి డామ్పింగ్‌బిట్టి p-n -గాఫాసాస్‌ప్రెల్సె గావ్లెన్‌బిసె గామ్‌ప్రెల్సెవ్వా	276
*. అధ్యర్థాన్‌సా. ఉర్తియేర్తిండ్‌ప్రైస్‌బిసె వ. మ. ద-సి మిమార్తుల్యేబిసె గాన్‌సాంగ్‌ల్వర్లిసె సాక్రి-తసిసాంగెసె	280

బించించికా

*. క్రూర్లు, గ. మానాగాక్కె. నర్సి నీంపుంట్రైల్‌బ్రెంచ్ స్క్రేప్లిసె పారామ్ప్రైట్‌బిసె గాన్-సాంగ్‌ర్లా గ్రావ్‌ప్రోట్‌ప్రోట్ల్. మిన్‌ప్రెంగ్‌టి	283
*. క్రారిత్వ్‌ప్రెలింశ్విల్. ఆ. మిండ్‌గ్రెల్. త. గ్రాన్‌ప్రెలాక్కె. ఆ. శ్రీశింహ్. ఏ. డ్రెఫామిషిస్ ల్యాప్‌టాప్‌టాప్ గ్రావ్‌ప్రోట్‌ప్రోట్ల్ మింప్రెంగ్‌టి	288
*. క్రాంతాక్కె. సింగ్‌ప్రోల్. గాన్‌సాంగ్‌ల్వర్లిసె ఫోరమ్‌మ్యూల్. గ్రెంప్రెస్ట్‌బిసె ప్రోట్‌ప్రోట్ల్ మింప్రెంగ్‌టి	292
*. లింగ్‌ర్సించ. ల. న్యాప్‌ప్రెలింశ్విల్. కింటిసె డ్యూప్‌ట్రైల్‌ర్లు అంగాంగ్‌బిసె క్రిస్‌ట్రాల్‌ప్రైస్‌బిసె ప్రోట్‌ప్రోట్ల్ మిన్‌ప్రెంగ్‌టి	294

* వార్క్‌ప్రోల్ అంసిషన్‌ల్లి సాతాస్టర్ వ్యూట్‌ప్రోల్ ప్రోట్‌ప్రోట్ల్ మిన్‌ప్రెంగ్‌టి

ანალიზური მიმღა

*6. შათორუშვილი, ხ. პატარა აია. სპირტ-წყალნარევების ანალიზი გაზურთხევადა-დასრულდებოდა ქრომატოგრაფიის მეთოდითა და კვარცულ კაპილარულ სვეტებზე

299

ზოგადი და არაორგანული მიმღა

*3. ნუცუბიძე, ჭ. ჩაჩინაძენი, ვ. ჩეჩერნიკოვი, მ. სლოვიანსკინი. $\text{Li}_4\text{U}_5\text{Si}_6$ (Ln-P33) ტიპის ნაერთების მაგნიტური თვისებები

303

*6. ტუფინაშვილი, ო. ჩიქოვანი, გ. ყორანაშვილი, ნ. ფირცხლავა, ა. გარნოვსკი. ბორის ჰალოგენიდების კომპლექსნაერთები მეტალელატებთან

307

*6. მექედიშვილი, ა. კალანდია, ი. ლეიინი. გეოთერმული წყლიდან კალციუმისა და მაგნიტუმის დალექციის კინეტიკა

312

აზისიკური მიმღა

*3. ბენაშვილი, მ. არეშიძე. სამგრიძის ნავთობის ნავთ-გაზოილის ფრაქციის და ვაუუმ-დისტილატების თერმოკატალიზური გარდაქმნები

315

*3. სილაგაძე, გ. ციციშვილი (საქ. სსრ მეცნ. აკადემიის აკადემიკოსი), შ. სიდამონიძე. მეტალრანის ადსორბციის მიკროკალორიმეტრული გამოკვლევა ს და ZSM-5 ტიპის ცეოლითზე

319

მლეჩტრომიგრა

*4. ენუქეიძე, ჭ. ჭაფარიძე, ვ. შავგულიძე. ტრიბენზილამინის ორიენტაციის გავლენა ზოგიერთი ინიციატივის განხილვის კინეტიკაზე მეთანოლის და ეთანოლის მეცნიერებიდან

324

მიმღირი ტიპოლოგია

*4. აგლაძე (საქ. სსრ მეცნ. აკადემიის აკადემიკოსი), ნ. გოფმანი, ო. საღუნაშვილი, ი. გვალია. უანგელულთა ნახევარგამტარული თვისების გათვალისწინების საკითხისათვის ელექტროლიტური მანგანუმის ორეანგის წარმოებაში

327

ჰიდროლოგია

*3. გერმერიკი, ი. ხომერიკი, ზ. წერეთელი. არაფორმალური გადაწყვეტანი მდინარეთა სისტემის იმიტაციურ მოდელებში

332

გეოლოგია

*3. ჩუბინიძე. ადლერის დეპრესიის პალეოცენური ნალექების ზონალური სტრატიგრაფია პლანქტონური ფორამინიფერების მიხედვით

335

მანქანათმოცვენობა

*3. ლვინერია, თ. კოჩაძე, ვ. ნემცოვი. დინამიკური დატერითოების გაანგარიშების მეთოდი 4×4 ტიპის სასოფლო-სამეურნეო აეტომობილის დაკიდების სისტემაში დამუშავებების რეესტრზე

340

*3. ჭაფარიძე. ბურბუშელას მოუსანელად სახარატო ჩარხების დამტკირთვი მოწყობილობის მუშა ზონაში ძალების ექსპერიმენტული განსაზღვრა

344

*4. თავესელიძე (საქ. სსრ მეცნ. აკად. აკადემიკოსი), ქ. მატვეევი. სახსრიანი მექანიზმების წრიული მიმმართველებით

347

වෙතාපුරුණයි

- | |
|--|
| * ⁴ . ბ ე რ ი ტ ა ძ ე , ვ . ი უ ხ ვ ი ღ ი , გ . თ ა ვ ა ძ ე , ს . მ ა მ ი ა ნ ი , ა . მ ე რ უ ა ნ ო - ვ ი ი ნ ტ ე რ უ ლ ი დანამატის გ ა ვ ლ ე ნ ა წ ვ ი ს კ ა ნ ი ნ ზ მ ი ე რ ე ბ ა ზ ე ს ი ს ტ ე მ ი ს ი ს თ ვ ი ს 351 |
| * ⁵ . ს ი ა მ ა შ ვ ი ლ ი . ა რ ხ ს გ ა ნ ი ვ ე ვ ე თ ი ს ფ ო რ მ ი ს გ ა თ ვ ა ლ ი ს წ ი ნ ე ბ ი ს შ ე ს ა ხ ე ბ ნ კ ა ღ ი ს დ ა ს ა შ ვ ე ბ ი ს ი ჩ ქ ა რ ე ბ ი ს დ ა ღ გ ე ნ ი ს ა ს 356 |
| * ⁶ . გ ე ღ ე ნ ი ძ ე . მ რ ა ვ ა ლ თ ა ლ თ ვ ა ნ ი კ ა შ ხ ა ლ ი ს გ ა თ ა ხ უ რ ვ ი ს კ ი დ ი ს ე ფ ე რ ი ს გ ა მ ი კ ლ ე ვ ა 359 |

၁၉၁၂ခုနှစ်ရက်စွဲ

- *8. სურგულაძე, ე. დ.ერბაკოვა, ი. მაკაროვი, ვ. ნიკიშინი, ი. სუბორინი, გ. ფურსინი. ზემაღლი სისტრატის და ზემაღლი სიდიდის ინტეგრაციური სქემების ახალი თაობის შექმნის ზოგიერთი საკითხი

ავტომატური გარემა და გამოთვლითი ჟურნალი

- | | |
|--|-----|
| *၃. မင်္ဂလာရုပ်သွေ့လူ၏ အကျဉ်းချုပ်ရုပ်ပေါ်၏ ဖွံ့ဖြိုးဆောင် စီလှေနှင့် စာမျက်နှာများ၏ အကျဉ်းချုပ် | 368 |
| *၄. ဘဏ်ရုပ်သွေ့လူ၏ အကျဉ်းချုပ်ရုပ်ပေါ်၏ ဖွံ့ဖြိုးဆောင် စီလှေနှင့် စာမျက်နှာများ၏ အကျဉ်းချုပ် | 371 |

გოტანიკა

ადამიანისა და ცოდველთა ფიზიოლოგია

ବିଦ୍ୟାକାରୀ

- ९. सूर्य कोला के. *Bacillus intermedius* 7P लिंबन्स्कील्डार्स निकीडीर्केडिस थ्रिफ्टनिक्सि
Zn²⁺ उत्तेजक 399
 - १०. तुम्हारी शृंखला, जे. सूर्य कोला के. *Sphaerotilus* निकीडीर्केडिस लिंबन्स्कील्डार्स
फुटोलिप्पेशन स्प्रेक्सिडिस फॉर्म्स 404

၁၆၈

- * సి. సంక్రితాగా. *Anopleles maculipennis* Meigan కుమపల్లెసిస్ సాక్షేంబాతా గాగ్రఫ్రె-
ల్యెడిస్ శ్రేఫారండ్రెబా పాల్కెచ్చల తిట్సాసమీర్చరొస్ల శింక్షేపాతాన దా లాండ్షాఫ్ట్రేపాతాన దా-
సాగ్గెల్చెత సహారోవ్వెలమ్మిం 408

კარაზიტოლოგია და ჰელმინთოლოგია

- თ. გურგენიძე, გ. კაპულია, ც. დევდარიანი, ლ. მაღლაკელიძე.
ზოგიერთი ბიოლოგიური ინსტრიტუმენტის შოქმედების შესწავლა *Culex pipiens modestus* Forskal, 1775 და *Aedes aegypti* Linnaeus, 1762 კოლექტზე 409

ଓଡ଼ିଆ

- * გ ღ გ ი ჩ ა ძ ე , ნ . ქ ა ჭ ა რ ა ვ ა . კ უ ნ თ ო ვ ა ნ ი ქ ს ვ ი ლ ი ს . ე ლ ე ტ ე რ ი რ მ ი რ ს კ უ პ უ ლ ი შ ე ს წ ე ლ დ ა . ო რ გ ა ნ ი ზ მ ხ ე ს ტ ა ფ ი ლ კ უ კ ი ს . ტ ა ქ ს ი ნ ი ს . მ ო ქ მ ე დ ე ბ ი ს ა ს . ო რ გ ა ნ ი ზ მ ი ს . ს ა - ე რ თ მ გ ა დ ა ხ უ რ ე ბ ი ს . ფ რ ნ შ ე

415

ବେଶ୍ୟାକରଣଙ୍କୁ ନେଇ ଦେଇବାରେ

- *డ. డాక్టరింగ్, వి. భి.శ్రీనారాయణ, ని. ప్రాపణ్ కెన్జెంషన్ లోని మిలన్‌స్టేట్‌లోని తొలి బెసిస్‌ర్యూమ్ లు దా తొలి మాట్లాడు. అందుల్లో ప్రాపణ్ కెన్జెంషన్ లోని మిలన్‌స్టేట్ లోని తొలి బెసిస్‌ర్యూమ్ లు దా తొలి మాట్లాడు.

420

423

ეგონომიკა

428

ენათმეცნიერება

- ඩ. තුරඟ ගේ නොදු වූ මත්‍යාලා -išin තුරඟුවලි ගෙනිස් සිපාසාස් දාලයෝග්‍රීම්
ඩ. තුරඟ ප්‍රධාන දැනු මෙහෙයුම් ප්‍රධානීයි තාමාත්‍රි ප්‍රජාත්‍යාම්‍ර-ක්‍රිජ්‍යිඩාරු ගෙන්ඩර් 433

429

437

არქეოლოგია

441

СОДЕРЖАНИЕ

МАТЕМАТИКА

А. Б. Харазишивили. О бэрсовских пространствах	241
З. Г. Шанидзе. Задачи автоматического управления, приводимые к задачам Коши	245
Г. В. Нижарадзе. О некоторых геометрических свойствах G-мер	249
Н. Л. Лазриева, Т. А. Торонджадзе. Формула Ито—Вентцеля для семимартингалов и ее применение к рекуррентному оцениванию	253
М. Ш. Шубладзе. О линейных изолированных особенностях аналитических функций двух комплексных переменных	257
Ш. В. Хеладзе. О безусловной сходимости рядов Фурье—Хаара в смысле метрики L	261

МЕХАНИКА

В. А. Каландадзе, Н. Р. Цирекидзе. Расчет ловительного устройства вагонов подвесной канатной дороги с регулируемым тормозным усилием	265
М. Т. Куция. Влияние промежуточной емкости на вероятность функционирования составных ступеней многоступенчатой гидротранспортной системы	269

ФИЗИКА

Н. Ш. Харшиладзе, Т. Д. Камушадзе, Н. И. Майсурадзе, Т. Г. Табагари, И. П. Гикошивили, Л. Ш. Бакрадзе, С. Г. Немсадзе. Исследование влияния дополнительного р—п-перехода на магниточувствительность магнитодиода	273
А. Н. Абурджания. К вопросу определения направления э.д.с. взаимной индукции	277

ГЕОФИЗИКА

А. В. Кудря, Р. Г. Манагадзе. Определение параметров двух изолированных тел по гравитационным данным	281
К. М. Картивелишвили, П. Ш. Миндели, Т. А. Гванцеладзе, А. М. Бешидзе. Комбинированный метод построения гравитационной модели литосферы Земли	285
Д. В. Капанадзе. О единственности определения формы тела по значениям его внешнего потенциала	289
А. Л. Литвин, Д. Т. Нацвлишвили. Изучение горизонтальной неоднородности поверхности кристаллического фундамента Рионской депрессии по данным сейсмического метода преломленных волн	293

* Заглавие, отмеченное звездочкой, относится к резюме статьи.

АНАЛИТИЧЕСКАЯ ХИМИЯ

- И. Ш. Шатиришвили, Х. З. Патарая. Анализ спиртово-водных смесей методом газожидкостно-адсорбционной хроматографии и на кварцевых капиллярных колонках

297

ОБЩАЯ И НЕОРГАНИЧЕСКАЯ ХИМИЯ

- П. В. Нуцубидзе, З. Б. Чачхиани, В. И. Чечерников, В. К. Словянских. Магнитные свойства соединений типа $\text{Ln}_4\text{U}_5\text{S}_{16}$ (Ln —РЗЭ)

301

- Н. А. Тупинашвили, О. Н. Чиковани, Г. В. Коранашили, Н. И. Пирцхалава, А. Д. Гарновский. Комплексные соединения галогенидов бора с металло-хелатами

305

- Н. И. Меквабишвили, А. А. Каландия, Ю. А. Лейкин. Кинетика осаждения кальция и магния из геотермальных вод

309

ФИЗИЧЕСКАЯ ХИМИЯ

- Е. М. Бенашвили, М. Л. Арещидзе. Термокатализитические превращения керосино-газойлевой фракции и вакуумных дистиллятов Самгорской нефти

314

- М. Д. Силагадзе, Г. В. Цицишвили (академик АН ГССР), Ш. И. Сидамонидзе. Микрокалориметрические исследования адсорбции метфорана на цеолитах типа L и ZSM-5

317

ЭЛЕКТРОХИМИЯ

- Л. Г. Енукидзе, Дж. И. Джапаридзе, В. В. Шавгулидзе. Влияние ориентации трибензиламина на кинетику разряда некоторых ионов из кислых метанольных и этанольных растворов

321

ХИМИЧЕСКАЯ ТЕХНОЛОГИЯ

- Р. И. Агладзе (академик АН ГССР), Н. Т. Гофман, О. С. Садунишили, И. Г. Гвалия. К вопросу учета полупроводниковых свойств оксидов в производстве ЭДМ-2

325

ГИДРОЛОГИЯ

- М. И. Гершкович, И. В. Хомерики, З. И. Церетели. Неформальные решения в имитационных моделях речных систем

329

ГЕОЛОГИЯ

- М. Ш. Чубинидзе. Зональная стратиграфия палеоценовых отложений Адлерской депрессии по планктонным фораминиферам

333

МАШИНОВЕДЕНИЕ

- К. И. Гвинерия, Т. П. Коцадзе, В. В. Немцов. Метод расчета динамических нагрузок в системе подпрессоривания с/х автомобиля типа 4×4 на режиме торможения

337

Г. К. Джапаридзе. Экспериментальное определение усилий в рабочей зоне нагружочного устройства для испытания токарных станков без снятия стружки	341
Д. С. Тавхелидзе (академик АН ГССР), К. К. Матвеев. Шарнирные механизмы с круговой направляющей	345
 МЕТАЛЛУРГИЯ	
Д. Т. Бежитадзе, В. И. Юхвид, Г. Ф. Тавадзе, С. С. Мамян, А. Г. Мержанов. Влияние инертной добавки на закономерности горения в системах $V_2O_5-Al-SiO_2$ и $V_2O_5-Al-Si$	349
 ГИДРОТЕХНИКА	
А. Р. Сиамашвили. Об учете влияния формы поперечного сечения каналов при установлении допускаемых (неразмывающих) скоростей потока	353
З. Ш. Геденидзе. Исследование краевого эффекта перекрытия многоарочной плотины	357
 ЭЛЕКТРОТЕХНИКА	
М. Ш. Сургуладзе, Е. П. Дербакова, И. П. Макаров, В. И. Никишин, Ю. Н. Субботин, Г. И. Фурсин. Некоторые вопросы создания нового поколения ССИС и СБИС	361
 АВТОМАТИЧЕСКОЕ УПРАВЛЕНИЕ И ВЫЧИСЛИТ. ТЕХНИКА	
В. В. Мдзинаришвили. Оценка параметров в полностью наблюдаемых нелинейных стохастических системах управления	365
И. А. Горгидзе. Согласованное управление в бинарных активных системах	369
 БОТАНИКА	
Дж. Н. Анели. Способ выявления микрозилок листа	373
Э. Я. Кобасnidзе, Г. Е. Гваладзе. К изучению эндосперма смородины	377
Л. К. Радченко, З. Д. Манджавидзе. Динамика некоторых показателей водного режима древесных реликтов талыша, интродуцированных в Тбилисском ботаническом саду	381
 ФИЗИОЛОГИЯ ЧЕЛОВЕКА И ЖИВОТНЫХ	
И. Н. Киквадзе. Влияние разрушения синего пятна на вызванную пароксизмальную электрическую активность гиппокампа	385
Т. Э. Адамия. Влияние антихолинергических и антихолинэстеразных веществ на обучение и динамику местного кровотока в коре головного мозга у крыс	389



Ц. Г. Сукнидзе. Влияние кавинтона на раннюю стадию экспериментально-го информационного невроза и на устойчивость нервной системы к информационной патологии

393

БИОХИМИЯ

З. Г. Сурвиладзе. Механизм ингибирования рибонуклеазы *Bacillus intermedius* 7Р ионами Zn^{2+}

397

Л. Ш. Тушишвили, К. В. Сулаберидзе. Динамика содержания стеринов в листьях цитрусовых в период покоя

401

ЭНТОМОЛОГИЯ

Ш. Г. Сичинава. Приуроченность видов комплекса *Anopheles maculipennis* Meigen к отдельным гипсометрическим зонам и ландшафтам Западной Грузии

405

ПАРАЗИТОЛОГИЯ И ГЕЛЬМINTОЛОГИЯ

Т. В. Гургенидзе, Г. А. Какулия, Ц. Г. Девдариани, Л. К. Маглакелидзе. Изучение инсектицидного действия ряда биологических инсектицидов на комаров *Culex pipiens molestus* Forskal, 1775 и *Aedes aegypti* Linnaeus, 1762

411

ЦИТОЛОГИЯ

Г. К. Гогичадзе, Н. Н. Кацарава. Электронномикроскопическое изучение клеток мышечной ткани в условиях действия стафилококкового токсина на фоне общего перегревания организма

413

ЭКСПЕРИМЕНТАЛЬНАЯ МЕДИЦИНА

Д. Г. Девдариани, В. В. Меунаргия, И. В. Павленишвили. Т- и В-системы иммунитета и изменение субпопуляций Т-лимфоцитов при сепсисе грамотрицательной этиологии у новорожденных и детей грудного возраста

417

З. Г. Надарейшвили, Ю. А. Малашхия. О происхождении лимфоцитов нормальной цереброспинальной жидкости

421

ЭКОНОМИКА

Я. Е. Месхия, Н. Б. Хучуа. Эконометрическое моделирование и прогнозирование развития машиностроительного комплекса

425

ЯЗЫКОЗНАНИЕ

М. Г. Гургенидзе. Морфема -išin в сивасском диалекте турецкого языка

431

Г. Т. Бурчуладзе. О глаголе, обозначающем «положить», «класть» в ка- пучско-гунзизском языке	435
Н. В. Дараселия. Некоторые вопросы соотношения британского газетного заголовка с текстом	440

АРХЕОЛОГИЯ

В. Г. Садрадзе. Вопросы взаимоотношения культур Центрального Закав- казья и Шида Картли в эпоху бронзы	443
---	-----

CONTENTS

MATHEMATICS

A. B. Kharazishvili. On the Baire spaces	244
Z. G. Shanidze. Problems of automatic control leading to Cauchy problems	248
G. V. Nizharadze. On some geometric properties of G-measures	251
N. L. Lazrieva, T. A. Toronjadze. Ito-Ventzel's formula for semimartingales and its application to recursive estimation	256
M. Sh. Shubladze. On line isolated singularities of analytic functions of two complex variables	260
Sh. V. Kheladze. On the unconditional convergence of the Fourier-Haar series in the sense of the metric L	264

MECHANICS

V. A. Kalandadze, N. R. Tsirekidze. Calculation of the arrester of a suspension cableway car with a controlled braking effort	268
M. T. Kutsia. The effect of the intermediate capacity on the probability of functioning of the component stages of a multi-stage hydrotransport system	271

PHYSICS

N. Sh. Kharshiladze, T. D. Kamushadze, N. I. Maisuradze, T. G. Tabagari, I. P. Gikoshvili, L. Sh. Bakradze, S. G. Nemsadze. Investigation of the complementary p-n junction effect on magnetodiode magnetosensitivity	276
A. N. Aburjania. On the problem of determination of the direction of electromotive force of mutual induction	280

GEOPHYSICS

A. V. Kudria, R. G. Managadze. Determination of the parameters of two isolated solids according to gravity anomalies	284
K. M. Kartvelishvili, P. Sh. Mindeli, T. A. Gvantseladze, A. M. Beshidze. A combined method for the construction of a gravitational model of the Earth's lithosphere	288
D. V. Kapanadze. On the determination of the shape of a body according to the values of its outer potential	292
A. L. Litvin, D. T. Natvlishvili. A study of the horizontal heterogeneity of the surface of the crystal foundation of the Rioni depression according to the data of the seismic method of refracted waves	295

ANALYTICAL CHEMISTRY

I. Sh. Shatirishvili, Kh. Z. Pataraia. Analysis of alcohol-water mixtures by the method of gas-liquid adsorption and quartz capillary column chromatography	299
---	-----

GENERAL AND INORGANIC CHEMISTRY

P. V. Nutsubidze, Z. B. Chachkhiani, V. I. Chechernikov, V. K. Slovyanskikh. Magnetic properties of $\text{Ln}_4\text{U}_5\text{S}_{16}$ (Ln-REE)-type compounds	304
--	-----



N. A. Tupinashvili, O. N. Chikovani, G. V. Koranashvili, N. I. Pirtskhalava, A. D. Garnovski. Complex compounds of boron bromides with metal-chelates	307
N. I. Mekvabishvili, A. A. Kalandia, Yu. A. Leikin. The kinetics of calcium and magnesium deposition of geothermal water	312
PHYSICAL CHEMISTRY	
E. M. Benashvili, M. L. Are shidze. Thermal-catalytic conversions of kerosene-gas oil fraction and vacuum-distillates of Samgori oil	316
M. D. Silagadze, G. V. Tsitsishvili, Sh. I. Sidamoniidze. Microcalorimetric study of CF_4 adsorption on L and ZSM-5 type zeolites	320
ELECTROCHEMISTRY	
L. G. Enukidze, J. I. Japaridze, V. V. Shavgulidze. The influence of tribenzylamine orientation on the discharge kinetics of some ions from methanol- and ethanol-acid solutions	32
CHEMICAL TECHNOLOGY	
R. I. Agladze, N. T. Hoffmann, O. S. Sadunishvili, I. G. Gvalia. Towards the consideration of semiconductor properties of oxides in the production of EMD-2	327
HYDROLOGY	
M. I. Gershkovich, I. V. Khomeriki, Z. I. Tsereteli. Informal solutions in river-system simulation models	332
GEOLOGY	
M. Sh. Chubinidze. Zonal stratigraphy of the Paleocene deposits of the Adler depression on the basis of planktonic foraminifera	335
MACHINE BUILDING SCIENCE	
K. I. Gvinieria, T. P. Kochadze, V. V. Nemtsov. A mathematical method of digital simulation of suspension dynamics of 4×4 agricultural truck with respect to braking	340
G. K. Japaridze. Experimental determination of forces in the working zone of the loading device for testing lathes without chipping	344
D. S. Tavkhelidze, K. K. Matveev. Hinged mechanisms with a circular guide	348
METALLURGY	
D. T. Bezhitadze, V. I. Yukhvid, G. F. Tavadze, S. S. Mamjan, A. G. Merzhanov. The effect of an inert addition on the combustion mechanism in systems $\text{V}_2\text{O}_5\text{-Al-SiO}_2$; $\text{V}_2\text{O}_5\text{-Al-Ti}$	351
HYDRAULIC ENGINEERING	
A. R. Siameshvili. Consideration of the shape of the cross-section of canals in determining permissible (nonscouring) flow velocity	356
Z. Sh. Gedenidze. Investigation of the edge effect of an armoured concrete floor in multiarched dams	360

ELECTROTECHNICS

- M. Sh. Surguladze, E. P. Derbakova, I. P. Makarov, V. I. Nikishin, U. N. Subbotin, G. I. Fursin. Some questions of producing a new generation of SFIC and SHIC 364

AUTOMATIC CONTROL AND COMPUTER ENGINEERING

- V. V. Mdzinarishvili. On the solution of a posteriori density equations of partially observable stochastic control systems 368
 I. A. Gorgidze. Coordinated management in binary active systems 371

BOTANY

- D. N. Aneli. A technique for identifying leaf micronerves 376
 E. I. Kobasnidze, G. E. Gvaladze. Study of the endosperm of the currant 380
 L. K. Radchenko, Z. D. Manjavidze. The dynamics of some indices of the water regime of the Talysh wood relicts introduced in the Tbilisi Botanical Garden 384

HUMAN AND ANIMAL PHYSIOLOGY

- I. N. Kikvadze. The Effect of the lesion of locus on coeruleus on the paroxysmal activity induced by electrical hippocampal stimulation 387
 T. E. Adamia. The effect of choline and cholinesterase antagonists on the learning process and local cerebral blood flow dynamics in rat 391
 Ts. G. Suknidze. Effect of cavinton on the early stage of experimental informational neurosis and the stability of the nervous system to informational pathology 395

BIOCHEMISTRY

- Z. G. Surviladze. Inhibitory action of Zn^{2+} on ribonuclease *Bacillus intermedius* 7p catalysis 400
 L. Sh. Tushishvili, K. B. Sulaberidze. Sterol dynamics in citrus leaves during dormancy 404

ENTOMOLOGY

- Sh. G. Sichinava. Prevalence of the species of *Anopheles maculipennis* Meigen complex in separate hipsometric zones and landscapes of Western Georgia 408

PARASITOLOGY AND HELMINTHOLOGY

- T. V. Gurgenidze, G. A. Kakulia, Ts. G. Devdariani, L. K. Magalakelidze. Study of the action of some biological insecticides on the mosquitoes (*Culex pipiens molestus* Forskal 1775 and *Aedes aegypti* Linnaeus 1762) 412

CYTOLOGY

- G. K. Gogichadze, N. N. Kacharava. Electron microscopic study of the muscular tissue cells under the action of staphylococcus toxin against the background of a general over-heating of the organism 415

EXPERIMENTAL MEDICINE

D. G. Devdariani, V. V. Meunargia, I. V. Pavlenishvili. T and B system of immunity and alteration of T lymphocyte subpopulations in newborn and 1-6 month old children with sepsis induced by gramnegative microbes	420
Z. G. Nadareishvili, Yu. A. Malashkhia. On the origin of T-and B-lymphocytes in normal cerebrospinal fluid	423

ECONOMICS

Ja. E. Meskhia, N. B. Khuchua. Economic modelling and prognosing of a machine-building complex	428
--	-----

LINGUISTICS

M. G. Gurgenidze. The morpheme işin in the Sivas dialect of Turkish	431
G. T. Burchuladze. On the verb "to put, to lay" in the Kapucha-Gunzib language	436
N. V. Daraselia. Some peculiarities of headline/text correlation in British newspapers	440

ARCHAEOLOGY

V. G. Sadradze. The relationship of the Central Transcaucasian and Inner Kartli cultures in the Bronze Age	443
--	-----

А. Б. ХАРАЗИШВИЛИ

О БЭРОВСКИХ ПРОСТРАНСТВАХ

(Представлено академиком Г. С. Чогошвили 26.10.1984)

Все топологические пространства, рассматриваемые в дальнейшем, предполагаются отделимыми (т. е. удовлетворяющими аксиоме Хаусдорфа).

Напомним, что топологическое пространство E называется бэрсовским, если любое непустое открытое подмножество в E не является множеством первой категории (или, согласно терминологии Бурбаки, не является тощим множеством). Топологическое пространство E будем называть пространством второй категории (или, следуя Бурбаки, неистощимым пространством), если E не является тощим множеством относительно самого себя.

Пример 1. Очевидно, что всякое непустое бэрсовское пространство будет и неистощимым. Обратное утверждение, вообще говоря, не верно. Однако, пусть E — неистощимое топологическое пространство, являющееся однородным относительно группы всех гомеоморфизмов, отображающих E на E . Тогда можно утверждать, что E представляет собой бэрсовское пространство. Доказательство этого факта основывается на известном результате Банаха, согласно которому в любом топологическом пространстве объединение произвольного семейства открытых множеств первой категории также является открытым множеством первой категории.

Топологическое пространство E называется изодинным [1], если для каждого непустого открытого множества U из E выполняется соотношение $\text{Card}(U) = \text{Card}(E)$. Из этого определения, в частности, вытекает, что если изодинное топологическое пространство E не сводится к одноэлементному множеству, то оно не содержит изолированных точек.

Наконец, напомним, что топологическое пространство E называется пространством, удовлетворяющим первой аксиоме счетности, если всякая точка из E обладает счетной фундаментальной системой окрестностей.

Имеет место следующее утверждение.

Теорема 1. Пусть выполняется обобщенная гипотеза континуума и пусть E — изодинное топологическое пространство второй категории, удовлетворяющее первой аксиоме счетности. Тогда для мощности a пространства E справедливо равенство $a^\omega = a$, где ω , как обычно, обозначает мощность множества всех натуральных чисел.

Замечание 1. Простые примеры показывают, что требование изодинности пространства E весьма существенно в формулировке теоремы 1. Отметим здесь же, что каково бы ни было топологическое пространство F , семейство всевозможных непустых открытых изодинных подмножеств в F образует π -базу пространства F (в смысле Пономарева).



Доказательство теоремы 1 основывается на следующей чисто теоретико-множественной лемме.

Лемма 1. Пусть выполняется обобщенная гипотеза континуума и пусть бесконечное кардинальное число a таково, что $a^\omega \neq a$. Тогда кардинальное число ω конфинально кардинальному числу a . При выполнении той же гипотезы верно и обратное утверждение.

Остановимся на одном применении сформулированной выше теоремы к теории гильбертовых пространств.

Пусть E — произвольное векторное пространство (над полем вещественных чисел). Рассмотрим какой-нибудь алгебраический базис $(e_i)_{i \in I}$ этого пространства. Для любых двух элементов $x \in E$ и $y \in E$ будем иметь разложения

$$x = \sum_{i \in I} \alpha_i e_i, \quad y = \sum_{i \in I} \beta_i e_i,$$

в которых почти все коэффициенты α_i и β_i равны нулю. Положим

$$\langle x, y \rangle = \sum_{i \in I} \alpha_i \beta_i.$$

Последним равенством в пространство E вводится скалярное произведение и, таким образом, мы видим, то всякую векторную структуру можно обогатить до структуры предгильбертова (в частности, нормированного) пространства.

Пример 2. Пусть E — векторное пространство, имеющее счетно-бесконечный алгебраический базис. Тогда векторную структуру этого пространства нельзя обогатить до структуры полного метризуемого топологического векторного пространства. Действительно, E можно представить в виде объединения счетного семейства конечномерных векторных подпространств, каждое из которых нигде не плотно в E . Следовательно, E есть пространство первой категории и, в силу классической теоремы Бэра, оно не может быть полным метризуемым пространством.

В общем случае имеет место следующая

Теорема 2. Пусть выполняется обобщенная гипотеза континуума и пусть E — векторное пространство, алгебраическая размерность которого равна кардинальному числу b . Тогда приводимые ниже соотношения эквивалентны:

1) векторная структура пространства E обогащается до структуры гильбертова пространства;

2) кардинальное число b либо конечно, либо удовлетворяет равенству $b^\omega = b$.

Коротко наметим доказательство сформулированной теоремы. Пусть векторную структуру пространства E можно обогатить до структуры гильбертова пространства (или до структуры полного метризуемого топологического векторного пространства). Если алгебраическая размерность b пространства E конечна, то все очевидно. Поэтому предположим, что число b бесконечно. Тогда, в силу примера 2, оно должно быть несчетным. Следовательно, учитывая справедливость

обобщенной гипотезы континуума, будем иметь $\text{Card}(E) = b$. Далее, ясно, что гильбертово пространство E является изодинным бэровым топологическим пространством, удовлетворяющим первой аксиоме счетности. Таким образом, согласно теореме 1, должно выполняться равенство $b^\omega = b$.

Обратно, пусть алгебраическая размерность b векторного пространства E удовлетворяет соотношению 2). Если число b конечно, то E можно отождествить с конечномерным евклидовым пространством. Поэтому предположим, что b бесконечно (а следовательно, и несчетно). Введем, как это было указано выше, в пространство E структуру скалярного произведения и обозначим символом \widehat{E} гильбертово пространство, являющееся минимальным пополнением пространства E . Без умаления общности пространство \widehat{E} можно мыслить как пополнение пространства E , полученное классическим методом Кантора, с помощью фундаментальных последовательностей точек из E . Тогда, принимая во внимание соотношение $b^\omega = b$, приходим к равенствам

$$\text{Card}(\widehat{E}) = \text{Card}(E) = b.$$

Отсюда уже нетрудно заключить, что алгебраическая размерность гильбертова пространства \widehat{E} тоже равна числу b и, таким образом, пространства \widehat{E} и E изоморфны между собой (как векторные пространства). Теперь остается только перенести гильбертову структуру пространства \widehat{E} на пространство E посредством какого-нибудь векторного изоморфизма $g: \widehat{E} \rightarrow E$.

Замечание 2. Приведенный выше пример 2 показывает, что в общем случае теорему 2 нельзя сформулировать исключительно в терминах мощности векторного пространства E . Однако если заранее предположить, что пространство E имеет несчетную алгебраическую размерность, то можно утверждать (при справедливости обобщенной гипотезы континуума), что векторная структура пространства E обогащается до гильбертовой структуры тогда и только тогда, когда мощность a этого пространства удовлетворяет соотношению $a^\omega = a$.

Замечание 3. Пусть Σ_1 — какой-нибудь род структуры, а Σ_2 — какой-нибудь другой род структуры, причем предположим, что род Σ_2 богаче рода Σ_1 . Рассмотрим основное базисное множество X , наделенное некоторой структурой s_1 рода Σ_1 . Естественно возникает следующий общий вопрос: при каких необходимых и достаточных условиях структуру s_1 можно обогатить до некоторой структуры s_2 , принадлежащей роду Σ_2 и заданной на том же базисном множестве X ? Исследование этого вопроса (даже в различных частных ситуациях) представляет несомненный интерес. Особенно важно получить решение вопроса в терминах исходной структуры s_1 .

ა. ხარაზიშვილი

გერის სივრცეების შესახებ

რ ე ზ ი უ მ ე

ნაშრომში განხილულია ბერის იზოდინური ტოპოლოგიური სივრცეების ზოგიერთი თვისება. კერძოდ, გამოკვლეულია საკითხი ამ სივრცეების სიმძლავრის შესახებ.

MATHEMATICS

A. B. KHARAZISHVILI

ON THE BAIRE SPACES

Summary

The paper deals with some properties of isodyne topological Baire spaces. In particular, the power of these spaces is considered. Special attention is given to the case when the space satisfies the first axiom of countability. The result obtained is used to solve the following problem: What are the conditions under which it is possible to enrich a given vector structure up to a Hilbert space structure?

ლიტერატურა — REFERENCES

1. Н. Бурбаки. Общая топология (основные структуры). М., 1968.
2. Н. Бурбаки. Теория множеств. М., 1965.

З. Г. ШАНИДЗЕ

ЗАДАЧИ АВТОМАТИЧЕСКОГО УПРАВЛЕНИЯ, ПРИВОДИМЫЕ К ЗАДАЧАМ КОШИ

(Представлено членом-корреспондентом Академии З. Е. Круашвили 6.1.1985)

В технической кибернетике, особенно в автоматическом управлении все чаще применяют электрические схемы с распределенными параметрами, режим работы которых описывается дифференциальными уравнениями с частными производными вида

$$y^\beta \frac{\partial^\gamma U}{\partial x^\gamma} \pm \frac{\partial^\delta U}{\partial y^\delta} = 0, \quad (1)$$

где

$$\beta \in \mathbb{Z}, \gamma \in \mathbb{N}, \delta \in \mathbb{N}, \beta \geq -\delta + 1.$$

Общим аналитическим решением уравнения (1) является

$$U(x, y) = \sum_{l=0}^{\infty} \sum_{p=0}^{\beta+\delta-1} \sum_{k=0}^{\gamma-1} a_{k, (\beta+\delta)l+p} \left[x^k y^{(\beta+\delta)l+p} + \right. \\ \left. + \sum_{n=1}^g \prod_{m=1}^n (\mp 1)^n \cdot \frac{A_{(\beta+\delta)(l+1-m)+p}^\delta}{A_{\gamma m+k}^\gamma} \cdot x^{\gamma n+k} \cdot y^{(\beta+\delta)(l-n)+p} \right]. \quad (2)$$

Из (2) видно, что при $0 \leq p < \delta$ ряд (2) обрывается и частные решения уравнения (1) являются полиномами, $g < \infty$. При $p \geq \delta$ частные решения уравнения (1) превращаются в ряды с отрицательными степенями y , $g = \infty$.

Поэтому в задачах, составленных корректно для уравнения (1), при необходимости в частных решениях, соответствующих значениям $p \geq \delta$, особо надо исследовать область существования решения на плоскости (x, y) . А для этого необходимо рассмотреть такой предел

$$\lim_{\substack{m \rightarrow n \\ n \rightarrow \infty}} \left[\prod_{m=1}^n (\mp 1)^n \cdot \frac{A_{(\beta+\delta)(l+1-m)+p}^\delta}{A_{\gamma m+k}^\gamma} \cdot x^{\gamma n+k} \cdot y^{(\beta+\delta)(l-n)+p} \right] = \\ = \lim_{n \rightarrow \infty} \left[(\mp 1)^n \cdot \frac{(\beta+\delta)^\delta \cdot n^\delta}{\gamma^\gamma \cdot n^\gamma} \cdot \frac{x^\alpha}{y^{\beta+\delta}} \right]^n \cdot x^k \cdot y^{(\beta+\delta)l+p}. \quad (3)$$

Отсюда ясно видно, что этот предел существует только при выполнении условия $\delta \leq \gamma$ и равен нулю при $\delta > \gamma$.

Следовательно, в корректных задачах для уравнения (1) область существования решения имеется только при условии $\delta \leq \gamma$. Если в некоторой задаче для уравнения (1) начальные или краевые условия будут такими, что необходимо будет употребление частного решения при $p \geq \delta$ и $\delta > \gamma$, что такие задачи не будут иметь нетривиально-

го решения ни в одной точке плоскости (x,y) . Если же в отмеченной задаче $p \geq \delta$, но $\delta < \gamma$, то такая задача будет иметь единственное аналитическое решение во всех точках плоскости (x,y) .

Заметим, что области существования решения для уравнений типа (1), отличные от всей плоскости (x,y) , существуют только при $\delta = \gamma$. Если же $\delta \neq \gamma$, то решение либо не существует ни в одной точке плоскости (x,y) , либо существует на всей плоскости (x,y) .

Рассмотрим несколько примеров.

1. Пусть $\beta = 1$, $\gamma = 2$, $\delta = 3$.

Тогда исследуемое уравнение запишется в виде

$$yU_{xx} + U_{yyy} = 0. \quad (4)$$

Пусть для уравнения (4) составлена задача Коши

$$U(x, 0) = \sum_{i=0}^4 b_i x^i, \quad U_y(x, 0) = \sum_{i=0}^4 c_i x^i, \quad U_{yy}(x, 0) = \sum_{i=0}^4 d_i x^i, \quad (5)$$

где b_i , c_i , d_i , $i = 0, \dots, 4$ — любые данные числа.

Решение задачи (4), (5) имеет вид

$$\begin{aligned} U(x, y) = & b_0 + b_1 x + c_0 y + c_1 xy + \frac{1}{2} d_0 y^2 + \frac{1}{2} d_1 xy^2 - \frac{1}{12} b_2 (y^4 - \\ & - 12x^2) - \frac{1}{4} b_3 (xy^4 - 4x^3) - \frac{1}{30} c_2 (y^5 - 30x^2 y) - \frac{1}{10} c_3 (xy^5 - \\ & - 10x^3 y) - \frac{1}{120} d_2 (y^6 - 60x^2 y^2) - \frac{1}{40} d_3 (xy^6 - 20x^3 y^2) + \\ & + \frac{b_4}{16 \cdot 21} (y^8 - 8 \cdot 21x^2 y^4 + 16 \cdot 21x^4) + c_4 \left(x^4 y - \frac{1}{5} x^2 y^5 + \frac{1}{20 \cdot 63} y^9 \right) + \\ & + d_4 \left(\frac{1}{2} x^4 y^2 - \frac{1}{20} x^2 y^6 + \frac{1}{7200} y^{10} \right). \end{aligned} \quad (6)$$

При решении этой задачи нет необходимости применять частные решения уравнения (4) при $p \geq \delta$, т. к. эти частные решения при $y=0$ теряют смысл. Следовательно, задачи Коши для уравнения (4) и, вообще, для (1) тоже, когда носящей информацию о данных является прямая $y=0$, всегда имеет аналитическое решение и если условия Коши заданы в виде полиномов, то и решение получится в виде полиномов.

Совершенно другая картина получается в задачах Коши для этих же уравнений, когда носящей информацию об условиях Коши является прямая $x=0$.

2. Пусть для уравнения (4) заданы условия Коши:

$$U(0, y) = by^3, \quad U_x(0, y) = 0. \quad (7)$$

Решением задачи (4), (7), очевидно, является ряд

$$U(x, y) = b \left[y^3 + \sum_{n=1}^{\infty} \prod_{m=1}^n (-1)^m \cdot \frac{(7-4m)(6-4m)(5-4m)}{4m^2 - 2m} \right].$$

$$\left. \cdot \left(\frac{x^2}{y^4} \right)^n \cdot y^3 \right] = b \left[y^3 - 3x^2 y^{-1} - \frac{3}{2} x^4 y^{-5} - \frac{21}{2} x^6 y^{-9} - \right. \\ \left. - \frac{15 \cdot 99}{8} x^8 y^{-13} - \dots \right]. \quad (8)$$

Как ясно видно, этот ряд является расходящим во всех точках плоскости (x,y) , за исключением прямой $x=0$. Следовательно, задача Коши (4), (7) не имеет аналитического решения ни в одной точке плоскости (x,y) за исключением прямой $x=0$, а на этой прямой заданы условия Коши.

Выходит, что корректно поставленная задача Коши (7) для уравнения (4) не имеет решения.

Эту задачу мы специально составили так, что понадобилось частное решение, соответствующее значению $3=p>\delta=3$.

Если же так составим задачу Коши, что для ее решения не понадобятся частные решения, соответствующие значениям $p>\delta$, то получим единственное аналитическое решение на всей плоскости (x,y) .

3. Пусть для уравнения (4) составлена задача Коши

$$U(0, y) = \sum_{i=0}^{10} b_i y^i, \quad b_3 = b_7 = 0 \\ U_x(0, y) = \sum_{i=0}^6 c_i y^i, \quad c_3 = 0. \quad (9)$$

Решением задачи (4), (9) будет

$$U(x, y) = b_0 + c_0 x + b_1 y + c_1 xy + b_2 y^2 + c_2 xy^2 + \\ + b_4 (y^4 - 12x^2) + c_4 (xy^4 - 4x^3) + b_5 (y^5 - 30x^2y) + \\ + c_5 (xy^5 - 10x^3y) + b_6 (y^6 - 60x^2y^2) + c_6 (xy^6 - 20x^3y^2) + \\ + b_8 (y^8 - 8 \cdot 21x^2y^4 + 16 \cdot 21x^4) + b_9 (y^9 - 4 \cdot 63x^2y^5 + \\ + 20 \cdot 63x^4y) + b_{10} (y^{10} - 360x^2y^6 + 3600x^4y^2). \quad (10)$$

Допустим, что мы хотим найти частное решение уравнения (1), которое содержало бы элемент $x^i y^j$, где $i \in z_0$, $j \in z$.

Чтобы найти искомое частное решение, необходимо найти k , p , l -числа. А для этого составим уравнения

$$\gamma n + k = i, \quad (\beta + \delta)(l - n) + p = j. \quad (11)$$

Разделим i на γ , целое число даст n , частное — k . Точно также разделим j на $(\beta + \delta)$. Частное даст p , а целое число $(l - n)$, откуда по ранее найденным числом n определим l .

С помощью (2) по значениям β , γ , δ , k , p , l найдем соответствующее частное решение.

ზ. შანიძე

პოვის ამოცანიგამდე დაყვანილი ავტომატური მართვის ამოცანები

რეზიუ ზე

მოცემულია ცვლადეოფიციენტებიანი კერძოწარმოებულებიანი წრფივი დიფერენციალური განტოლებების ერთი კლასის ზოგადი ამონასნი, რომელიც საშუალებას იძლევა ზუსტად ამოვნესნათ ამ განტოლებებისათვის კორექტულად დასმული კოშის ამოცანები. მოყვანილია მაგალითები.

MATHEMATICS

Z. G. SHANIDZE

PROBLEMS OF AUTOMATIC CONTROL LEADING TO CAUCHY
PROBLEMS

Summary

A general solution of partial differential equations with variable coefficients is given and the Cauchy problem is solved exactly. Illustrative examples are adduced.

Г. В. НИЖАРАДЗЕ

О НЕКОТОРЫХ ГЕОМЕТРИЧЕСКИХ СВОЙСТВАХ G-МЕР

(Представлено академиком А. В. Бицадзе 11.10.1985)

В данной статье в основном будем пользоваться понятиями, введенными в [1]. Через G , как правило, будут обозначаться различные подгруппы группы D_n всех изометрических преобразований n -мерного евклидова пространства E_n , причем часто будут рассматриваться подгруппы G группы Π_n всех параллельных переносов пространства E_n .

Если подгруппа G группы D_n содержит в себе всюду плотное в группе Π_n множество трансляций, то область определения произвольной полной G -меры μ содержит в себе любое множество X , удовлетворяющее включениям $]0, 1[^n \subset X \subset [0, 1]^n$. Следовательно, в этом случае любое такое множество можно принять за единичный координатный куб Δ_n , причем наличие каждого из двух условий $\mu(]0, 1[^n) = 1$ и $\mu([0, 1]^n) = 1$ по отдельности повлечет за собой выполнимость и другого условия и, таким образом, мера всякого μ -измеримого множества, лежащего в границе этих кубов, будет равна нулю.

В случае же, когда группа G дискретна, многие свойства G -мер допускают различные формулировки в зависимости от того, какое из трех определений:

- 1) $\Delta_n =]0, 1[^n$;
- 2) $\Delta_n = [0, 1]^n$;

3) Δ_n есть любое множество X , удовлетворяющее включениям $]0, 1[^n \subset X \subset [0, 1]^n$, принято для единичного координатного куба Δ_n .

Например, в работе [1] выявлена структура G -абсолютного пренебрежимых подмножеств пространства E_n , в том случае, когда G представляет собой произвольную дискретную подгруппу группы D_n в предположении, что под единичным координатным кубом понимается любое из множеств X , удовлетворяющих включениям $]0, 1[^n \subset X \subset [0, 1]^n$. И здесь необходимо отметить, что в случае дискретных подгрупп G группы D_n содержательную теорию для G -абсолютно пренебрежимых множеств можно развить именно при таком определении единичного координатного куба Δ_n , так как в обоих других случаях G -абсолютно пренебрежимым множеством в пространстве E_n окажется лишь пустое множество.

При рассмотрении вопросов, связанных с вопросами продолжимости G -мер, множествами антиподального характера к G -абсолютно пренебрежимым множествам являются так называемые абсолютно неизмеримые множества относительно класса всех G -мер и множества, получаемые с помощью конструкции Витали.

Имеет место следующая

Теорема 1. Пусть G — подгруппа группы Π_n и пусть $\Delta_n =]0, 1[^n$ или же Δ_n есть любое множество X , удовлетворяющее включениям $]0, 1[^n \subset$



$\subset X \subset [0, 1]^n$. Тогда пространство E_n содержит абсолютно неизмеримое множество относительно класса всех G -мер в том и только в том случае, если группа G недискретна.

Доказательство этой теоремы связано с рассмотрением различных чисто геометрических свойств семейств кубов и линейных аффинных многообразий в евклидовом пространстве E_n . Далее, в процессе доказательства существенно используется также хорошо известная теорема о строении любой замкнутой подгруппы группы Π_n (см. [2]). Наконец, надо отметить и тот факт, что при построении (для недискретной группы $G \subset \Pi_n$) абсолютно неизмеримого множества используются качественно новые конструкции по сравнению с теми, которые обычно используются в доказательстве классических теорем о существовании неизмеримых множеств (теорема Витали и другие, аналогичные ей).

Интересно отметить также, что аналог теоремы 1 не имеет места, если в качестве Δ_n взять замкнутый единичный координатный куб $[0, 1]^n$. Контрпримером может служить пример недискретной подгруппы Γ группы Π_2 , построенной в [3], для которой на всем булеане евклидовой плоскости E_2 можно определить Γ -инвариантную меру λ , удовлетворяющую условию $\lambda([0, 1]^2) = 1$. Указанная подгруппа Γ обладает и следующим дополнительным свойством:

$$E_2 = \bigcup_{g \in \Gamma} g([0, 1]^2).$$

В работе [3] установлено также, что если $\Delta_n = [0, 1]^n$, то одной только недискретности подгруппы G группы Π_n , вообще говоря, недостаточно для выполнимости конструкции Витали в классе всех G -мер. Необходимо еще, чтобы семейство кубов $(g(\Delta_n))_{g \in G}$ образовывало покрытие пространства E_n , причем совокупность этих двух условий — недискретность группы G и наличие теоретико-множественного равенства $\bigcup_{g \in G} g(\Delta_n) = E_n$ — необходимо и достаточно для выполнимости конструкции Витали в классе всех G -мер. Однако, если взять $\Delta_n = [0, 1]^n$, то тот же пример группы Γ из работы [3] показывает, что, несмотря на недискретность группы Γ и наличие условия $\bigcup_{g \in \Gamma} g([0, 1]^2) = E_2$, конструкция Витали не выполняется в классе всех Γ -мер.

Естественно возникают вопрос о нахождении необходимых и достаточных условий для появления в пространстве E_n абсолютно неизмеримых множеств относительно класса всех G -мер и вопрос о нахождении необходимых и достаточных условий для выполнимости в классе всех G -мер конструкция Витали в том случае, когда в качестве единичного координатного куба Δ_n берется замкнутый куб $[0, 1]^n$. Для такого случая легко указать достаточное условие, состоящее в том, что подгруппа G группы Π_n должна быть недискретной и содержать в себе сеть Γ_n , системой образующих которой служит канонический ортонормированный базис $(e_i)_{1 \leq i \leq n}$ пространства E_n , причем при таком положении дел в пространстве E_n будут существовать абсолютно неизмеримые множества относительно класса всех G -мер, а также од-

новременно будет выполняться конструкция Витали относительно того же класса. Однако теоретико-множественное включение $\Gamma_n \subset G$ не является необходимым условием для тех же целей. Как для наличия абсолютно неизмеримых подмножеств пространства E_n относительно класса всех G -мер, так и для выполнимости конструкции Витали относительно того же класса в случае $\Delta_n = [0,1]^n$ необходимо, чтобы:

- 1) группа G была недискретной,
- 2) выполнялось условие

$$\bigcup_{g \in G} g([0, 1]^n) = E_n.$$

Однако даже совокупность этих двух условий не гарантирует ни появления в пространстве E_n абсолютно неизмеримых множеств относительно класса всех G -мер, ни выполнимости конструкции Витали в классе всех G -мер, и, таким образом, вопрос нахождения необходимых и достаточных условий для указанных целей остается открытым.

Академия наук Грузинской ССР
Институт систем управления

(Поступило 2.11.1985)

მათემატიკა

გ. ნიზარაძე

G-გოგათა ზოგიერთი გეომეტრიული თვისების შესახებ

რეზიუმე

ნაშრომში გამოკვლეულია G -ზოგათა სხვადასხვა გეომეტრიული თვისება ეპლიდეს სივრცეებში, რომლებიც დაყავშირებულია ამ სივრცეებში G -ზოგათა კლასის მიმართ აბსოლუტურად არაზომადი სიმრავლეების არსებობასთან და აგრეთვე ვიტალის კონსტრუქციის შესრულებასთან ზოგათა იგივე ძლაბში. კერძოდ, ნაჩერებია, რომ მისაღები შედეგების ხასიათი არსებითადაა დამოკიდებული იმაზე, თუ რომელი სიმრავლე იქნება აღებული ევკლიდეს სივრცეში ერთეულოვან საკოორდინატო კუბად.

MATHEMATICS

G. V. NIZHARADZE

ON SOME GEOMETRIC PROPERTIES OF G-MEASURES

Summary

The different geometric properties of G -measures in Euclidean space connected with the existence in this space of absolutely nonmeasurable sets relative to the class of all G -measures and also connected with the satisfiability of Vitali construction relative to the same class of measures are investigated.

ლიტერატურა — REFERENCES

1. Г. В. Нижарадзе. Сообщения АН ГССР, 80, № 2, 1975.
2. Н. Бурбаки. Общая топология. М., 1969.
3. А. Б. Харцишвили. Сообщения АН ГССР, 102, № 3, 1981.

МАТЕМАТИКА

Н. Л. ЛАЗРИЕВА, Т. А. ТОРОНДЖАДЗЕ

ФОРМУЛА ИТО—ВЕНТЦЕЛЯ ДЛЯ СЕМИМАРТИНГАЛОВ И ЕЕ ПРИМЕНЕНИЕ К РЕКУРРЕНТНОМУ ОЦЕНИВАНИЮ

(Представлено академиком Б. В. Хведелидзе 30.8.1984)

Во многих задачах случайного анализа важную роль играет одно обобщение формулы Ито—т. н. формула Ито—Вентцеля, которая дает выражение для дифференциала сложной функции $F(t, \xi_t, \omega)$ в случае, когда ξ_t —семимартингал и при каждом $x \in R^1$, $F(t, x, \omega)$ также является семимартингалом. Эта формула впервые была получена А. Д. Вентцелем [1] и Б. Л. Розовским [2] для случая, когда оба процесса ξ и F являются итовскими, затем была обобщена в работах [3—5], причем всюду предполагалось, что семимартингалы $F(t, x)$ допускают интегральное представление по семимартингалу, не зависящему от x . Ниже мы отказываемся от такого предположения.

Пусть заданы вероятностное пространство (Ω, F, P) с фильтрацией F_t , $t \in [0, T]$, удовлетворяющей обычным условиям; семейство семимартингалов $F(t, x) = F(t, x, \omega) = M(t, x) + A(t, x)$, $x \in R^1$, $M(\cdot, x) \in M^2$, $A(\cdot, x) \in A$, семимартингал $\xi(t) = m(t) + a(t)$ с $m \in M^2$ и $a \in A$ ($A = \{A(t, \omega)\}$)—пространство функций интегрируемой вариации, т. е. $E \int_0^T |dA_s| < \infty, M^2 —$

пространство квадратично интегрируемых мартингалов.

Предположим следующее:

1) Отображение $F: x \rightarrow F(t, x)$ дважды дифференцируемо по x в смысле семимартингальной нормы $\|s\| = E \int_0^T |dA_s| + E^{1/2}[M]_T$, где $s = M + A$,

$M \in M^2$, $A \in A$, $[M]$ —квадратическая характеристика мартингала M , причем вторая производная $F^{(2)}(t, x)$ непрерывна по x при всех t и ω , процессы $F(t, 0)$, $F^{(1)}(t, 0)$ и $\sup_{|x| \leq k} F^{(2)}(t, x)$ —локально ограничены для любого $k > 0$.

Обозначим $\Phi(t, x)$ одну из функций $F(t, x)$ или $F^{(1)}(t, x)$. Из предположения 1) следует, что $\Phi(t, x)$ представима в виде

$$\Phi(t, x) = M_\varphi(t, x) + A_\varphi(t, x),$$

где

$$[M_\varphi(\cdot, x)]_t = \int_0^t f_\varphi(s, x) dB_s, \quad A_\varphi(t, x) = \int_0^t a_\varphi(s, x) dA(s),$$

с некоторыми f_φ , B , a_φ , A .

Предположим далее, что

$$2) \quad E \int_0^T \sup_{|x| \leq k} |f_\varphi(s, x)| |dB_s| < \infty,$$

$$E \int_0^T \sup_{|x| \leq k} |a_\varphi(s, x)| |dA_s| < \infty$$

для любого $k > 0$.

Теорема. (Формула (Ито—Вентцеля). Пусть выполнены условия 1) и 2). Тогда

$$\begin{aligned} F(t, \xi_t) - F(0, \xi_0) = & \int_0^t F(ds, \xi_{s-}) + \int_0^t F^{(1)}(s-, \xi_{s-}) d\xi_s + \\ & + \frac{1}{2} \int_0^t F^{(2)}(s, \xi_s) d\langle \xi^c \rangle_s + \sum_{s \leq t} (F(s-, \xi_s) - F(s-, \xi_{s-}) - F^{(1)}(s-, \xi_{s-}) \Delta \xi_s) + \\ & + \sum_{s \leq t} (\Delta F(s, \xi_s) - \Delta F(s, \xi_{s-}) - \Delta F^{(1)}(s, \xi_{s-}) \Delta \xi_s) + \left[\int_0^t F^{(1)}(ds, \xi_{s-}), \xi \right]_t. \end{aligned} \quad (1)$$

Замечание 1. а) Существование стохастических криволинейных интегралов $\int_0^t F(ds, \xi_{s-})$, $\int_0^t F^{(1)}(ds, \xi_{s-})$ следует из условия 2). (Определение и свойства стохастического криволинейного интеграла по семейству семимартингалов $F(t, x)$ вдоль кривой ξ см. в [6]). б) Обе суммы в формуле (1) существуют. Покажем, к примеру, существование первой суммы. Имеем

$$\begin{aligned} \sum_{s \leq t} |F(s-, \xi_s) - F(s-, \xi_{s-}) - F^{(1)}(s-, \xi_{s-}) \Delta \xi_s| \leqslant \\ \leqslant \frac{1}{2} \sum_{s \leq t} |F^{(2)}(s-, \xi_{s-} + \theta(s, \omega) \Delta \xi_s)| \Delta \xi_s^2. \end{aligned}$$

Введем последовательность марковских моментов

$$\tau_N = \inf \{t : \sup_{s \leq t} |\xi_s| \geq N\}.$$

Ясно, что $\tau_N \rightarrow \infty$ при $N \rightarrow \infty$. Далее, в интервале $[0, \tau_N]$

$$\sum_{s \leq t} |F^{(2)}(s-, \xi_{s-} + \theta \Delta \xi_s)| \Delta \xi_s^2 \leq \sum_{s \leq t} \sup_{|x| \leq N} F^{(2)}(s, x) \Delta \xi_s^2.$$

Пусть теперь σ_N^n — редуцирующая последовательность марковских моментов для $\sup_{|x| \leq N} F^{(2)}(t, x)$, т. е. $\sup_{s \leq \sigma_N^n} \sup_{|x| \leq N} F^{(2)}(s, x) \leq n$. тогда в интервале $[0, \tau_N \wedge \sigma_N^n]$

$$\sum_{s \leq t} |F^{(2)}(s-, \xi_{s-} + \theta \Delta \xi_s)| \Delta \xi_s^2 \leq n \sum_{s \leq t} \Delta \xi_s^2 < \infty$$

и требуемое следует из соотношения $\lim_{N \rightarrow \infty} \lim_{n \rightarrow \infty} s_{Nn} = \infty$.

2. Рекуррентное оценивание. Рассмотрим схему общего статистического эксперимента

$$E = (\Omega, F_t \subset F, P^\theta, P, t \geq 0),$$

где $(\Omega, F_t, t \geq 0, P)$ —пространство с фильтрацией, удовлетворяющей обычным условиям, $P^\theta \sim^{\text{loc}} P$, $P^\theta \neq P^{\theta'}$, $\theta \neq \theta'$. Требуется оценить параметр θ . Следуя работе [7] уравнение для нахождения оценки максимального правдоподобия (ОМП) $\widehat{\theta}_t$ можно записать в следующем виде:

$$F(t, \theta) = 0, \quad (2)$$

где

$$F(t, \theta) = L_t(M^{(1)}(\theta), M(\theta)) = M_t^{(1)}(\theta) - \langle M_t^{(1),c}(\theta), M^c(\theta) \rangle_t - \sum_{s \leq t} \frac{\Delta M_s^{(1)}(\theta) \Delta M_s(\theta)}{1 + \Delta M_s(\theta)}.$$

Рассмотрим сперва случай, когда мартингал $M_t(\theta)$ непрерывен по t . Пусть θ_0 —истинное значение неизвестного параметра и

$$F_e(t, \theta) = F(t, \theta_0) + \int_{\theta_0}^{\theta} \varphi_e(F^{(1)}(t, y)) dy,$$

где $\varphi_e(x) = x$, при $x \leq -\varepsilon$, $\varphi_e(x) < -\varepsilon/2$, при $x > -\varepsilon$,—гладкая функция. Очевидно, что при каждом $\theta \in R^1$ $F_e(t, \theta)$ —семимартингал и предположим, что

$$F_e(t, \theta) = M_e(t, \theta) + A_e(t, \theta)$$

Построим оценку θ_t^e , исходя из уравнения

$$F_e(t, \theta) = 0. \quad (3)$$

Предположим, что выполнено условие

$$\lim_{t \rightarrow \infty} P_\theta \left(\sup_{\theta - c \leq y \leq \theta + c} F^{(1)}(t, y) > -\varepsilon \right) = 0 \quad (4)$$

для всех $\theta \in R^1$, $\varepsilon > 0$, $c > 0$. Тогда нетрудно показать что

$$\lim_{t \rightarrow \infty} P_\theta \{ \widehat{\theta}_t \neq \theta_t^e \} = 0. \quad (5)$$

Применим формулу Ито—Вентцеля к $F_e(t, \theta_t^e)$. После несложных вычислений получаем следующее стохастическое дифференциальное уравнение для θ_t^e :

$$d\theta_t^e = - \frac{1}{F_e^{(1)}(t, \theta_t^e)} \left(F_e(dt, \theta_t^e) + \frac{1}{2} \frac{F_e^{(2)}(t, \theta_t^e) k_e^{0,0}(dt, \theta_t^e, \theta_t^e)}{(F_e^{(1)}(t, \theta_t^e))^2} - \frac{k_e^{1,0}(dt, \theta_t^e, \theta_t^e)}{F_e^{(1)}(t, \theta_t^e)} \right), \quad (6)$$

где $k_e^{ij}(t, x, y) = \langle M^{(i)}(\cdot, x), M^{(j)}(\cdot, y) \rangle_t$, $i, j = 0, 1$.

Рекуррентную оценку $\widehat{\theta}_t$ параметра θ мы ищем в виде решения уравнения

$$d\widehat{\theta}_t = - \frac{F(dt, \widehat{\theta}_t)}{F^{(1)}(t, \widehat{\theta}_t) - 1}, \quad (7)$$

где

$$F^{(1)}(t, x) = - \langle M^{(1)}(\cdot, x), M^{(1)}(\cdot, x) \rangle_t.$$

В работе [8] было доказано, что ОМП состоятельна, асимптотически нормальна и эффективна. В силу (5), теми же асимптотическими свойствами обладает оценка $\widehat{\theta}_t$. Поэтому, для того чтобы рекуррент-



ная оценка обладала асимптотическими свойствами ОМП, достаточно доказать, что решения уравнений (6) и (7) «ближаются». Точнее, чтобы

$$P_{\theta} - \lim_{t \rightarrow \infty} \varphi_t^{-1} (\theta_t^{\varepsilon} - \tilde{\theta}_t) = 0. \quad (8)$$

При тех же условиях, когда имеют место «хорошие» асимптотические свойства ОМП и при некоторых дополнительных условиях на правые части уравнений (6) и (7) (типа ограниченности и липшицевости) нами показано, что справедливо (8).

Что касается общего случая, нами предлагается следующее уравнение для нахождения рекуррентной оценки:

$$d\tilde{\theta} = - \frac{F(dt, \tilde{\theta}_t)}{\tilde{F}^{(1)}(t, \tilde{\theta}_t) - 1} + \frac{\Delta F(t, \tilde{\theta}_{t-}) \Delta \tilde{F}^{(1)}(t, \tilde{\theta}_{t-})}{(\tilde{F}^{(1)}(t, \tilde{\theta}_{t-}) - 1)(\tilde{F}^{(1)}(t-, \tilde{\theta}_{t-}) - 1)} \quad (9)$$

При некоторых априорных допущениях о свойствах ОМП показывается, что оценка $\tilde{\theta}_t$ состоятельна и асимптотически нормальна.

Ранее рекуррентные оценки с «хорошими» асимптотическими свойствами строились, опираясь на процедуры стохастической аппроксимации Робинса—Монро методом, предложенным Альбертом и Гарднером [8] и развитым в работе [9] и др.

Академия наук Грузинской ССР

Тбилисский математический институт
им. А. М. Размадзе

(Поступило 7.9.1984)

ათენათიკა

5. ლაზრიავა, თ. თორონჯაძე

იტო — ვენცელის ფორმულა სემიმარტინგალებისათვის და მისი
გამოყენება რეპრენტული ზოდასებისას

რეზიუმე

განხოვადებულია იტო—ვენცელის ფორმულა სემიმარტინგალებისათვის. შემოთავაზებულია ზოგად სტატისტიკურ ექსპერიმენტში უცნობი ვარამეტრის რეკურენტული შეფასების აგების ალგორითმი. დამტკიცებულია, რომ ეს შეფასება ძალმოსილი და ასიმბროტურად ნორმალურია.

MATHEMATICS

N. L. LAZRIEVA, T. A. TORONJADZE
ITO-VENTZEL'S FORMULA FOR SEMIMARTINGALES AND ITS
APPLICATION TO RECURSIVE ESTIMATION

Summary

Ito-Ventzel's formula is generalized for semimartingales. An algorithm for recursive estimation of an unknown parameter in general statistical models is proposed. The estimates are proved to be consistent and asymptotically normal.

ლიტერატურა — ЛИТЕРАТУРА — REFERENCES

1. А. Д. Вентцель. Теория вероятн. и ее примен., X, № 2, 1965.
2. Б. Л. Розовский. Вестник МГУ, № 1, 1973.
3. Н. Кунита. Lecture Notes in Math., 850, 1979/80, Springer-Verlag.
4. Е. И. Трофимов. Изв. вузов, № 5, 1985.
5. Р. Микуляевич. Лит. матем. сб., 23, № 4, 1983.
6. R. J. Chitashvili. Lecture Notes in Math., 1983, 1021.
7. Н. Л. Лазриева, Т. А. Торонджадзе. Сообщения АН ГССР, 123, № 1, 1986.
8. A. Albert, L. Galdner. Stochastic approximation and nonlinear regression, Cambridge, 1967.
9. М. Б. Невельсон, Р. З. Хасьминский. Стохастическая аппроксимация и рекуррентное оценивание. М., 1972.

М. Ш. ШУБЛАДЗЕ

О ЛИНЕЙНЫХ ИЗОЛИРОВАННЫХ ОСОБЕННОСТЯХ АНАЛИТИЧЕСКИХ ФУНКЦИЙ ДВУХ КОМПЛЕКСНЫХ ПЕРЕМЕННЫХ

(Представлено академиком Г. С. Чогошвили 12.9.1984)

В недавних работах Сирсмы [1, 2] было начато исследование простейших неизолированных особенностей аналитических функций нескольких комплексных переменных. Выделенный им класс так называемых изолированных линейных особенностей является естественным обобщением изолированных особенностей, что позволяет предполагать справедливость для рассматриваемого класса аналогов известных результатов Милнора [3]. В связи с этим возникает ряд проблем (ср. [2]), нетривиальных уже в случае функций двух комплексных переменных.

В настоящей работе рассматриваются изолированные линейные особенности аналитических функций двух комплексных переменных. Даётся наглядное геометрическое истолкование основных результатов о деформациях и расслоении Милнора. Кроме того, устанавливаются соотношения между числом точек различного типа в морсовизации данной особенности.

Пусть $f : (C^{n+1}, 0) \rightarrow (C, 0)$ — росток аналитической функции с гладким одномерным критическим множеством L . Введем на C^{n+1} такие координаты $z = (x, y) \in C^1 \times C^n$, что $L = \{y=0\}$.

Определение 1. Точка $z_0 \in L$ называется особой точкой типа A_∞ , если росток f в этой точке правоэквивалентен ростку функции $y_1^2 + \dots + y_n^2$.

Определение 2. Точка $z_0 \in L$ называется особой точкой типа D_∞ , если росток f в этой точке правоэквивалентен ростку функции $xy_1^2 + y_2^2 + \dots + y_n^2$.

Определение 3. Функция f имеет изолированную линейную особенность, если для любого $x \neq 0$ росток в точке $(x, 0)$ ограничения функции на плоскость $x = \text{const}$ правоэквивалентен ростку функции $y_1^2 + \dots + y_n^2$.

Нам понадобятся следующие основные предложения Сирсмы [1, 2], из которых второе мы доказываем в интересующем нас случае более простым и геометрическим способом [4].

1. Пусть f имеет изолированную линейную особенность в начале пространства C^{n+1} . Тогда существует деформация \tilde{f} функции f , которая имеет на L только точки типа D_∞ и A_∞ , а вне L — только точки Морсовского типа A_1 .

Деформацию \tilde{f} функции f можно задать формулой $\tilde{f}(x, y, (a_{ij}), (b_{ij})) = f(x, y) + \sum_{i, j=1}^n (a_{ij} + b_{ij}x) y_i y_j$, где a_{ij} и b_{ij} — подходящие достаточно малые комплексные числа для любых i и j .



Для геометрического изучения особенности выберем $\varepsilon > 0$ и $\eta > 0$ так, что ограничение $f: B_\varepsilon \cap f^{-1}(D_\eta) \rightarrow D_\eta$ определяло расслоение Милнора на $D_\eta \setminus 0$ ([3]), где B_ε — замкнутый шар в начале пространства C^{n+1} радиуса ε , а D_η — диск в начале пространства C^1 радиуса η .

2. Пусть B_0 — малый цилиндр вокруг L ; тогда слой Милнора в B_ε гомотопически эквивалентен букету $2\tau - 1$ n -мерных сфер, где τ — число точек типа D_∞ для деформации \tilde{f} .

В интересующем нас случае функций двух комплексных переменных этот результат допускает следующее наглядное геометрическое истолкование:

Для функции $f = xy^2$ слой расслоения Милнора гомотопически эквивалентен окружности S^1 .

В самом деле, слой Милнора дифеоморфен $V_\delta = \{xy^2 = \delta\} \cap B_\varepsilon$, где $0 < \delta < \eta$. Пусть (x, y) принадлежит слою Милнора и $x = r e^{i\varphi}$, $0 \leq \varphi \leq 2\pi$;

тогда $y = \sqrt{\frac{\delta}{r}} e^{-i(\varphi/2 + k\pi)}$, где $k = 0, 1$. Отсюда видно, что при проекции множества V_δ на ось X в одну точку переходят две точки. Найдем прообраз произвольной окружности с центром в начале координат. Для простоты допустим, что окружность — единичного радиуса. Из приведенных формул видно, что на нашей поверхности, в частности, лежат следующие пары точек $(1, +\sqrt{\delta}), (1, -\sqrt{\delta}), (e^{\pi i/2}, \sqrt{\delta} e^{-\pi i/4}), (e^{\pi i/2}, \sqrt{\delta} e^{3\pi i/4}), (e^{\pi i}, \sqrt{\delta} e^{-\pi i/2}), (e^{\pi i}, \sqrt{\delta} e^{\pi i/2}), (e^{2\pi i}, -\sqrt{\delta}), (e^{2\pi i}, +\sqrt{\delta})$.

Отсюда уже видно, что в окружность переходит дважды намотанная окружность, причем при совершении полного оборота прообразы меняются местами. При изменении радиуса этой окружности легко убедиться в том, что слой Милнора представляет собой двулистную риманову поверхность с выколотой точкой, поэтому он гомотопически эквивалентен окружности S^1 .

Перейдем к общему случаю. Пусть $n=1$ и \tilde{f} — деформация f , имеющая для определенности две точки типа D_∞ . Пусть D_1 и D_2 — дизъюнктные диски в C^1 вокруг точек типа D_∞ . Выберем B_0 настолько малым, чтобы над $B_0 \cap L \setminus (D_1 \cup D_2)$ проекция $\pi: \tilde{f}^{-1}(t) \cap B_0 \rightarrow L$ была локально тривиальным расслоением. Выберем некоторый путь γ , соединяющий границы дисков. $D_1 \cup D_2 \cup \gamma$ является деформационным ретрактом $B_0 \cap L$, поэтому $\pi^{-1}(D_1 \cup D_2 \cup \gamma)$ гомотопически эквивалентно $\tilde{f}^{-1}(t) \cap B_0$. Поскольку $\pi^{-1}(D_1)$ и $\pi^{-1}(D_2)$ являются двулистными римановыми поверхностями с выколотой точкой и $\pi^{-1}(\gamma)$ пара прямых, получаем, что $\tilde{f}^{-1}(t) \cap B_0$ гомотопически эквивалентно двум окружностям, соединенным непересекающимися отрезками, что, очевидно, гомотопно букету из трех окружностей.

Мы показали, что две точки типа D_∞ порождают три окружности в букете. Случай произвольного n можно рассмотреть аналогично с помощью взятия надстройки.

Для слоя Милнора справедлива следующая

Теорема 1. ([1, 2, 4]). *Слой Милнора для $f: B_\varepsilon \cap f^{-1}(D_\eta) \rightarrow D_\eta$ гомотопически эквивалентен букету $s+2\tau-1$ n -мерных сфер, где s и τ — соответственно, числа морсовых точек и точек типа D_∞ .*

Основной проблемой становится вычисление s и τ .

Гипотеза Сирсмы [1, 2]. Пусть изолированная линейная особенность распадается на τ особых точек типа D_∞ на L и s особых точек типа A_1 вне L ; тогда

$$s = \dim_C(y^2)/\{\varepsilon_{x,y} f_x + (y) f_y\} \text{ и } r+s = \dim_C(y)/\varepsilon_{xy}(f_x, f_y),$$

где $\varepsilon_{x,y}$ — пространство ростков в 0 аналитических функций на C^{n+1} , (y) — идеал, порожденный в $\varepsilon_{x,y}$ элементами y_1, \dots, y_n а $f_x = \frac{\partial f}{\partial x}$ и $f_y = \frac{\partial f}{\partial y}$.

Эти формулы позволяют исследовать естественный вопрос о том, насколько необходимо возникают морсовские точки. В общем случае ответ на него не известен. Однако поскольку гипотеза Сирсмы верна при $n=1$ [5], это позволяет установить соотношение между τ и s .

Рассмотрим изолированную линейную особенность f в случае $n=1$. По лемме Адамара $f=y^2 g(x, y)$, где $g(0, 0)=0$ и $g(x, y)$ имеет изолированный нуль в начале пространства C^2 .

Лемма. Если число точек типа D_∞ для деформации f равно k , то $g(x, 0)$ правоэквивалентно ростку функции x^k .

Доказательство. Согласно пункту 1 для f существует деформация \tilde{f} , которая имеет вид $\tilde{f}(x, y, a, b) = y^2(g(x, y) + a + bx)$. Особые точки типа D_∞ получаются как решения системы уравнений $y=0$, $g(x, 0) + bx + a = 0$, где a и b — малые комплексные числа. Получаем уравнение $g(x, 0) + bx + a = 0$, которое должно иметь k -решений при малых значениях a и b . Поэтому $g(x, 0)$ правоэквивалентен ростку функции x^k .

Теорема 2. Пусть изолированная линейная особенность f при деформации распадается на τ особых точек типа D_∞ и s особых точек типа A_1 . Тогда справедливо неравенство $s \geq \tau - 1$.

Доказательство. По лемме $g(x, y) = x^\tau + h(x, y)$, где $h(x, y)$ полином, состоящий из членов $x^k y^m$ с $k \geq 0$, $m \geq 1$. По формуле Сирсмы число морсовских точек равно

$$s = \dim_C(y^2)/\left(y^2(\tau x^{\tau-1}) + \frac{\partial h}{\partial x}\right), \quad y^3 \frac{\partial h}{\partial y} + 2y^2(x^\tau + h(x, y)).$$

Рассматривая диаграмму Ньютона функции f , легко заключить, что мономы $y^2, y^2 x, \dots, y^2 x^{\tau-2}$ не принадлежат идеалу, порожденному ростками $y^2\left(\tau x^{\tau-1} + \frac{\partial h}{\partial x}\right)$ и $y^3 \frac{\partial h}{\partial y} + 2y^2(x^\tau + h(x, y))$. Поэтому размерность оценивается снизу их числом, равным $\tau - 1$.

Предложение. Если число τ особых точек типа D_∞ равно единице при деформации f , то морсовские точки отсутствуют.

Доказательство. По лемме $g(x, y)$ имеет вид $g(x, y) = x + h(x, y)$, где $h(0, 0) = 0$. Рассмотрим преобразование $w = x + h(x, y)$, $v = y$. Якобиан этого отображения равен $1 + \left.\frac{\partial h}{\partial x}\right|_{(0,0)} = 1$. Отсюда следует,

что наш росток f правоэквивалентен ростку функции, который имеет одну точку типа D_∞ и не имеет морсовских точек, ч. т. д.

Теорема 3. Если линейная особенность f задается однородным полиномом от двух комплексных переменных, то при $\tau > 1$ имеет место неравенство $s \geq \tau$, где s и τ те же, что и выше.

Доказательство. Как уже отмечалось, $f = y^2 g(x, y)$, где $g(x, y) =$

$=x^\tau + h(x, y)$, а $h(x, y)$ состоит из членов вида $x^k y^m$ с $k \geq 0$, $m \geq 1$.
По формуле Сирсмы

$$s = \dim_C(y^2) / \left\{ y^2 \left(\tau x^{\tau-1} + \frac{\partial h}{\partial x} \right), y^3 \frac{\partial h}{\partial y} + 2y^2 (x^\tau + h(x, y)) \right\},$$

причем ясно, что мономы $y^2, y^2 x, \dots, y^2 x^{\tau-2}, y^3$ не принадлежат идеалу $\tau y^2 x^{\tau-1} + y^2 \frac{\partial h}{\partial y}, y^3 \frac{\partial h}{\partial y} + 2y^2 x^\tau + 2y^2 h(x, y)$, так как $h(x, y)$ состоит из членов вида $x^k y^m$ с $k+m=\tau$, а $\tau > 1$, ч. т. д.

Условие однородности существенно, так как, например, функция $y^2(x^\tau + y)$ при распадении имеет τ точек типа D_∞ и $\tau-1$ морсовских точек. Таким образом, доказанные оценки не улучшаемы.

Тбилисский государственный университет

(Поступило 13.9.1984)

გათხმაზება

გ. შუბლაძე

თრი კომპლექსური ცვლადის ანალიზური ფუნქციის ურთის
იზოლირებულ განსაკუთრებულობათა შესახებ

რეზიუმე

აღწერილია იმ მდგრადი წრფივი D_∞ განსაკუთრებულობის მიღწოდის ფიბრაციის ფიბრის სტრუქტურა, რომელიც ზღვრულია მარტივ განსაკუთრებულობათა D სერიისა ვ. არნოლდის კლასიფიკაციით. ორი კომპლექსური ცვლადის ანალიზური ფუნქციის ნებისმიერ წრფივ იზოლირებულ განსაკუთრებულობათა დეფორმაციისათვის დადგენილია თანაფარდობები მორსის განსაკუთრებული წერტილების რიცხვისა და D_∞ ტიპის წერტილების რიცხვს შორის.

MATHEMATICS

M. Sh. SHUBLADZE

ON LINE ISOLATED SINGULARITIES OF ANALYTIC FUNCTIONS OF TWO COMPLEX VARIABLES

Summary

The structure of a fibre of the Milnor fibration of a stable line singularity $[D_\infty]$, being the limiting one for simple singularities of D series in V. I. Arnold's classification, is described. The relations between the number of Morse type singular points and the number of the D_∞ type points are established for deformations of arbitrary isolated line singularities of analytic functions of two complex variables.

ლიტერატურა — ЛИТЕРАТУРА — REFERENCES

1. D. Siersma. Isolated line singularities. Utrecht University, Dept. of Math., Preprint 217, 1981.
2. D. Siersma. Proc. of Symp. in Pure Math., 40, part 2, 1983, 485-496.
3. Дж. Милнор. Особые точки комплексных гиперповерхностей. М., 1971.
4. М. Ш. Шубладзе. X Респ. научно-метод. конфер. математиков вузов Грузинской ССР. Телави, 1983, 173—174.
5. В. В. Горюнов. Функц. анализ и его прил., 17, № 2, 1983, 24—37.

Ш. В. ХЕЛАДЗЕ

О БЕЗУСЛОВНОЙ СХОДИМОСТИ РЯДОВ ФУРЬЕ—ХААРА В СМЫСЛЕ МЕТРИКИ L

(Представлено академиком Б. В. Хведелидзе 19.11.1984)

Пусть f — интегрируемая функция на $[0,1]$. Рассмотрим ряд Фурье—Хаара функции f (определение системы Хаара см. [1])

$$\sum_{n=1}^{\infty} c_n(f) \chi_n(x), \quad x \in [0, 1], \quad (1)$$

где $c_n(f)$, $n=1, 2, \dots$, обозначает коэффициент Фурье—Хаара функции f .

Через S будем обозначать множество действительных измеримых функций s , удовлетворяющих условию $|s(x)| = 1$, $x \in [0, 1]$.

Обозначим через Π множество всех инъекций π , $\pi : \mathbb{N} \rightarrow \mathbb{N}$ (\mathbb{N} — множество натуральных чисел), а через $S_n^\pi(f)(x)$, $n=1, 2, \dots$, частичную сумму ряда

$$\sum_{k=1}^{\infty} c_{\pi(k)}(f) \chi_{\pi(k)}(x), \quad x \in [0, 1].$$

Доказывается следующая

Теорема 1. Пусть φ непрерывно дифференцируемая, неотрицательная, неубывающая функция, определенная на $[0, \infty)$ и удовлетворяющая условиям $\varphi \neq 0$, $\varphi(2t) = O(\varphi(t))$, $t\varphi'(t) = O(\varphi(t))$, $t \rightarrow \infty$. Тогда существует такая константа $C > 0$, что для любой функции f , $f \cdot \varphi |f| \in L(0, 1)$ можно найти такую функцию $s \in S$, что

$$\int_0^1 |S_n^\pi(sf)(x)| \cdot \varphi |S_n^\pi(sf)|(x) dx \leq C \left[\int_0^1 |f(x)| \varphi |f|(x) dx + 1 \right],$$

$n=1, 2, \dots$, $\pi \in \Pi$.

Известно, что если $f \notin L \lg L$, то ряд (1) вообще говоря не сходится безусловно в смысле метрики L : существует такая интегрируемая функция вида

$$f(x) = \sum_{n=1}^{\infty} a_n \operatorname{1}_{\left[\frac{1}{2^n}, \frac{1}{2^{n-1}}\right)}(x), \quad x \in [0, 1], \quad (2)$$

($\operatorname{1}_E$ обозначает характеристическую функцию измеримого множества $E \subset [0, 1]$), $a_n > 0$, $n=1, 2, \dots$, что ряд Фурье—Хаара этой функции не сходится безусловно в L [2]. Более того, можно утверждать, что необхо-



димым и достаточным условием для безусловной сходимости ряда Фурье—Хаара в смысле метрики L функции f вида (2) является условие $f \in L \log L$.

Ставится вопрос: каков максимальный класс интегрируемых функций, обладающих тем свойством, что для любой функции из этого класса существует функция с тем же модулем ряд Фурье—Хаара которой безусловно сходится в L ? Ответ на этот вопрос содержится в следующей теореме, которая показывает, что этот класс совпадает со всем L . Этим решается задача отыскания оболочки [4].

Теорема 2. Для любых функции f , $f \in L(0, 1)$ и $\varepsilon > 0$ существует такая функция $s \in S$, что

$$\mu(x \in [0, 1] : s(x) \neq 1) < \varepsilon$$

(μ —мера Лебега) и для любого $\pi \in \Pi$ ряд

$$\sum_{k=1}^{\infty} c_{\pi(k)}(sf) x_{\pi(k)}(x), \quad x \in [0, 1],$$

сходится в смысле метрики L .

Таким образом, безусловная сходимость ряда (1) в смысле метрики L не накладывает никаких ограничений на модуль функции f .

Доказательство теоремы 1 проводится по той же схеме, что и доказательство теоремы 1 из работы [3] (см. также [5]) и главным образом опирается на следующую лемму, аналогичную лемме 4 из [3] (см. также [6, 7]), а теорема 2 получается из теоремы 1 (положить $\varphi(t)=1$, $t \in [0, \infty]$).

Лемма. Пусть $f \in L(0, 1)$. Для любого $\varepsilon > 0$ существует такая функция $s \in S$, что

$$\mu(x \in [0, 1] : |S_n^\pi(sf)(x)| > \varepsilon) \leq 2 \mu(x \in [0, 1] : |f(x)| > 0).$$

при любых $n=1, 2, \dots$ и $\pi \in \Pi$.

Доказательство. Пусть $f(x) = 1_{I_m^k}(x)$, $x \in [0, 1]$,

где

$$I_m^k = \left(\frac{k}{2^m}, \frac{k+1}{2^m} \right),$$

$m=0, 1, 2, \dots$, $k=0, 1, 2, \dots, 2^m-1$. Рассмотрим функцию

$$s(x) = \begin{cases} 1, & \text{если } x \in \left(\frac{k}{2^m}, \frac{k}{2^m} + \frac{1}{2^{m+1}} \right), \\ -1, & \text{если } x \in \left[\frac{k}{2^m} + \frac{1}{2^{m+1}}, \frac{k+1}{2^m} \right), \\ 1, & \text{если } x \notin I_m^k. \end{cases}$$

Следовательно, что $s \in S$ и $s(x)f(x) = \frac{1}{\sqrt{2^m}} \chi_m^{(k)}(x)$, почти для всех x и, следовательно, для любых $n=1, 2, \dots$ и $\pi \in \Pi$ получаем

$$\mu(x \in [0, 1] : |S_n^\pi(s \chi_m^{(k)})(x)| > 0) \leq \mu I_m^k.$$

Из последнего следует справедливость леммы для функции $f=1_G$, где G — объединение непересекающихся интервалов вида $I_m^{(k)}$, $m=0, 1, 2, \dots$, $k=0, 1, 2, \dots, 2^m-1$.

Пусть $E \subset [0, 1]$ — произвольное измеримое множество, $\mu E > 0$ и $\varepsilon > 0$. Существует такое множество G (G — объединение непересекающихся интервалов вида $I_m^{(k)}$), что

$$E \subset G, \mu(G-E) \leq \frac{1}{2} \varepsilon^2 \mu E.$$

В силу вышесказанного существует такая функция $S \in S$, что

$$\mu(x \in [0, 1] : |S_n^\pi(s 1_E)(x)| > \varepsilon) > \tau G.$$

Из последнего, учитывая неравенство

$$\mu(x \in [0, 1] : |S_n^\pi(f)(x)| > \varepsilon) \leq \frac{1}{\varepsilon^2} \int_0^1 |f(x)|^2 dx, f \in L^2(0, 1), \varepsilon > 0,$$

получаем, что для любых $n=1, 2, \dots$ и $\pi \in \Pi$

$$\begin{aligned} \mu(x \in [0, 1] : |S_n^\pi(s 1_E)(x)| > \varepsilon) &\leq \mu(x \in [0, 1] : |S_n^\pi(s 1_G)(x)| > 0) + \\ &+ \mu(x \in [0, 1] : |S_n^\pi(s 1_{G-E})(x)| > \varepsilon) \leq \mu G + \\ &+ \frac{1}{\varepsilon^2} \int_0^1 |s(x) 1_{G-E}(x)|^2 dx \leq 2 \mu E. \end{aligned}$$

Т. е. лемма доказана для любой функции $f=1_E$, $E \subset [0, 1]$ и, следовательно, для любой элементарной функции.

Повторяя те же рассуждения, нетрудно проверить справедливость леммы для функций из класса $L^2(0, 1)$ и, следовательно, для любой функции из $L(0, 1)$.

Наконец, для доказательства теорем 1 и 2 нам остается повторить те же рассуждения, с помощью которых доказываются теоремы 1 и 2 из работы [3] (см. также [5, 6]).

Аналогичные результаты справедливы и для кратных рядов Фурье—Хаара.

Академия наук Грузинской ССР
Тбилисский математический институт
им. А. М. Размадзе

(Поступило 23.11.1984)

გათებაზისა

გ. გვარი

ფური — პარის მუზეუმის L -ში უპირობოდ პრეზარვირის უსახებ

რეზის მე

დამტკიცებულია, რომ ნებისმიერ ინტეგრებად ფუნქციას ისე შეიძლება შეცვალოს ნიშანი რაგინდ მცირე ზომის სიმრავლეზე, რომ ახლადმიღებული ფუნქციის ფური — პარის მუზეუმის უპირობოდ კრებადი იქნება L -ში.

Sh. V. KHELADZE

ON THE UNCONDITIONAL CONVERGENCE OF THE FOURIER-HAAR SERIES IN THE SENSE OF THE METRIC L

S u m m a r y

It is proved that the sign of any integrable function on the set of an arbitrarily small measure can be changed so that the Fourier-Haar set of the newly obtained function will be convergent unconditionally in the sense of the metric L .

ЛІТЕРАТУРА — REFERENCES

1. С. Качмаж, Г. Штейнгауз. Теория ортогональных рядов. М., 1958.
2. М. Б. Петровская. Сиб. матем. ж., 9 № 4, 1968, 863—879.
3. Ш. В. Хеладзе. Матем. сб., 107 (149) № 2 (10), 1978, 245—258.
4. О. Д. Церетели. Семинар ИПМ Тбил. ун-та. Аннотации докладов, 6, 1972, 33—36.
5. О. Д. Церетели. Сообщения АН ГССР, 75, № 3, 1974, 557—560.
6. О. Д. Церетели. Матем. заметки, 4, вып. 4 (1968), 461—465.
7. Ш. В. Хеладзе. Труды Тбил. матем. ин-та АН ГССР, 66, 1980, 108—117.

МЕХАНИКА

В. А. ҚАЛАНДАДЗЕ, Н. Р. ЦИРЕКИДЗЕ

РАСЧЕТ ЛОВИТЕЛЬНОГО УСТРОЙСТВА ВАГОНОВ
ПОДВЕСНОЙ КАНАТНОЙ ДОРОГИ С РЕГУЛИРУЕМЫМ
ТОРМОЗНЫМ УСИЛИЕМ

(Представлено академиком А. А. Дзидзигури 17.7.1984)

В последнее время в СССР и за рубежом появились ловительные устройства вагонов подвесных канатных дорог (ПКД) с автоматическим регулированием тормозного усилия F_T в зависимости от замедления вагона

$$F_T = f \left(\frac{dV}{dt} \right).$$

Обычно $f \left(\frac{dV}{dt} \right)$ является полиномом первого порядка

$$f \left(\frac{dV}{dt} \right) = A \frac{dV}{dt} + B,$$

где A и B — известные постоянные, зависящие от параметров ловительного устройства.

Рассмотрим движение вагонов после обрыва тягового каната, начиная с момента зажатия несущего каната колодками ловительного устройства до полной его остановки. Этот процесс можно разделить на два периода.

Первый период охватывает время от начала торможения до посадки натяжного груза на дно колодца.

Примем следующие обозначения: m_1, a_1 и m_2, a_2 — масса и угол подъема соответственно движущихся вниз и вверх вагонов; G — вес натяжного груза хвостового каната; q — вес погонного метра хвостового каната; h_1 и h_2 — разность высот между натяжным блоком и соответственно первым и вторым вагонами; M_1 и M_2 — масса натяжного устройства и натяжного шкива, приведенная к радиусу последнего; μ_0 — коэффициент трения качения вагона о несущий канат.

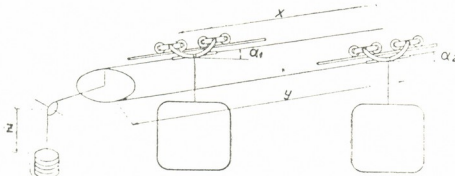


Рис. 1

Обобщенные силы системы направим по осям X и Y (рис. 1). Допуская, что вагоны перемещаются по касательной, проведенной в точке их нахождения в начале периода, получаем

$$Q_1 = m_1 g (\sin \alpha_1 - \mu_0 \cos \alpha_1) + \frac{G}{2} + q h_1 - F_{T1}, \quad (1)$$

$$Q_2 = -m_2 g (\sin \alpha_2 + \mu_0 \cos \alpha_2) - \frac{G}{2} - q h_2 - F_{T2}, \quad (2)$$

где

$$F_{T1} = A_1 \ddot{X} + B_1; \quad F_{T2} = A_2 \ddot{Y} + B_2.$$

Живая сила системы

$$T = \frac{m_1 \dot{X}^2}{2} + \frac{m_2 \dot{Y}^2}{2} + \frac{M}{2} \left(\frac{\dot{X} - \dot{Y}}{2} \right)^2 + \frac{M_1}{2} \left(\frac{\dot{X} + \dot{Y}}{2} \right)^2. \quad (3)$$

Составляя искомые уравнения Лагранжа второго рода, получаем

$$a \ddot{X} + b \ddot{Y} = P, \quad (4)$$

$$c \ddot{Y} + d \ddot{X} = N, \quad (5)$$

тогда

$$P = m_1 g (\sin \alpha_1 - \mu_0 \cos \alpha_1) + \frac{G}{2} + q h_1 - B_1,$$

$$N = -m_2 g (\sin \alpha_2 + \mu_0 \cos \alpha_2) - \frac{G}{2} - q h_2 - B_2,$$

$$a = \frac{M + M_1}{2} + m_1 - A_1, \quad b = \frac{M_1 - M}{4}, \quad d = b - A, \quad c = \frac{M + M_1}{4}.$$

Решая систему уравнений при начальных условиях $t = 0$, $\dot{X} = \dot{X}_0$, $X = X_0$, $Y = Y_0$, получаем уравнения движения вагонов $\dot{Y} = \dot{Y}_0$

$$Y = \frac{a N - P d}{a c - b d} t^2 + \dot{Y}_0 t + Y_0; \quad (6)$$

$$X = \left(\frac{P}{a} - \frac{b}{a} \frac{a N - P d}{a c - b d} \right) t^2 + \dot{X}_0 t + X_0; \quad (7)$$

$$\dot{Y} = \frac{a N - P d}{a c - b d} t + \dot{Y}_0; \quad (8)$$

$$\dot{X} = \left(\frac{P}{a} - \frac{b}{a} \frac{a N - P d}{a c - b d} \right) t + \dot{X}_0; \quad (9)$$

$$\ddot{Y} = \frac{a N - P d}{a c - d b}; \quad (10)$$

$$\ddot{X} = \left(\frac{P}{a} - \frac{b}{a} \frac{a N - P d}{a c - b d} \right). \quad (11)$$

Положение натяжного груза после обрыва тягового каната можно выразить уравнением [1]

$$Z = \frac{X - Y}{2}. \quad (12)$$

Считая начальное значение Z известным и подставляя (6) и (7) в (12), после несложных операций получаем время посадки натяжного груза на дно колодца

$$t = \frac{\dot{Y}_0 - \dot{X}_0 + \sqrt{(\dot{Y}_0 - \dot{X}_0)^2 - 2(\dot{X} - \dot{Y})(X_0 - Y_0)}}{\dot{X} - \dot{Y}}. \quad (13)$$

Второй период охватывает время после посадки натяжного груза до полной остановки вагонов. В этом периоде связь между вагонами прекращается и они двигаются независимо друг от друга.

При составлении уравнения движущегося вниз вагона учитываются изменения его угла подъема и энергии натяжного груза несущего

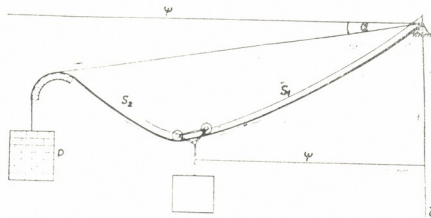


Рис. 2

каната, ход которого согласно (1) определяется координатой γ (рис. 2)

$$\gamma = \frac{m_1 g \Psi}{2 H^2} \left(\frac{m_1 g \cos \alpha}{l} + q \right) (l - \Psi),$$

где Ψ — ордината вагона; l — длина пролета; H — горизонтальная составляющая натяжения несущего каната; α — угол наклона хорды пролета.

Направляя обобщенную силу по касательной каната в точке нахождения вагона, можем написать

$$Q_3 = m_1 g \left(\sin \alpha - \frac{l - 2\Psi}{2H} \right) \left(Q + \frac{2m g}{l} \cos \alpha \right) - F_{T1} - \\ - P \frac{m_1 g \cos \alpha}{2H^2} \left(m_1 g \frac{\cos \alpha}{l} + Q \right) (l - 2\Psi),$$

где $P = M_2 g$ — вес натяжного груза; M_2 — масса натяжного груза; Q — вес погонного метра несущего каната.

Живая сила системы

$$T_1 = \frac{m_1 S_2^2}{2} + \frac{M_2 \gamma^2}{2}.$$

Составляя уравнения Лагранжа второго рода и учитывая, что $P \approx \frac{H}{\cos \alpha}$, получаем следующее дифференциальное уравнение:

$$A \ddot{\Psi} + B \dot{\Psi} + C = 0, \quad (14)$$

где

$$A = \frac{m_1}{\cos \alpha} + A_1; \quad B = -\frac{m_1^2 g^2 \cos \alpha}{Hl};$$

$$C = -m_1 g \sin \alpha - B_1 + \frac{m_1^2 g^2}{2H} \cos \alpha.$$



Решая (14) при начальных условиях $t = 0$; $\Psi = \Psi_0$; $\dot{\Psi} = \dot{\Psi}_0$ с учетом, что $\lambda^2 = 4 \frac{B}{A} > 0$, согласно [2] получаем

$$\Psi = A' \sin \frac{\lambda}{2} (t - X) - \frac{C}{B}; \quad (15)$$

$$\dot{\Psi} = \frac{\lambda A'}{2} \cos \frac{\lambda}{2} (t - X); \quad (16)$$

$$\ddot{\Psi} = -\frac{\lambda^2}{4} A' \sin \frac{\lambda}{2} (t - X) = \left(\Psi + \frac{C}{B} \right) \left(-\frac{\lambda^2}{4} \right). \quad (17)$$

Здесь

$$A' = \sqrt{\left(\Psi_0 + \frac{C}{B} \right) + 4 \frac{\dot{\Psi}_0^2}{\lambda^2}}; \quad (18)$$

$$X = -\frac{2}{\lambda} \arccos \frac{2 \dot{\Psi}_0}{\lambda A'}. \quad (19)$$

Из уравнения (16) время до полной остановки вагона

$$t_1 = \frac{\pi}{\lambda} + X. \quad (20)$$

Формулы (6)–(11), (13), (15)–(19) позволяют с достаточной точностью описать закон движения вагонов после обрыва тягового каната до полной их остановки и использовать их для расчета необходимого тормозного усилия ловительного устройства вагона ППКД.

Академия наук Грузинской ССР

Институт горной механики

им. Г. А. Цулукидзе

(Поступило 7.9.1984)

2022-01-01

3. კალანდაძე ნ. ცირეკიძე

გიღული გაბირგზის ვაგონის სამუხრუპე ქალის რეგულირებადი
დამკერი მოწყობილობის ანგარიში, რომელიც, მოუხედავად ვაგონის წონისა
და ტრასაზე მისი აღვილმდებარეობისა, საჭმაო სიზუსტით აღწერს ვაგონთა
მოძრაობის კანონებს საწევი ბაგირის გაწყვეტილან მათ საბოლოო გაჩერებამ-
დე.

რეზიუმე

განხილულია შენელების მიხედვით სამუხრუპე ძალის რეგულირებადი
დამკერი მოწყობილობის ანგარიში, რომელიც, მოუხედავად ვაგონის წონისა
და ტრასაზე მისი აღვილმდებარეობისა, საჭმაო სიზუსტით აღწერს ვაგონთა
მოძრაობის კანონებს საწევი ბაგირის გაწყვეტილან მათ საბოლოო გაჩერებამ-
დე.

MECHANICS

V. A. KALANDADZE, N. R. TSIREKIDZE

CALCULATION OF THE ARRESTER OF A SUSPENSION
CABLEWAY CAR WITH A CONTROLLED BRAKING EFFORT

Summary

Calculation of the arrester with automatic control of the braking effort is considered, depending upon the delay of cars. Irrespective of the number of passengers in the car and its location, the calculation permits to describe precisely the law of car movement after the rupture of the haulage cable to its complete stopping.

МЕХАНИКА

М. Т. КУЦИЯ

ВЛИЯНИЕ ПРОМЕЖУТОЧНОЙ ЕМКОСТИ НА ВЕРОЯТНОСТЬ
ФУНКЦИОНИРОВАНИЯ СОСТАВНЫХ СТУПЕНЕЙ
МНОГОСТУПЕНЧАТОЙ ГИДРОТРАНСПОРТНОЙ СИСТЕМЫ

(Представлено академиком А. А. Дзидзигури 17.7.1985)

На горнодобывающих и перерабатывающих предприятиях большое распространение получили многоступенчатые гидротранспортные системы (ГТС) с разрывом потока. Применяемые емкости достаточно объема на промежуточных насосных станциях выполняют роль временного резерва и обеспечивают определенную независимость работы отдельных ступеней многоступенчатых ГТС.

В работе методами дискретных цепей Маркова дается анализ влияния промежуточной емкости на вероятность функционирования примыкающих к ней ступеней ГТС.

Непрерывный процесс функционирования ГТС разделим на промежутки времени Δt (r), соответствующие транспортированию гидросмеси объема ΔV (m^3), и будем считать, что переходы из одного состояния ступеней в некоторое другое состояние будут происходить по истечении времени Δt (Δt может определяться из среднестатистического значения времени переключения грунтового насоса на резервный).

Введем следующие обозначения: $I^{(1)}$, $I^{(2)}$ —соответственно первая (до емкости) и вторая ступени ГТС; V —объем промежуточной емкости, m^3 ; $I_1^{(1)}$, $I_2^{(1)}$, $I_3^{(1)}$ —соответственно события: $I^{(1)}$ находится в работоспособном состоянии; $I^{(1)}$ находится в работоспособном состоянии, но пропаивает из-за отказа $I^{(2)}$; $I^{(1)}$ находится в отказовом состоянии. Аналогичные события для ступени $I^{(2)}$ обозначаются через $I_1^{(2)}$, $I_2^{(2)}$, $I_3^{(2)}$; E_m —событие — в промежуточной емкости находится $m\Delta v$ объем гидросмеси ($m=0, \overline{M}$, M —целая часть от $V/\Delta v$); $P_i^{(j)} = P\{I_j^{(i)}\}$ —стационарные вероятности нахождения ступени $I^{(i)}$ в соответствующих состояниях ($i=1, 2$; $j=1, 2, 3$), причем, $P_1^{(1)}$ и $P_1^{(2)}$ выражают собой стационарные вероятности функционирования соответствующих ступеней; $P_m = P\{E_m\}$, $m=\overline{0, M}$.

Матрица переходных вероятностей для различных состояний ступени $I^{(1)}$ имеет следующий вид:

$$\begin{bmatrix} 1 - \frac{\Delta t}{T_1} - \frac{\Delta t}{T_2} & P_M & \frac{\Delta t}{T_2} P_M & \frac{\Delta t}{T_1} \\ \frac{\Delta t}{T_2} & 1 - \frac{\Delta t}{T_2} & 0 & \\ \frac{\Delta t}{T_1} & 0 & 1 - \frac{\Delta t}{T_1} & \end{bmatrix}$$



где T_i , T'_i — соответственно наработка на отказ и среднее время восстановления ступени $T^{(i)}$ ($i=1, 2$). Аналогично составляется матрица переходных вероятностей различных состояний для ступени $I^{(s)}$. В таком случае вероятности функционирования ступеней будут иметь следующий вид:

$$P_1^{(1)} = \frac{k_{r1} \cdot k_{r2}}{k_{r2} + k_{r1}(1-k_{r2}) \cdot P_M}, \quad P_1^{(2)} = \frac{k_{r1} \cdot k_{r2}}{k_{r1} + k_{r2}(1-k_{r1}) \cdot P_0}, \quad (1)$$

где $k_{ri}=T_i/(T_i+T'_i)$ — стационарный коэффициент готовности ступени $I^{(i)}$, $i=1, 2$; P_0 и P_M — соответственно вероятности того, что промежуточная емкость пустая и полная.

Для определения вероятностей P_0 и P_M воспользуемся методикой предложенной в [1].

Если в момент времени t в промежуточной емкости содержится $m \cdot \Delta v$ объем гидросмеси, что соответствует событию E_m , то к концу времени $t+\Delta t$ в емкости может оказаться: $(m-1)\Delta v$ объем гидросмеси (событие E_{m-1} , $m \geq 1$) с вероятностью $k_{r2}(1-k_{r1})$, $m+1 \cdot \Delta v$ (событие E_{m+1} , $m \leq M-1$) с вероятностью $k_{r1}(1-k_{r2})$ или оставаться этот же объем с вероятностью $1-k_{r2}(1-k_{r1})-k_{r1}(1-k_{r2})$.

В таком случае получим

$$P_0 = \frac{1 - \frac{k_{r1}(1-k_{r2})}{k_{r2}(1-k_{r1})}}{1 - \left\{ \frac{k_{r1}(1-k_{r2})}{k_{r2}(1-k_{r1})} \right\}^{M+1}}, \quad P_M = P_0 \cdot \left\{ \frac{k_{r1}(1-k_{r2})}{k_{r2}(1-k_{r1})} \right\}^M. \quad (2)$$

На рис. 1 даются кривые изменения вероятности функционирования составных ступеней в зависимости от объема промежуточной емкости.

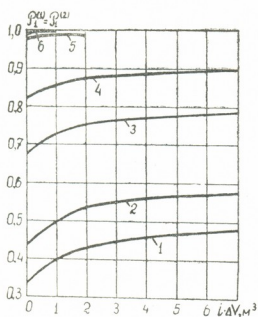


Рис. 1. Зависимость вероятностей функционирования составных ступеней гидротранспортной системы от объема промежуточной емкости при равных значениях коэффициентов готовности:

1. $k=0,5$;
2. $k=0,6$;
3. $k=0,8$;
4. $k=0,9$;
5. $k=0,99$;
6. $k=0,999$

Анализ этих кривых показывает, что применение промежуточных емкостей больших объемов целесообразно для ГТС, составные ступени которых имеют невысокие показатели надежности (менее 0,9). Для ГТС с высокими показателями надежности составных ступеней (порядка 0,99) применение промежуточной емкости не приводит к существенному увеличению их вероятности функционирования.

Академия наук Грузинской ССР

Институт горной механики
им. Г. А. Цулукидзе

(Поступило 17.7.1985)

Բ. ԿՇԱԾՈՅ

ՇՄԱԼԵԴՄՐՈ ՅՈՒԺՆՈՒՅԻ ՅՈՒՆԵԼՐՈՒ ՑԱՎԼԵՆԱ ՅՆԱՎԱԼՍԱՑԵՄՐՈՒՆՈ
ՖՈԼԴՐՈՍԱԳՐԱԿՏՈՐԸ ՍՈՏԵՎՈՅՈՒ ՇՈԽԱՇԽԵԿԵԼՈ ՍԱՑՎԵՄՐՈՒՅՈՒ
ՑՇԵՖՑՈՐԵԿՈՐՎՈՒՅՈՒ ԱԼՔԱՏՐՈՒՑԱՑԵ

Հ Ե Ց Ո Ս Ց Յ

Յարկոցու ԸՆՍԿՐԵՄՌՈ Շեմուելու ՑՐՈՎԵՍԵՑՈՒՅՈ ՏԵՂՐՈՒՈՍ ՅԱՄՈՎԵՐԵ-
ՑՈՒ ԾԱԾԿԵՑՄՈՒՅՈ ՄՈԽԵՑՈ ՄՈՎԱԼՈՒՅՈ ՅԱՎԼԵՆԱ ՄԻՋԱԼՍԱ-
ՑԵԿՄԱՆ ՖՈԼԴՐՈՍԱԳՐԱԿՏՈՐԸ ՍՈՏԵՎՈՅՈՒ ՎԱԼԿԵՄՌՈ ՍԱԳՐԵԿՄԱՆ ՑՄՌԵ-
ՑԵ ՑԱՎՎԵՏՈԼՈ ԽԱՋՈՒՈ. ՇԵՄԱԾԿԵՆԵԼՈ ՍԱԳՐԵԿՄԱՆ ՑՄՌԵԼՈՒՅՈ ՅԱՀԵ-
ՆԵՑՄԵՑՈՒՅՈ ՅԱՎՎԱԼՈՍ ՑՐՈՎԵԼՈ ԾԱԾԿԵՑՄՈՒՅՈ ՇՄԱԼԵԴՄՐՈ ՄՈԽԵՑՈ
ՅՈՒՅՈ ՅԱՄՈՎԵՐԵՑՈՒՅՈ ԱԼՔԵՑՈ ՄԻՋԱԼՍԱՑԵԿՄԱՆ ՖՈԼԴՐՈՍԱԳՐԱԿՏՈՐԸ ՍՈՏԵՎ-
ՑԵՑՄՈՒՅՈ.

MECHANICS

M. T. KUTSIA

THE EFFECT OF THE INTERMEDIATE CAPACITY ON THE
PROBABILITY OF FUNCTIONING OF THE COMPONENT
STAGES OF A MULTI-STAGE HYDROTRANSPORT SYSTEM

Summary

Using the methods of the theory of discrete Markovian chains, formulae have been obtained for determining the probability of functioning of the component stages of a hydrotransport system, with the flow disruption at the intermediate pumping station. It has been found advisable to use intermediate capacities in multi-stage hydrotransport systems, depending on the reliability indices of the component stages.

ՀԱՅԱՍՏԱՆԻ — ЛИТЕРАТУРА — REFERENCES

1. X. B. Кордонский. Приложение теории вероятностей в инженерном деле. Л., 1963.

ФИЗИКА

Н. Ш. ХАРШИЛАДЗЕ, Т. Д. КАМУШАДЗЕ, Н. И. МАИСУРАДЗЕ,
Т. Г. ТАБАГАРИ, И. П. ГИКОШВИЛИ, Л. Ш. БАКРАДЗЕ,
С. Г. НЕМСАДЗЕ

ИССЛЕДОВАНИЕ ВЛИЯНИЯ ДОПОЛНИТЕЛЬНОГО
 $p-n$ -ПЕРЕХОДА НА МАГНИТОЧУВСТВИТЕЛЬНОСТЬ
МАГНИТОДИОДА

(Представлено членом-корреспондентом Академии Л. Л. Бушвили 20.9.1984)

Развитие современной микроэлектроники во многом зависит от создания новых функциональных устройств на основе более эффективных, по сравнению с существующими, механизмов преобразования электрических, оптических и магнитных сигналов, повышения степени интеграции и микроминиатюризации схем, радикального улучшения их параметров и т. д. На сегодняшний день для ряда устройств автоматики и вычислительной техники крайне необходимы планарные магнитодиоды (МД) с высокой чувствительностью к магнитному полю [1].

Результаты исследований кремниевых планарных МД, механизм работы которых основывается на различии времени жизни носителей в объеме и на поверхности структуры, показали, что на их магниточувствительность (МЧ) существенное влияние оказывает скорость поверхностной рекомбинации (СПР) на холловских поверхностях структур [2–4]. В связи с этим надежность МД сильно зависит от изменения величины СПР, которое возникает во время старения структуры (изменяются поверхностные состояния).

С целью исключения влияния трудноконтролируемого значения СПР на МЧ магнитодиодных структур в настоящей работе реализована и исследована планарная $p^+ - i(p) - n^+$ МД структура на основе кремния, которая отличается от существующих МД тем, что в $i(p)$ -области располагается дополнительный n_0^+ -слой. На рис. 1 приводятся схематическое изображение и энергетическая модель (б) исследованных нами структур.

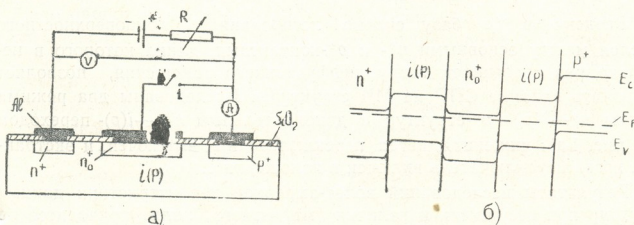


Рис. 1. Конструкция (а) и энергетическая модель (б) МД с дополнительным $p-n$ -переходом

В качестве базового материала нами был выбран высокоомный кремний p -типа проводимости, обычно применяемый для изготовления планарных МД. При комнатной температуре параметры этого материала: „მომბაზი“, გ. 123, № 2, 1986

ла имеют следующие значения: $\rho \geq 2 \cdot 10^4$ Ом·см, концентрация дырок $p \leq 2 \cdot 10^{11}$ см $^{-3}$, время жизни $\tau \approx (1 \div 5) \cdot 10^{-4}$ с, длина диффузионного смещения $L \approx (4 \div 10) \cdot 10^{-2}$ см. Результаты численного моделирования МД [5] позволили рассчитать конкретные размеры $p^+ - i(p) - n^+$ МД структур на основе данного материала.

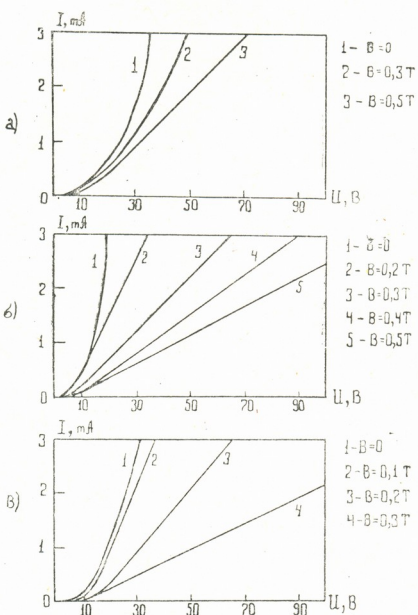


Рис. 2. ВАХ магниточувствительной $p^+ - i(p) - n^+$ -структуры: а — для обычных МД, б, в — для МД с дополнительным $p - n$ -переходом соответственно в режиме инжекции и экстракции

Введение в $i(p)$ базу сильно легированного приповерхностного n_0^+ -слоя между основными n^+ - и p^+ -контактами, длина которого в несколько раз превышает длину диффузионного смещения, позволяет исключить влияние СПР на МЧ структуры. Исследованы два режима работы $n^+ - i(p) - p^+$ -структур с дополнительным $n_0^+ - i(p)$ -переходом (см. рис. 1-а): инжекция, когда переключатель К выключен, и экстракция, когда переключатель включен в положении 1.

Результаты исследований вольт-амперной характеристики данных структур при отсутствии и наличии магнитного поля приводятся на рис. 2.

Было установлено, что в режиме инжекции при отсутствии магнитного поля исследованные образцы в прямом смещении имеют меньшее сопротивление по сравнению с обычными $n^+ - i(p) - p^+$ МД структурами аналогичных размеров без дополнительного $n_0^+ - i(p)$ -перехода. Магнитное поле приводит к резкому увеличению сопротивления

образцов, а зависимость их сопротивления от напряженности магнитного поля существенно выше по сравнению с обычными МД (см. рис. 2,а, б).

Полученные результаты мы объясняем следующим образом. Расположение дополнительного приповерхностного слоя — n_0^+ между n^+ -эмиттером и p^+ -коллектором приводит к возникновению потенциального барьера на границе раздела n_0^+ - и $i(p)$ -слоев, который смешен в прямом направлении для инжектированных из эмиттера электронов. Эти электроны будут свободно проникать в n_0^+ -область, электронейтральность $n_0^+ - i(p)$ -перехода нарушится, что приведет к дополнительной инжекции дырок из $i(p)$ -области, и, таким образом, общий электроно-дырочный ток увеличится. Наличие магнитного поля соответствующего направления препятствует инжекции электронов из n_0^+ -области в $i(p)$ -область. Это приводит и уменьшению проводимости $i(p)$ -базы и соответственно всей структуры. Таким образом, увеличение напряженности подаваемого магнитного поля приводит к существенному повышению сопротивления $n^+ - i(p) - p^+$ -структуре с дополнительным $n^+ - i(p)$ -переходом.

Результаты измерений ВАХ показали, что в отсутствии магнитного поля сопротивление исследованных образцов в режиме экстракции превышает их сопротивления в режиме инжекции. Также было установлено, что сопротивление образцов увеличивается в магнитном поле. Причем прирост сопротивления в магнитных полях с одинаковой напряженностью в режиме экстракции превышает этот же параметр в режиме инжекции (см. рис. 2,б, в).

Полученные экспериментальные результаты можно объяснить следующим образом. В режиме экстракции, когда переключатель К включен в положении 1, дополнительный n_0^+ -слой закорачивается с p^+ -коллектором. Таким образом, $n_0^+ - i(p)$ -переход включается в обратном направлении и высота потенциального барьера $n_0^+ - i(p)$ -перехода увеличивается. Естественно увеличивается интенсивность проникновения инжектированных из эмиттера электронов в n_0^+ -область, через которую они будут экстрагироваться в электрическую цепь. В связи с этим концентрация инжектированных носителей в базу уменьшается и соответственно увеличивается ее сопротивление по сравнению с режимом инжекции. Магнитное поле соответствующего направления будет способствовать усилению эффекта экстракции инжектированных из эмиттера электронов в $n_0^+ - i(p)$ -переход, что приведет к уменьшению концентрации неравновесных электронов в базе и к повышению сопротивления структуры в целом.

Таким образом, результаты экспериментальных исследований, полученные в данной работе, показывают, что включение в обычных планарных МД структурах между эмиттером и коллектором дополнительного сильно легированного слоя n -типа проводимости исключает зависимость их МЧ от СПР, так как изменяется механизм работы МД, и приводит к существенному повышению их магниточувствительности. При этом в режиме экстракции увеличение МЧ намного выше по сравнению с режимом инжекции.

ნ. ხარშილაძე, თ. თაბაგარი, ნ. მაისურაძე, თ. თაბაგარი, ი. გიკოშვილი,
 ლ. ბაკრაძე, ს. ნემსაძე

მაგნიტოდიოდის მაგნიტოგრამოგარენაზე დაგატებითი $p-n$ -
 გადასასვლელის გავლენის გამოკვლევა

რეზიუმე

შესწავლით $n^+ - i(p) - p^+$ სტრუქტურები, რომლებიც იმით განსხვავდებიან არსებული პლანარული მაგნიტოდიოდებისაგან, რომ მათში n^+ -ემიტერისა და p^+ -კოლექტორის შორის ჩართულია დამატებითი n^+ -ის, რომელიც $i(p)$ -ფენასთან ერთად ქმნის $p-p$ -გაღასასვლელს. მაგნიტურ ველში და მის გაგარეშე ნიმუშების ვოლტ-ამპერული მახასიათებლების გამოკვლევით დადგინდა, რომ მათი მუშაობის მექანიზმი განსხვავდება ჩვეულებრივი მაგნიტოდიოდებისაგან, რაც მათი მაგნიტომგრძნობიარობის მნიშვნელოვანი გაზრდის საშუალებას იძლევა.

PHYSICS

N. Sh. KHARSHILADZE, T. D. KAMUSHADZE, N. I. MAISURADZE,
 T. G. TABAGARI, I. P. GIKOSHVILI, L. Sh. BAKRADZE, S. G. NEMSADZE

INVESTIGATION OF THE COMPLEMENTARY $p-n$ JUNCTION EFFECT ON MAGNETODIODE MAGNETOSENSITIVITY

Summary

$Ap^+-i(p)-n^+$ structure is investigated. It differs from ordinary planar magnetodiodes in that a complementary n^+ -layer, forming with the $i(p)$ layer a $p-n$ junction, is located between the emitter and the collector. Measurements of the current-voltage characteristics of these samples both in the absence and in the presence of a magnetic field have shown that the operation mechanism of these structures as a magnetodiode materially differs from the known mechanism, permitting to increase their magnetosensitivity substantially.

ლიბერაცია — ЛИТЕРАТУРА — REFERENCES

1. В. И. Стafeев, Э. И. Каракушан. Магнитодиоды. М., 1975.
2. Э. И. Каракушан, Н. Ш. Харшиладзе, В. И. Мурыгин. Электронная техника, сер. 2, Полупроводниковые приборы, вып. 6(257), 1982.
3. Н. Ш. Харшиладзе, В. И. Мошкин, Э. И. Каракушан, В. И. Мурыгин. Электронная техника, сер. 2, Полупроводниковые приборы, вып. 7 (258), 1982.
4. Н. Ш. Харшиладзе. Материалы II науч-техн. конф. молодых ученых и специалистов по проблемам микроэлектроники. М., 1982.
5. Н. Ш. Харшиладзе, В. И. Мошкин, А. Х. Авагян. Тез. докл. V Респ. конф. молодых ученых и специалистов, посв. 200-летию Георгиевского трактата. Тбилиси, 1983.

А. Н. АБУРДЖАНИЯ

К ВОПРОСУ ОПРЕДЕЛЕНИЯ НАПРАВЛЕНИЯ Э.Д.С. ВЗАИМНОЙ ИНДУКЦИИ

(Представлено членом-корреспондентом Академии Дж. Г. Ломинадзе 28.5.1985)

Проблема определения направления э.д.с взаимной индукции по сей день является предметом дискуссии [1]. Современная форма математического выражения закона электромагнитной индукции

$$e = - \frac{d\Phi}{dt}, \quad (1)$$

которая хорошо реализуется для э.д.с самоиндукции

$$e_{kk} = -L_{kk} \frac{di_k}{dt}, \quad (2)$$

для э.д.с взаимной индукции требует уточнения, учитывающего взаимное расположение контуров и направление токов в них. Для этого нами предложена следующая форма записи [2]:

$$e_{km} = \pm L_{km} \frac{di_m}{dt}, \quad (3)$$

где знак + соответствует отрицательной, а знак — положительной взаимной индуктивности.

Работа посвящена обоснованию выражения (3) на основе теории электромагнитного поля [3] для коммутируемых контуров постоянного тока (рис. 1—8), согласно уравнению Максвелла

$$\text{rot } \vec{E} = - \frac{\partial \vec{B}}{\partial t}. \quad (4)$$

Сбозначим: I_1 — линейный ток, обтекающий контур L_1 ; Φ_{11} — магнитный поток самоиндукции; Φ_1 — поток рассеивания; Φ_{21} — поток, посылаемый первым током через контур второго тока; L_{11} — индуктивность; L_{12} — взаимная индуктивность; e_{11} , e_{12} — э.д.с. самоиндукции и взаимной индукции; r — приемник энергии; I_2 , Φ_{22} , Φ_2 , Φ_{21} , L_{22} , L_{21} , e_{22} , e_{21} — соответствующие величины для второго тока.

Правовинтовые системы ориентации контуров и их поверхностей согласованы с положительными направлениями токов.

$$\vec{B}_{11} \uparrow\uparrow \vec{n}_1; \vec{B}_{22} \uparrow\uparrow \vec{n}_2 \quad (5)$$

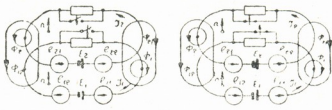
Направление токов в контурах (рис. 1—4) обуславливает согласные направления магнитных потоков самоиндукций и взаимной индукции, следовательно, взаимные индуктивности положительны

$$\vec{\Phi}_{11} \uparrow\uparrow \vec{\Phi}_{12}; \vec{\Phi}_{22} \uparrow\uparrow \vec{\Phi}_{21}. \quad (6)$$

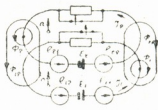
Условимся, что коммутация происходит одновременно в обоих контурах при $t=0$ путем замыкания или размыкания нормально разом-



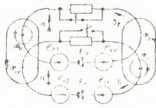
кнутых и нормально замкнутых контактов, шунтирующих приемники энергии. При этом возможны следующие четыре случая:



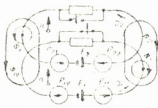
Pue 1



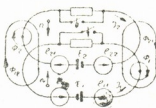
Pue 2



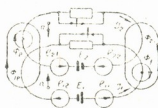
Pue 3



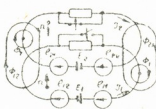
Pue 4



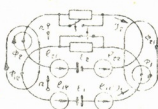
Pue 5



Pue 6



Pue 7



Pue 8

$$1. \quad \frac{\partial \vec{B}_{11}}{\partial t} > 0; \quad \frac{\partial \vec{B}_{12}}{\partial t} > 0; \quad \frac{\partial \vec{B}_{22}}{\partial t} > 0; \quad \frac{\partial \vec{B}_{21}}{\partial t} > 0;$$

$$\text{rot } \vec{E}_{11} < 0; \quad \text{rot } \vec{E}_{12} < 0; \quad \text{rot } \vec{E}_{22} < 0; \quad \text{rot } \vec{E}_{21} < 0; \quad (7)$$

$$\vec{e}_{11} \uparrow\downarrow \vec{de}_1; \quad \vec{e}_{12} \uparrow\downarrow \vec{de}_1; \quad \vec{e}_{22} \uparrow\downarrow \vec{de}_2; \quad \vec{e}_{21} \uparrow\downarrow \vec{de}_2.$$

$$e_1^{\text{ннл}} = - \left(L_{11} \frac{dI_1}{dt} + L_{12}^2 \frac{dI_2}{dt} \right); \quad e_2^{\text{ннл}} = - \left(L_{22} \frac{dI_2}{dt} + L_{21} \frac{dI_1}{dt} \right). \quad (8)$$

$$2. \quad \frac{\partial \vec{B}_{11}}{\partial t} < 0; \quad \frac{\partial \vec{B}_{12}}{\partial t} < 0; \quad \frac{\partial \vec{B}_{22}}{\partial t} < 0; \quad \frac{\partial \vec{B}_{21}}{\partial t} < 0;$$

$$\text{rot } \vec{E}_{11} > 0; \quad \text{rot } \vec{E}_{12} > 0; \quad \text{rot } \vec{E}_{22} > 0; \quad \text{rot } \vec{E}_{21} > 0; \quad (9)$$

$$\vec{e}_{11} \uparrow\downarrow \vec{de}_1; \quad \vec{e}_{12} \uparrow\downarrow \vec{de}_1; \quad \vec{e}_{22} \uparrow\downarrow \vec{de}_2; \quad \vec{e}_{21} \uparrow\downarrow \vec{de}_2.$$

$$e_1^{\text{ннл}} = L_{11} \frac{dI_1}{dt} + L_{12} \frac{dI_2}{dt}; \quad e_2^{\text{ннл}} = L_{22} \frac{dI_2}{dt} + L_{21} \frac{dI_1}{dt} \quad (10)$$

$$3. \quad \frac{\partial \vec{B}_{11}}{\partial t} > 0; \quad \frac{\partial \vec{B}_{12}}{\partial t} < 0; \quad \frac{\partial \vec{B}_{22}}{\partial t} < 0; \quad \frac{\partial \vec{B}_{21}}{\partial t} > 0;$$

$$\text{rot } \vec{E}_{11} < 0; \quad \text{rot } \vec{E}_{21} > 0; \quad \text{rot } \vec{E}_{22} > 0; \quad \text{rot } \vec{E}_{21} < 0; \quad (11)$$

$$\vec{e}_{11} \uparrow\downarrow \vec{de}_1; \quad \vec{e}_{12} \uparrow\downarrow \vec{de}_1; \quad \vec{e}_{22} \uparrow\downarrow \vec{de}_2; \quad \vec{e}_{21} \uparrow\downarrow \vec{de}_2.$$

$$e_1^{\text{инд}} = - \left(L_{11} \frac{dI_1}{dt} - L_{12} \frac{dI_2}{dt} \right); \quad e_2^{\text{инд}} = - \left(L_{21} \frac{dI_1}{dt} - L_{22} \frac{dI_2}{dt} \right). \quad (12)$$

4. $\frac{\partial \vec{B}_{11}}{\partial t} < 0; \quad \frac{\partial \vec{B}_{12}}{\partial t} > 0; \quad \frac{\partial \vec{B}_{22}}{\partial t} > 0; \quad \frac{\partial \vec{B}_{21}}{\partial t} < 0;$

$$\text{rot } \vec{E}_{11} > 0; \quad \text{rot } \vec{E}_{12} < 0; \quad \text{rot } \vec{E}_{22} < 0; \quad \text{rot } \vec{E}_{21} > 0; \quad (13)$$

$$\vec{e}_{11} \uparrow \downarrow \vec{de}_1; \quad \vec{e}_{12} \uparrow \downarrow \vec{de}_1; \quad \vec{e}_{22} \uparrow \downarrow \vec{de}_2; \quad \vec{e}_{21} \uparrow \downarrow \vec{de}_2.$$

$$e_1^{\text{инд.}} = - \left(L_{12} \frac{dI_2}{dt} - L_{11} \frac{dI_1}{dt} \right); \quad e_2^{\text{инд.}} = - \left(L_{22} \frac{dI_2}{dt} - L_{21} \frac{dI_1}{dt} \right). \quad (14)$$

Рассмотрим теперь ориентацию индуцированных э.д.с. при отрицательной взаимной индуктивности (рис. 5—8):

$$\vec{\Phi}_{11} \uparrow \downarrow \vec{\Phi}_{12}; \quad \vec{\Phi}_{22} \uparrow \downarrow \vec{\Phi}_{21}. \quad (15)$$

Проанализируем все четыре варианта коммутации:

1. $\frac{\partial \vec{B}_{11}}{\partial t} > 0; \quad \frac{\partial \vec{B}_{12}}{\partial t} < 0; \quad \frac{\partial \vec{B}_{22}}{\partial t} > 0; \quad \frac{\partial \vec{B}_{21}}{\partial t} < 0;$

$$\text{rot } \vec{E}_{11} < 0; \quad \text{rot } \vec{E}_{12} > 0; \quad \text{rot } \vec{E}_{22} < 0; \quad \text{rot } \vec{E}_{21} > 0; \quad (16)$$

$$\vec{e}_{11} \uparrow \downarrow \vec{de}_1; \quad \vec{e}_{12} \uparrow \downarrow \vec{de}_1; \quad \vec{e}_{22} \uparrow \downarrow \vec{de}_2; \quad \vec{e}_{21} \uparrow \downarrow \vec{de}_2.$$

$$e_1^{\text{инд.}} = - \left(L_{11} \frac{dI_1}{dt} - L_{12} \frac{dI_2}{dt} \right); \quad e_2^{\text{инд.}} = - \left(L_{22} \frac{dI_2}{dt} - L_{21} \frac{dI_1}{dt} \right). \quad (17)$$

2. $\frac{\partial \vec{B}_{11}}{\partial t} < 0; \quad \frac{\partial \vec{B}_{12}}{\partial t} > 0; \quad \frac{\partial \vec{B}_{22}}{\partial t} < 0; \quad \frac{\partial \vec{B}_{21}}{\partial t} > 0;$

$$\text{rot } \vec{E}_{11} > 0; \quad \text{rot } \vec{E}_{12} < 0; \quad \text{rot } \vec{E}_{22} > 0; \quad \text{rot } \vec{E}_{21} < 0; \quad (18)$$

$$\vec{e}_{11} \uparrow \downarrow \vec{de}_1; \quad \vec{e}_{12} \uparrow \downarrow \vec{de}_1; \quad \vec{e}_{22} \uparrow \downarrow \vec{de}_2; \quad \vec{e}_{21} \uparrow \downarrow \vec{de}_2.$$

$$e_1^{\text{инд.}} = - \left(L_{12} \frac{dI_2}{dt} - L_{11} \frac{dI_1}{dt} \right); \quad e_2^{\text{инд.}} = - \left(L_{21} \frac{dI_1}{dt} - L_{22} \frac{dI_2}{dt} \right). \quad (19)$$

3. $\frac{\partial \vec{B}_{11}}{\partial t} > 0; \quad \frac{\partial \vec{B}_{12}}{\partial t} > 0; \quad \frac{\partial \vec{B}_{22}}{\partial t} < 0; \quad \frac{\partial \vec{B}_{21}}{\partial t} < 0;$

$$\text{rot } \vec{E}_{11} < 0; \quad \text{rot } \vec{E}_{12} < 0; \quad \text{rot } \vec{E}_{22} > 0; \quad \text{rot } \vec{E}_{21} > 0; \quad (20)$$

$$\vec{e}_{11} \uparrow \downarrow \vec{de}_1; \quad \vec{e}_{12} \uparrow \downarrow \vec{de}_1; \quad \vec{e}_{22} \uparrow \downarrow \vec{de}_2; \quad \vec{e}_{21} \uparrow \downarrow \vec{de}_2.$$

$$e_1^{\text{инд.}} = - \left(L_{11} \frac{dI_1}{dt} + L_{12} \frac{dI_2}{dt} \right); \quad e_2^{\text{инд.}} = L_{22} \frac{dI_2}{dt} + L_{21} \frac{dI_1}{dt} \quad (21)$$

4. $\frac{\partial \vec{B}_{11}}{\partial t} < 0; \quad \frac{\partial \vec{B}_{12}}{\partial t} < 0; \quad \frac{\partial \vec{B}_{22}}{\partial t} > 0; \quad \frac{\partial \vec{B}_{21}}{\partial t} > 0;$

$$\text{rot } \vec{E}_{11} > 0; \quad \text{rot } \vec{E}_{12} > 0; \quad \text{rot } \vec{E}_{22} < 0; \quad \text{rot } \vec{E}_{21} < 0; \quad (22)$$

$$\vec{e}_{11} \uparrow \downarrow \vec{de}_1; \quad \vec{e}_{12} \uparrow \downarrow \vec{de}_1; \quad \vec{e}_{22} \uparrow \downarrow \vec{de}_2; \quad \vec{e}_{21} \uparrow \downarrow \vec{de}_2.$$

$$e_1^{\text{инд.}} = L_{11} \frac{dI_1}{dt} + L_{12} \frac{dI_2}{dt}; \quad e_2^{\text{инд.}} = - \left(L_{21} \frac{dI_1}{dt} + L_{22} \frac{dI_2}{dt} \right). \quad (23)$$

Таким образом, э. д. с. самоиндукции и взаимной индукции направлены в одну сторону при положительной взаимной индуктивности, когда в обоих контурах токи увеличиваются (рис. 1) или уменьшаются (рис. 2), и при отрицательной взаимной индуктивности, когда ток в одном контуре увеличивается, а во втором — уменьшается (рис. 7 и рис. 8); э. д. с. самоиндукции и взаимной индукции направлены в противоположные стороны при положительной взаимной индуктивности, когда ток в одном контуре увеличивается, а во втором — уменьшается (рис. 3 и рис. 4), и при отрицательной взаимной индуктивности, когда токи в обоих контурах увеличиваются (рис. 5) или уменьшаются (рис. 6).

Грузинский политехнический институт

им. В. И. Ленина

(Поступило 31.5.1985)

30%

ა. აბურჯანია

ურთიერთინდუქციის ე. მ. ძ-ის მიმართულების განსაზღვრის
საკითხებისათვის

რეზიუმე

განსაზღვრულია მუდმივი დენის კონტურებში კომუტაციის შედეგად ალ-ძნული ე. მ. ძ-ის მიმართულება, ნაჩვენებია, რომ ა) თვითინდუქციისა და ურთიერთინდუქციის ე. მ. ძ-ის მიმართულებები თანხვდენილია დადგებითი ურთიერთინდუქციურობის დროს, როცა დენები ან იზრდებიან ამ მცირდებიან და უარყოფითი ურთიერთინდუქციურობის დროს, როცა დენი ერთ კონტურში იზრდება, ხოლო მეორეში მცირდება; ბ) თვითინდუქციისა და ურთიერთინდუქციის ე. მ. ძ-ის მიმართულებები საპირისპიროა დადგებითი ურთიერთინდუქციურობის დროს, როცა დენი ერთ კონტურში იზრდება, ხოლო მეორეში მცირდება და უარყოფითი ურთიერთინდუქციურობის დროს, როცა დენები ან იზრდებიან, ან მცირდებიან.

PHYSICS

A. N. ABURJANIA

ON THE PROBLEM OF DETERMINATION OF THE DIRECTION OF ELECTROMOTIVE FORCE OF MUTUAL INDUCTION

Summary

The directions of electromotive forces induced as a result of commutation in direct-current circuits are determined. It is shown that a) electromotive forces of self-induction and mutual induction have the same direction in the case of positive mutual inductance when the currents in both circuits either increase or decrease and in the case of negative mutual inductance when the current increases in one circuit and decreases in the other; b) electromotive forces of self-induction and mutual induction have the opposite directions in the case of positive mutual inductance when the current increases in one circuit and decreases in the other and in the case of negative mutual inductance when currents in both circuits either increase or decrease.

ლიტერატურა — REFERENCES

1. Н. И. Булгаков. Электричество, № 1, 1984, 64.
2. А. Н. Абурджания. Сообщения АН ГССР, 116, № 3, 1984, 577—580.
3. Д. К. Максвелл. Избранные сочинения по теории электромагнитного поля. М., 1954, 400—401.

А. В. КУДРЯ, Р. Г. МАНАГАДЗЕ

ОПРЕДЕЛЕНИЕ ПАРАМЕТРОВ ДВУХ ИЗОЛИРОВАННЫХ ТЕЛ ПО ГРАВИТАЦИОННЫМ ДАННЫМ

(Представлено академиком Б. К. Балавадзе 8.7.1984)

В статье рассматриваются способы определения параметров двух изолированных круговых цилиндрических и конических тел.

1°. Предположим, что искомая аномалия создается двумя вертикальными цилиндрическими телами: σ_1 , H_1 , R_1 — плотность, высота и радиус основания первого цилиндра и σ_2 , H_2 , R_2 — второго соответственно. Пусть по суммарной аномалии поля Δg определены гармонические моменты возмущающих масс до четвертого порядка включительно [1].

Запишем необходимые нам известные гармонические моменты:

$$I_{0.1} = m_1 + m_2 = M, \quad m_1 = \pi R_1^2 H_1 \sigma, \quad m_2 = \pi R_2^2 H_2 \sigma_2, \quad (1)$$

$$I_{1.1} = m_1 x_1 + m_2 x_2 = 0, \quad x_1 = -m_2/m_1 \cdot x_2, \quad (2)$$

$$I_{1.3} = m_1 z_1 + m_2 z_2 = 0, \quad z_1 = -m_2/m_1 \cdot z_2, \quad (3)$$

$$I_{2.1} = m_1/6 \cdot (2H_1^2 - 3R_1^2) + m_2/6 \cdot (H_2^2 - 3R_2^2) + \\ + 2m_1 z_1^2 + 2m_2 z_2^2 - m_1 x_1^2 - m_2 x_2^2, \quad (4)$$

$$I_{2.2} = m_1 x_1^2 + m_2 x_2^2, \quad I_{3.3} = m_1 x_1 z_1 + m_2 x_2 z_2, \quad (5, 6)$$

$$I_{3.5} = m_1 x_1^3 + m_2 x_2^3, \quad (7)$$

$$I_{3.6} = m_1 x_1^2 z_1 + m_2 x_2^2 z_2 - 3m_1 x_1 z_1^2 - 3m_2 x_2 z_2^2 - \\ - 3m_1 x_1/4 \cdot (H_1^2 - 3R_1^2) - 3m_2 x_2/4 \cdot (H_2^2 - 3R_2^2), \quad (8)$$

$$I_{4.9} = m_1/80 \cdot (H_1^4 - 10H_1^2 R_1^2 + 10R_1^4) + m_1/12 \cdot (6z_1^2 - 3x_1^2)(H_1^2 - 3R_1^2) + \\ + m_1 z_1^4 - 3x_1^2 z_1^2 m_1 - m_2/80 \cdot (H_2^4 - 10R_2^2 H_2^2 + 10R_2^4) + \\ + 6(z_2^2 - 3x_2^2)(H_2^2 - 3R_2^2) + m_2 z_2^4 - 3x_2 z_2^2 m_2. \quad (9)$$

По значениям гармонических моментов $I_{2.2}$ и $I_{3.5}$ найдем

$$m_1 = 0,5M[1 + \sqrt{MA/(4 + MA)}], \quad m_2 = M - m_1, \quad x_2^2 = m_1 I_{2.2}/m_2 M.$$

$$x_1 = -x_2 m_2/m_1, \quad z_2 = I_{2.3}/m_2(x_2 - x_1) \text{ и } z_1 = -m_2 z_2/m_1, \text{ где } A = I_{2.2}^2 : I_{3.5}^2.$$

Из моментов $I_{2.1}$ и $I_{3.6}$ имеем

$$A_1 = m_1(H_1^2 - 3R_1^2)/12 = (p - 2B_1)/2,$$

$$B_1 = (2q - 3x_1 p)/6(x_2 - x_1) = m_2(H_2^2 - 3R_2^2)/12,$$

где

$$p = I_{2.1} - 2m_1 z_1^2 - 2m_2 z_2^2 + m_1 x_1^2 + m_2 x_2^2,$$

$$q = -I_{3.6} + 3m_1 x_1 z_1^2 + 3m_2 x_2 z_2^2.$$

Для определения параметров тел $\sigma_1, H_1, R_1, \sigma_2, H_2, R_2$, поскольку для шести неизвестных имеется лишь пять уравнений, по указанным гармоническим моментам необходима дополнительная информация:

$$m_1 = \pi \sigma_1 R_1^2 H_1, m_2 = \pi \sigma_2 R_2^2 H_2,$$

$$A_1 = \int_{v_1} (z^2 - x^2) \sigma_1 d v_1 = m_1 / 12 \cdot (H_1^2 - 3R_1^2),$$

$$B_1 = \int_{v_2} (z^2 - x^2) \sigma_2 d v_2 = m_2 / 12 \cdot (H_2^2 - 3R_2^2),$$

$$I_{4.9} = m_1 / 80 \cdot (H_1^4 + 10R_1^4 - 10R_1^2H_1^2) + m_2 / 80 \cdot (H_2^4 + 10R_2^4 - 10R_2^2H_2^2) + 3A_1(2z_1^2 - x_1^2) + 2B_1(2z_2^2 - x_2^2) + m_1 z_1^4 - 3m_1 x_1^2 z_1^2 + m_2 z_2^4 - 3m_2 x_2^2 z_2^2.$$

Наиболее вероятно известными могут быть либо избыточная плотность (σ), либо глубина до верхней кромки одного из тел (H).

При известной избыточной плотности σ_1 запишем

$$H_1 = m_1 / \pi \sigma_1 R_1^2,$$

где R_1 определяется из уравнения

$$R_1^6 + 4A_1 R_1^4/m_1 - m_1^2/3\pi^2 \sigma_1^2 = 0.$$

Из уравнения для $I_{4.9}$ найдем $R_2^2 = [24B_1 + 4\sqrt{55Qm_2 - 63B_1^2}] / 11m_2$, где

$$Q_{4.9} = I_{4.9} - m_1 [H_1^4 + 10R_1^4 - 10R_1^2H_1^2] / 80 - m_1 z_1^4 - m_2 z_2^4 - 3A_1(2z_1^2 - x_1^2) - 3B_1(2z_2^2 - x_2^2) + 3m_1 x_1^2 z_1^2 + 3x_2^2 z_2^2 m_2,$$

а дальше

$$H_2^2 = 12B_1 / 12 + 3R_2^2 \text{ и } \sigma_2 = m_2 / \pi R_2^2 H_2.$$

Если известна глубина до верхней кромки одного из цилиндров, то по известной глубине центра тяжести обеих тел и Z_1 определим

$$\bar{z} = h_1 + z_1 + H_1 / 2, \quad H_1 = 2(\bar{z} - h_1 - z_1), \quad R_1^2 = H_1^2 / 3 - 2A_1 / m_1 \text{ и}$$

$$\sigma_1 = m_1 / \pi R_1^2 H_1.$$

Остальные параметры — R_2, H_2 , и σ_2 находятся по приведенным выше формулам для случая известной избыточной плотности тела.

2°. Рассмотрим два круговых конуса с параметрами σ_1, R_1, H_1 и σ_2, R_2, H_2 плотность, радиус круга основания конуса и высота для первого и второго конуса соответственно. x_1 и x_2 абсциссы центров тяжести каждого конуса; z_1, z_2 — глубины центров тяжести их, отсчитываемые от общего центра тяжести, где помещено начало системы прямоугольных координат, при этом $y_1 = y_2 = 0$.

Гармонические моменты двух круговых конусов отличаются от таких для двух круговых цилиндров только моментами $I_{3.1} = I_{3.2}, I_{4.5} = I_{4.9}$.

Решение обратной задачи для двух круговых конусов совпадает с решением обратной задачи для двух круговых цилиндров вплоть до определения гармонических моментов вида

$$\int \sigma(z^2 - y^2) d v.$$

Сохраняя прежние обозначения, введенные для двух круговых цилиндров, для решения обратной задачи будем считать, что величины $m_1, x_1, z_1, A_1, B_1, m_2, x_2, z_2$ уже определены по известным гармоническим моментам.

Из уравнений [1, 2] для $I_{3.1}$ и $I_{3.2}$ найдем:

$$\begin{aligned} I_{3.1} - 3A_1z_1 - 3B_1z_2 - m_1z_1^3 - m_2z_2^3 + 3m_1x_1^2z_1 + 3m_2x_2^2z_2 &= Q_1 = C_1 + D_1, \\ -I_{4.5} - m_1x_1z_1^3 - m_2x_2z_2^3 &= Q = x_1c_1 + x_2c_2, \end{aligned}$$

где

$$D_1 = \int_{v_2} \sigma_2 (3y^2z - z^3) dv_2, \quad C_1 = \int_{v_1} \sigma_1 (3y^2z - z^3) dv_1$$

или

$$\begin{aligned} D_1 &= (Q_1 x_1 - Q_2)/(x_2 - x_1) = M_2 H_2 (48R_2^4 + H_2^4), \\ C_1 &= Q_1 - D_1 = 320 M_1 H_1 / (48R_1^4 + H_1^4). \end{aligned}$$

Поскольку

$$H_1^4 - 8A_1H_1/3m_1 - 320c_1/13m_1 = 0,$$

то для определения H_1 имеем следующее кубическое уравнение:

$$H_1^4 - 80A_1H_1/13m_1 - 320c_1/13m_1 = 0.$$

Зная H_1 , определим R_1 и σ_1 из соотношений

$$R_1^2 = H_1^2/4 - 5A_1/3m_1, \quad \sigma_1 = 3m_1/\pi R_1^2 H_1.$$

Аналогично определим и значения R_2 , H_2 , σ_2 , заменив в кубическом уравнении C_1 на D_1 и A_1 на B_1 .

Тбилисский государственный
университет

Харьковский государственный
университет
им. А. М. Горького

(Поступило 30.11.1984)

800400052

ა. გურია, გ. მანაგარი

ორი იზოლირებული სხეულის პარამეტრების განსაზღვრა
გრავიტაციული მონაცემების მიხედვით

რეზიუმე

ანომალური სხეულის Δg ველის პარმონიული მომენტების მშერივად გაშლის n -რი კერძო ჭამის გამოყენების საფუძველზე სტატიაში პირველადაა მიღებული ორი იზოლირებული წრიული ცილინდრისა და კონუსის შესაბამისი პირდაპირი და შებრუნებული ამოცანის ამოხსნის ხერხები.

A. V. KUDRIA, R. G. MANAGADZE

DETERMINATION OF THE PARAMETERS OF TWO ISOLATED SOLIDS ACCORDING TO GRAVITY ANOMALIES

Summary

Using the partial n -sum of an expanded series of the harmonic moments of the Δg field of an anomalous solid, techniques of solving the corresponding direct and inverse problems of two isolated circular cylinders and a cone are proposed for the first time.

ЛІТЕРАТУРА — REFERENCES

1. А. В. Кудря. Геол. и геофиз., № 5, 1980, 124—132.
2. А. В. Кудря. Геол. и геофиз., № 2, 1980, 103—110.

ГЕОФИЗИКА

К. М. КАРТВЕЛИШВИЛИ, П. Ш. МИНДЕЛИ,
Т. А. ГВАНЦЕЛАДЗЕ, А. М. БЕШИДЗЕ

КОМБИНИРОВАННЫЙ МЕТОД ПОСТРОЕНИЯ
ГРАВИТАЦИОННОЙ МОДЕЛИ ЛИТОСФЕРЫ ЗЕМЛИ

(Представлено академиком Б. К. Балавадзе 2.8.1984)

В основе метода подбора построения гравитационной модели Земли лежит аппроксимация аномальных масс (среды) телами правильной геометрической формы с постоянной или градиентной плотностью. Касаясь общих принципов решения прямых задач гравиметрии аппроксимационным подходом, следует найти средства одновременного решения следующих вопросов [1]: 1) достижения высокой степени простоты и наглядности используемого аппроксимационного процесса; 2) достижения высокой точности вычисления элементов внешних полей; 3) достижения достаточно высокой производительности труда.

Первый вопрос находит свое положительное решение, если в качестве аппроксимирующих тел использовать прямоугольные призмы [2].

Второй вопрос может быть решен за счет использования компактной схемы, вычисления эффекта Δg от прямоугольной призмы (модернизирование исходной формулы) [1]. По данной схеме число функций в исходной формуле сокращается в четыре раза, а время счета в два раза.

При построении гравитационной модели литосферы больших регионов особо важное значение приобретает решение третьего вопроса, требующего разработки эффективных приемов вычисления гравитационного эффекта, характеризующихся быстродействием вычислительного процесса. Последние, в свою очередь, связаны с решением ряда методических вопросов, наиболее существенными из которых являются: а) установление величины интервала учета аномальных масс, вне которого неучтенное влияние аномальных масс не будет превосходить наперед заданной величины ε ; б) установление величины интервала зоны вокруг точки вычисления, вне которой сложные аппроксимирующие тела (призмы) могут быть заменены наименее простыми (сфера, материальные линии), при условии сохранения необходимой точности вычисления эффекта Δg .

Введем некоторые вспомогательные определения: а) исходная аномальная зона (ИЗ) — аномальная область всего изучаемого региона; б) зона гравитационной модели (ЗМ) — область, в каждой точке которой гравитационный эффект вычисляется с точностью ε ; результативная зона (РЗ) — область вокруг точки вычисления, в которой гравитационный эффект вычисляется с точностью ε . В свою очередь РЗ подразделяется на центральную (ЦЗ) и дальнюю (ДЗ) зоны.

Пусть изучаемый регион в плане представляет прямоугольник со сторонами L_x и L_y . Все дальнейшие рассуждения будем вести на примере Кавказского региона с примыкающими к нему областями, для которого $L_x = 2400$ км, $L_y = 1030$ км. Весь регион разбивается на квадратную сетку с шагом $\Delta h = 10$ км. При такой разбивке число квадратов в плане составляет 24720 и при условии, что в каждой ко-

лонке (вертикальная призма с горизонтальными размерами 10×10 км и высотой от дневной поверхности до нижней границы верхнем мантии) выделено не менее пяти аномальных подслоек число аппроксимирующих призм, составляющих исходную аномальную информацию (ИАИ) порядка $n=130000$.

При таком задании ИАИ, если в точке вычисления эффект Δg рассчитывать от всей ИЗ, то число обсчитываемых призм составляет n . Это обуславливает то, что из ИЗ выделяется РЗ. На основе моделирования и численных экспериментов установлено, что для построения гравитационной модели с точностью $\varepsilon = \pm 5-6$ мГал, размеры результативной зоны (квадрата) для Кавказского региона составляет 600×600 км. Ограничивааясь этими размерами РЗ, число обсчитываемых призм для одной точки составляет 18000 (вместо 130000!). Как видно, введение РЗ сокращает объем вычислений более чем в семь раз, а это значит, что быстродействие вычислительного процесса повышается столько же раз.

В случае обработки больших массивов, когда число точек, в которых вычисляются Δg достигает нескольких сот и тысяч, время вычисления в каждой точке от 18000 призм очень велико. Поэтому, возникает задача замены эффекта призмы эффектом тел менее простой формы (сфера, материальный стержень и др.). Покажем, что при определенных условиях замена эффекта призмы эффектом сферы значительно повышает высокопроизводительность при условии сохранения заданной точности вычисления.

Исходя из условия равенства масс сферы и призмы и совпадения их центров тяжести, формула эффекта сферы, которым заменяется эффект призмы, имеет вид

$$\Delta g = 4f\rho(\xi_2 - \xi_1)(\eta_2 - \eta_1)(\zeta_2 - \zeta_1) \frac{(\zeta_1 + \zeta_2 - 2z)}{\sqrt{[\xi_1 + \xi_2 - 2x]^2 + (\eta_1 + \eta_2 - 2y)^2 + (\zeta_1 + \zeta_2 - 2z)^2}},$$

где f —гравитационная постоянная; ρ —плотность; $\xi_1, \xi_2, \eta_1, \eta_2, \zeta_1, \zeta_2$ —координаты вершин призмы; x, y, z —координаты точки вычисления.

Оценку точности от такой замены можно было провести на модельных примерах при различных соотношениях горизонтальных и вертикальных размеров призм и расстояниях до точки вычисления. Но более эффективным и наглядным оказались численные эксперименты, проведенные на материалах составляющих отмеченного выше массива ИАИ территории Кавказа. Среди 130000 аномальных призм, составляющих массив, эффект Δg от которых следует рассчитать, есть призмы, которые при одних и тех же горизонтальных размерах ($\Delta h_x = \Delta h_y = 10$ км) имеют весьма различные вертикальные (h) раз-

меры $\left(\frac{\Delta h}{h} \approx 0.1-5 \right)$ и расположены относительно точки вычисления на различных глубинах и расстояниях.

Наша задача заключалась в установлении численными экспериментами размеров области, внутри которой эффект Δg в РЗ можно вычислять по точной модернизированной формуле призмы, а вне ее по формуле сферы. Это привело к тому, что РЗ разбили на центральную (ЦЗ) и дальнюю (ДЗ) зоны. Для установления размеров этих зон, в различных характерных точках территории Кавказа, вычислен эффект Δg по зонам (в масштабе шага сетки — 10 км) от всех 130000 призм как по формуле призмы, так и по формуле сферы.

Для иллюстрации в таблице приведены результаты вычислений для одной из точек. Как видно, наибольшее отклонение в эффектах, вычисленных по формулам призмы и сферы ($\delta g = \Delta g_{\text{пр}} - \Delta g_{\text{сф}}$), имеется для нулевой зоны (нулевая зона — квадрат, в центре которой лежит точка вычисления, первая зона — восемь квадратов, следующих за ну-

левой зоной и т. д.), соответствующий первому слою (осадочный слой — 100 мГал).

Зоны	Δg_1 осадочного слоя		Δg_2 гранитного слоя		Δg_3 базальтового слоя		Δg суммарный	
	$\Delta g_{\text{пр}}$	$\Delta g_{\text{сф}}$	$\Delta g_{\text{пр}}$	$\Delta g_{\text{сф}}$	$\Delta g_{\text{пр}}$	$\Delta g_{\text{сф}}$	$\Delta g_{\text{пр}}$	$\Delta g_{\text{сф}}$
0	-66,762	-166,749	0,000	0,000	-0,649	-0,661	-67,411	-167,410
1	-35,691	-32,555	-0,535	-0,540	-4,510	-4,561	-40,736	-37,656
2	-10,787	-10,366	-0,801	-0,794	-6,648	-6,671	-18,236	-17,831
3	-4,801	-4,709	-0,427	-0,421	-6,290	-6,286	-11,518	-11,416
4	-2,722	-2,692	-0,337	-0,334	-5,585	-5,574	-8,644	-8,600
5	-1,673	-1,661	-0,347	-0,344	-4,661	-4,653	-6,680	-6,658
6	-1,128	-1,222	-0,237	-0,235	-3,635	-3,631	-5,000	-5,088
7	-0,719	-0,717	-0,180	-0,179	-3,006	-3,005	-3,905	-3,901
8	-0,538	-0,538	-0,108	-0,108	-2,414	-2,414	-3,062	-3,060
9	-0,442	-0,442	-0,110	-0,110	-1,994	-1,995	-2,546	-2,547
10	-0,377	-0,337	-0,087	-0,086	-1,676	-1,678	-2,140	-2,141
11	-0,331	-0,331	-0,068	-0,068	-1,440	-1,442	-1,839	-1,841
12	-0,274	-0,274	-0,061	-0,061	-1,352	-1,352	-1,688	-1,688
13	-0,223	-0,223	-0,047	-0,047	-1,116	-1,116	-1,386	-1,386
14	-0,202	-0,202	-0,042	-0,042	-0,957	-0,957	-1,201	-1,201
15	-0,171	-0,171	-0,036	-0,036	-0,762	-0,762	-0,969	-0,969

В последующих зонах значение Δg резко падают и уже начиная с тринадцатой зоны эффекты $\Delta g_{\text{пр}}$ и $\Delta g_{\text{сф}}$ по отдельным зонам совпадают с точностью 10^{-3} мГал. Это значит, что если эффекты призм заменить эффектами сфер, то от такой замены погрешность по зонам не будет превышать 10^{-3} мГал.

Суммарная величина Δg с 5-й по 12-ю зону включительно составляет всего 0,1 мГал. Таким образом, если эффект Δg в первых пяти зонах (включая нулевую) вычислять по формуле призмы, а начиная с пятой по 30-ю — по формуле сферы, то погрешность от такой замены не превосходит 0,1 мГал.

Учитывая, что из 15000 аномальных призм, в среднем составляющих РЗ, вне 5-й зоны присутствует 17500 призм и что соотношения их горизонтальных и вертикальных размеров весьма различны, то остается констатировать факт — вычисление эффекта Δg от такого большого количества аномальных тел с точностью 0,1 мГал делает возможным замену эффекта призм эффектом сфер.

На основании полученных результатов следует считать установленным, что в качестве центральной зоны результативного квадрата можно принять квадрат размерами 100×100 км и эффект аномальных призм внутри него рассчитывать по точной модернизированной формуле призмы, а вне центральной зоны эффект Δg следует вычислять по формуле сферы.

Предложенный комбинированный метод построения гравитационной модели литосферы Земли характеризуется высокой точностью и сокращает время вычислений почти в 50 раз по сравнению со стандартными методами.

Академия наук Грузинской ССР

Институт геофизики

(Поступило 6.9.1984)

პ. ქართველიშვილი, პ. მინდელი, თ. გვანცელაძე, ა. ბეშიძე

დედამიწის ლითოსფეროს გრავიტაციული მოდელის აგების
 პომატინირებული მეთოდი

რეზიუმე

მოცემულია მაღალული კომპინირებული მეთოდი დედამიწის ლი-
 თოსფეროს გრავიტაციული მოდელის აგებისათვის, რომელიც ხასიათდება გა-
 ლალი სიზუსტით და გამოთვლითი პროცესის სწრაფმოქმედებით.

GEOPHYSICS

K. M. KARTVELISHVILI, P. Sh. MINDELI, T. A. GVANTSELADZE,
 A. M. BESHIDZE

A COMBINED METHOD FOR THE CONSTRUCTION OF A GRAVITATIONAL MODEL OF THE EARTH'S LITHOSPHERE

Summary

A highly effective combined method is proposed for constructing a gravitational model of the Earth's lithosphere. The method characterized by high precision and quick computing operation.

ლიტერატურა — REFERENCES

1. В. Н. Страхов, М. И. Лапина. Теория и методика интерпретации гравимагнитных полей. Киев, 1977.
2. К. М. Картвелишвили, Н. Ш. Миндели, М. Г. Гванцеладзе, А. М. Бешидзе. Сообщения АН ГССР, 119, № 3, 1985, 520.

ГЕОФИЗИКА

Д. В. ҚАПАНАДЗЕ

**О ЕДИНСТВЕННОСТИ ОПРЕДЕЛЕНИЯ ФОРМЫ ТЕЛА
ПО ЗНАЧЕНИЯМ ЕГО ВНЕШНЕГО ПОТЕНЦИАЛА**

(Представлено членом-корреспондентом Академии М. А. Алексидзе 5.12.1984)

Рассматривается обратная задача об определении формы тела по значениям его внешнего потенциала, когда плотность не зависит от одной из переменных. Впервые единственность ее решения в классе звездных областей постоянной плотности была доказана П. С. Новиковым [1], результаты которого расширены в работах [2—4]. В настоящей работе доказывается теорема единственности с использованием теории фредгольмовских операторов в банаховом пространстве.

Для простоты изложения рассмотрим уравнение Лапласа на плоскости R_2 . Определим объемные потенциалы и потенциалы простого слоя для гладкой ограниченной области Ω с границей $\partial\Omega \in C^2$.

$$V^\Psi(x) = \int_{\Omega} \ln \frac{1}{|x-y|} \Psi(y) dy, \quad U^\Psi(x) = \int_{\partial\Omega} \ln \frac{1}{|x-y|} \Psi(y) dy. \quad (1)$$

Определение 1. Пусть Ω —гладкая односвязная область. Предположим, что область Ω находится в верхней полуплоскости. Проекцию замкнутой области $\bar{\Omega}$ на прямой $0x_1$ по направлению $0x_2$ обозначим через ω . На ω определим следующее отображение $y=\pi_1(x)$, где точка y удовлетворяет условиям $y \in \partial\Omega$ вектор xy перпендикулярен прямой $0x_1$ и $|x-y| = \min_{z \in \partial\Omega \cap l_x} |x-z|^2$. Обозначим $E_1 = [\pi_1(x) : x \in \omega]$. Мы скажем, что множество E_1 накрывает область $\bar{\Omega}$ по направлению $0x_2$.

Определение 2. Мы скажем, что кривая l выпукла относительно x_2 , если любая прямая, параллельная оси $0x_2$, пересекает l не более, чем в одной точке или пересечение есть отрезок.

Для кусочно-гладкой области Ω введем пространство плотностей

$$\Phi(\Omega, \omega) = \left\{ \mu : \mu \in L_1(\Omega), \frac{\partial \mu}{\partial x_2} = 0, \|\mu\| = \int_a^b |\mu(x_1)| dx_1 \right\}, \quad (2)$$

где $\omega = (a, b)$ —проекция области Ω на оси $0x_1$.

Теорема 1. Пусть Ω_1 и Ω_2 —гладкие односвязные области на плоскости R_2 . Предположим, что существует накрывающие множество E_1 и

¹ l_x —прямая, которая проходит через точку x и перпендикулярна прямой $0x_1$.
 19. „მთამდევ“, ტ. 123, № 2, 1986

E_2 для Ω_1 и Ω_2 соответственно, которые удовлетворяют условиям $E_1 \cap \bar{\Omega}_2 = \emptyset$, $E_2 \cap \bar{\Omega}_1 = \emptyset$. Кроме того, $\partial\Omega_1 \cap \Omega_2$ и $\partial\Omega_2 \cap \bar{\Omega}_1$ — выпуклые кривые относительно x_2 . Пусть, далее $\mu \in \Phi(\Omega, \omega)$ почти всюду не равна нулю на $\Omega_1 \cap \Omega_2$. Тогда потенциалы ($\Omega = \Omega_1 \cup \Omega_2$ — односвязна)

$$V_1(x) = \int_{\Omega_1} \ln \frac{1}{|x-y|} \mu(y) dy, \quad V_2(x) = \int_{\Omega_2} \ln \frac{1}{|x-y|} \mu(y) dy \quad (3)$$

почти всюду не совпадает на $E_1 \cup E_2$.

Доказательство. Допустим противное, т. е. что потенциалы V_1 и V_2 совпадают почти всюду на $E_1 \cup E_2$. Возьмем односвязную область Ω_0 , которая удовлетворяет условиям $\bar{\Omega} \subset \bar{\Omega}_0$, $E_1 \subset \partial\Omega_0 \cap \partial\Omega_1$, $E_2 \subset \partial\Omega_0 \cap \partial\Omega_2$. Пусть (c, d) — проекция пересечения $\Omega_1 \cap \Omega_2$ на оси $0x_1$, E_1 — проекция пересечения $\Omega_1 \cap \Omega_2$ на E_1 , а F_2 — проекция пересечения $\Omega_1 \cap \Omega_2$ на E_2 (везде рассматривается направление $0x_2$). Для каждой функции $\varphi \in L_\infty(F_1)$ определим функцию φ_2 на F_2 следующим образом: $\varphi_2(M_2) = \varphi_1(M_1)$, где $M_1 \in F_1$, $M_2 \in F_2$. Причем, точка M_2 лежит на прямой, которая параллельна оси $0x_2$ и проходит через точку M_1 . По допущению

$$\int_{\Omega_1} U^\psi(x) \mu(x) dx = \int_{\Omega_2} U^\psi(x) \mu_2(x) dx, \quad \psi \in L_\infty(E_1 \cup E_2).$$

Легко убеждаемся, что

$$\int_{\Omega_1} v_\varphi(x) \mu(x) dx = \int_{\Omega_2} v_\varphi(x) \mu(x) dx,$$

где v_φ — решение задачи Дирихле в области Ω_0 с граничной функцией $\varphi \in C^1(F_1 \cup F_2)$. $\varphi = \varphi_1 \chi_{F_1} + \varphi_2 \chi_{F_2}$, $\varphi_2(M_2) = \varphi_1(M_1)$, χ_{F_1} и χ_{F_2} — характеристические функции множеств F_1 и F_2 , соответственно. Следовательно,

$$\int_{\Omega_1} \frac{\partial V_\varphi}{\partial x_2}(x) \mu(x) dx = \int_{\Omega_2} \frac{\partial V_\varphi}{\partial x_2}(x) \mu(x) dx. \quad (4)$$

После интегрирования по x_2 получаем

$$\int_e^d \frac{\partial V_\varphi}{\partial x_2}(x) \mu(x) dx = \int_{\Omega_2} \frac{\partial V_\varphi}{\partial x_2}(x) \mu(x) dx.$$

Итак

$$\begin{aligned} & \int_c^d [\varphi_1(x_1, \zeta_1(x_1)) - v_\varphi(x_1, \zeta'_1(x_1))] \mu(x_1) dx_1 + \\ & + \int_c^d [\varphi_2(x_1, \zeta_2)(x_1) - v_\varphi(x_1, \zeta'_2(x_1))] \mu(x_1) dx_1 = 0, \end{aligned}$$

где ζ_1 , ζ'_1 , ζ_2 , ζ'_2 — уравнения кривых F_1 , $\partial\Omega_1 \cap \bar{\Omega}_2$, F_2 , $\partial\Omega_2 \cap \bar{\Omega}_1$, соответственно.

Значит

$$\int_c^d \{2\varphi_1(x_1, \zeta_1(x_1)) - [v_\varphi(x_1, \zeta'_1(x_1)) + v_\varphi(x_1, \zeta'_2(x_1))]\mu(x_1) dx_1 = 0. \quad (5)$$

Ясно, что равенство (5) справедливо для любой функции $\varphi_1 \in L_\infty(F_1)$. Так как $\bar{F}_1 \cap \bar{\Omega}_2 = \emptyset$, $\bar{F}_2 \cap \bar{\Omega}_1 = \emptyset$, то легко убеждаемся, что

$$\begin{aligned} \|v_\varphi(x_1, \zeta'_1(x_1))\|_{L_\infty(c, d)} &< \|\varphi_1(x_1, \zeta'_1(x_1))\|_{L_\infty(c, d)}, \\ \|v_\varphi(x_1, \zeta'_2(x_1))\|_{L_\infty(c, d)} &< \|\varphi_1(x_1, \zeta'_2(x_1))\|_{L_\infty(c, d)}. \end{aligned} \quad (6)$$

Обозначим

$$\begin{aligned} \varphi_1(x_1, \zeta'_1(x_1))\chi_{F_1} + \varphi_2(x_1, \zeta'_2(x_1))\chi_{F_2} &= g(x_1), \quad x_1 \in (c, d) \\ v_\varphi(x_1, \zeta'_1(x_1)) + v_\varphi(x_1, \zeta'_2(x_1)) &= Kg(x_1). \end{aligned}$$

Отсюда и из (5) имеем

$$\int_c^d (g(x_1) - Kg(x_1))\mu(x_1) dx_1 = 0. \quad (7)$$

Легко показать, что K — компактный оператор на $L_\infty(c, d)$ и в силу (6) ядро оператора $I - K$ тривиально. Отсюда вытекает, что $T = I - K$ есть фредгольмовский оператор и существует непрерывный обратный оператор T^{-1} . Таким образом, область значений оператора T есть пространство $L_\infty(c, d)$. Отсюда и из (7) заключаем, что $\mu(x) = 0$ почти всюду на $\Omega_1 \cup \Omega_2$ и мы приходим к противоречию.

Доказанная теорема справедлива также для кусочно-гладких областей.

Отметим, что если выполняются условия сформулированной теоремы и плотность μ принадлежит классу $C^2(\bar{\Omega}) \cap \Phi(\Omega, \omega)$, то решение обратной задачи устойчиво [6, 7].

Все результаты справедливы в пространстве R^n , $n \geq 3$ для общего равномерно эллиптического оператора L второго порядка, если существует главное фундаментальное решение и выполняется принцип максимума [8]. Кроме того, для некоторой x_i

$$\frac{\partial}{\partial x_i} L^* = L^* \frac{\partial}{\partial x_i}, \quad \frac{\partial \mu}{\partial x_i} = 0.$$

В работе [9] всюду предполагается, что $\partial\Omega_1 \cap \Omega_2$ и $\partial\Omega_2 \cap \Omega_1$ — выпуклые множества относительно x_3 .

Академия наук Грузинской ССР
Институт вычислительной математики
им. Н. И. Мусхелишвили

(Поступило 12.12.1984)

ჯ. კაპანაძე

სხეულის ფორმის განსაზღვრის ერთადერთობის შესახებ მისი გარე
 პოტენციალის მნიშვნელობით

რეზიუმე

დამტკიცებულია პოტენციალთა ორორის შებრუნებული ამოცანის ამო-
 ნახსნის ერთადერთობა ერთ ცვლადზე დამოუკიდებელი ინტეგრებადი სიმ-
 კვრივისათვის ფრედჰოლმის განტოლებათა ორორის გამოყენებით.

GEOPHYSICS

D. V. KAPANADZE

ON THE DETERMINATION OF THE SHAPE OF A BODY
 ACCORDING TO THE VALUES OF ITS OUTER POTENTIAL

Summary

Using the theory of Fredholm equations, the uniqueness of solution of an inverse problem of the potential theory is proved for the case when the integrable density is independent of one of the variables.

ლიტერატურა — ЛИТЕРАТУРА — REFERENCES

1. П. С. Новиков. ДАН СССР, 18, № 3, 1938, 165—168.
2. Л. Н. Стретинский. ДАН СССР, 99, № 1, 1954, 21—22.
3. Ю. А. Шашкин. ДАН СССР, 111, № 1, 1957, 64—66.
4. А. И. Прилепко. Мат. заметки. XIV, № 5, 1973, 755—767.
5. Л. В. Кантарович, Г. П. Акилов. Функциональный анализ. М., 1984.
6. И. М. Раппопорт. ДАН СССР, 31, № 4, 1941, 303—306.
7. А. Н. Тихонов. ДАН СССР, 39, № 5, 1943.
8. А. В. Бицадзе. Краевые задачи для эллиптических уравнений второго порядка. М., 1966.
9. Д. В. Капанадзе. Сообщения АН ГССР, 118, № 3, 1985.

ГЕОФИЗИКА

А. Л. ЛИТВИН, Д. Т. НАЦВЛИШВИЛИ

ИЗУЧЕНИЕ ГОРИЗОНТАЛЬНОЙ НЕОДНОРОДНОСТИ
ПОВЕРХНОСТИ КРИСТАЛЛИЧЕСКОГО ФУНДАМЕНТА
РИОНСКОЙ ДЕПРЕССИИ ПО ДАННЫМ СЕЙСМИЧЕСКОГО
МЕТОДА ПРЕЛОМЛЕННЫХ ВОЛН

(Представлено академиком Б. К. Балавадзе 4.12.1985)

Поверхность кристаллического фундамента Рионской депрессии является объектом неоднократных сейсморазведочных исследований с целью изучения рельефа и тектоники поверхности кристаллического фундамента. Горизонтальная неоднородность геологических сред, существование которой доказана многими исследованиями последних лет [1], не изучалась и не принималась во внимание, что должно было сказать на конечных результатах.

Для изучения рельефа, тектоники и горизонтальной неоднородности кристаллического фундамента, как было показано в [1—3], наиболее эффективен сейсмический метод преломленных волн (МПВ).

В МПВ для изучения горизонтально-неоднородных сред разработан способ интервальных граничных скоростей [4]. В [2, 5] показана высокая точность и информативность данного способа при изучении горизонтально-неоднородного фундамента. Применение способа интервальных граничных скоростей при интерпретации данных МПВ, полученных на территории Грузии, привело к получению новых геологогеофизических результатов [6].

В данной статье рассматриваются результаты машинной интерпретации материалов МПВ, с целью изучения горизонтальной неоднородности поверхности кристаллического фундамента Рионской депрессии. Для интерпретации были использованы материалы, полученные трестом «Грузнефтегеофизика» и ГУ ГССР в 1969—1977 гг. Всего было обработано 13 профилей, из них девять субмеридианальных и четыре субширотных профиля. По всем профилям имеются полные увязанные во взаимных точках системы годографов преломленных на поверхности кристаллического фундамента волн. Система профилей показана на рис. 1. Годографы обработаны на ЭВМ по программе PONT [5], реализующий на ЭВМ последовательность графических операций при обработке материалов МПВ вручную методом полей времен и способом интервальных граничных скоростей.

Скорость в покрывающей толще, согласно данным, приведенным в [3], была принята 3,8 км/с для западной части, 3,6 км/с для центральной части и 3,4 км/с для восточной части депрессии. Изохроны строились через 0,05 с.

Изучение горизонтальной неоднородности кристаллического фундамента Рионской депрессии осуществлялось с помощью полученных на ЭВМ графиков $\langle V_{r,\text{инт}}(X) \rangle_n$ — интервальных граничных скоростей, сглаженных способом скользящего среднего по n -точкам. При этом для решения поставленной задачи использовалась методика, описанная в [7]. Эта методика основана на подавлении аномалий $V_{r,\text{инт}}(X)$ от тектонических нарушений с помощью сглаживания на больших базах (10 км).



По данным предыдущих геолого-геофизических исследований максимальная амплитуда нарушений в изучаемом районе не превышает 0,7—0,8 км. Анализ теоретических кривых, выполненный согласно [5], показывает, что для подавления соответствующих аномалий необходимо

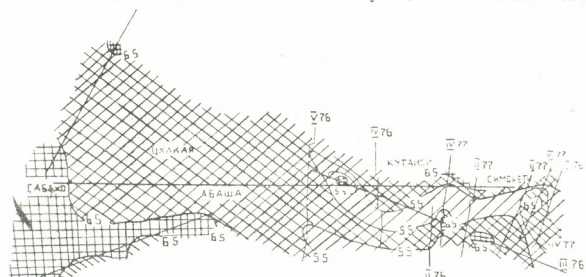


Рис. 1. Карта V_r поверхности кристаллического фундамента Рионской депрессии

Рис. 1. $\square V_r < 5,5 \text{ км/с}; \square - 5,5 \text{ км/с} < V_r < 6,5 \text{ км/с}; \square - V_r > 6,5 \text{ км/с}$

димо осреднение графиков $V_{r,\text{инт}}(X)$ по 21 точке. Однако ввиду ограниченной протяженности субширотных профилей такое сильное сглаживание представляется неэффективным. Нами проведено осреднение всех профилей на базе 11 точек, что позволило подавить аномалии нарушений с $h < h_{\max} = 0,7 \text{ км}$. На рис. 1 приведена карта границной скорости кристаллического фундамента Рионской депрессии.

На карте выделяются узкие вытянутые зоны аномалии, связанные с разрывными нарушениями $h > h_{\max}$ и изометрические зоны с различными значениями V_r , связанные, по-видимому, с областями распространения различных пород. Выделены три протяженные зоны со следующими скоростями: 1— $V_r < 5,5 \text{ км/с}$; 2— $5,5 \text{ км/с} < V_r < 6,5 \text{ км/с}$; 3— $V_r > 6,5 \text{ км/с}$. Эти зоны проинтерпретированы как области распространения: 1—трещиноватых гранитов, 2—гранитов и гранодиоритов, 3—пород основного состава.

Академия наук Грузинской ССР
Институт геофизики

Академия наук СССР
Институт физики Земли

(Поступило 12.12.1985)

8803000000

ა. ლიტვინი, დ. ნაცვლიშვილი

რომელს დეპრესიის პრისტალური ფუნდამენტის ზედაპირის ჰორიზონტალური არაერთგვაროვნების შესწავლა გარდატმინდი ტალღების შესახური მთოდის მონაცემებით

რეზიუმე

მოყვანილია გრძელებული ტალღების სეისმური მეთოდით მიღებული მოცულების ეგმ-ზე ინტერპრეტაციის შედეგები. ინტერპრეტაცია მიმდინარეობდა PONT პროგრამის გამოყენებით, რომელიც ემყარებოდა დროთა ველის მე-

თოდს და ინტერვალური საზღვრითი სიჩქარეების ხერხს. დადგენილია, რომ რიონის დეპრესიის კრისტალური ფუნდამენტის ზედაპირი ხასიათდება მნიშვნელოვანი ჰორიზონტალური სიჩქარული არაერთგვაროვნებით, რომელიც გამოწვეულია მისი ნივთიერი შედგენილობით.

GEOPHYSICS

A. L. LITVIN, D. T. NATSVLISHVILI

A STUDY OF THE HORIZONTAL HETEROGENEITY OF THE SURFACE OF THE CRYSTAL FOUNDATION OF THE RIONI DEPRESSION ACCORDING TO THE DATA OF THE SEISMIC METHOD OF REFRACTED WAVES

Summary

The paper deals with the results of machine interpretation of the materials obtained by the method of refracted waves with a view to studying the horizontal heterogeneity of the surface of the crystal foundation of the Rioni depression.

ЛІТЕРАТУРА — REFERENCES

1. Сб. «Неоднородность кристаллического фундамента по сейсмическим данным». М., 1977.
2. А. М. Епинатьева, М. Н. Журба, А. Л. Литвин. Разведочная геофизика. Отч. произ. опыт. вып. 6. М., 1985.
3. М. С. Иоселиани. Строение осадочного комплекса и кристаллического фундамента территории Грузии по геофизическим данным. Тбилиси, 1969.
4. А. М. Епинатьева, В. М. Невский. Геофиз. сб., № 65. Киев, 1975.
5. А. Л. Литвин. Автoreферат канд. дисс. М., 1984.
6. М. С. Иоселиани, В. В. Бугианишвили, В. К. Чичинадзе, З. В. Квеладзе. Труды Ин-та геофизики АН ГССР, 47, 1980.
7. А. М. Епинатьева и др. Физика Земли, М., 1980.

АНАЛИТИЧЕСКАЯ ХИМИЯ

И. Ш. ШАТИРИШВИЛИ, Х. З. ПАТАРАЯ

АНАЛИЗ СПИРТОВО-ВОДНЫХ СМЕСЕЙ МЕТОДОМ
ГАЗОЖИДКОСТНО-АДСОРБЦИОННОЙ ХРОМАТОГРАФИИ
И НА КВАРЦЕВЫХ КАПИЛЛЯРНЫХ КОЛОНКАХ

(Представлено членом-корреспондентом Академии Т. Г. Андроникашвили 22.10.1985)

Анализ спиртово-водных смесей представляет собой сложную задачу для пищевой и лесохимической промышленности. Хотя число компонентов в этой смеси и не слишком велико, но преобладание двух компонентов воды и этанола и наличие компонентов, выкипающих при существенно различных температурах кипения, делают задачу далеко не столь простой.

Обычно легкие компоненты определяют методом газожидкостной хроматографии с использованием такой селективной фазы как ПЭГ 300 или 400. Однако для более высококипящих компонентов этот метод непригоден ввиду температурных ограничений этих фаз. Использование же фаз типа ПЭГ с большой молекулярной массой не позволяет осуществить разделение легокипящих компонентов. Поэтому приходилось использовать довольно сложные схемы анализа.

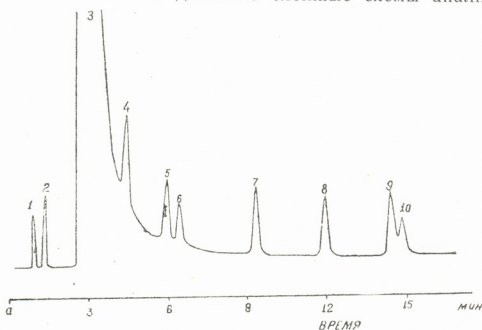


Рис. 1. Хроматограмма основных компонентов водно-этанольного раствора, разделенных на колонке 1,5 м × 2 мм, заполненной корробаком В с 5% ПЭГ 20 М в режиме программирования от 70 до 160°. Условия разделения см. в тексте. Пики: 1 — ацетальдегид, 2 — метанол, 3 — этанол (96%), 4—2-пропанол, 5—1 пропанол, 6 — этилацетат, 7 — изобутанол, 8 — бутанол, 9 — активный амиловый спирт, 10 — изоамиловый спирт

Оказалось, что эта сложная задача может быть решена с использованием варианта газожидкостно-адсорбционной хроматографии в режиме программирования температуры. После проведения серии опытов по поиску оптимального режима был предложен сорбент и режим программирования колонки. Сорбент полиэтиленгликоль 20 М, нанесен-

ный в количестве 5% на корбопак В с размером частиц 80/120 меш. Длина колонки 1,5 м, диаметр 2 мм, газ-носитель—азот, расход 25 см³/мин. Детектор — пламенно-ионизационный, температура испарителя 180—200°. Режим программирования колонки от 70 до 160° со скоростью подъема температуры 5°/мин, объем вводимой пробы 1—2 мкл. Полученная хроматограмма приведена на рис. 1. Время ана-

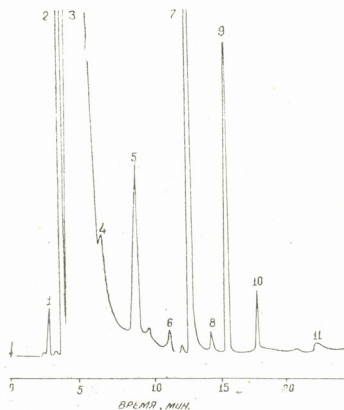


Рис. 2. Хроматограмма разделения компонентов сванского напитка Рахи. Обозначения пиков приведены в таблице, условия разделения — в тексте

лиза около 15 мин. При этом наблюдается хорошее отделение легкой фракции и хорошее разделение основных компонентов до C₅ включительно легкой и средней фракции винноматериалов.

Содержание отдельных компонентов в сванском напитке Рахи

№ пика	Компонент	Концентрация, % вес
1	Ацетальдегид	0,0025
2	Метанол	0,185
3	Этиловый спирт	31,5
4	2-Пропанол	0,005
5	1-Пропанол	0,049
6	Изоамилацетат	0,113
7	Бутанол+изобутанол	0,002
8	Этилкапронат	0,022
9	Амиловые спирты	0,003
10	{ Неидентифицированы	0,003
11		

Брунером [1] разработаны сорбенты корбопаков, при этом корбопаки В и С производятся промышленно и прочно вошли в зарубежную практику. Фирмой «Супелко», в частности, на этой основе выпу-

сказались специальные сорбенты корбопак с небольшим количеством неподвижной фазы для анализа примесей.

Отдельно на хроматографе «Биохром-2А» определяли общее содержание этилового спирта по калиброванным растворам этанола. Колонка была специально предназначена для отделения спиртов от других компонентов (неспиртов) и суммарного определения этих двух групп компонентов. Колонка длиной 1,1 м состояла из слоя длиной 1 м с сорбентом апиезон L и слоя 0,1 м с сорбентом полиэтиленгликоль 20 м, нанесенных на хромотон N. Температура колонки 130°, детектора по теплопроводности 180° и испарителя 200°, газ-носитель — азот, подаваемый в количестве 30 см³/мин. Измерения показали, что в образце сванского алкогольного напитка Рахи содержание этанола 31,5% вес, а общее содержание всех примесей, не содержащих спиртовых функциональных групп, 20,5%, что коррелируется с данными прямого хроматографического анализа. Был проведен количественный отчет хроматограмм, полученных на капиллярной колонке длиной 25 м × 0,25 мм с пришитой фазой ПЭГ 20 М с программированием температуры от 70 до 160°. Результаты обрабатывались на интеграторе с измерением площадей пиков. Количественные данные приведены в таблице.

Таким образом, разработанные хроматографические методы анализа позволили определить состав водно-спиртовых смесей.

Грузинский сельскохозяйственный институт

(Поступило 26.10.1985)

ანალიზული მიმართ

ი. შატირიშვილი, ხ. პათარაია

სპირტ-ღყალნარევების ანალიზი გაზურთხევად-ადსორბციული
ძრომატოგრაფიის მეთოდითა და კვარცულ კაპილარულ სვეტები

რ ე ჭ ი უ მ ე

ტემპერატურის პროგრამირების რეჟიმით გაზურთხევად-ადსორბციული
ძრომატოგრაფიის ვარიანტის გამოყენებისას ეთანოლ-წყალსნარში განსაზღვ-
რულ იქნა მაღალი დუღილის მქონე კომპონენტები.

ANALYTICAL CHEMISTRY

I. Sh. SHATIRISHVILI, Kh. Z. PATARAIA

ANALYSIS OF ALCOHOL-WATER MIXTURES BY THE METHOD OF GAS-LIQUID ADSORPTION AND QUARTZ CAPILLARY COLUMN CHROMATOGRAPHY

Summary

Using a variant of gas liquid adsorption chromatography in the temperature programming regime, the high-boiling components in a water-ethanol solution were determined.

ლიტერატურა — ЛИТЕРАТУРА — REFERENCES

1. F. Bruner *et al.* Annali di chimicee, 66, 1978, 565,

ОБЩАЯ И НЕОРГАНИЧЕСКАЯ ХИМИЯ

П. В. НУЦУБИДЗЕ, З. Б. ЧАЧХИАНИ, В. И. ЧЕЧЕРНИКОВ,
В. К. СЛОВЯНСКИХ

МАГНИТНЫЕ СВОЙСТВА СОЕДИНЕНИЙ ТИПА $\text{Ln}_4\text{U}_5\text{S}_{16}$
(Ln—РЗЭ)

(Представлено членом-корреспондентом Академии Г. В. Цинцадзе 12.11.1985)

Ранее [1] были исследованы магнитные свойства соединений типа $\text{Ln}_4\text{U}_5\text{S}_{16}$ (Ln—Y,Tb,Dy,Ho,Er) выше азотных температур и в магнитных полях до 10 кЭ; при этом было установлено, что в исследованном температурном интервале все соединения являются парамагнетиками, магнитная восприимчивость которых подчиняется закону Кюри—Вейсса с положительным значением парамагнитной температуры Кюри Θ_p . При этом обменное взаимодействие типа Ln—Ln является преобладающим.

В настоящей работе изучены магнитные свойства соединений этого же состава, а также соединений $\text{Yb}_4\text{U}_5\text{S}_{16}$ в температурном интервале 4,2—800 К и в магнитных полях от 10 до 130 кЭ. Метод получения соединений и результаты рентгенофазового и микроструктурного анализов изложены в работе [1]. Измерение удельной намагниченности проводилось с помощью магнитометра с вибрирующим образцом на водоохлаждаемой установке «Соленоид», позволяющей получать стационарные магнитные поля напряженностью до 130 кЭ [2—4].

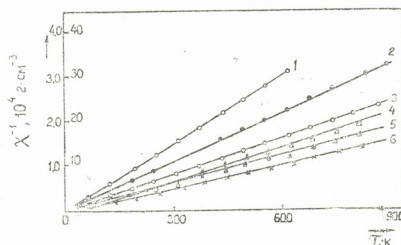


Рис. 1. Зависимость $1/\chi$ от T для соединений: 1 — $\text{Yb}_4\text{U}_5\text{S}_{16}$, 2 — $\text{Y}_4\text{U}_5\text{S}_{16}$, 3 — $\text{Er}_4\text{U}_5\text{S}_{16}$, 4 — $\text{Tb}_4\text{U}_5\text{S}_{16}$, 5 — $\text{Ho}_4\text{U}_5\text{S}_{16}$, 6 — $\text{Dy}_4\text{U}_5\text{S}_{16}$

Чтобы обеспечить получение достоверных экспериментальных результатов, в схеме вибрационного магнитометра были сделаны некоторые изменения, позволяющие проводить магнитные измерения на фоне высокого уровня электрических и магнитных помех, а также механических вибраций. Так, для уменьшения механической связи в цепи вибрирующая головка — электромагнит-детектирующая катушка использовались специальные амортизаторы, что значительно уменьшило

вибрацию детектирующей катушки на рабочей частоте (78 Гц). Детектирующая катушка была аксиальной геометрии \varnothing 5 мм и содержала 500 витков медной проволоки \varnothing 0,005. Для увеличения сигнал/шум сверху этой катушки налаживалась компенсирующая катушка с 270 витками той же проволоки. Такая система детектирующих катушек позволяла полностью избежать наводок от электрических и магнитных помех. Температура образца измерялась термопарой Cu—Cu, 3% Fe,

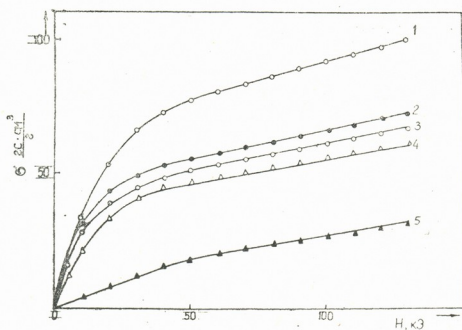


Рис. 2. Кривые намагничивания для соединений:
 1 — $Tb_4U_5S_{16}$, 2 — $Ho_4U_5S_{16}$, 3 — $Dy_4U_5S_{16}$, 4 — $Er_4U_5S_{16}$,
 5 — $Yb_4U_5S_{16}$

которая давала возможность проводить измерения в температурном интервале 4,2—300 К.

Результаты исследования показали, что все синтезированные соединения типа $Ln_4U_5S_{16}$ не обладают магнитным упорядочением вплоть до 4,2 К, причем парамагнитная восприимчивость соединений, с учетом экспериментальных данных работы [1], подчиняется закону

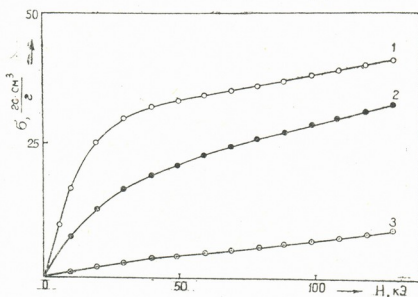


Рис. 3. Кривые намагничивания для соединений:
 1 — $Tb_3YU_8S_{16}$, 2 — $TbY_3U_5S_{16}$, 3 — $Y_4U_5S_{16}$

Кюри—Вейсса в широком температурном интервале 4,2—900 К с $\Theta_p > 0$ (рис. 1). Характерно, что экспериментальные данные по магнитным свойствам соединений $Ln_4U_5S_{16}$ удовлетворительно согласуются с данными работы [1].

В последней работе были исследованы также магнитные свойства твердых растворов $Tb_{4-x}Y_xU_5S_{16}$ с $x=1, 2, 3, 4$, где магнитные атомы тербия замещаются атомами иттрия. При этом получило подтверждение ранее высказанное предположение, что в соединениях типа $Ln_4U_5S_{16}$ преобладающим взаимодействием является обменное взаимодействие типа $Ln-Ln$, осуществляемое через электроны проводимости (взаимодействие типа РККИ). Однако это взаимодействие в отличие от чистых редкоземельных металлов является слабым и не может обеспечить возникновение магнитного порядка в исследованном интервале температур. Причиной этого может быть резкое увеличение по сравнению с РЗМ расстояния между ионами редкоземельных элементов. На существование в исследованных соединениях и их твердых растворах слабого обменного взаимодействия указывают и кривые намагничивания, определенные при 4,2 К в магнитных полях напряженностью до 130 кЭ (рис. 3 и 4). Как видно, кривые намагничивания не достигают насыщения даже в самых больших полях и имеют вид бриллюэновского типа.

Значения эффективных магнитных моментов на молекулу соединения, рассчитанные при 100 кЭ, приведены в таблице.

№	Состав	Парамагнитная температура Кюри	$\mu^s(\mu_\sigma)$	$\mu_{\text{эфф}}(\mu_\sigma)$
1	$Y_4U_5S_{16}$	0	3,0	2,8 (U)
2	$TbY_3U_5S_{16}$	9	12,2	9,37 (Tb)
3	$Tb_3YU_5S_{16}$	14	17,0	9,56 (Tb)
4	$Yb_4U_5S_{16}$	10	13,0	3,0 (Yb)
5	$Er_4U_5S_{16}$	16	34,8	7,9 (Er)
6	$Dy_4U_5S_{16}$	48	26	8,9 (Dy)
7	$Ho_4U_5S_{16}$	27	30,6	8,7 (Ho)
8	$Tb_4U_5S_{16}$	70	40,9	7,9 (Tb)

Грузинский политехнический институт
им. В. И. Ленина

(Поступило 21.11.1985)

ზოგადი და არაორგანული ქიმია

3. ნუცხაძე, ჭ. ჩახხიანი, გ. ჩხერიძე კოვა, გ. ლეონიძე

$Ln_4U_5S_{16}$ ($Ln-PZM$) ტიპის ნაერთმაგის მაგნიტური თვისებები

რ ე ჭ ი უ მ ე

გამოკვლეულია $Ln_4U_5S_{16}$ ტიპის ნაერთმაგის ($Ln-Y, Tb, Dy, Ho, Er$) მაგნიტური თვისებები 4,2—800 K ტემპერატურულ ინტერვალში და 100 kE დაძაბულობის მაგნიტურ ველში.

დადგნილია, რომ ყველა საკვლევ ნაერთში არ აღინიშნება მაგნიტური მოწევსრიგებულობა ზემოაღნიშნულ ტემპერატურულ ინტერვალში. მაგნიტური ამთვისებლობა ექვემდებარება კოური — ვეისის კანონს, როცა $\Theta > 0$.

GENERAL AND INORGANIC CHEMISTRY

P. V. NUTSUBIDZE, Z. B. CHACHKHIANI, V. I. CHECHERNIKOV,
 V. K. SLOVYANSKIKH

MAGNETIC PROPERTIES OF $\text{Ln}_4\text{U}_5\text{S}_{16}$ (Ln-REE)-TYPE
 COMPOUNDS

S u m m a r y

The magnetic properties of $\text{Ln}_4\text{U}_5\text{S}_{16}$ (Ln- Y, Tb, Dy, Ho, Er) -type compounds have been investigated in the temperature range 4,2-800 K and in magnetic fields of up to 100 K intensity. In all the compounds studied magnetic ordering was found to be absent up to 4.2 K. Magnetic susceptibility follows the Curie-Weiss law when $\Theta p > 0$. Magnetic moments at maximum values of magnetic field are estimated from magnetization curves determined to 100 kE.

ЛІТЕРАТУРА — REFERENCES

1. В. И. Чечерников, П. В. Нутубидзе, А. В. Печенников, В. К. Словянских, Н. Т. Кузнецов, Н. В. Грачева. Изв. АН СССР, Неорган. материалы, 18, № 3, 1982, 385.
2. В. Г. Веселаго. Изв. АН СССР, сер. физ. 36, № 6, 1256—1259.

ОБЩАЯ И НЕОРГАНИЧЕСКАЯ ХИМИЯ

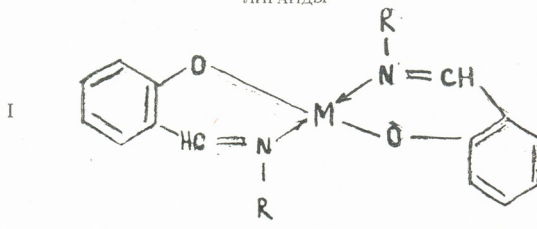
Н. А. ТУПИНАШВИЛИ, О. Н. ЧИКОВАНИ, Г. В. КОРАНАШВИЛИ,
 Н. И. ПИРЦХАЛАВА, А. Д. ГАРНОВСКИЙ

КОМПЛЕКСНЫЕ СОЕДИНЕНИЯ ГАЛОГЕНИДОВ БОРА
 С МЕТАЛЛ-ХЕЛАТАМИ

(Представлено членом-корреспондентом Академии Г. В. Цинцадзе 20.11.1985)

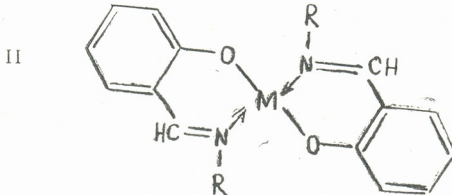
В продолжение исследований кислотно-основных свойств металл-хелатов [1, 2] нами изучено взаимодействие $M'X_3$ ($M'=B$, $X=Cl$, Bg) с металл-хелатами. В качестве лигандов для получения би- и полиядерных комплексов [1–4] использованы внутрикомплексные соединения (ВКС) ароматических азометинов. Получены аддукты $M'X_3$ с металл-хелатами (I–II), изучены способ локализации в них координационной связи $M-N$ (N – донорный атом ВКС) и физико-химические свойства.

ЛИГАНДЫ



a, б

I а $R=C_6H_5$ $M=Cu^{II}$, $M'=B$ б: $R=C_6H_4O-CH_3$ $M=Cu^{II}$, $M'=B$



а—г

II а $R=C_6H_4O-OCH_3$ $M=Zn^{II}$, $M'=B$ б: $M=Zn^{II}$, $M'=B$
 $R=C_6H_4m-CH_3$ г: $R=C_6H_4$ p: SCH_3 $M=Zn^{II}$, $M'=B$

Аддукты типа I–II получены путем смешения на холода растворов галогенидов бора и соответствующих металл-хелатов



вание и термический анализ, измерена молярная электропроводность. Согласно данным элементного анализа на азот и галогениды, аддукты имеют состав ($\text{хелат} \cdot 2\text{M}'\text{X}_3$ [1, 2]. Синтезированные комплексы представляют собой яркоокрашенные труднорастворимые вещества. Все опыты проводились в боксе с осушенным воздухом в атмосфере аргона.

Молекулярные комплексы $\text{M}'\text{X}_3$ с металл-хелатами

№ соединения	Тип метал-хелата	Брутто-формула	Цвет	М	Т пл.	N %		В %		Hal %	
						выч.	найд.	выч.	найд.	выч.	найд.
1	I	$\text{C}_{26}\text{H}_{20}\text{O}_2\text{N}_2\text{Cu} \cdot 2\text{B Br}_3$	Сиреневый	958	137	2,92	2,4	2,29	2,89	50,10	49,95
2	I	$\text{C}_{26}\text{H}_{20}\text{O}_2\text{N}_2\text{Cu} \cdot 2\text{B Cl}_3$	Горчичный	691	150	4,05	3,95	3,18	3,01	30,82	30,5
3	I	$\text{C}_{30}\text{H}_{28}\text{O}_2\text{N}_2\text{Cu} \cdot 2\text{B Br}_3$	Черный	1014	162	2,76	2,31	2,16	1,59	47,37	46,9
4	I	$\text{C}_{30}\text{H}_{28}\text{O}_2\text{N}_2\text{Cu} \cdot 2\text{B Cl}_3$	Черный	747	250	3,74	3,24	2,94	2,44	28,51	28,01
5	II	$\text{C}_{28}\text{H}_{24}\text{N}_2\text{ZnO}_4 \cdot 2\text{B Br}_3$	Лимонный	1019	138—140	2,74	1,99	2,15	1,78	47,10	27,95
6	II	$\text{C}_{30}\text{H}_{28}\text{O}_2\text{N}_2\text{Zn} \cdot 2\text{B Cl}_3$	"	752	184—186	3,72	2,85	2,92	2,51	28,32	27,95
7	II	$\text{C}_{30}\text{H}_{28}\text{O}_2\text{N}_2\text{Zn} \cdot 2\text{B Br}_3$	"	1015	190	2,75	2,62	2,16	2,01	47,29	47,01
8	II	$\text{C}_{30}\text{H}_{28}\text{O}_2\text{N}_2\text{Zn} \cdot 2\text{B Cl}_3$	Желтый	748	130—132	3,84	3,51	2,94	2,15	28,47	27,15
9	II	$\text{C}_{28}\text{H}_{24}\text{N}_2\text{O}_2\text{S}_2\text{Zn} \cdot 2\text{BBR}_3$	Желтый	1051	198—200	2,66	1,87	2,09	1,95	45,67	45,17
10	II	$\text{C}_{28}\text{H}_{24}\text{N}_2\text{O}_2\text{S}_2\text{Zn} \cdot 2\text{BCl}_3$	Желтый	748	250	3,57	3,01	2,80	2,30	27,16	26,05

При изучении термической устойчивости полиядерных комплексов в интервале 120—850°C установлено, что происходит постадийное отщепление BX_3 , сопровождающееся эндоэффектами с последующим разложением и окислением металл-хелатов, характеризующимся выделением тепла. Обнаружено, что устойчивость возрастает в ряду $\text{Cu} < \text{Zn}$ -содержащих хелатных узлов.

Аддукты хлоридов более устойчивы, чем бромидов.

Молярная электропроводность, измеренная в растворах нитрометана, свидетельствует, что полиядерные комплексы являются неэлектролитами и колеблются в пределах 19—57 $\text{см}^{-1}\text{см}^2 \text{ моль}^{-1}$.

В литературе накоплено большое количество данных относительно различных способов локализации координационной связи в комплексах, лиганды которых обладают несколькими потенциально возможными донорными атомами (конкурентная координация). Последнее было удачно объяснено с позиций принципа жестких и мягких кислот и оснований (ЖМКО) [3, 7]. Интересными объектами для изучения этого явления служат металл-хелатные системы. В нашей работе в качестве объекта исследования использовались главным образом N,O -донорные металл-хелатные системы КВС о-оксиазометинов типа I—II. Считается, что сильные и жесткие кислоты Льюиса вызывают разрыв металлоцикла и приводят к локализации $\text{M}'\text{X}_3$ на атоме азота азометиновой связи [1—8] (с учетом того, что BX_3 относится к сильным и жестким кислотам).

С целью проверки высказанных соображений нами изучены ИК-спектры металл-хелатов I, II и соответствующих молекулярных комплексов — $\text{VKC} \cdot 2\text{M}'\text{X}_3$.

В ИК-спектрах металл-хелатов I-II наблюдаются частоты азометинового поглощения при $1600-1615 \text{ см}^{-1}$, которые повышаются при взаимодействии с $M'X_3$ до $1645-1650 \text{ см}^{-1}$.

Согласно этим спектрам, при взаимодействии льюисовских кислот с ВКС азометинов разрывается хелатное кольцо и образуется



Показано, что внутрикомплексные соединения с N, O -лигандным окружением в реакциях с кислотами Льюиса $M'X_3$ ($M' = B; X = Cl, Br$) проявляют свойства оснований и образуют полиядерные комплексы.

На основе данных элементного анализа, термогравиметрических и ИК-спектральных исследований, измерения электропроводности установлено, что их состав соответствует $\text{BKC} \cdot 2M'X_3$; термическая устойчивость полиядерных комплексов определяется типом ВКС, металлов и галогенидов, при этом $Cu < Zn, Cl < Zn; N, O$ -содержащие металл-хелатные системы являются по отношению к $M'X_3$ N -донорными лигандами.

Тбилисский государственный университет

(Поступило 22.ii.1985)

ზოგადი და არაორგანული ქიმია

ნ. ტუპინაშვილი, ო. ჩიკოვანი, გ. კორანაშვილი, გ. გარნოვსკი
ა. გარნოვსკი

გორის ჰასკოგენიფების კომპლექსნართები მეტალ-ხელატებთან

რეზიუმე

სინთეზირებულია მოლეკულური კომპლექსები $M'X_3$ ($M = B; X = Cl, Br$) აზომეთინების მეტალ-ხელატებთან.

სინთეზი შესრულებულია მეტალ-ხელატებისა და $M'X_3$ -ის აბსოლუტური ბენზოლის ხსნარების შერევით (თანაფარდობა 1:1). ანალიზის მონაცემების თანახმად კომპლექსის შედგენილობა შეესაბამება ფორმულას $L \cdot 2BX_3$ (L მეტალ-ხელატი); მიღებული პროცესტები ჰიგროსკოპულია, მყვეთი შეფერილობისა. ძნელად ლლობადი, ხსნადია ზოგიერთ ორგანულ გამსხვილვა.

GENERAL AND INORGANIC CHEMISTRY

N. A. TUPINASHVILI, O. N. CHIKOVANI, G. V. KORANASHVILI,
N. I. PIRTSKHALAVA, A. D. GARNOVSKI

COMPLEX COMPOUNDS OF BORON BROMIDES WITH METAL-CHELATES

Summary

New molecular complex compounds of boron bromides with azomethine metal-chelates have been synthesized. They were obtained by mixing absolute benzene solutions of metal-chelates and boron bromides at the ratio of 1:1.

Elemental analysis shows that the obtained complexes have the following structure: $L \cdot 2MB_{r_3}$ (M -BL-metal-chelates). The obtained complexes are hygroscopic, melt with difficulty (m. p. 200-300°) and hardly dissolve in most organic solvents.



IR-spectroscopic study of complexes and ligands indicates that the coordination bond is located on the nitrogen atom of the azomethine group.

ლიტერატურა — REFERENCES

1. Н. А. Тупинашвили, Н. И. Пирцхалава, А. Д. Гарновский. ЖОХ, 47, 1977, 2586.
2. Н. А. Тупинашвили, Н. И. Пирцхалава, В. А. Гарновский. Сообщения АН ГССР, 82, № 3, 1976, 582.
3. Р. Пирсон. УХ, 40, 1971, 1259.
4. В. А. Курбатов, А. Д. Гарновский и др. ЖОХ, 45, 1975, 202.
5. В. А. Коган и др. ЖОХ, 44, 1974, 713.
6. M. D. Newday, T. D. Smith; Coord. Chem. Rev., 9, 1973, 311.
7. А. Д. Гарновский. Изв. СКНЦ, сер. ест. наук, 2, 1981, 48.
8. Н. А. Тупинашвили. Автореферат канд. дисс. Тбилиси, 1982.

ОБЩАЯ И НЕОРГАНИЧЕСКАЯ ХИМИЯ

Н. И. МЕКВАБИШВИЛИ, А. А. КАЛАНДИЯ, Ю. А. ЛЕИКИН КИНЕТИКА ОСАЖДЕНИЯ КАЛЬЦИЯ И МАГНИЯ ИЗ ГЕОТЕРМАЛЬНЫХ ВОД

(Представлено членом-корреспондентом Академии Л. Н. Джапаридзе 12.12.1985)

Выработанный нами способ и предложенный реагент, условно называемый МК-реагентом, позволяют умягчить геотермальную воду любой жесткости практически до нуля (проблема солеотложения решена).

Процесс осаждения щелочноземельных металлов предложенным нами реагентом условно можно подразделить на две стадии — образование зародышей как центров кристаллизации и осаждения.

Для выяснения кинетики подобных процессов наиболее целесообразно применять математический аппарат теории зародышеобразования [1]. В нашем случае следует использовать случай зародышеобразования по степенному закону:

$$\frac{dF}{dt} = \text{const} \cdot t^q, \quad (I)$$

где dF/dt — скорости зародышеобразования и F — число зародышей в зависимости от времени t , показатель степени q на единицу меньше числа атомов процесса зародышеобразования.

В интегральном виде уравнение (I) можно представить следующим образом:

$$F = 1 - \exp \left(-\frac{Kq}{q+1} \cdot t^{q+1} \right). \quad (II)$$

Как следует из большого числа опытов применения подобных уравнений, величина q — показатель степени изменяется от 0 до 3, необходимым условием должно быть $F \rightarrow 1$, $t \rightarrow \infty$. Величина q может быть оценена в анаморфозах

$$\ln(1-F) = \varphi(t^m), \quad (III)$$

$$\ln[-\ln(1-F)] = \ln B + m \ln t. \quad (IV)$$

При расчете кинетических зависимостей скорости осаждения суммы Ca и Mg МК-раствор-реагентом нами была определена степень $m=3$. На рис. 1 в соответствующих координатах $\ln(1-F)=\varphi(t^3)$ представлены кинетические кривые, полученные при избытке осаждения МК-раствор-реагента (рис. 1).

Как видно, для F в интервале 0,2—0,95 кривые осаждения хорошо укладываются в указанных координатах.

В табл. 1 приведены количества осажденных солей при различных температурах в зависимости от времени осаждения. Максимальное осаждение солей практически одинаково (в пределах ошибки эксперимента) и время осаждения колеблется от 55 до 65 мин.

Ввиду того, что количество максимального осаждения вещества не зависит от температуры ($S_{\max}=630$ мг/л), возможно получить общие кривые в координатах степень превращения — время $F_i=\varphi(t_i)$. Как уже указывалось, обработка кривых осаждения в координатах, соот-



ветствующих математическому аппарату теории зародышеобразования, показала, что

$$\ln(1-F) = \ln \frac{Kq}{q+1} + (q+1) \ln t, \quad (V)$$

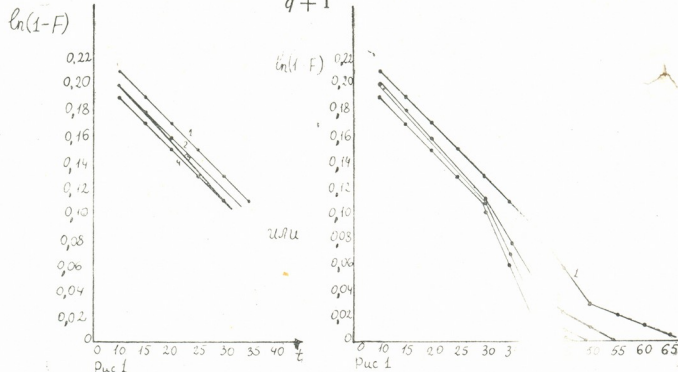


Рис. 1. Кинетика осаждения до 80%, А — полное (100%-ное) осаждение. Кинетические кривые осаждения Ca и Mg при разных температурах: 1 — при 68°; 2 — при 78°; 3 — при 88°; 4 — при 98°

т. е. хорошую адекватность модели. В табл. 1 даны результаты обработки по МИК, согласно уравнению (у): величины R корреляции при числе экспериментальных точек 10—15 не ниже 0,989, максимальное отклонение найденных и расчетных величины F не превышает погрешности эксперимента.

Таблица 1

Влияние температуры на скорость осаждения Ca и Mg при постоянной концентрации (10%) МК-раствор-реагента и температуре от 68 до 98°С

Время осаждения, мин.	Количество осажденного вещества							
	мг/л				%			
	68°C	78°C	88°C	98°C	68°C	78°C	88°C	98°C
10	140	160	180	200	23,8	25,4	28,6	31,7
15	220	235	255	280	34,9	37,3	40,5	44,4
20	280	300	320	350	44,4	47,6	50,8	55,5
25	345	370	390	410	54,8	58,7	61,9	65,1
33	400	420	445	465	63,5	66,7	70,6	73,8
35	440	475	500	520	69,8	75,4	79,3	82,5
40	480	510	535	560	76,2	81,0	84,9	88,9
45	520	545	575	605	82,5	86,5	91,3	96,0
50	545	570	600	629	86,0	90,5	95,2	99,8
55	575	600	630	—	91,3	95,2	100	—
60	600	630	—	—	95,2	100	—	—
65	629	—	—	—	99,8	—	—	—

Показатель степени $(q+1)$ в уравнении (II) может быть легко получен при проверке адекватности функций в анаморфозах $\ln(1-F) = \phi \ln t$. Для подавляющего большинства исследуемых процессов величина $(q+1)$ составляет $3 \pm 0,008$, что соответствует $q=2$. Величина 2 практически не зависит от концентрации температуры и соотношения реагентов.

Зависимость В от температуры хорошо подчиняется уравнению Аррениуса

$$\ln B = \ln Z_0 - \frac{E_{ak}T}{R} \cdot \frac{1}{T}$$

Таблица 2

Кинетические параметры процесса осаждения

T°C	-A	-B _C -1	R корреляции	± ΔF _{абс} ^{макс}
341	0,5963	0,1912 · 10 ⁻⁶	0,992	0,04
351	0,6154	0,2458 · 10 ⁻⁶	0,991	0,04
361	0,6001	0,3342 · 10 ⁻⁶	0,995	0,03
371	0,5837	0,4677 · 10 ⁻⁶	0,989	0,03

с высоким коэффициентом корреляции ($R_{kopp}=0,996$, $\ln Z_0=-4,427$, $E_{akr}=31,4 \frac{\text{КДж}}{\text{моль}}$).

Таблица 3

Скорости осаждения Ca и Mg в зависимости от концентрации МК-раствор-реагента при постоянной температуре 98°C

Время содерж- жания мин	Количество осажденного вещества							
	мг/л				%			
	1 %	2 %	5 %	10 %	1 %	2 %	5 %	10 %
10	100	150	180	200	15,9	23,8	28,6	31,7
15	150	215	255	280	19,0	34,1	40,5	44,4
20	200	280	320	350	31,7	44,4	50,8	55,5
25	250	340	380	410	39,7	54,0	60,3	65,1
30	290	390	435	465	46,0	61,9	69,0	73,8
35	330	435	485	520	52,5	69,0	77,0	82,5
40	370	480	530	565	58,7	76,2	84,1	89,7
45	405	520	570	600	64,3	82,5	90,5	95,2
50	435	555	605	629	69,0	88,1	96,0	99,8
55	465	585	630	—	73,8	92,9	100	—
60	495	610	—	—	78,6	96,8	—	—
65	520	630	—	—	82,5	100	—	—
70	545	—	—	—	86,5	—	—	—
75	565	—	—	—	89,7	—	—	—
80	585	—	—	—	92,9	—	—	—
85	600	—	—	—	95,2	—	—	—
90	610	—	—	—	96,8	—	—	—
95	625	—	—	—	99,2	—	—	—
100	629	—	—	—	99,8	—	—	—

Таблица 4

Кинетические параметры процесса осаждения

C %	-A	-B · 10 ⁷	R корреляции	± ΔF _{абс} ^{макс}
0,01	0,5002	0,8051	-0,990	0,02
0,02	0,4992	2,514	-0,996	0,01
0,05	0,5132	3,415	-0,995	0,01

Характерным является и постоянство А в интервале исследуемых температур ($A=0,599 \pm 0,013$ с точностью не хуже $\pm 3\%$), что хорошо согласуется с математическим аппаратом модели (см. уравнения (II), (V)).

Для исследования зависимости кинетических параметров осаждения от концентрации реагентов по уравнению (У) были обработаны



кинетические зависимости процесса осаждения при концентрации осаждения 1, 2, 5 и 10%. Данные расчета сведены в табл. 3 и 4.

Из табл. 3 следует, что с увеличением концентрации МК-раствор-реагента от 1 до 10% время осаждения постепенно сокращается от 100 до 55 мин.

Далее были получены основные уравнения, связывающие кинетические параметры с концентрацией осаждающего МК-раствор-реагента. Параметр А для этой серии постоянен ($0,504 \pm 0,0008$) и достоверно не связан с концентрацией прибавляемого реагента, в то время как параметр В дает хорошую линейную связь в виде

$$B = 0,4116 \cdot 10^{-6} - 0,3284 \cdot 10^{-8} - \frac{1}{c} \quad (R_{kopp} = 0,999).$$

Таким образом, при изучении кинетики осаждения Ca и Mg установлено, что максимальное количество осажденного вещества не зависит от температуры и возможно получить общие кривые в координатах степень превращения—время $F_i = \varphi(t_i)$, соответствующих математическому аппарату теории зародышеобразование $\ln(1-F) = A + Bt^2$, и показана хорошая адекватность в широком интервале температур и концентраций. Найдена температурная зависимость изменений В по уравнению Аррениуса, показано постоянство А в широком интервале температур, установленная зависимость основных параметров от концентраций раствора.

Грузинский политехнический институт
им. В. И. Ленина

(Поступило 27.12.1985)

ზოგადი და არაორგანული ქიმია

6. მაკვაგიაზილი, ა. კალაძეია, ი. ლეიკინ
გეოთერმული ჟალიდან გაღვიტვისა და მაგნიუმის დალექციის
კინეტიკა

რეზიუმე

დადგენილია, რომ ჩვენ მიერ შემოთავაზებული რეაგენტი იძლევა საშუალებას დაარბილოს ხისტი წყალი პრაქტიკულად ნულამდე (მარილთა გამოლექვის პრობლემა გადაწყვეტილია).

ნაპოვნია არენიუსის განტოლებით В ცვალებადობის ტემპერატურასთან დამკიდებულება, ნაჩვენებია A-ს მუდმივობა ტემპერატურის ფართო ინტერვალში. განსაზღვრულია ძირითად პარამეტრებსა და ხსნარის კონცენტრაციას შორის დამოკიდებულება.

GENERAL AND INORGANIC CHEMISTRY

N. I. MEKVABISHVILI, A. A. KALANDIA, Yu. A. LEIKIN
THE KINETICS OF CALCIUM AND MAGNITUDE DEPOSITION OF
GEOTHERMAL WATER

Summary

A study of the softening ability of a reagent proposed by the authors has shown that at high temperature hard geothermal water can practically be softened to zero using this reagent (the problem of salt deposition is solved).

The temperature dependence of the alterations accordant to the Arrhenius equation is obtained and the constancy of a large temperature range is shown. A dependence of the main parameters on the concentration of the solution is obtained.

ლიტერატურა — ЛИТЕРАТУРА — REFERENCES

1. Б. Дельмон. Кинетика гетерогенных реакций. М., 1972, 50—58.

ФИЗИЧЕСКАЯ ХИМИЯ

Е. М. БЕНАШВИЛИ, М. Л. АРЕШИДЗЕ

ТЕРМОКАТАЛИТИЧЕСКИЕ ПРЕВРАЩЕНИЯ КЕРОСИНО-ГАЗОЙЛЕВОЙ ФРАКЦИИ И ВАКУУМНЫХ ДИСТИЛЛЯТОВ САМГОРСКОЙ НЕФТИ

(Представлено членом-корреспондентом Академии Т. Г. Андроникашвили 12.6.1984)

Наши предыдущие исследования [1—3] показали, что цеолиты содержащие катализаторы (ЦСК), содержащие цеолит типа Y в редкоземельных катионных формах (Ce, Ho, Pr, Tb) в матрицах природных активированных монтмориллонитовых глин (гумбрин и асканит месторождения Грузинской ССР), являются активными катализаторами крекинга стандартной керосино-газойлевой фракции грозненской нефти, согласно МРТУ 38—1—190—65. Из исследованных ЦСК наибольшую активность в реакции крекинга имеют катализаторы, содержащие гольмийводородную форму цеолита типа Y в количестве 15—20%, распределенные в матрицах из водородно-декатионированных форм гумбринса и асканита, которые были получены методом кислотной активации [3]. Указанные матрицы являются одновременно активными компонентами ЦСК, которые обеспечивают, наряду с высоким индексом активности или выходом крекингбензина C_5 —200°, и высокое содержание олефинов в газах крекинга, дефицит которых наблюдается в присутствии современных промышленных ЦСК в матрицах аморфного алюмосиликата [4].

Самгорская нефть (Грузинская ССР) имеет парафино-нафтеновую природу и характеризуется высоким содержанием парафиновых углеводородов в вакуумных дистиллятах, которые без предварительной депарафинизации не могут служить сырьем для производства смазочных масел или трансформаторного масла.

Целью настоящего исследования являлась глубокая переработка вакуумдистиллятов указанной нефти с получением дополнительных количеств жидкых топлив — крекингбензина и керосина, а также крекинггаза — сырья для нефтехимического синтеза.

Каталитический крекинг проводился в присутствии ЦСК с содержанием HoNaY в матрицах активированных гумбринса (АГ), асканита (АК) и декатионированного клиноптилолита месторождения Тедзами (ДкКЛТ) Грузинской ССР. ДкКЛТ был получен обработкой природного клиноптилолита 10 %-ной соляной кислотой в течение 3 часов при комнатной температуре и соотношении твердой и жидкой фаз 1:10 с последующей промывкой от ионов хлора. Крекинг проводился при 450° и объемной скорости 1,4 час⁻¹, при соотношении сырье: катализатор 0,35. Для сравнения были поставлены опыты и в присутствии только матриц, а термический крекинг проводился на крошки кварцевого стекла в интервале температур 550—650°.



Таблица 1

Результаты термокаталитического крекинга керосино-газойлевой фракции 260—360° самгорской нефти. Соотношение сырье: адсорбент 0,35, объемная скорость 1,4 час⁻¹

Катализаторы	Температура крекинга, °C	Конверсия, масс. %	Выход продуктов крекинга, масс. %			Выход жидких продуктов крекинга на исходное сырье, масс. %		Селективность по выходу жидких продуктов крекинга, %
			Жидкие	Газообразные	Кокс	Бензин C ₅ —200°	Фракция крекингкеросина 200—260°	
НоЗNaY/АГ	450	82,4	73,6	18,9	5,4	50,9	7,2	70,5
НоЗNaY/АК	"	78,4	80,9	10,6	6,5	52,5	8,8	78,2
НоЗNaY/ДкКлТ	"	74,5	76,0	13,8	8,6	39,4	12,7	69,9
ДкКлТ	"	26,2	89,2	7,6	2,5	8,3	7,8	61,5
НоДкКлТ	"	30,6	88,2	7,0	2,9	7,2	13,5	67,6
НоАГ	"	48,2	85,5	9,2	3,6	26,2	9,2	73,4
ДкКлТ	550	57,7	85,2	8,7	4,0	32,5	12,5	78,0
Кварц	"	42,2	82,4	14,4	1,9	7,2	18,7	61,4
"	600	54,7	78,7	17,9	2,1	27,2	7,5	63,4
"	650	82,4	51,0	45,2	2,3	29,6	5,3	42,4

Результаты термокаталитических превращений керосино-газойлевой фракции и вакуумных дистиллятов представлены в табл. 1 и 2.

Как видно из табл. 1, при крекинге керосино-газойлевой фракции 260—360° самгорской нефти высокие индексы активности (50,9—52,5%) были получены на катализаторах НоЗNaY/АГ и НоЗNaY/АК. Более низкую активность как по выходу бензина C₅—200° (39,4%), так и по общей конверсии сырья имеет катализатор в матрице декатионированного клиноптиолита — НоЗNaY/ДкКлТ, несмотря на то что он содержит ту же активную фазу и количественное содержание гольмия в указанных катализаторах почти равное (2,4—2,6%). Природа матрицы, ее структура значительное влияние оказывают на каталитическую активность в реакции крекинга указанного катализатора. По-видимому, матрица из узкопористого цеолита-клиноптиолита, в которой диффузия в микропоры затруднена и в реакции принимает участие в основном вторичная пористая структура цеолита, затрудняет свободный доступ реагирующих молекул крекируемого сырья к активной фазе катализатора и десорбцию продуктов крекинга из пор цеолита. Вышеизложенное приводит к понижению скорости реакции и уменьшению крекирующей активности катализатора, собственно матрица из ДкКлТ при 450° проявляет очень слабые крекирующие свойства. Индекс активности равен 8,3% при общей низкой конверсии 26,2%, и только с повышением температуры до 550° повышается крекирующая активность матрицы. В этих же условиях при термическом крекинге в присутствии кварцевого стекла общий выход как жидких продуктов крекинга, так и, в частности, бензина значительно ниже 25,9 и 7,2%. В случае ДкКлТ получено 45,0 и 32,5% соответственно (см. табл. 1).

В результате крекинга вакуумных дистиллятов, выкипающих от 320 до 510°, на гольмийсодержащих ЦСК получены высокие выходы жидких продуктов крекинга — бензина, керосина и каталитического

Таблица 2

Результаты термокаталитического крекинга вакуумных дистиллятов самгорской нефти. Соотношение сырье: адсорбент 1:3, объемная скорость 1,4 час⁻¹

Катализаторы	Фракция нефти, °C	Температура крекинга, °C	Конверсия, масс. %	Выход продуктов крекинга, масс. %			Выход жидких продуктов крекинга на исходное сырье, масс. %		Селективность по выходу жидких продуктов крекинга, %
				Жидкие	Газообразные	Кокс	Бензин н.к.— 200°	Фракция 200° до начала кипения исходной фракции	
HoHNaY/АГ	320—400	450	86,4	72,2	20,2	6,2	45,8	14,2	69,4
	400—425	"	90,0	72,4	21,0	4,6	44,2	20,2	71,6
HoHNaY/АК	400—425	"	88,5	82,3	11,2	4,5	46,4	26,4	82,3
	425—480	"	82,3	80,3	12,9	5,2	35,9	28,3	78,0
HoHNaY/АК	480—510	"	78,3	77,8	14,9	6,2	32,2	25,0	73,1
	480—510	500	94,3	69,3	21,6	8,4	44,5	19,8	68,2
Кварц	320—400	600	48,3	79,1	17,4	2,3	20,4	8,2	59,2
	320—400	650	89,6	48,5	46,9	2,7	31,0	9,0	44,6

газойля. В зависимости от фракционного состава крекируемого сырья индекс активности изменяется в пределах 32—46%, а суммарный выход жидких продуктов крекинга (от C₅ до начала кипения исходной фракции) изменяется в интервале 57—73% при селективности 68—82% (см. табл. 2).

Термический крекинг вакуумдистиллятов самгорской нефти проводился в условиях более высоких температур (600—650°). В отличие от каталитического крекинга, были получены более низкие выходы жидких продуктов крекинга, но высокий выход крекинггаза (47%, 650°) с высоким содержанием олефинов C₂—C₃ (70%), в том числе этилена (37%) и пропилена (32%), что на исходное сырье (фр. 320—400°) составляет 17,4 и 15,0% соответственно.

Таким образом, в результате проведенного исследования показаны влияние матрицы на крекирующую активность ЦСК и целесообразность переработки вакуумдистиллятов самгорской парафинистой нефти в жидкое топливо и олеофинсодержащие газы.

Академия наук Грузинской ССР

Институт физической и органической химии им. П. Г. Меликишвили

(Поступило 14.6.1984)

შიგნის მიმღება

ე. ბახვაძე, ა. არაშვილი

სამუშაოს ნავთობის ნავთ-გაზობრივის ფრაქციის და ვაკუუმ-დისტილიატების თერმოკრეკინგის გარდაჯმები

რ ე ზ ი უ მ ე

ნაჩვენებია, რომ აღნიშნული ნავთობის მაღალმდუდადი ფრაქციები კარგი ნედლეულია ღრმა გადამჟავებისათვის, რის შედეგად მიიღება თხევადი საწვავის (ბენზინი, ღიზელის ფრაქცია) მნიშვნელოვანი რაოდენობა და მაღალი ოლეფინუმცველი კრეკინგაირები ნავთობქიმიური სინთეზისათვის.



E. M. BENASHVILI, M. L. ARESHIDZE

THERMAL-CATALYTIC CONVERSIONS OF KEROSENE-GAS OIL FRACTION AND VACUUM-DISTILLATES OF SAMGORI OIL

Summary

The authors have studied the catalytic cracking of Samgori oil from 320 to 510 boiling fractions with holmium-containing zeolitic catalysts in different natural aluminosilicate matrices modified by oxides at 450-550°, and thermal cracking at 550-650°.

It is shown that the high-boiling fractions of the indicated oil is a good raw material for deep refining, yielding a significant amount of liquid fuel (petrol, diesel fraction) and high olefin-containing cracking gases for petrochemical synthesis.

ЛІТЕРАТУРА — REFERENCES

1. Е. М. Бенашвили, М. Л. Арешидзе. Сообщения АН ГССР, 87, № 2, 1977, 361.
2. Е. М. Бенашвили, М. Л. Арешидзе. Сообщения АН ГССР, 97, № 3, 1980, 641.
3. Е. М. Бенашвили, М. Л. Арешидзе. Изв. АН ГССР, сер. хим. № 3, 1984.
4. Я. В. Мирский, Л. В. Иванова, Я. Н. Зельцер и др. Цеолиты и цеолит-содержащие катализаторы, ч. I, вып. 27, 1974, 122.

ФИЗИЧЕСКАЯ ХИМИЯ

М. Д. СИЛАГАДЗЕ, Г. В. ЦИЦИШВИЛИ (академик АН ГССР),
Ш. И. СИДАМОНИДЗЕ

МИКРОКАЛОРИМЕТРИЧЕСКИЕ ИССЛЕДОВАНИЯ АДСОРБЦИИ
МЕТФОРАНА НА ЦЕОЛИТАХ ТИПА L И ZSM-5

В настоящее время многие фтор- и фторхлорсодержащие углеводороды находят широкое применение в различных областях науки и техники, особенно в качестве хладоагентов в современных бытовых и промышленных холодильных установках.

Холодильная техника предъявляет чрезвычайно жесткие требования к степени чистоты хладоагентов [1], поэтому изучение возможности очистки последних путем адсорбции является весьма актуальной задачей. Немаловажное значение придается также устранению возможности «утечки» фторуглеродных соединений в атмосферу, так как соединения этого типа играют значительную роль в формировании «тепличного эффекта». Поэтому разработка адсорбционных методов консервации фторсодержащих органических соединений является одной из важных экологических проблем.

Кроме вышеотмеченного, интерес вызывает также сопоставление адсорбционных характеристик метана и метфорана (CF_4) с целью выявления природы адсорбционных центров и характера взаимодействия адсорбированных молекул.

В работе исследованы высококремнистый цеолит типа L $\left(\frac{\text{SiO}_2}{\text{Al}_2\text{O}_3} = 5,17\right)$ и сверхвысококремнистый цеолит типа ZSM-5 $\left(\frac{\text{SiO}_2}{\text{Al}_2\text{O}_3} = 167,5\right)$. Применялись адсорбенты марки «х. ч.».

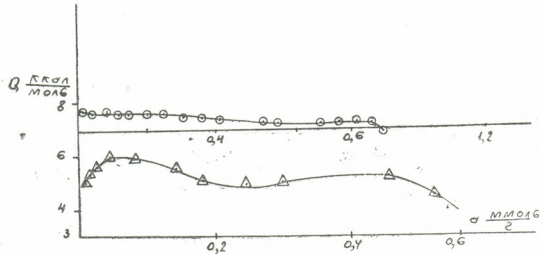


Рис. 1. Изотермы адсорбции систем CF_4 -ZSM-5— Δ ; CH_4 -ZSM-5— \odot

Измерение адсорбционных величин проводилось на высоковакуумной адсорбционной установке, в дифференциальные теплоты адсорб-

ции изучались с применением микрокалориметра типа Тиана—Кальве (французской фирмы «Seteram»). Эксперимент проводился при температуре 29°C.

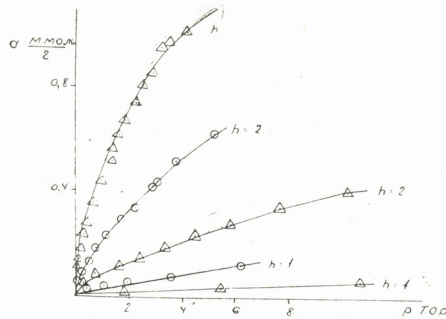


Рис. 2. Дифференциальные теплоты адсорбции систем $\text{CH}_4\text{-ZSM-5}$ — Δ ; $\text{CF}_4\text{-ZSM-5}$ — \circ

При сопоставлении изотерм адсорбции соответствующих метану и метфорану (рис. 1) обнаружено, что адсорбция последнего в довольно широком интервале измеренных значений давлений значительно превосходит адсорбцию метана на цеолите типа ZSM-5. С увеличением давления разность величин адсорбции заметно возрастает. Исходя из значений критических диаметров молекул адсорбатов (CF_4 — 5,33 Å, CH_4 — 4,23 Å) и близости их мольных объемов можно утверждать, что сравнительно высокая адсорбция молекул метфорана на цеолите типа ZSM-5 не обусловлена большей доступностью пор (внутрикристаллической поверхности) цеолита.

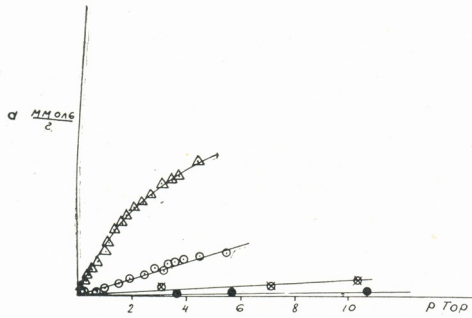


Рис. 3. Изотермы адсорбции систем $\text{CF}_4\text{-ZSM-5}$ — Δ ; $\text{CF}_4\text{-Ca}_2\text{L}$ — \circ ; $\text{CF}_4\text{-KL}$ — \bullet

Приведенные на рис. 2 кривые зависимости $q_a = f(\bar{a})$ показывают, что системе $\text{CF}_4\text{-ZSM-5}$ по всей области заполнения соответствуют значительно более высокие значения дифференциальных теплот адсорбции, чем системе $\text{CH}_4\text{-ZSM-5}$. Форма q_a кривой иллюстрирует сравнительную однородность энергетического рельефа цеолита ZSM-5 по отношению к молекулам метфорана. Кривая q_0 , полученная для мета-

на, резко волнистая. Предполагаемые причины выпуклости последней кривой в области низких и высоких заполнений обсуждались ранее в [4].

На рис. 4 сопоставлены кривые q_a , соответствующие адсорбции метфорана на цеолитах типа L и ZSM-5. Замещение в цеолите типа

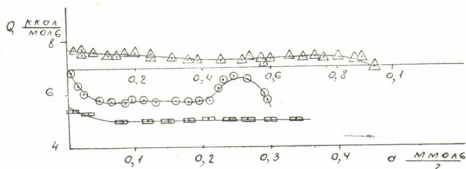


Рис. 4. Дифференциальные теплоты адсорбции систем CF_4 -ZSM-5— Δ ;
 CF_4 - Ca_2L — \odot ; CF_4 -KL— \square

L катионов калия катионами кальция ($r_{K^+} = 1,33 \text{ \AA}$, $r_{Ca^{2+}} = 1,04 \text{ \AA}$) увеличивает эффективный заряд катионных адсорбционных центров. Увеличение локализованного эффективного заряда способствует значительному повышению степени неоднородности энергетического рельефа внутрикристаллической поверхности цеолита. Введение в решетку цеолита катионов с высоким эффективным зарядом вызывает увеличение напряженности электрического поля; исходя из указанного адсорбция при нулевых заполнениях должна протекать на адсорбционных центрах с высоким эффективным зарядом (Ca^{2+}). После заполнения этих центров кривая выходит на плато. При высоких заполнениях появляется резкое «бу горообразное» возвышение кривой q_a . Такое изменение значением q_a в литературе, как известно, приписывается межмолекулярному взаимодействию адсорбата. Резкое проявление этого взаимодействия в случае системы CF_4 -цеолит Ca_2L можно объяснить высокой поляризуемостью молекул метфорана и специфичностью упаковки этих молекул в полостях цеолита типа L.

Приведенный выше экспериментальный материал (изотермы адсорбции и кривые зависимости $q=f(\bar{a})$) показывает, что величины адсорбции и значения дифференциальных теплот адсорбции, полученные для метана и метфоранов, значительно отличаются друг от друга. Повышенное взаимодействие молекул последнего с адсорбционным полем цеолита в основном обусловливается относительно высокой поляризуемостью молекул метфорана ($CF_4\alpha = 10,9$; $\alpha_e = 10,2$; $CH_4\alpha = 2,6$; $\alpha_e = 2,5 \text{ \AA}^3$).

Тбилисский государственный университет

(Поступило 13.3.1986)

ЧИСТОВЫЙ АНОНС

ა. სილაგაძე, ვ. ციცელაშვილი (საქ. სსრ მეცნ. კულტურის აკადემიური),
ზ. სიდამონიძე

მეტალურგიული პროცესების მიკროკალორიმეტრული გამოკვლევა L
და ZSM-5 ტიპის ვერციონები

რეზიუმე

შესწავლითი L და ZSM-5 ტიპის ცერლითებზე მეტფორანის აღსორბა
და აღსორბციის დიფერენციალური სითბოები.



დადგენილია, რომ ZSM-5 ტიპის ცეოლითი ხასიათდება შედარებით მაღალი ადსორბციული მოცულობით, ვიდრე L ტიპის ცეოლითი. მეტფორანის ადსორბციის დიფერენციალური სითბოების მაღალი მნიშვნელობები მეთანთან შედარებით ახსნილია CF_4 -ის მოლეკულის თვისებებიდან გამომდინარე.

PHYSICAL CHEMISTRY

M. D. SILAGADZE, G. V. TSITSISHVILI, Sh. I. SIDAMONIDZE

MICROCALORIMETRIC STUDY OF CF_4 ADSORPTION ON L AND ZSM-5 TYPE ZEOLITES

Summary

The adsorption and adsorption heats of CH_4 and CF_4 on L and ZSM-5 type zeolites have been studied. The adsorption volume and differential heats on ZSM-5 were found to be higher than those on L type zeolites.

The higher adsorption volume and differential heats of adsorption of CF_4 in comparison to those of CH_4 is explained on the basis of CF_4 molecule properties.

ლიტერატურა — REFERENCES

1. J. M. Tedder, A. Nechvatal, A. H. Jubb. Basic Organic Chemistry, 5, 1975, 668.
2. Ш. И. Сидамонидзе, Г. В. Цицишвили, К. М. Марчилашвили. ДАН СССР, 250, № 2, 1980, 399—402.
3. Ш. И. Сидамонидзе, К. М. Марчилашвили, О. Г. Девдариани. Сообщения АН ГССР, 84, № 2, 1976, 406—408.
4. Г. В. Цицишвили, Ш. И. Сидамонидзе, К. М. Марчилашвили. Тез. докл. VII Всесоюз. конф. по калориметрии и химической термодинамике. Иваново, 1979, 299.

ЭЛЕКТРОХИМИЯ

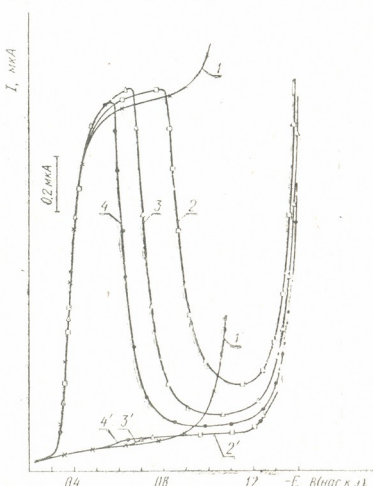
Л. Г. ЕНУКИДЗЕ, Дж. И. ДЖАПАРИДЗЕ, В. В. ШАВГУЛИДЗЕ

ВЛИЯНИЕ ОРИЕНТАЦИИ ТРИБЕНЗИЛАМИНА НА КИНЕТИКУ РАЗРЯДА НЕКОТОРЫХ ИОНОВ ИЗ КИСЛЫХ МЕТАНОЛЬНЫХ И ЭТАНОЛЬНЫХ РАСТВОРОВ

(Представлено академиком Р. И. Агладзе 18.5.1984)

В работах [1, 2] было показано, что изменение ориентации адсорбированных катионов трибензиламмония вызывает резкое изменение степени ингибирования процессов электровосстановления катионов водорода, свинца, кадмия, меди, аниона персульфата, протекающих на ртутном капельном электроде в подкисленных этиленгликолевых (ЭГ) растворах. Ингибиция реакций восстановления вышеуказанных ионов в присутствии трибензиламина (ТрБА) в солянокислых ЭГ растворах обусловлено одной из форм адсорбированного состояния и проявляется после резкой реориентации адсорбированных на поверхности электрода катионов ТрБА из одного состояния в другое, сопровождающееся образованием двумерного конденсированного слоя. В

Рис. 1. Полярограммы восстановления 10^{-3} NPb(NO₃)₂ в метаноле на фоне 0,1 N HNO₃ в присутствии ТрБА (M): 1—0; 2— $1,5 \cdot 10^{-3}$; 3— $7,6 \cdot 10^{-3}$; 4— $3 \cdot 10^{-2}$



связи с тем что изучение электрохимических свойств металлов в нейтральных растворах в присутствии поверхностно-активных веществ имеет как теоретическое, так и практическое значение, в настоящей работе изучен механизм электровосстановления некоторых ионов в кислых метанольных и этанольных растворах, содержащих ТрБА. Методика эксперимента и очистки реагентов дана в работе [3]. Все потенциалы приведены относительно водного насыщенного каломельного электрода без учета диффузионного потенциала на границе фаз. Величина этого потенциала порядка 30 мВ.

На рис. 1 показаны поляризационные кривые разряда ионов свинца из азотокислых метанольных растворов в присутствии ТрБА. Введение в раствор ТрБА в количестве $1,5 \cdot 10^{-3}$ М приводит к появлению спадов силы тока на I, Е-кривых разряда ионов свинца. С увеличением концентрации ТрБА потенциалы спада силы тока смещаются в сторону менее отрицательных значений и одновременно глубина спадов увеличивается. Как видно из рис. 1, с увеличением концентрации ТрБА расширяется область потенциалов его адсорбции в более вертикальном положении и соответственно спады на I, Е-кривых сдвигаются в сторону более положительных потенциалов. Аналогичная картина влияния изменения ориентации ТрБА на процесс восстановления ионов свинца наблюдается и в этанольных растворах. В метаноле, этаноле, как и в ЭГ, переход от одной ориентации к другой имеет резкий характер, что приводит к резким спадам силы тока на I, Е-кривых разряда ионов. При более плоской ориентации даже в концентрированных по ТрБА растворах не наблюдается ингибирования процесса разряда свинца. Плоской ориентации должно способствовать взаимодействие π -электронов ароматических колец с положительно заряженной поверхностью ртути. При этом, по-видимому, имеются благоприятные условия для переноса электрона между электродом и деполяризатором. Переход к более перпендикулярной ориентации, сопровождающийся удалением деполяризатора от поверхности электрода, вероятно, затрудняет перенос электрона, и имеют место спады. Аналогичные резкие спады силы тока отмечаются на I, Е-кривых восстановления ионов кадмия как в метанольных, так и в этанольных растворах.

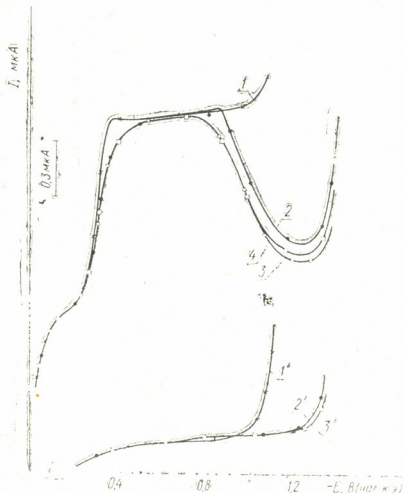
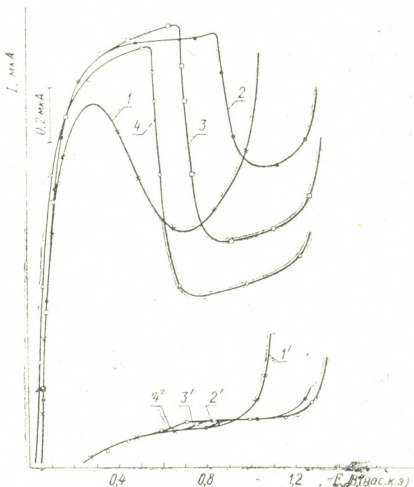


Рис. 2. Полярограммы восстановления 10^{-3} N CuCl_2 в метаноле на фоне $0,1$ N HCl в присутствии ТрБА (М): 1—0; 2—
 10^{-3} ; 3— $2 \cdot 10^{-3}$

На рис. 2 представлены I, Е-кривые восстановления меди из солянокислых метанольных растворов в присутствии ТрБА. При восстановлении меди из солянокислых метанольных растворов образуются две полярографические одноэлектронные волны. Первая характеризует процесс восстановления двухвалентной меди до одновалентной, вторая соответствует восстановлению одновалентной меди. На сульфатном фоне в системе $\text{CuSO}_4 + 0,1$ N H_2SO_4 наблюдается одна двух-

электронная волна. Однако в обоих случаях ингибирующий эффект одинаков. Спады на I,E-кривых доходят до половины диффузионного тока (рис. 2), что говорит о незначительном влиянии катионов ТрБА



на процесс разряда одновалентной меди. Ингибирующий эффект обусловлен торможением на стадии разряда двухвалентной меди до одновалентной. По [4, 5], процесс разряда меди в метаноле протекает ста-

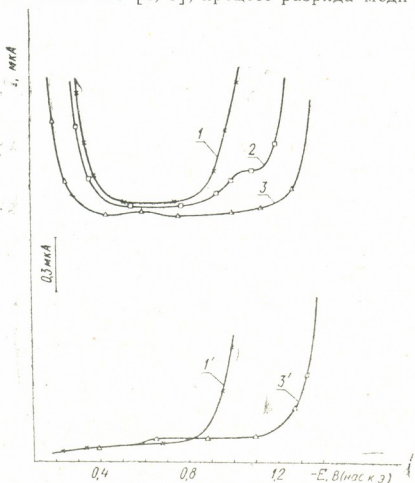


Рис. 4. Полярограммы восстановления 10^{-3} N AgNO_3 в метаноле на фоне $0,1$ N HNO_3 в присутствии ТрБА (M): 1—0; 2— $5 \cdot 10^{-4}$; 3— $5 \cdot 10^{-2}$

дийно, причем механизм процесса на хлоридных и сульфатных фазах одинаков, что находится в хорошем согласии с нашими экспериментальными данными. Аналогичные неглубокие спады выявляются и в



кислых этанольных растворах при разряде меди в присутствии ТрБА. Неглубокие спады имеют место также и на I, E-кривых разряда аниона персульфата в метаноле (рис. 3) и в этаноле, что объясняется уменьшением заряда аниона персульфата в метаноле и в этаноле от —2 до —1 [6]. При электровосстановлении катионов серебра из кислых метанольных и этанольных растворов в присутствии ТрБА спады не наблюдаются (рис. 4), т. е. процесс разряда одновалентного катиона на серебра не ингибируется ТрБА. Процесс разряда аниона персульфата в метаноле и этаноле представляется более сложным: несмотря на то что в объеме метанольного и этанольного растворов анион имеет заряд $n \approx -1$ (NaS_2O_8^-) эффект ингибирования значительный. Это может быть обусловлено тем, что разряд реагирующей частицы MS_2O_8^- является двухэлектронным.

Академия наук Грузинской ССР

Институт неорганической химии
и электрохимии

(Поступило 22.6.1984)

© 1986 Kluwer

Л. Енукидзе, Ж. Джапаридзе, В. Шавгулидзе

Факт о влиянии ориентации трибензиламина на разрядные кинетики некоторых ионов из метанольных и этиловых кислых растворов исследован на ртутной диффузионной ячейке с конденсированной пленкой трибензиламина на ртутном электроде. Оказалось, что разряд аниона персульфата в этиловом растворе ингибируется, в то время как в метанольном — нет. Разряд катионов серебра в этиловом растворе ингибируется, в то время как в метанольном — нет. Разряд аниона персульфата в этиловом растворе ингибируется, в то время как в метанольном — нет.

Рис. 3

На рисунке 3 изображены кривые разряда аниона персульфата в этиловом растворе. Кривые показывают зависимость тока от потенциала. Кривые с конденсированной пленкой трибензиламина (сплошные линии) и без пленки (пунктирные линии) различаются. Кривые с пленкой показывают более низкие токи, что свидетельствует о ингибировании разряда аниона персульфата.

ELECTROCHEMISTRY

L. G. ENUKIDZE, J. I. JAPARIDZE, V. V. SHAVGULIDZE

THE INFLUENCE OF TRIBENZYLAMINE ORIENTATION ON THE DISCHARGE KINETICS OF SOME IONS FROM METHANOL-AND ETHANOL-ACID SOLUTIONS

Summary

The authors have studied the influence of tribenzylamine adsorption on the electroreduction kinetics of lead, cadmium, copper, and silver ions and of persulphate anion from methanol- and ethanol- acid solutions at the mercury dropping electrode. Owing to the formulation of a two-dimensional condensed layer tribenzylamine drastically inhibits the electrode process of the indicated ions in a definite region of potentials.

Литература — REFERENCES

1. В. В. Шавгулидзе, Л. Г. Енукидзе. Сообщения АН ГССР, 90, № 2, 1978, 337.
2. Дж. И. Джапаридзе, Л. Г. Енукидзе, В. В. Шавгулидзе, Ш. С. Джапаридзе. Электрохимия, 16, вып. 4, 1980, 472.
3. В. В. Шавгулидзе, Дж. И. Джапаридзе, Л. Г. Енукидзе. Электрохимия, 15, вып. 3, 1979, 339.
4. Л. А. Янов, А. И. Молодов, В. В. Лосев. Электрохимия, 15, вып. 12, 1978, 1163.
5. Г. Бяллозор, Д. Полэтэк. Электрохимия, 15, вып. 4, 1979, 472.
6. М. Д. Леви, Н. В. Федорович, А. В. Шлепаков. Электрохимия, 12, вып. 12, 1976, 1886.

ХИМИЧЕСКАЯ ТЕХНОЛОГИЯ

Р. И. АГЛАДЗЕ (академик АН ГССР), Н. Т. ГОФМАН,
О. С. САДУНИШВИЛИ, И. Г. ГВАЛИЯ

К ВОПРОСУ УЧЕТА ПОЛУПРОВОДНИКОВЫХ СВОЙСТВ ОКСИДОВ В ПРОИЗВОДСТВЕ ЭДМ-2

Рассмотрение работ по анодным процессам в марганцевых электролитах приводит к мнению, что значение таких характеристик оксидов, образующихся на электродах, как теплопроводность и электропроводимость, в недостаточной мере учитывается при объяснении результатов эксперимента. В этом случае речь идет о полупроводниковых продуктах, электропроводимость которых сильно зависит от температуры, примесей и т. д.

Из работы [1] вытекает, что электрическое сопротивление диоксида марганца приблизительно в 5 раз уменьшается в интервале температур 25—100°C. Эти данные подтверждаются и импедансными измерениями [2]. Изучая анодные процессы при получении диоксида марганца, нельзя ограничиваться учетом только удельного сопротивления получаемого осадка, нужно также учитывать плохую теплопроводность диоксида марганца, а также аналогичные свойства оксидов металлов-основы.

В связи с тем, что в производстве ЭДМ-2 в качестве анодов может использоваться металлический титан, эти доводы рассмотрены на примере оксидов титана.

В работе [3] указывается на резкое увеличение проводимости титановых оксидов с увеличением температуры. Причем нагрев сильнее оказывается на электропроводности оксидов титана, чем на электропроводности диоксида марганца.

Достоверность этих представлений подтверждается данными работы [4], предпринятой с целью попытки уменьшения интенсивности испарения электролита. В этой работе показано, что в условиях поддержания температуры электролита на уровне 80°C с помощью титанового анода-нагревателя титан не только не пассивируется со временем, наблюдается и заметное снижение конечного напряжения.

В этих экспериментах, по сравнению с обычными условиями электролиза (нагрев электролита паром до ~95°C), очевидно, реализуются условия перегрева поверхностных слоев оксидов титана благодаря низкой теплопроводности диоксида марганца.

Для проверки этого предположения в наших экспериментах нагреву подвергался предварительно запассивированный в сернокислом растворе титан до температуры разложения сульфата титана (III)³. Разложение начинается при нагревании на воздухе при температуре около 300°C и заканчивается при 480°C [3].



При нагревании до указанных температур не ожидается других изменений свойств титана, кроме образования оксидов. После предварительного нагрева титан использовался в качестве анода для получения ЭДМ-2 с одновременным поддержанием температуры электрода на уровне $\sim 100^{\circ}\text{C}$.

Поддержание температуры титана на этом уровне обеспечивает его работу в качестве анода при напряжении на ванне 2,7 в (таблица, опыт № 5) т. е. при том же напряжении, при котором работает титан после катодной активации.

Поведение титана в качестве анода (при получении ЭДМ-2)

1. Обработка в растворе: электролит — 100 г/л H_2SO_4 .
2. Испытание титана в качестве анода: электролит — 10 г/л H_2SO_4 ; 100 г/л MnSO_4 ; режим электролиза — $i_a = 1 \text{ A/dm}^2$

№ п/п	Предварительная обработка титана					Испытание титана в качестве анода					Примечание	
	Обработка в растворе			Сухая обработка		Испытание титана в качестве анода						
	$t^{\circ}\text{C}$ раствора	Начальное значение i_a , A/dm^2	Конечное значение i_a , A/dm^2	Катодная плотность тока i_a , A/dm^2	τ , час	Установленное напряжение u , В	$t^{\circ}\text{C}$ электролита	τ , час	Установленное напряжение u , В			
1	25	1,3	0,08	—	1	14,2	—	—	85	1	9,6	Предварительная пассивация
2	25	1,3	0,08	—	1	14,2	250	0,5	85	1	6,0	Прогрев титана после анодной пассивации
3	25	1,0	0,1	—	1	14,2	270	0,5	97	0,5	5,5	"
4	25	1,0	0,1	—	1	14,2	350	0,5	99	0,5	3,0	"
5	25	1,0	0,1	—	1	14,2	400	0,5	99	0,5	2,7	"
6	100	1,2	0,2	—	1	8,4	—	—	97	0,25	7,0	Предварительная анодная пассивация
7	25	—	—	1	1,25	2,5	—	—	85	0,5	2,9	Предварительная катодная активация
8	25	1,0	0,1	—	0,25	10,0	300	0,5	93	0,25	3,7	Изменение напряжения во времени при постепенном снижении $t^{\circ}\text{C}$ без извлечения электрода
									99		3,5	
									84		3,9	
									73		5,0	
									63		7,0	
									53		9,0	
									99		6,5	

В заключение можно отметить, что необходимость поддержания высокой температуры в этой системе определяется главным образом необходимостью поддержания электропроводимости образующихся на электроде оксидов на должном уровне.

Грузинский политехнический институт

им. В. И. Ленина

(Поступило 19.4.1985)

რ. აგლაძე (საქ. სსრ მეცნ. კადემიის ყადემიკოსი), ნ. გოგაშვილი,
ო. სადუნიშვილი, ი. გვალია

ზანგეულთა ნახევარგამზარული თვისების გათვალისწინების
საჭიროებისათვის ელექტროლიტური მანგანუმის ორჟანგის განვითარების ზარიერი

რეზიუმე

ელექტროლიტური მანგანუმის ორჟანგის მიღების პროცესში ელექტრო-
ლიტის მაღალი ტემპერატურა აუცილებელია მასზე არსებული ტიტანისა და
მანგანუმის უანგეულების ელექტროგამტარობის სათანადო დონეზე შენარჩუ-
ნებისათვის.

CHEMICAL TECHNOLOGY

R. I. AGLADZE, N. T. HOFFMANN, O. S. SADUNISHVILI, I. G. GVALIA

TOWARDS THE CONSIDERATION OF SEMICONDUCTOR PROPERTIES OF OXIDES IN THE PRODUCTION OF EMD-2

Summary

The effect of titanium electrode temperature on the process of producing electrolytic manganese dioxide has been studied. The heating of the electrode was found to activate titanium. It is concluded that the necessity of maintaining a high temperature of the electrolyte in the course of producing electrolytic MnO_2 stems from the need of preserving at an appropriate level the electrical conductivity of the titanic and manganese oxides formed on the electrolyte.

ლიტერატურა — ЛИТЕРАТУРА — REFERENCES

1. Г. У. Николайшвили, М. А. Кекелидзе. Сообщения АН ГССР, 57, № 2, 1970, 353—395.
2. Л. З. Задикашвили, Т. А. Березовская, М. Ч. Чанишвили. Сб. «Электрохимия марганца», VI. Тбилиси, 1975, 37—43.
3. Г. П. Лучинский. Химия титана. М., 1971, 472.
4. Г. А. Церетели, Л. Ш. Гониашвили. Тез. докл. II Респ. конф. по электрохимии. Тбилиси, 1982, 137—138.

ГИДРОЛОГИЯ

М. И. ГЕРШКОВИЧ, И. В. ХОМЕРИКИ, З. И. ЦЕРЕТЕЛИ

НЕФОРМАЛЬНЫЕ РЕШЕНИЯ В ИМИТАЦИОННЫХ МОДЕЛЯХ РЕЧНЫХ СИСТЕМ

(Представлено членом-корреспондентом Академии Г. Г. Сванидзе 27.2.1985)

Возможность количественной оценки и эффективного использования водных ресурсов для хозяйственных целей предопределила бурное увлечение приемами математической формализации. Этому обстоятельству способствовали, с одной стороны, успехи вычислительной математики на базе компьютерной техники, а с другой — усложнение систем водопользования повсюду в мире. Успехи методологического характера в построении разного вида моделей очевидны, хотя практическое приложение указанных моделей не всегда бывает столь же эффективными. Все водохозяйственные задачи в конце концов сводятся к принятию рациональных решений. Такие решения в масштабе страны можно получить лишь в динамической связи с общей инфраструктурой. Тут вступают в силу приемы современного системного анализа, без которых решить такую задачу не представляется возможным.

Принятие рациональных решений, которое всегда сопутствовало использованию водных ресурсов, стало употребляться наукой в собственном смысле этого слова, относительно недавно с развитием методов прикладной математики и появлением определенных правил формализации тех или иных задач. С появлением вычислительной техники с ее огромными возможностями связано перерождение теории принятия решений в системный анализ, как в теорию, позволяющую рассматривать альтернативные решения при наличии сложной информации различной физической природы. Как отмечается в работе [1], «какие бы успехи ни делала теория принятия решений с помощью новых современных методов, опирающихся на формализованное описание ситуаций, все еще остаются необходимыми, а подчас и играют решающую роль традиционные приемы анализа, использующие опыт и интуицию, способности человека к ассоциациям и многое другое, что лежит вне математики и пока еще не присуще искусенному интеллекту». Трудно с этим не согласиться.

В этом смысле водохозяйственные исследования не являются исключением. Эвристические приемы и методы неформального подхода присущи проектированию систем водопользования, что однако не противоречит желанию все шире использовать аппарат системного анализа. Можно даже с уверенностью сказать, что институт экспертизы оценок вряд ли утратит свое значение при усложнении систем и глобальном росте водопотребления.

На сегодняшний день еще не существует законченной теории анализа систем водного хозяйства, объединяющей имитационные модели, методы оптимизации, эвристические приемы или прогноз на основе системной динамики. Однако и на уровне имитационных моделей то и дело приходится обращаться к неформальным приемам, например к включению в алгоритм эмпирических выражений, которые, собственно говоря, представляют собой такие же экспертные оценки.

Настоящее сообщение ставит перед собой скромную цель — изложить одну любопытную имитационную модель с использованием неформальных приемов на стадии ее реализации. В основе этой модели



лежит метод группового моделирования хронологических рядов с сезонной изменчивостью [2, 3]. При его разработке был обобщен опыт, накопленный нами при групповом моделировании стационарных рядов (таких как среднегодовые расходы), с одной стороны, и при индивидуальном моделировании гидрологических рядов с учетом внутригодового распределения, с другой.

Вкратце суть этого метода заключается в следующем. Пусть рассматривается N рядов наблюдений за T лет, причем каждый год разбит на M интервалов: $Q_{ni}; n = 1, \dots, N; i = 1, \dots, TM$. По номеру i в едином хронологическом ряду легко определить m — номер интервала: $m = (i - 1) \pmod M + 1$. Для каждого фиксированного n ряд Q_{ni} может быть расщеплен на M рядов каждый длительностью T . Так, скажем, если интервалы представляют собой месяцы, то можно изучать ряд январей первой реки, ряд февралей первой реки и т. д. Для каждого фиксированного n и m ряд Q_{nmt} считается распределенным по S_B Джонсона с границами A_{nm} и B_{nm} . Тогда можно нормализовать ряды Q_{nmt} :

$$X_{nmt} = \ln \left(\frac{Q_{nmt} - A_{nm}}{B_{nm} - Q_{nmt}} \right),$$

ряды X_{nmt} отцентрировать и вновь расположить в хронологическом порядке: $X_{ni}, i = 1, \dots, MT$.

Будем считать значения X_{ni} зависящими от K предыдущих значений того же ряда и от синхронных значений остальных рядов. Тогда, представив X_{ni} в виде

$$X_{ni} = \sum_{k=1}^K a_{nmk} X_{n, i-k} + \sum_{j=1}^{n-1} b_{nmj} X_{ji} + \sigma_{nm} \xi_{ni},$$

где a_{nmk} — коэффициенты авторегрессии, b_{nmj} — коэффициенты регрессии, получаем, что для моделирования нескольких сезонно меняющихся рядов необходимо оценить коэффициенты a_{nmk} и b_{nmj} , а также дисперсию шума σ_{nm}^2 .

Оценить значения a_{nmk} и b_{nmj} можно исходя из требования минимизировать квадратичное отклонение X_{ni} от его линейного прогноза:

$$\sum_n \sum_i \left[X_{ni} - \left(\sum_{k=1}^K a_{nmk} X_{n, i-k} + \sum_{j=1}^{n-1} b_{nmj} X_{ji} \right) \right]^2 \rightarrow \min.$$

Если приравнить производные этого выражения по a_{nmk} и b_{nmj} нулю, то получившиеся условия разделятся на NM систем линейных уравнений, число неизвестных в которых варьируется от k до $k + N - 1$. Решая эти системы, определяем коэффициенты авторегрессии и регрессии, а затем и σ_{nm}^2 . Этих данных достаточно, чтобы моделировать ряды X_{nmt} , а затем перейти к значениям Q по формуле

$$Q_{nmt} = \frac{B_{nm} \exp(X_{nmt} + C_{nm}) + A_{nm}}{\exp(X_{nmt} + C_{nm}) + 1},$$

где

$$C_{nm} = \frac{1}{T} \sum_T \ln \left(\frac{Q_{nmt} - A_{nm}}{B_{nm} - Q_{nmt}} \right).$$

Казалось бы такая модель весьма жестко формализована и не оставляет места для принятия неформальных решений. Однако это не

совсем так. Взять хотя бы такой вопрос, как назначение учитываемой длины связности K . Выбор этой величины определяется исследователем на основе соображений, не поддающихся формализации. Здесь надо соизмерить выигрыш в снижении дисперсии, определяемой числом учитываемых членов, со снижением точности, возникающей в результате вынужденного укорочения рядов, с возрастанием объема расчетов и т. д.

Более того, еще на предварительном этапе определения параметров распределения приходится прибегать к неформальным решениям. Действительно, как известно, из четырех параметров распределения S_B Джонсона выбор двух из них — границ распределения A и B — ведет к формализованному определению двух других параметров. Есть различные методы, чтобы осуществить выбор границ. Мы в своей практике пользовались тремя методами: перебором, обратным и прямым методами Монте-Карло [2]. Для отбора оптимальной пары границ применяются различные критерии оптимальности. Для того чтобы остановить свой выбор на каком-либо методе поиска и на каком-либо критерии, исследователю приходится полагаться на накопленный опыт, знания, интуицию и суждения о степени соответствия предполагаемых результатов целям ставящейся задачи. Даже в таком, казалось бы, объективном методе, как прямой перебор, возможны весьма существенные вариации, зависящие от воли исследователя, в таких вопросах, как густота сетки, закон изменений градаций, допущение возможности знакопеременности границ и т. д.

Последний предложенный нами метод учитывает достоинства и недостатки предыдущих разработок. При сохранении общего принципа поиска введены и усовершенствования. Например, если раньше при нахождении вершинной точки расчет заканчивался, теперь проверяется, не лежит ли она на хребте диагонального направления.

Существенно изменен критерий оценки качества каждой пары A и B . Если раньше критерием служили среднеквадратическое расхождение, взятое вдоль оси абсцисс, между теоретической и экспериментальной кривыми или же статистические параметры преобразованного ряда, то теперь с теоретической кривой снимаются достаточно частые квантили и сопоставляются статистические параметры квантильного и исходного рядов.

Приведем доводы в пользу такого критерия. Поскольку окончательное суждение о качестве моделирования выносится именно на основании степени совпадения статистических параметров исходного и смоделированного рядов, то методологически правильно позаботиться о том, чтобы еще на таких ранних этапах анализа, как оценка границ распределения, не вносились бы искажения, которые будут впоследствии мешать хорошему совпадению параметров. По существу, построение квантильного ряда — это мини-моделирование, а еще точнее — это модель будущего моделирования, конечно, без учета хронологической последовательности и вообще временных связей. Поскольку мы ставим целью не отвлеченную теоретическую задачу отыскания параметров распределения, а практическую задачу — использования их для моделирования, то разумно с самого начала так построить исследование, чтобы оно в наибольшей степени отвечало поставленной цели.

Все высказанное относится к активу водохозяйственного баланса — речному стоку. На основе изложенной модели можно довольно хорошо имитировать гидрологический режим речной системы с учетом внутригодового распределения отдельных рек. Такая модель особенно хороша при существенных корреляционных связях между отдельными рядами (или фазовооднородными величинами этих рядов), а также значительности автокорреляционных функций процессов. Количество



моделируемых рядов и число учитываемых звеньев корреляционной связи практически не ограничиваются моделью [3—5].

Грузинский НИИ энергетики
и гидротехнических сооружений

(Поступило 28.2.1985)

პიდალობის

ა. გერშკოვიჩი, ი. ხომერიკი, ზ. ცერეთელი

არაფორმალური გადაწყვეტანი მდინარეთა სისტემის იმიტაციურ
მოდელები

რეზიუმე

ნაშრომის მიზანია უურადღება გამახვილოს არაფორმალური ხერხების
მოშველიებაზე იმიტაციური მოდელების შექმნის დროს. ავტორები, ეყრდნო-
ბიან რა მდინარეთა სისტემის მოდელირების საკუთარ გამოცდილებას, კერ-
ძოდ, სეზონური ცვალებადობის ქრონოლოგიური რიგების ჯგუფური მოდე-
ლირების მეთოდს, აჩვენებენ თუ როგორ შეიძლება მათემატიკური ფორმა-
ლიზაციის არაფორმალურ მეთოდებთან შერწყმით ეფექტური და რაციონა-
ლური გადაწყვეტილების მიღება.

HYDROLOGY

M. I. GERSHKOVICH, I. V. KHOMEIRIKI, Z. I. TSERETELI .

INFORMAL SOLUTIONS IN RIVER-SYSTEM SIMULATION MODELS

Summary

The purpose of the paper is to draw attention to the role and significance of informal approaches in creating simulation models. Based on their experience in river-system model creation, particularly by the method of multidimensional simulation of chronological series with seasonal variation, the authors show how informal methods, combined with formalization, help to find rational solutions effectively.

ლიტერატურა — ЛИТЕРАТУРА — REFERENCES

1. Н. Н. Моисеев. Математические методы системного анализа. М., 1981, 487.
2. Г. Г. Сванидзе. Математическое моделирование гидрологических рядов. Л., 1977.
3. И. Церетели, Р. Я. Читашвили. Сообщения АН ГССР, 71, № 3, 1973, 677—680.
4. М. И. Гершкович, М. Ш. Каухнишвили и др. Сб. «Исследования по вопросам энергетического строительства в горных условиях». М., 1981, 26—31.
5. И. В. Хомерики. Сб. «Оптимальное использование водных ресурсов», т. II. Варна, 1983, 244—256.

ГЕОЛОГИЯ

М. Ш. ЧУБИНИДЗЕ

ЗОНАЛЬНАЯ СТРАТИГРАФИЯ ПАЛЕОЦЕНОВЫХ ОТЛОЖЕНИЙ
АДЛЕРСКОЙ ДЕПРЕССИИ ПО ПЛАНКТОННЫМ
ФОРАМИНИФЕРАМ

(Представлено академиком А. Л. Цагарели 18.6.1985)

Палеоценовые и смежные с ними отложения Адлерской депрессии и содержащиеся в них органические остатки часто привлекали внимание исследователей. Существенные данные по этому вопросу содержатся в работах [1—8]. Следует отметить, что наименее изученными оставались вопросы, касающиеся зонального расчленения палеоцена. Породы, слагающие этот отдел палеогеновой системы, практически лишены остатков ископаемых крупных организмов (за исключением датского яруса), пригодных для биостратиграфии. Поэтому особого внимания заслуживают представители мелких фораминифер, изучение которых позволило выделить здесь зональные комплексы. Результаты исследования планктонных фораминифер представляют значительный интерес и с точки зрения корреляции палеоценовых биостратиграфических подразделений Адлерской депрессии с таковыми в других регионах Кавказа.

В рассматриваемом структурно-фауниальном районе палеоцен представлен мергелями, известковистыми мергелями и в меньшей степени известняками и глинистыми известняками. Они хорошо разделяются на отдельные литостратиграфические единицы [8].

На известняки маастрихта с *Echinocorys ovatus* Lesk., *Ech. heberti* Seun., *Ech. douvillei* Seun. [6] и плохо сохранившимся представителями рода *Globotruncana* без видимого несогласия налегают накадульские слои — зеленовато-серые и светло-серые тонкослоистые известняки, глинистые известняки и известковистые мергели (мощность до 1,0 м). Здесь встречаются: *Echinocorys renngarteni* Moskv., *Ech. pyrenaicus* Seun., *Ech. edhewi* Böhm., *Ech. cf. conicus* Agg., *Ech. conoideus* (Goldf), *Ech. ovatus* Lesk., *Homoeaster abichi* Anth., *Ornithaster munieri* Seun.

Выше залегают ачмардинские слои — красновато-серые известковистые мергели и мергели (мощность 0,9—2,0 м) с *Echinocorys edhemi* Böhm., *Ech. renngarteni* Mosk., *Homoeaster abichi* Anth., *Ornithaster munieri* Seun. Перечисленные морские ежи определяют возраст вмещающих слаев как датский ярус.

Стратиграфически выше прослеживается жеопсинская свита, представленная зеленовато-серыми мергелями и известковистыми мергелями (мощность до 35—40 м). В ее нижней части выделяется пачка с отложениями, окрашенными в розовато-серый и зеленовато-серый цвета (мощность 2,0—5,0 м).

Жеопсинская свита местами постепенно, местами же довольно резко сменяется образованиями лаптинской свиты — зеленовато-серыми, серыми, розовато-серыми и розовыми мергелями. В нижней части свиты иногда присутствуют прослой глинистых известняков и известняков (мощность свиты 50—80 м).



Перечисленные литостратиграфические единицы пользуются довольно широким распространением на всей территории Адлерской депрессии. Они слагают почти все развитые здесь складки. Нами проведены послойные описания разрезов этих подразделений и изучение систематического состава особенностей развития содержащихся в них планктонных фораминифер. Полученные новые данные позволили выделить в палеоценовых (включая датский ярус) образованиях микрофаунистические зоны.

Зона *Globorotalia pseudobulloides* залегает над маастрихтскими известняками с глоботрунканами. Она устанавливается в накадульских и ачмардинских слоях, а также в самой нижней части жеопсинской свиты. Зона прослеживается по рр. Мехадыр, Жеопсе, Большая Хоста. Здесь встречаются: *Globorotalia pseudobulloides* (Plumm.) *G. compressa* (Plumm.) *G. planocompressa* Schütz., *G. quasimembranacea* Katscharava, *Globigerina taurica* Moroz., *G. fringa* Subb., *G. pseudotriloba* White *G. varianta* Subb. *G. microcellulosa* Moroz., *G. triloculinoides* Plumm., *G. trivialis* Subb. *Globoconusa daubgjergensis* (Bronn.) и др. По комплексу фораминифер эта зона, по видимому, отвечает зоне *Globigerina taurica* Северного Кавказа [9].

Зона *Acarinina inconstans* выделяется в мергелях нижней части жеопсинской свиты, развитых по рр. Мехадыр, Жеопсе, Большая Хоста, в окрестностях сс. Михельриш, Багнари, Ермоловка. Здесь определены следующие характерные для зоны планктонные фораминиферы: *Acarinina inconstans* (Subb.), *A. trinidadensis* (Bolli), *Globorotalia uncinata* (Bolli), *G. pseudobulloides* (Plumm.), *G. compressa* (Plumm.), *Globigerina spiralis* Bolli, *G. triloculinoides* Plumm., *G. pseudotriloba* White, *G. quadrata* White, *G. varianta* Subb., *G. edita* Subb. и др. Зона соответствует одноименной зоне Северного Кавказа [9].

В зоне *Globorotalia angulata*, наряду с индекс-видом, встречаются: *Globorotalia ehrenbergi* Bolli, *G. pseudomenardii* Bolli, *G. pseudobulloides* Plumm., *Globigerina triloculinoides* Plumm., *G. trivialis* Subb., *G. Varianta* Subb., *G. quadrata* White и др. Зона устанавливается в нижней части жеопсинской свиты. Она соответствует зоне *Globorotalia angulata*, выделенной в разрезах Северного Кавказа [9].

Зона *Globorotalia conicotruncata* с планктонными фораминиферами *Globorotalia conicotruncata* Subb., *G. ehrenbergi* Bolli, *G. pseudomenardii* Bolli, *G. pusilla* pussila Bolli, *Acarinina praepentacamerata* Schütz., *Globigerina trivialis* Subb., *G. varianta* Subb. и др. выделяется в средней части жеопсинской свиты. Она прослеживается по р.р. Мехадыр, Жеопсе, Большая Хоста, в окрестностях сс. Михельриш, Багнари. Аналогом ее на Северном Кавказе является зона *Globorotalia conicotruncata* [9].

В зоне *Globorotalia pseudomenardii* индекс-вид сопровождается следующими формами: *Acarinina subsphaerica* Subb., *Globigerina velascoensis* Cusht., *G. nana* Chal., *G. pileata* Chal., *G. quadririloculinoides* Chal., *G. crassa* Schütz и др. Зона охватывает верхнюю часть жеопсинской свиты и самые низы лаптинской свиты.

Зона *Acarinina acarinata* устанавливается в нижней части лаптинской свиты. Она представлена следующими формами: *Acarinina acarinata* Subb., *A. intermedia* Subb., *Globigerina velascoensis* Cusht., *G. nana* Chal., *G. pileata*

Chal., *Globorotalia velascoensis* Cushm., *G. velascoensis acuta* Toul. Комплекс фораминифер ее мало отличается от комплекса зоны *Acarinina acarinata* Северного Кавказа [9, 10].

Стратиграфически выше, в средней части лаптинской свиты встречаются планктонные фораминиферы зоны *Globorotalia subbotinae* нижнего эоцена.

Академия наук Грузинской ССР

Геологический институт

им. А. И. Джанелидзе

(Поступило 22.6.1985)

გეოლოგია

ა. ჩუბინიძე

ადლერის დეპრესიის პალეოცენური ნალექების ზონალური
სტრატიგრაფია პლანკტონური ფორამინიფერების
მიხედვით

რეზიუმე

პლანკტონური ფორამინიფერების დეტალური შესწავლის საფუძველზე
ადლერის დეპრესიის პალეოცენურ ნალექებში გამოყოფილია შემდეგი ზონები:
Globorotalia pseudobulloides, *Acarinina inconstans*, *Globorotalia angulata*,
Globorotalia conicotruncata, *Globorotalia pseudomenardii*, *Acarinina acarinata*. ჩამოთვლილი ზონები დაკავშირებულია ჩრდილო კავკასიის პა-
ლეოცენურ ნალექებში დაღვენილ ზონებთან.

GEOLOGY

M. Sh. CHUBINIDZE

ZONAL STRATIGRAPHY OF THE PALEOCENE DEPOSITS OF THE ADLER DEPRESSION ON THE BASIS OF PLANKTONIC FORAMINIFERA

Summary

On the basis of a detailed study of planktonic foraminifera, the following zones have been distinguished in the Paleocene deposits of the Adler depression: *Globorotalia pseudobulloides*, *Acarinina inconstans*, *Globorotalia angulata*, *Globorotalia conicotruncata*, *Globorotalia pseudomenardii*, *Acarinina acarinata*. The given zones are related to the established zones in the Paleocene deposits of the Northern Caucasus.

ლიტერატურა — ЛИТЕРАТУРА — REFERENCES

1. М. С. Швецов. БМОИП, отд. геол., т. X (2), 1932.
2. А. Л. Козлов. Черноморское побережье в районе Сочи и низовья р. Мзымы. МГК, XVII сессия. Экскурсия по Кавказу, Черноморское побережье. Л., 1937.



3. А. Л. Козлов. Маршрут Пыленково-Чвежинисе (Красная Поляна). XVII сессия, Экскурсия по Кавказу, Главный хребет-заповедник. Л., 1937.
4. Б. М. Келлер, В. В. Мениер. БМОИП, т. XX (1, 2), 1945.
5. Б. М. Келлер. Труды ИГН АН СССР, вып. 48, 1947.
6. Н. Ш. Салуквадзе, Р. А. Гамбашидзе. Сообщения АН ГССР, 66, № 1, 1972.
7. Н. Ш. Салуквадзе. Вопросы геологии северо-западной части Абхазии. Тбилиси, 1972.
8. Н. Ш. Салуквадзе. Стратиграфия и палеонтология палеогена Грузии. Тбилиси, 1985.
9. В. А. Крашенников, Н. Г. Музылев. Вопр. микропалеонт., вып. 18, 1975.
10. Е. К. Шупская. Труды ВНИГНИ, XX. М., 1970.

К. И. ГВИНЕРИЯ, Т. П. КОЧАДЗЕ, В. В. НЕМЦОВ

МЕТОД РАСЧЕТА ДИНАМИЧЕСКИХ НАГРУЗОК В СИСТЕМЕ
ПОДРЕССОРЫВАНИЯ С/Х АВТОМОБИЛЯ ТИПА 4×4
НА РЕЖИМЕ ТОРМОЖЕНИЯ

(Представлено академиком Р. Р. Двали 25.7.1984)

Работа систем подрессоривания сельскохозяйственных автомобилей по сравнению с автомобилями общего назначения характеризуется повышенными нагрузочными режимами, например, при резком трогании с места в тяжелых дорожных условиях и при торможении автомобиля, когда рессоры подвергаются воздействию большого скручивающего момента в продольной плоскости. В этой связи задача накопления расчетных и экспериментальных данных по уровню динамических нагрузок автомобилей для сельского хозяйства является весьма актуальной.

Существующие до сих пор способы уменьшения нагруженности рессор от скручивающего момента основываются на отдельных экспериментальных данных и не могут быть обобщены по всем типам

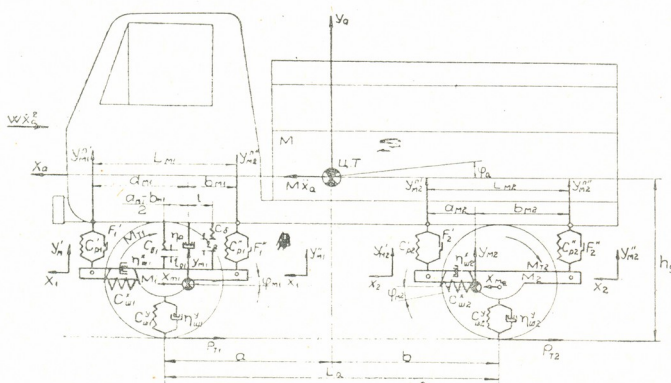


Рис. 1. Расчетная динамическая схема автомобиля 4×4

рессорных подвесок, а тем более не могут быть применены для вновь проектируемых автомобилей.

В предлагаемой работе приведена математическая модель с/х автомобиля 4×4 на режиме торможения, расчетная схема которой представлена на рис. 1. Приняты следующие обозначения:



M, M_1, M_2 —подрессоренная и неподрессоренные массы соответственно переднего и заднего мостов;

J_a, J_{m1}, J_{m2} —моменты инерции соответственно подрессорной и передних и задних неподрессоренных масс при продольно угловых колебаниях вокруг центров тяжести;

$C'_{P1}, C''_{P1}, C'_{P2}, C''_{P2}$ —вертикальные жесткости соответственно передней и задней частей передних и задних рессор;

C_6, C_{61} —вертикальные жесткости дополнительного и центрального буферов;

$C_{\text{ш}1}^x, C_{\text{ш}2}^x, C_{\text{ш}1}^y, C_{\text{ш}2}^y$ —продольные и вертикальные жесткости передних и задних шин;

$\eta_a, \eta_{\text{ш}1}^x, \eta_{\text{ш}2}^x, \eta_{\text{ш}1}^y, \eta_{\text{ш}2}^y$ —коэффициенты демпфирования амортизатора, шин в продольном и вертикальном направлениях;

F'_1, F''_1, F'_2, F''_2 —силы сухого трения передних и задних частей передней и задней рессоры;

M_{T1}, M_{T2} —тормозные моменты на передних и задних колесах;

$W \dot{X}_a^2$ —сила сопротивления воздуха.

Остальные обозначения ясны из расчетной схемы.

Система дифференциальных уравнений второго порядка, описывающая динамику торможения автомобиля типа 4×4 , была составлена на основании уравнения Лагранжа 2-го рода [1]. Система имеет следующий вид:

$$1. M \ddot{X}_a + P_{\text{ш}1}^x + P_{\text{ш}2}^x + W \dot{X}_a^2 = 0;$$

$$2. M \ddot{Y}_a + P'_{P1} + P''_{P1} + P_6 + P_{61} + P'_{P2} + P''_{P2} + P_a = 0;$$

$$3. J_a \ddot{\Phi}_a - P'_{P1} a_1 - P''_{P1} a_2 - P_a a_4 - P_6 a_6 - P_{61} a_{61} + \\ + P'_{P2} b_1 + P''_{P2} b_2 - P_{\text{ш}1}^x h_1 - P_{\text{ш}2}^x h_2 = 0;$$

$$4. M_1 \ddot{Y}_{m1} - P'_{P1} - P''_{P1} - P_a - P_6 - P_{61} + P_{\text{ш}1}^y = 0;$$

$$5. J_{m1} \ddot{\Phi}_{m1} + P'_{P1} a_{m1} + P_{61} a_3 - P''_{P1} b_{m1} - P_6 l - \\ - P_{\text{ш}1}^y a_3 - P_{T1} r_{k1} - P_{f1} r_{k1} = 0;$$

$$6. M_2 \ddot{Y}_{m2} - P'_{P2} - P''_{P2} - P_{\text{ш}2}^y = 0;$$

$$7. J_{m2} \ddot{\Phi}_{m2} + P_{P2} a_{m2} - P''_{P2} b_{m2} + P_{\text{ш}2}^y b_3 - P_{T2} r_{k2} - P_{f2} r_{k2} = 0;$$

$$8. M_1 \ddot{X}_{m1} - P_{\text{ш}1}^x - P_{T1} - P_{f1} = 0;$$

$$9. M_2 \ddot{X}_{m2} - P_{\text{ш}2}^x - P_{T2} - P_{f2} = 0;$$

где

$X_a, Y_a, \Phi_a, Y_{m1}, Y_{m2}, \Phi_{m1}, \Phi_{m2}, X_{m1}, X_{m2}$ —

—обобщенные координаты угловых и линейных перемещений соответствующих масс и моментов инерций;

$P_{\text{ш}_i}^x$ — продольные усилия в шинах i -го моста,

$$P_{\text{ш}_i}^x = C_{\text{ш}_i}^x [X_a - (h_g - r_{\text{ш}_i}) \Phi_a - X_{m_i}],$$

$P'_{P_1}, P''_{P_1}, P'_{P_2}, P''_{P_2}$ — вертикальные усилия в передних и задних частях передней и задней рессор,

$$P'_{P_1} = C'_{P_1} (Y_a - a_1 \Phi_a - Y_{m_1} + a_{m_1} \Phi_{m_1});$$

$$P''_{P_1} = C''_{P_1} (Y_a - a_2 \Phi_a - Y_{m_1} - b_{m_1} \Phi_{m_1});$$

$$P'_{P_2} = C'_{P_2} (Y_a + b_1 \Phi_a - Y_{m_2} + a_{m_2} \Phi_{m_2});$$

$$P''_{P_2} = C''_{P_2} (Y_a + b_2 \Phi_a - Y_{m_2} - b_{m_2} \Phi_{m_2}).$$

$P_{\text{ш}_1}^y, P_{\text{ш}_2}^y$ — вертикальные усилия в шинах

$$P_{\text{ш}_1}^y = C_{\text{ш}_1}^y (Y_{m_1} - a_3 \Phi_{m_1});$$

$$P_{\text{ш}_2}^y = C_{\text{ш}_2}^y (Y_{m_2} + b_3 \Phi_{m_2}).$$

P_{61}, P_6 — вертикальные усилия в центральном и дополнительном буферах,

$$P_{61} = C_{61} (Y_a - a_4 \Phi_a - Y_{m_1} + a_3 \Phi_{m_1} - l_{01});$$

$$P_6 = C_6 (Y_a - a_5 \Phi_a - Y_{m_1} - l_{\Phi_{m_1}} - l_0).$$

Возмущающим воздействием на динамическую систему являются тормозные моменты M_{T1} и M_{T2} , аналитическое выражение которых записывается формулой

$$M_{T_i} = \begin{cases} K_i t, & \text{при } t < T_{\text{пп}} \\ K_i T_{\text{пп}}, & \text{при } t \geq T_{\text{пп}}, \end{cases} \quad (2)$$

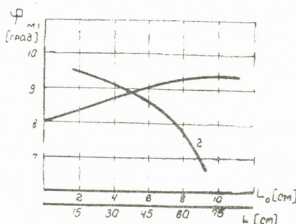
где

K_i — коэффициент пропорциональности, характеризующий темп нарастания тормозных моментов.

$T_{\text{пп}}$ — время срабатывания привода тормозных механизмов.

Программа расчета динамических нагрузок в системе подпрессоривания была разработана на языке ФОРТРАН-4 для ЭЦВМ типа ЕС. Численное интегрирование системы дифференциальных уравнений (1) проведено методом Рунге—Кутта IV порядка [2].

Рис. 2. Влияние расположения дополнительного резинового буфера на угол поворота переднего моста



К примеру на рис. 2 представлены результаты расчетных исследований процесса торможения сельскохозяйственного автомобиля на горизонтальном участке дороги, где возможно реализовать максималь-



ные тормозные усилия без скольжения колес. Кривая (1) характеризует изменение угла поворота переднего моста в продольной плоскости в зависимости от высоты расположения дополнительного резинового буфера, а кривая (2) — в зависимости от расстояния между центрами рессор и буфера.

Таким образом, разработанная математическая модель динамики автомобиля типа 4×4 позволяет еще на стадии проектирования определять динамические нагрузки в системе подпрессоривания при резких продольных воздействиях и получать конкретные рекомендации по снижению этих нагрузок, что способствует повышению надежности сельскохозяйственных автомобилей.

Кутаисский политехнический
институт

Центральный научно-
исследовательский автомобильный
и автомоторный институт (НАМИ)
Москва

(Поступило 5.9.1984)

ანგლიურული დანართების გაცემის მომენტი

ქ. ლვისი, თ. კოჩაძე, ვ. ნემცოვი

დინამიკური დატვირთვების გაცემის მომენტი 4×4 ტიპის
სასოფლო-სამეურნო ავტომობილის დატვირთვების სისტემაზე
დამუხრუვების რიზიმზი

რეზოუ მე

მოყვანილია ავტომობილის დამუხრუვების მათემატიკური მოდელი და
ამ მოდელის ელექტრონულ-გამომთვლელ მაქანიზმის შედეგები. გან-
ხილულია დამატებითი რეზინის სვლის შემზღვდველის განლაგების გავლენა
წინა ხიდის გრძივ სიბრტყეში მობრუნების კუთხის სიდიდეზე.

MACHINE BUILDING SCIENCE

K. I. GVINERIA, T. P. KOCHADZE, V. V. NEMTSOV

A MATHEMATICAL METHOD OF DIGITAL SIMULATION OF SUSPENSION DYNAMICS OF 4×4 AGRICULTURAL TRUCK WITH RESPECT TO BRAKING

Summary

A mathematical method and the results of digital simulation of vehicle braking dynamics are presented. The influence of the location of an additional rubber arrester on the front axle angle of rotation is studied.

ლიტერატურა — ЛИТЕРАТУРА — REFERENCES

1. С. И. Кондрашкин, С. П. Контанистов, В. М. Семенов. Автомобильная промышленность, № 7, 1979.
2. Математическое обеспечение ЕС-ЭВМ, вып. 2. Минск, 1973.

Г. К. ДЖАПАРИДЗЕ

ЭКСПЕРИМЕНТАЛЬНОЕ ОПРЕДЕЛЕНИЕ УСИЛИЙ В РАБОЧЕЙ ЗОНЕ НАГРУЗОЧНОГО УСТРОЙСТВА ДЛЯ ИСПЫТАНИЯ ТОКАРНЫХ СТАНКОВ БЕЗ СНЯТИЯ СТРУЖКИ

(Представлено академиком Д. С. Тавхелидзе 3.9.1984)

Составляющие усилий в рабочей зоне нагружочного устройства [1—3] экспериментально определялись на стенде, схема которого показана на рис. 1. Опытный образец нагружочного устройства (НУ) был установлен на токарно-винторезном станке мод. ИМ63Б. Резцодержатель заменен универсальным динамометром I (УДМ-1200), к которому присоединены усилитель 2 (ТА-5) и приборный щит 3 (четырехканальный миллиамперметр), регистрирующий все три составляющие суммарного усилия, действующей на оправке 4 (оправка установлена в динамометре). Вал 5 нагружочного устройства 6 зажимается в центрах станка. На рычаг 7 НУ подвешен груз 8, изменением веса которого достигается регулирование нагрузки на оправке.

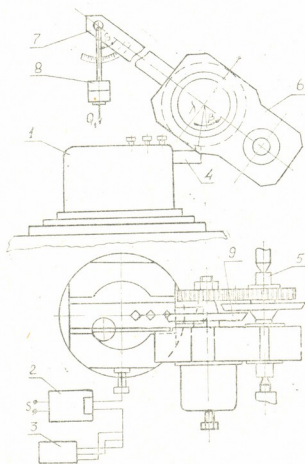


Рис. 1

Зависимость между силой, действующей на рычаг и составляющими суммарного усилия на оправке P_x , P_y и P_z носит линейный характер [3], поэтому с целью удобного планирования эксперимента были определены коэффициенты нагрузок, которые выражаются по формулам

$$K_x = \frac{P_x}{Q_1} = \frac{L}{a \sin(\beta + \lambda) - f_1 r_1 u} \sin \alpha;$$

$$K_y = \frac{P_y}{Q_1} = \frac{L}{a \sin(\beta + \lambda) - f_1 r_1 u} (\sin \lambda \cdot \cos \alpha + f_1 \cos \lambda), \quad (1)$$

$$K_z = \frac{P_z}{Q_1} = \frac{L}{a \sin(\beta + \lambda) - f_1 r_1 u} (\cos \alpha \cdot \cos \lambda - f_1 \sin \lambda).$$

Геометрически параметры ($L=86$ см; $a=12,5$ см, $r=7,3$ см и $u=1$) и коэффициент трения f_1 для данного эксперимента принимаются постоянными. Соотношения же между K_x , K_y , K_z меняются в зависимости от углов α , β и λ . Как показали многочисленные эксперименты, наиболее стабильные значения этих коэффициентов в первую очередь зависят от материалов трущихся поверхностей передней части оправки и сателлитным диском. С этой целью передняя часть оправки выполнена из бронзы (Бр-010Ф1), а сателлитный диск из ст. 40. До экспериментов трущиеся поверхности тщательно зачищались и шлифовались и между этими поверхностями вводили смазочный слой.

С целью определения влияния углов α , β и λ на коэффициентах

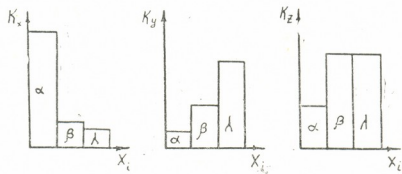


Рис. 2

нагрузки результаты экспериментов подвергались обработке с использованием методов математической статистики и теории планирования эксперимента [4, 5]. Исходя из вышесказанного, зависимыми переменными являются K_x , K_y и K_z а независимыми α , β и λ , поэтому использовали трехфакторный эксперимент. В табл. 1 приведены уровни факторов и интервалы варьирования.

Таблица 1

Уровни факторов	Обозначение	α°	β°	λ°
Верхний	+	20°	56°	19°
Нижний	-	13°	46°	14°

План эксперимента записан в табл. 2, в соответствии с которой определяются зависимые переменные. Проведены по восемь опытов, разными дублированиями в каждой. Поэтому использован полный факторный эксперимент 2^3 с неравномерным дублированием опытов.

Математическую модель выбранного плана строим в виде

$$y^* = b_0 + \sum_{i=1}^N b_i x_i^*. \quad (2)$$

Для статистического анализа модели были рассчитаны дисперсии опытов и коэффициенты регрессии, проверена адекватность модели.

При расчете дисперсий для каждого опыта определена построчная, а затем средняя дисперсия. Проверяя по критерию Батлетта, установили однородность ряда построчных дисперсий.

Поскольку опыты дублировались неравномерно, для расчета коэффициентов регрессии использовались формулы

$$B_x = (x^T p x)^{-1} (x^T p \bar{K}_x);$$

$$B_y = (x^T p x)^{-1} (x^T p \bar{K}_y); \quad (3)$$

$$B_z = (x^T p x)^{-1} (x^T p \bar{K}_z).$$

По методике [4] рассчитали матрицу

$$x^T p x = \begin{vmatrix} 23 & -1 & 1 & -3 \\ -1 & 23 & 5 & 1 \\ 1 & 5 & 23 & -1 \\ -3 & 1 & -1 & 23 \end{vmatrix}$$

Обратную матрицу последнего определили на ЭВМ

Таблица 2

№ опыта	№ дубл.	Кодовый масштаб			Натуральный масштаб			Коэффициенты нагрузок					
		x_1^*	x_2^*	x_3^*	X_1^* (α°)	X_2^* (β°)	X_3^* (λ°)	K_x		K_y		K_z	
								K_{x_u}	\bar{K}_x	K_{y_u}	\bar{K}_y	K_{z_u}	K_z
1	1	+	+	+	20	56	19	2,77	3,24	3,39	3,36	6,49	6,56
	2	+	+	+				2,64	2,66	3,45		6,73	
	3							2,57				6,46	
2	1	-	+	+	13	56	19	1,78	1,74	3,49	3,41	6,75	6,82
	2							1,7		3,32		6,89	
3	1	+	-	+	20	46	19	2,9	2,82	3,48	3,56	7,09	7,01
	2							2,74		3,64		6,92	
4	1	-	-	+	13	46	19	1,97	3,67			7,43	7,3
	2							1,91	1,88	3,84	3,7	7,15	
	3							1,76		3,59		7,32	
5	1	+	+	-	20	56	14	2,88	2,97			7,21	7,04
	2							2,78	2,71	2,87	2,8	6,89	
	3							2,55		2,7		7,13	
	4							2,63		2,66		6,93	
6	1	-	+	-	13	56	14	1,92	2,87			7,19	7,28
	2							1,77	1,79	2,81	2,89	7,22	
	3							1,68		2,99		7,44	
7	1	+	-	-	20	46	14	3,06	2,99	3,23	3,16	7,73	7,64
	2							2,92		3,09		7,55	
8	1	-	-	-	13	46	14	2,03	2,92			7,8	7,93
	2							2,06	1,96	3,0	3,1	7,78	
	3							1,85		3,26		8,01	
	4							1,9		3,22		8,13	

$$(x^T p x)^{-1} = \begin{vmatrix} 0,0444 & 0,002155 & -0,002155 & 0,0056 \\ 0,002155 & 0,04587 & -0,01016 & -0,002155 \\ 0,002155 & -0,01016 & 0,045874 & 0,002155 \\ 0,0056 & -0,002155 & 0,002155 & 0,0444 \end{vmatrix} \quad (k)$$

Определили матрицы $x^T p \bar{K}_x$, $x^T p \bar{K}_y$, $x^T p \bar{K}_z$. В результате получили следующие значения:



$$x^T p \bar{K}_x = \begin{vmatrix} 52,77 \\ 8,11 \\ 2,97 \\ -7,29 \end{vmatrix}; \quad x^T p \bar{K}_y = \begin{vmatrix} 73,71 \\ -4,27 \\ -0,17 \\ -3,47 \end{vmatrix}; \quad x^T p \bar{K}_z = \begin{vmatrix} 166,24 \\ -11,96 \\ 0,4 \\ -27,76 \end{vmatrix}. \quad (5)$$

Учитывая (4) и (5), по формулам (3) можно определить коэффициенты регрессии и уравнение регрессии (2) принимает вид

$$\begin{aligned} K_x &= 2,313 + 0,471 x_1 - 0,0756 x_2 - 0,039 x_3; \\ K_y &= 3,2444 - 0,027832 x_1 - 0,13074 x_2 + 0,2692 x_3; \\ K_z &= 7,197 - 0,1346 x_1 - 0,2782 x_2 - 0,2744 x_3. \end{aligned} \quad (6)$$

Адекватность модели проверена по критерию Фишера [4] и при этом установлена пригодность модели для практического применения.

Анализируя модели (формула 6) можно построить диаграмму (рис. 2), по которой можно определить относительные влияния величин углов α , β и λ на коэффициентов нагрузки K_x , K_y и K_z . Как видно из диаграммы, на коэффициент K_x ощутимо влияет величина угла α , на K_y — величина λ , а на K_z — величины углов β и λ .

Экспериментально полученные результаты по определению указанных коэффициентов нагрузки достаточно близки к теоретическим данным из работы [3].

Грузинский политехнический институт
им. В. И. Ленина

(Поступило 15.9.1984)

ანგარიშის მუნიციპალური სახარატო ჩარხების დამტვირთავი

მოწყობილობის მუზა ზონაში ძალების მცდელობრივი
განსაზღვრა
რეზიუმე

მოყვანილია დამტვირთავი მოწყობილობით სახარატო ჩარხის დამტვირთვისას მუშა ნაწილში წარმოქმნილი ძალების ექსპერიმენტული განსაზღვრის მეთოდით. შედეგები დამუშავებულია მათემატიკური სტრიქონისა და ექსპერიმენტის ოპტიმალური დაგეგმვის მეთოდების გამოყენებით.

MACHINE BUILDING SCIENCE

G. K. JAPARIDZE
EXPERIMENTAL DETERMINATION OF FORCES IN THE WORKING
ZONE OF THE LOADING DEVICE FOR TESTING LATHES
WITHOUT CHIPPING

Summary

A method is proposed for experimental determination of forces in the working zone during the loading of a screw-cutting lathe with the loading device.

The results are treated by recourse to mathematical statistics and the theory of optimum planning of an experiment.

ლიტერატურა — ЛИТЕРАТУРА — REFERENCES

- Н. А. Хачидзе, Г. К. Джапаридзе. А. С. № 884869. Бюлл. изобр. 44, 1981.
- Г. К. Джапаридзе. Сообщения АН ГССР, 110, № 2, 1983.
- Г. К. Джапаридзе. Первая научно-техническая конференция молодых ученых и аспирантов ГПИ им. В. И. Ленина, посвященная 200-летию Георг. трактата, 1—2 июля, 1983.
- Ф. С. Новик, Я. Б. Арсов. Оптимизация процессов технологии металлов методами планирования экспериментов. М., 1980.
- И. Н. Бронштейн, К. А. Семендеев. Справочник по математике. Лейпциг—М., 1981.

МАШИНОВЕДЕНИЕ

Д. С. ТАВХЕЛИДЗЕ (академик АН ГССР), К. К. МАТВЕЕВ
ШАРНИРНЫЕ МЕХАНИЗМЫ С КРУГОВОЙ НАПРАВЛЯЮЩЕЙ

В статье рассмотрены шарнирные механизмы с круговой направляющей. Эти механизмы имеют устойчивое движение звеньев и позволяют изменять закон движения ведомого звена в процессе работы.

Известно, что пятизвенный шарнирный механизм с двумя степенями подвижности может устойчиво работать только при наличии определенного статистического сопротивления, приложенного к ведомому звену [1]. Однако устойчивую работу пятизвенного шарнирного механизма можно осуществить, если шарнир, соединяющий оба шатуна, перемещать по заданной траектории, например, по круговой направляющей.

Рассмотрим кривошипно-шатунный механизм (рис. 1), в котором к шатуну шарнирно присоединен круговой ползун, помещенный в круговую направляющую. При вращении кривошипа 1 шатун 2 перемещает ползун 3 по круговой направляющей 4. геометрическая ось O_1 которой расположена эксцентрично относительно оси O вращения кривошипа 1.

Если величина эксцентриситета e меньше радиуса кривошипа 1, то ползун 3 перемещается по закону движения ведомого кривошипа O_1B эквивалентного двухкривошипного механизма, т. к. расстояние O_1B равно радиусу второго кривошипа.

Присоединим шарнирно к круговому ползуну 3 диаду, второй свободный конец которой шарнирно связем со стойкой в точке O_2 внутри траектории ползуна 3 (рис. 2).

В этом случае получим шестизвездный шарнирный механизм, который можно рассматривать как состоящий из двух последовательно соединенных двухкривошипных механизмов.

Следовательно, закон движения ведомого звена O_2C будет выражаться произведением передаточных функций этих механизмов

$$\frac{d\gamma}{d\varphi} = \frac{d\gamma}{d\alpha} \cdot \frac{d\alpha}{d\varphi}. \quad (1)$$

Если круговую направляющую 4 поворачивать относительно оси вращения кривошипа 1, то за счет изменения расстояния между осями O_1 и O_2 изменяется закон движения ведомого кривошипа O_2C .

На рис. 2—5 показано положение звеньев механизма для одного и того же положения кривошипа 1 при повороте круговой направляющей.

Следует отметить, что для надежной работы механизма необходимо учитывать направление вращения ведущего кривошипа и расположение геометрической оси круговой направляющей. Положение звеньев механизма должно быть таким, чтобы углы давления не приближались к критическим значениям.

Кривошип O_2C , по аналогии с рис. 2, можно заменить на круговую направляющую 5 с вторым круговым ползуном 6. Присоединим дополнительную диаду одним концом к ползуну 6, а вторым — к стойке внутри траектории этого ползуна.

В этом случае получим шарнирный восемизвездный двухкривошипный механизм (рис. 6), который можно рассматривать как состоящий из трех последовательно соединенных двухкривошипных механизмов.

Закон движения ведомого кривошипа O_3D будет выражаться про изведением трех передаточных функций двухкривошипных механизмов

$$\frac{d\gamma}{d\varphi} = \frac{d\gamma}{d\beta} \frac{d\beta}{d\alpha} \frac{d\alpha}{d\varphi}. \quad (2)$$

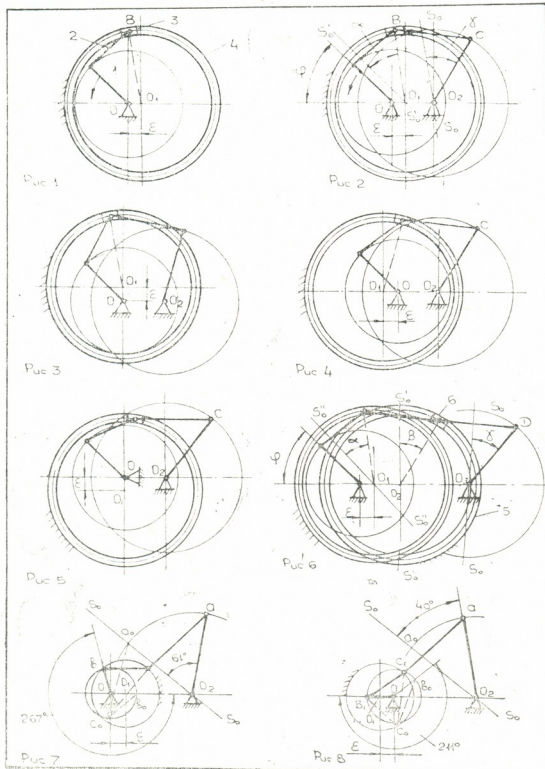


Рис. 1–8

Этот механизм позволяет осуществлять регулировку закона движения в более широком диапазоне.

Если расстояние между осями O и O_2 больше радиуса кривошипа 1, то получим шестизвездный кривошипно-коромысловый механизм (рис. 7), в котором по аналогии с рис. 2 можно менять закон движения ведомого звена в процессе работы.

На рис. 7, 8 представлен кривошипно-коромысловый механизм, для двух положений оси круговой направляющей.

Из рис. 7, 8 видно, что угол размаха коромысла O_2a , отсчитываемый от начальной линии S_0-S_0 , в зависимости от расположения оси O_1 меняется для данных размеров звеньев от 40 до 61°.

Закон движения коромысла O_2a будет определяться произведением передаточных функций двухкривошипного и кривошипно-коромыслового механизмов.

Кинематические характеристики двухкривошипных механизмов подробно освещены в работе [2]. Воспользуемся графиками передаточных функций двухкривошипных механизмов, которые приведены в [2] (рис. 3, 9).

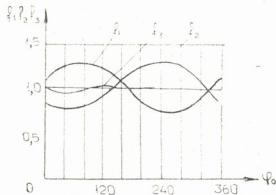


Рис. 9

На рис. 9 представлены две функции f_1 и f_2 , смещенные по оси абсцисс на угол π , что соответствует повороту круговой направляющей на угол π . В этом случае результирующая функция f_3 , согласно зависимости (1) будет иметь приближенно постоянное значение. На рис. 9, видно, что функция f_3 отклоняется от постоянного значения меньше, чем на 5%.

Число подвижных звеньев при неподвижных круговых направляющих можно определить по очевидной зависимости

$$N = 3 + 2n, \quad (3)$$

где первое слагаемое — число подвижных звеньев в базовом механизме (рис. 1), n — число присоединяемых диад, или число круговых направляющих.

Таким образом, шарнирные механизмы с круговыми направляющими имеют устойчивое движение звеньев, т. к. проворачиваемость звеньев полностью подчиняется условию Грасгофа. Данные механизмы позволяют производить регулировку закона движения в процессе работы, а также обеспечивают движение ведомых звеньев с приближенно постоянной скоростью.

Грузинский политехнический институт
им. В. И. Ленина

(Поступило 2.11.1984)

ანაზათავოდეობა

დ. თავაძელიძე (საქ. სსრ მეცნ. აკადემიის აკადემიკოსი), პ. მატევიძე

სახელიანი მეჩანიკის მუშაობის დროული მიმართველებით

რეზიუმე

განხილულია სახსრიანი მექანიზმები წრიული მიმართველებით, რომელთა საშუალებითაც მუშაობის პროცესში შესაძლებელია მოძრაობის კანონის რეგულირება და გამავალი რგოლის მიახლოებითი მუდმივი სიჩქარით მოძრაობა.



D. S. TAVKHELIDZE, K. K. MATVEEV

HINGED MECHANISMS WITH A CIRCULAR GUIDE

Summary

The paper discusses hinged mechanisms with circular guides allowing to adjust the law of motion in the process of operation as well as to ensure the motion of the driven links with an approximately constant velocity.

ЛІТЕРАТУРА — REFERENCES

1. Д. С. Тавхелидзе. Исследование плоских пятизвенных механизмов с двумя степенями подвижности. Тбилиси, 1972.
2. С. Н. Сумский. Расчет кинематических и динамических характеристик плоских рычажных механизмов. М., 1980.

МЕТАЛЛУРГИЯ

Д. Т. БЕЖИТАДЗЕ, В. И. ЮХВИД, Г. Ф. ТАВАДЗЕ, С. С. МАМЯН,
 А. Г. МЕРЖАНОВ

ВЛИЯНИЕ ИНЕРТНОЙ ДОБАВКИ НА ЗАКОНОМЕРНОСТИ
 ГОРЕНИЯ В СИСТЕМАХ $V_2O_5-Al-SiO_2$ И $V_2O_5-Al-Si$

(Представлено академиком Ф. Н. Тавадзе 22.11.1984)

В настоящее время процесс горения используется для получения широкого круга тугоплавких неорганических соединений переходных металлов. На основе исследования процесса горения переходных металлов с неметаллами был создан метод самораспространяющегося высокотемпературного синтеза (СВС) тугоплавких неорганических соединений [1—3].

Горение большинства высококалорийных систем типа окисел металла—восстановитель—неметалл с плавящимися исходными и конечными компонентами [3] в атмосферных условиях может сопровождаться сильным разбросом реагирующего расплава и даже протекать в форме взрыва [4].

В связи с этим в данной работе исследовались возможности устранения разброса с помощью разбавления окисью алюминия экзотермических гетерогенных систем $V_2O_5-Al-SiO_2$ и $V_2O_5-Al-Si$ и закономерности их горения при атмосферном давлении.

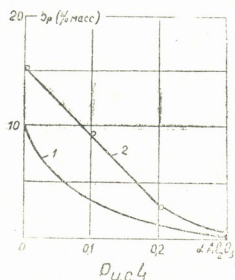


Рис. 1. Влияние αAl_2O_3 в исходной смеси на расчетную концентрацию газообразных продуктов и температуру горения силицида ванадия. Исходная смесь: $V_2O_5+Al+SiO_2+$
 $+Al_2O_3$; $V_2O_5:Al:SiO_2=0,52:0,33:0,15$

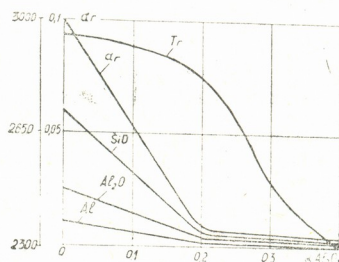


Рис. 2. Влияние αAl_2O_3 в исходной смеси на расчетную концентрацию газообразных продуктов и температуру горения силицида ванадия. Исходная смесь: $V_2O_5+Al+Si+Al_2O_3$;
 $V_2O_5:Al:Si=0,625:0,3125:0,0625$

В экспериментах сжигались смеси массой 20 г и плотностью $\rho=1,2-1,3 \text{ г}/\text{см}^3$ в кварцевых стаканчиках диаметром $d=2 \text{ см}$ и высотой 5 см. Средняя линейная скорость горения u_0 определялась по формуле $u_0 = \frac{h}{t}$, где h —высота шихты в стаканчике, t —время горения. Глубина разброса (I_p) и относительный выход в слиток ($I_{\text{сл.}}$) определялись по

формулам $I_p = M_0 - M_k/M_0$, где M_k — масса продуктов в стаканчике после горения, и $I_{cl} = M_{cl}/(M_{cm})$, где M_{cl} — масса слитка, M_{cm} — масса смеси.

Термодинамический расчет проводился по стандартной методике на ЭВМ БЭСМ-6.

Визуальные наблюдения показали, что во всех проведенных экспериментах после воспламенения смеси в течение 0,5—1 сек формировался плоский фронт горения, который перемещался сверху вниз с постоянной скоростью. Вблизи предела горения стационарный режим горения менялся на автоколебательный и спиновой режимы. В интервале $\alpha Al_2O_3 < 0,3$, где αAl_2O_3 — весовая доля Al_2O_3 в исходной смеси, образцы имели вид застывших слоев: верхний слой — окисная фаза, нижний слой — ванадий.

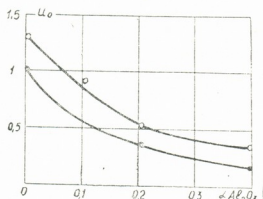


Рис. 3. Влияние содержания Al_2O_3 в исходной смеси на среднюю линейную скорость горения. Исходная смесь: 1 — $V_2O_5 + Al + SiO_2 + Al_2O_3$; $V_2O_5 : Al : SiO_2 = 0,52 : 0,33 : 0,015$; 2 — $V_2C_5 + Al + Si + Al_2O_3$; $V_2O_5 : Al : Si = 0,625 : 0,313 : 0,062$

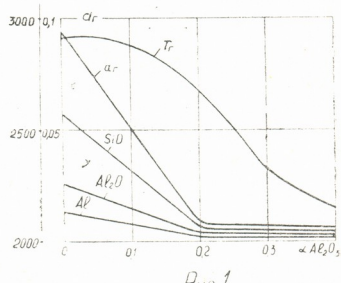


Рис. 4. Влияние содержания Al_2O_3 в исходной смеси на глубину разброса. Исходная смесь: 1 — $V_2O_5 + Al + SiO_2 + Al_2O_3$; $V_2O_5 : Al : SiO_2 = 0,52 : 0,33 : 0,15$; 2 — $V_2O_5 + Al + Si + Al_2O_3$; $V_2O_5 : Al : Si = 0,625 : 0,3125 : 0,0625$

При разбавлении исходной смеси окисью алюминия, согласно термодинамическому расчету, падает температура горения (рис. 1, 2), что приводит к уменьшению средней линейной скорости горения (рис. 3). Разбавление исходной шихты инертной добавкой (Al_2O_3) влияет также на глубину разброса (рис. 4). Разброс практически можно довести до нуля, вводя в смесь Al_2O_3 .

Согласно термодинамическим расчетам система $V_2O_5-Al-SiO_2/Si$, при горении указанных смесей образуются газообразные продукты SiO_2, Al_2O и $Al_{\text{газ}}$, суммарная концентрация которых не превышает 10% масс. (рис. 1,2). Образование этих газов и последующий выход из расплава являются причиной разброса смеси из формы при горении. С увеличением содержания Al_2O_3 в исходной смеси суммарная концентрация газообразных продуктов падает, что приводит к уменьшению разброса исходной смеси из формы.

Результаты определения областей максимального выхода в слиток приведены на рис. 5. Как видно из рисунка, при увеличении весовой доли Al_2O_3 в исходной смеси полнота фазоразделения (выход в слиток) проходит через максимум и вблизи пределов горения резко падает до нуля. Максимальный выход в слиток при использовании в качестве реагентов Si составляет 20% масс., при использовании SiO_2 — 12% масс. от веса исходной шихты. Прохождение полноты вы-

хода целевого продукта в слиток через максимум при увеличении содержания $\alpha\text{Al}_2\text{O}_3$ в исходной смеси связано с конкуренцией двух про-

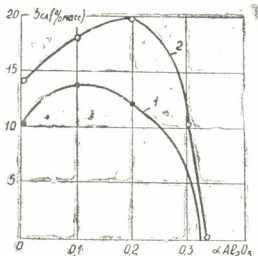


Рис. 5. Влияние содержания $\alpha\text{Al}_2\text{O}_3$ в исходной смеси на относительный выход силицида ванадия. Исходная смесь: 1 — $\text{V}_2\text{O}_5 + \text{Al} + \text{SiO}_2 + \text{Al}_2\text{O}_3$; $\text{V}_2\text{O}_5 : \text{Al} : \text{SiO}_2 = 0,52 : 0,33 : 0,15$; 2 — $\text{V}_2\text{O}_5 + \text{Al} + \text{Si} + \text{Al}_2\text{O}_3$; $\text{V}_2\text{O}_5 : \text{Al} : \text{Si} = 0,625 : 0,3125 : 0,0625$

цессов: подавлением разброса и уменьшением скорости фазоразделения (вследствие падения температуры).

Академия наук Грузинской ССР
Институт metallurgии
им. 50-летия СССР

Академия наук СССР
Отделение Института
химической физики

(Поступило 29.11.1984)

ЗАПОВЕДЬ ЗОЛОТОГО РОДОСТА

დ. ბეზითაძე, ვ. იუხვიდი, გ. თავაძე, ს. მამიანი, ა. მერჯანოვი

ინტერული დანამატის გავლენა ფიც კანონზომილობების
სისტემისათვის $\text{V}_2\text{O}_5 - \text{Al} - \text{SiO}_2$ და $\text{V}_2\text{O}_5 - \text{Al} - \text{Si}$

რეზიუმე

შესწავლითი ინერტული დანამატის (Al_2O_3) გავლენა წვის საშუალო ხა-
ზობრივ სიჩქარესა და ფორმიდან მორეაგირე ნივთიერებათა ამორფულების ხა-
რისხებე.

ნიჩვენებია, რომ კაზმის ინერტული დანამატის გაზავების მორეაგირე ნივ-
თიერების ამორფულების ხარისხი შეიძლება შემცირებულ იქნეს მინიმუმამდე.
განსაზღვრულია სხმულის მაქსიმალური გამოსვლის პირობები.

METALLURGY

D. T. BEZHITADZE, V. I. YUKHVID, G. F. TAVADZE, S. S. MAMJAN,
A. G. MERZHANOV

THE EFFECT OF AN INERT ADDITION ON THE COMBUSTION
MECHANISM IN SYSTEMS $\text{V}_2\text{O}_5\text{-Al-Si O}_2$; $\text{V}_2\text{O}_5\text{-Al-Si}$

Summary

The effect of an inert addition (Al_2O_3) on the average linear rate of combustion and on the degree of melt sputter in the systems $\text{V}_2\text{O}_5\text{-Al-SiO}_2$; $\text{V}_2\text{O}_5\text{-Al-Si}$ was studied. It is shown that melt sputter from moulds can be minimized by diluting the initial mixture with the inert addition. The conditions of maximal yield of ingots are determined.



ლიტერატურა — ЛИТЕРАТУРА — REFERENCES

1. А. Г. Мержанов, И. П. Боровинская. ДАН СССР, 204, № 2, 1972, 366.
2. И. П. Боровинская, А. Г. Мержанов. Сб. «Металлотермические процессы в химии и металлургии». Новосибирск, 1971.
3. А. Г. Мержанов, В. И. Юхвид, И. П. Боровинская. ДАН СССР, 255, 2, 1980.
4. А. С. Дубровин, Ю. Л. Плиннер, Г. Ф. Игнатенко, С. И. Лаппо. Алюминотермия. М., 1978.

А. Р. СИАМАШВИЛИ

ОБ УЧЕТЕ ВЛИЯНИЯ ФОРМЫ ПОПЕРЕЧНОГО СЕЧЕНИЯ
КАНАЛОВ ПРИ УСТАНОВЛЕНИИ ДОПУСКАЕМЫХ
(НЕРАЗМЫВАЮЩИХ) СКОРОСТЕЙ ПОТОКА

(Представлено членом-корреспондентом Академии Г. Г. Сванидзе 12.3.1984)

Повышение или занижение скоростей течения потока в искусственных водотоках уменьшает или увеличивает как объем земляных работ на каналах, так и стоимость возведенных на них гидротехнических сооружений. С другой стороны, необоснованное повышение допускаемых скоростей течения влечет за собой большие эксплуатационные затраты для поддержания таких каналов в рабочем состоянии [1, 2].

До настоящего времени действующие строительные нормы и правила проектирования сооружений мелиоративных систем (СНиП 11—52—74), а также руководство по определению допускаемых (неразмывающих) скоростей водного потока для различных грунтов при расчете каналов (ВТР 11—25—80) рекомендуют устанавливать неразмывающую скорость по зависимостям Ц. Е. Мирцхулава для условий плоского потока, проходящего в руслах бесконечно большой ширины. Естественно, при таком подходе не учитывается влияние формы поперечного сечения (устойчивость откосов канала против размыва) на величину допускаемых (неразмывающих) скоростей, вследствие чего откосы водотоков, где сопротивляемость к размыву меньше, чем на дне русла, во время эксплуатации подвергаются размыву (переформированию), что нередко приводит к неполадкам этих объектов [1, 2].

По этому уточнение, разработка и внедрение в практику проектирования методов установления допускаемых (неразмывающих) скоростей в необлицованных земляных руслах с учетом устойчивости откосов водотока против размыва имеет как теоретическое, так и практическое значение.

Для решения поставленной задачи рассмотрим предельное состояние частицы (агрегата) грунта, имеющей форму шара диаметром d , лежащего на откосе прямолинейного (в плане) канала с малым продольным уклоном. Угол наклона откоса к горизонту обозначим через α , коэффициент заложения откоса $m = ctg \alpha$.

На частицу (агрегат), выступающую с поверхности откоса водотока (обычно $\Delta = 0,7d$) и имеющую несколько точек контактов с подобными ей частицами, действуют «активные» силы: \vec{P}_a — лобовая сила, стремящаяся сдвинуть частицу вдоль направления потока; \vec{P}_b — подъемная сила, направленная по нормали к откосу, стремящаяся приподнять частицу от поверхности откоса; \vec{G}_{bt} — тангенциальная составляющая массы частицы в воде действующая параллельно плоскости откоса и перпендикулярно лобовой силе. К пассивным силам, стремящимся удержать частицу на откосе, относятся: \vec{G}_{BN} — нормальная составляющая массы частицы в воде, направленная по нормали к поверхности откоса, и сила сцепления \vec{C}_{uy} , появля-
23. „მამდე“, ტ. 123, № 2, 1986

ющаяся при мелькозернистости несвязного грунта, направленная также по нормали к поверхности откоса.

Наиболее вероятным направлением с точки зрения опрокидывания частицы будет направление равнодействующей лобовой силы \vec{P}_L и тангенциальной составляющей массы частицы в воде \vec{G}_{B_T} . Направление равнодействующей обозначим через A_1A_2 , а величину равнодействующей — через \vec{R} . Плоскость, проходящая через A_1A_2 , будет плоскостью опрокидывания $abcd$. Точка опоры частицы будет находиться на пересечении плоскости откоса и плоскости $abcd$ с частицей. Точку опоры обозначим через A .

Так как самым вероятным направлением перекатывания частицы является направление равнодействующей \vec{R} , то уравнение суммарного момента относительно точки опрокидывания можно записать в скалярном виде на плоскости $abcd$.

Скалярное уравнение предельного равновесия частицы на откосе относительно точки опрокидывания A будет иметь вид

$$\frac{n}{m} (P_L l_1 \cos \beta + P_B l_3) + G_{B_T} \cos (90^\circ - \beta) k_1 l_5 = \operatorname{tg} \varphi_e G_{BN} k_1 l_2 + C_{yH}^H d^2 l_4 k_2, \quad (1)$$

где $P_L \cos \beta$ и P_B — соответственно проекции \vec{P}_L и \vec{P}_B на плоскость $abcd$; $G_{B_T} \cos (90^\circ - \beta)$ — проекция тангенциальной составляющей массы частицы в воде; n — коэффициент перегрузки; m — коэффициент условий работы; k_1 и k_2 — соответственно коэффициенты, учитывающие однородность несвязного грунта и сил сцепления; $\operatorname{tg} \varphi_e$ — тангенс угла естественного откоса несвязного грунта под водой; l_1, l_2, l_3, l_4 и l_5 — плечи соответствующих сил; β — угол между \vec{P}_L и \vec{R} , характеризующий местонахождение точки опоры частицы (агрегата) в предельном состоянии относительно основного направления потока:

$$\beta = \arccos \frac{\frac{n}{m} P_L}{\left(\frac{n^2}{m^2} P_L^2 + G_B^2 \sin^2 \alpha \right)^{0.5}}. \quad (2)$$

Введем в уравнение (1) значения P_L , P_B , G_{BN} и G_{B_T} [3]. После соответствующих преобразований и упрощений уравнение (1) примет вид

$$\begin{aligned} & \frac{n}{m} \rho_0 \frac{v_\lambda^2}{2} (\lambda_x a_1 \delta_1 \cos \beta + \lambda_y a_2 \delta_3) = \\ & = \frac{\pi d}{6} g (\rho_e - \rho_0) k_1 \left[\cos \alpha \delta_2 - \frac{\sin \alpha \sin \beta}{\operatorname{tg} \varphi_e} \delta_5 \right] + C_{yH}^H \delta_4 k_2. \end{aligned} \quad (3)$$

Как показывают экспериментальные исследования, распределение скоростей по глубине потока при динамически устойчивых сечениях с приемлемой точностью описываются логарифмическим законом распределения [4]. Принимая среднюю глубину потока в русле $h_{cp} = \frac{\omega}{B}$ за расчетную глубину и выражая донную скорость на высоте выступов шероховатости по зависимости

$$v_{\Delta} = \frac{1,25 v}{\lg \left(\frac{8,8 h_{cp}}{d} \right)}, \quad (4)$$

получаем зависимость для установления критической скорости течения в трапецидальном земляном русле, проходящем в несвязных грунтах:

$$v_{kp} = \left(\lg \frac{8,8 h_{cp}}{d} \right) \times \\ \times \sqrt{\frac{2 m}{3 \rho_0 n (\delta_1 a_1 \lambda_x \cos \beta + \delta_3 a_2 \lambda_y)} \left\{ g d k_1 (\rho_e - \rho_0) \left[\cos \alpha - \frac{\sin \alpha \sin \beta}{\tan \varphi_e} \right] + \right.} \\ \left. + 2 C_{yun}^h \delta_4 k_2 \right\}}. \quad (5)$$

Для решения уравнения (5) требуется определить величину угла β . Определение этого угла по зависимости (2) весьма сложно, поэтому в инженерных расчетах его можно определить по следующей приближенной зависимости:

$$\beta = \frac{90^\circ}{\Phi_e} \alpha, \quad (6)$$

где α — угол наклона откоса к горизонту в градусах; Φ_e — угол естественного откоса несвязного грунта под водой.

Величины коэффициентов λ_x , λ_y , a_1 , a_2 , δ_1 , δ_2 , δ_3 , δ_4 и δ_5 , входящих в зависимость (5), зависят от формы, плотности размещения частиц на откосе и от условий обтекания, теоретическое установление которых чрезвычайно трудно. Обозначив суммарную величину этих коэффициентов через M :

$$M = 3 (\delta_1 \lambda_x a_1 \cos \beta + \delta_3 a_2 \lambda_y), \quad (7)$$

ее можно определить экспериментальным путем, опираясь на данные лабораторных исследований.

В гидротехнической лаборатории ГрузНИИГиМ на специально сконструированном автором лотке трапецидального поперечного сечения, конструкция которого позволяла менять заложение откосов в довольно широком диапазоне, были проведены исследования с целью установления неразмывающих скоростей для различных грунтов в трапецидальном русле в зависимости от коэффициента заложения откоса. Значение неразмывающей скорости в этих опытах принималось аналогично исследованиям [3, 5].

На основе проведенных экспериментов были установлены значения коэффициента M при различных коэффициентах заложения откосов для несвязных грунтов с средним диаметром частиц $d = 0,5 \div 5,0$ мм, с помощью которых был получен корректив A , учитывающий уменьшение M в зависимости от коэффициента заложения откоса по сравнению с дном водотока. В случае несвязных грунтов ($d > 0,25$ мм) для установления A получена зависимость

$$A = (1 - 0,0006 \alpha^2 - 0,004 \alpha)^{0,5}, \quad (8)$$

где α — угол наклона откоса к горизонту в градусах. Для несвязных грунтов ($d \leq 0,25$ мм) $A = 1$.

Таким образом, были получены полуэмпирические зависимости для определения допускаемых (неразмывающих) донных скоростей на

откосе и средних скоростей в трапецидальном земляном русле, проходящем в несвязных однородных грунтах:

$$\times \sqrt{\frac{2m}{0,44 A p_0 n} \left\{ gd(p_i - p_0) \left[\cos \alpha - \frac{\sin \alpha \sin \beta}{\operatorname{tg} \varphi_e} \right] + 2 C_{yH}^n K_2 \right\}} \quad (9)$$

$$\times \sqrt{\frac{2m}{0,44 A p_0 n} \left\{ gd(p_i - p_0) \left[\cos \alpha - \frac{\sin \alpha \sin \beta}{\operatorname{tg} \varphi_e} \right] + 2 C_{yH}^n K_2 \right\}} \quad (10)$$

Грузинский научно-исследовательский
институт гидротехники и мелиорации

(Поступило 22.6.1984)

პიდრობიანი

ა. სიამაშვილი

არხის განვითარების ფორმის გათვალისწინების უმსახმები ნაკადის
დასაშვები (არაგამრეცები) სიჩქარეების დაზღვნისას

რეზიუმე

თეორიულად შემუშავებულია და ექსპერიმენტულად გამოკვლეულია არ-
ხის ფერდის ქანობის გავლენა დასაშვები (არაგამრეცები) სიჩქარეების სიდიდე-
ზე.

მიღებულია ნახევრადემპირიული ფორმულები ტრაპეციდალური განვივ-
კვთის არხებში დასაშვები (არაგამრეცები) ფსკერული და საშუალო სიჩქარეე-
ბის დასადგენად.

HYDRAULIC ENGINEERING

A. R. SIAMASHVILI

CONSIDERATION OF THE SHAPE OF THE CROSS-SECTION OF CANALS IN DETERMINING PERMISSIBLE (NONSCOURING) FLOW VELOCITY

Summary

The influence of the canal slope on the value of permissible (nonscouring) velocities is discussed theoretically and studied experimentally. Semiempirical formulae, have been derived for determining the permissible (nonscouring) bottom- and mean velocities in trapezoidal cross-section canals.

ლიტერატურა — ЛИТЕРАТУРА — REFERENCES

1. В. С. Алтуниш. Мелиоративные каналы в земляном русле. М., 1979.
2. Ц. Е. Мирцхулава. О надежности крупных каналов. М., 1981.
3. Ц. Е. Мирцхулава. Размыв русел и методика оценки их устойчивости. М., 1967.
4. В. Н. Гончаров. Динамика русловых потоков. Л., 1962.
5. В. С. Кнороз. Изв. ВНИИГ, 59, Л., 1959.

З. Ш. ГЕДЕНИДЗЕ

ИССЛЕДОВАНИЕ КРАЕВОГО ЭФФЕКТА ПЕРЕКРЫТИЯ МНОГОАРОЧНОЙ ПЛОТИНЫ

(Представлено членом-корреспондентом Академии Ш. Г. Напетваридзе 11.10.1984)

Исследование напряженно-деформированного состояния цилиндрических перекрытий многоарочных плотин при защемленном основании с применением полубезмоментной теории оболочек [1] не учитывает возникновения в основании быстро затухающих напряжений (краевых эффектов), вдоль образующих.

В своих фундаментальных исследованиях [2] А. Л. Гольденвейзер приходит к выводу, что «цилиндрическая оболочка представляет собой один из самых плохих объектов для применения безмоментных уравнений».

В данной работе сделана попытка построить полную картину напряженно-деформированного состояния перекрытия плотины на основе уравнений полубезмоментной теории, описывающих так называемое основное состояние [3], и уравнений простого краевого эффекта.

Разрешающее уравнение простого краевого эффекта, когда в качестве разрешающей функции принято радиальное перемещение ω , имеет вид [2]

$$\frac{\partial^4 W}{\partial s^4} + 4\beta^4 W = \frac{1}{D} q(s, \varphi), \quad (1)$$

где s и φ — цилиндрические координаты; q — интенсивность гидростатической нагрузки;

$$q = \gamma (s \sin \alpha + R \cos \alpha - R \cos \alpha \cos \varphi); \quad (2)$$

D — цилиндрическая жесткость;

$$D = \frac{E h^3}{12(1-\nu^2)}; \quad (3)$$

$$\beta^4 = \frac{3(1-\nu^2)}{R^2 h^2}. \quad (4)$$

В выражениях (2), (3), (4): γ — объемный вес воды; α — угол наклона оси перекрытия к горизонту; R — радиус срединной поверхности; E — модуль упругости материала; h — средняя толщина перекрытия; ν — коэффициент Пуассона.

Общее решение уравнений простого краевого эффекта имеет вид

$$W = l^{\beta s} (A_1 \cos \beta s + B_1 \sin \beta s) + l^{-\beta s} (C_1 \cos \beta s + D_1 \sin \beta s) + \frac{1}{4\beta^4 D} (s \sin \alpha + R \cos \alpha - R \cos \alpha \cos \varphi), \quad (5)$$

где A_1, B_1, C_1, D_1 — коэффициенты интегрирования.



Первое и второе слагаемые решения (5) представляют собой функции типа затухающего колебания. Первая функция затухает от основания, а вторая — от гребня. Для не слишком коротких перекрытий краевые эффекты допустимо строить для каждого края или для интересующего нас одного края. Определяющим здесь является условие отсутствия влияния краевого эффекта одного края на другой.

Для перекрытия многоарочной плотины со свободным гребнем и жестко защемленным основанием, в соответствии с принятой системой координат, граничные условия формируются следующим образом:

$$\begin{aligned} T_1(0) &= S^*(0) = M_1(0) = N_1^*(0) = 0; \\ u(l) &= v(l) = W(l) = W'(l) = 0, \end{aligned} \quad (6)$$

где

$$S^* = S + \frac{H}{R}; \quad N_1^* = N_1 + \frac{1}{R} \frac{\partial H}{\partial \varphi}. \quad (7)$$

T_1 , S , N_1 , H и M_1 — усилия и моменты, приходящиеся на единицу длины координатной линии s ; v и u — перемещения точки срединной поверхности вдоль касательных соответствующим координатным линиям.

Из групп граничных условий тангенциальным $T_1(0) = S^*(0) = u(l) = v(l) = 0$ должно удовлетворять основное состояние.

Краевой эффект, являющийся наиболее мощным в зоне защемления перекрытий, строится так, чтобы удовлетворялись нетангенциальные граничные условия $M_1(0) = N_1^*(0) = W(l) = W'(l) = 0$.

На основе вышеуказанного и соответствующих математических вычислений получаем:
для ненагруженного гребня плотины

$$W = \frac{1}{\beta^4 D} (s \sin \alpha + R \cos \alpha - R \cos \alpha \cos \varphi); \quad (8)$$

для гребня плотины, нагруженного изгибающим моментом M_{10} и перерезывающим усилием N_{10}

$$\begin{aligned} W &= l^{-\beta s} \left[\frac{1}{2 \beta^3 D} (N_{10} + \beta M_{10}) \cos \beta s - \frac{M_{10}}{2 \beta^2 D} \sin \beta s \right] + \\ &\quad + \frac{1}{4 \beta^4 D} (s \sin \alpha + R \cos \alpha - R \cos \alpha \cos \varphi); \end{aligned} \quad (9)$$

для жесткой заделки в основание

$$W = l^{\beta s} (A_1 \cos \beta s + B_1 \sin \beta s) + \frac{1}{4 \beta^4 D} (s \sin \alpha + R \cos \alpha - R \cos \alpha \cos \varphi). \quad (10)$$

Постоянные интегрирования A_1 и B_1 определяются из граничных условий $W(l) = W'(l) = 0$.

Основные силовые факторы [2] краевого эффекта выражаются через радиальное перемещение с помощью следующих соотношений:

$$\begin{aligned} M_1 &= -D \frac{\partial^2 W}{\partial s^2}; \quad M_2 = -v D \frac{\partial^2 W}{\partial s^2}; \\ N_1 &= -D \frac{\partial^3 W}{\partial s^3}; \quad T_2 = -\frac{E h}{R} W. \end{aligned} \quad (11)$$

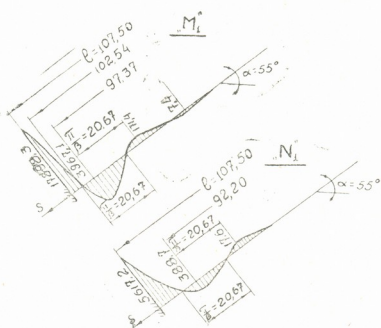
Внутренние силовые факторы M_1 , M_2 и N_1 легко подчиняются функциональному анализу и от них возникают быстро затухающие напряжения, чего нельзя сказать о продольной силе T_2 . Поэтому для ее определения лучше применить общее решение уравнений краевого эффекта (5).

Пример. Рассмотрим краевой эффект, возникающий у жестко защеланного основания в перекрытии многоарочной плотины «Гранваль» (Франция). Основные данные:

$$R = 25 \text{ m}, \quad h = 3 \text{ m}, \quad \alpha = 55^\circ, \quad \gamma = 0,2, \quad \varphi = 10 \text{ kN/m}^3, \quad l = 107,5 \text{ m}, \quad E = 24 \cdot 10^6 \text{ kN/m}^2.$$

Задача решается с применением выражений (10) и (11).

На рис. 1 даны эпюры внутренних силовых факторов M_1 и N_1 при $\varphi = 0$.



P&C. I

Исследования показали, что вдоль окружности (по ф) все внутренние силовые факторы меняются незначительно.

Грузинский политехнический институт им. В. И. Ленина

(Поступило 12.10.1984)

ଓଡ଼ିଆ ଲେଖକ

© 2018 Kuta Software LLC

მრავალთალოგანი კაშხალის გადახურვის პილის ეფექტის
გამოყვალება

Հ Յ Ց Ո Ւ Թ Ե

მოცემულია მრავალთაღოვანი კაშხალის ცილინდრული გადახურვის კი-
დის ეფექტის გამოყვლევა ჰიდროსტატიკური წნევის მოქმედების დროს.

იგულისხმება, რომ გადახურვის ძირითადი დაძაბული მდგრადი გა-
მოყვლევა ჩატარებულია ნაციონალუმობრივ გარსთა თეორიის პამყალიბით.

Z. Sh. GEDENIDZE

INVESTIGATION OF THE EDGE EFFECT OF AN ARMOURED CONCRETE FLOOR IN MULTIARCHED DAMS

Summary

The edge effect of the cylindrical armoured concrete floor under hydrostatic pressure has been studied.

The basic stressed state of the armoured concrete floor was studied by recourse to the semi-membrane theory of shells.

ЛІТЕРАТУРА — REFERENCES

1. З. Ш. Геденидзе. Труды ГПИ им. В. И. Ленина, № 10 (255), 1982.
2. А. Л. Гольденвейзер. Теория упругих тонких оболочек. М., 1976.
3. Б. В. Нерубайло. Локальные задачи прочности цилиндрических оболочек. М., 1983.

ЭЛЕКТРОТЕХНИКА

М. Ш. СУРГУЛАДЗЕ, Е. П. ДЕРБАКОВА, И. П. МАКАРОВ,
В. И. НИКИШИН, Ю. Н. СУББОТИН, Г. И. ФУРСИН

НЕКОТОРЫЕ ВОПРОСЫ СОЗДАНИЯ НОВОГО ПОКОЛЕНИЯ
ССИС И СБИС

(Представлено академиком И. В. Прангвили 9.7.1985)

При создании высокопроизводительных вычислительных систем традиционно выделяют два основных пути их совершенствования. Первый основан на совершенствовании архитектуры ЭВМ, использовании параллельной и ассоциативной обработки информации, совершенствовании программного и математического обеспечения. Второй путь включает в себя главным образом совершенствование технологии, схемотехники и системотехники, а также новые методы функциональной интеграции, которые в последнее время используются при создании устройств функциональной электроники (УФЭ).

При создании сверхскоростных интегральных схем (ССИС) требования к степени интеграции и потребляемой мощности (а часто, например в матричных БИС для супер-ЭВМ, и к себестоимости) не являются определяющими; главное требование — это обеспечение их максимального быстродействия.

Высокое эффективное быстродействие функциональных узлов и блоков может быть достигнуто ценой дополнительных аппаратных затрат за счет параллельной обработки информации. В этом случае главным требованием становится высокая степень интеграции; число логических и запоминающих элементов на одном кристалле должно составлять не менее $10^5 \dots 10^6$.

В сверхскоростных сверхбольших интегральных схемах их разработчики пытаются преодолеть противоречивые требования к достижению высокой степени интеграции и одновременно обеспечить субнаносекундное быстродействие отдельных вентилей. Ниже мы рассмотрим некоторые аспекты этой проблемы.

Повышение быстродействия логических и запоминающих элементов в ССИС приводит к необходимости сделать выбор соответствующего полупроводникового материала. Помимо такого традиционного материала, как кремний, значительный интерес представляют полупроводниковые соединения типа A_3B_5 (арсенид галлия, фосфид индия, антимонид индия и некоторые другие). В настоящее время наибольшее внимание уделяется арсениду галлия, на основе которого можно изготавливать ССИС, обладающие лучшими динамическими характеристиками по сравнению с кремниевыми. Другим преимуществом арсенида галлия является способность образовывать качественные гетеропереходы, например вида $Ga_x Al_{1-x} As$, что делает возможным создание таких приборов, как транзистор с широкозонным эмиттером и транзистор на двумерном электронном газе. Здесь можно отметить, что аналогичный принцип в настоящее время пытаются применить и в кремниевой технологии с использованием гетероперехода между широкозонным поликремнием и монокристаллическим кремнем [1].

Несмотря на заметные успехи в технологии арсенида галлия, в настоящее время кремниевая технология остается практически вне кон-



куренции в первую очередь из-за очень низкой стоимости и высокой степени интеграции. Более того, до настоящего времени имела место ситуация, когда те рекордные показатели по быстродействию, которые достигались на арсениде галлия, довольно быстро реализовывались на кремнии.

Повышение быстродействия может достигаться использованием низких температур. При понижении температуры существенно возрастают как подвижность носителей заряда, так и их максимальная скорость (скорость насыщения). Однако характеристики известных биполярных транзисторов при понижении температуры резко ухудшаются, исключая модуляционные транзисторы (МТ) [2], поэтому наиболее перспективными в этом случае следует считать униполярные транзисторы и МТ.

По мере того как фотолитография приближается к своему теоретическому пределу, возникают новые технологические приемы, позволяющие повысить степень интеграции СБИС. В первую очередь здесь необходимо отметить самосовмещение технологией [3, 4]. В настоящее время самосовмещение достигается главным образом благодаря применению поликремния и «жесткой маски» из нитрида кремния. Переход к минимальному размеру элементов $I_{\min} = 1 \text{ мкм}$ делает элементы СБИС чрезвычайно чувствительными к дефектам кристаллической решетки. Поэтому совершенно необходимыми становятся методы улучшения качества кристалла, различные методы устранения дефектов из рабочих областей приборов путем гетерирования, а также различные способы резервирования элементов СБИС, что обеспечивает более высокий выход годных.

Перспективной элементной базой для создания устройств функциональной электроники с высокой информационной емкостью N_e являются приборы с плазменной связью и их электрические аналоги (ППС и ЭПС). Приборы с плазменной связью можно рассматривать как устройства функциональной электроники, которые представляют собой совокупность определенным образом упорядоченных полупроводниковых приборов с отрицательным сопротивлением, имеющих по крайней мере одну общую область, по которой осуществляется взаимодействие одного прибора с другим. Обычно ППС реализуются на основе тиристоров или модуляционных транзисторов.

ППС и ЭПС на основе тиристоров могут быть изготовлены с помощью стандартной биполярной технологии. При этом достигается очень высокая информационная емкость $N_e = 10^3 \dots 10^4 \text{ бит}/\text{мм}^2$ при $I_{\min} = 2 \text{ мкм}$. Наряду со стандартной технологией, для увеличения выхода годных СБИС на ППС иногда более целесообразно применение технологии, основанной на стандартном планарном процессе, но использующей рекордно малое число фотомасок (всего два фотомаска и соответственно две фотолитографии).

Использование ППС позволяет повысить надежность работы УФЭ благодаря возможности простой реализации пороговых и мажоритарных элементов, а также благодаря тому, что требования к активным элементам в случае приборов с плазменной связью в значительной мере заменяются требованиями к пассивным элементам.

Наиболее эффективное применение ППС находят в сдвиговых регистрах. Отличительной особенностью таких устройств является их большая информационная емкость и то, что сдвиговые регистры на ППС являются статическими, т. е. частота передачи сигнала в них не ограничена снизу. Это позволяет создавать универсальные регистры, которые являются фактически специализированными микропроцессорами. Такой микропроцессор состоит из сдвиговых регистров и многофункциональной схемы управления, которая осуществляет коммути-

цию различных входов и выходов разных разрядов регистров при подаче на нее сигналов, а также управляет подачей внутренних импульсов питания и управления. Универсальные сдвиговые регистры на ППС и ЭПС проектируются методом базового кристалла.

В настоящее время, наряду с традиционными принципами обработки информации, следует более широко использовать новые принципы обработки информации — ассоциативные, волновые и некоторые другие. Они позволяют создавать интерференционные функциональные логические схемы (ИФЛ-схемы), информационная емкость которых определяется не столько числом активных элементов, сколько числом различных путей передачи информации [5]. На основе ИФЛ-схем можно строить оперативные запоминающие устройства и, что особенно важно, ассоциативные запоминающие устройства сверхбольшой информационной емкости. Использование ИФЛ-схем позволит резко, на несколько порядков, повысить объем обрабатываемой вычислительной системой информации, а также за счет параллельной и ассоциативной обработки информации повысить эффективное быстродействие вычислительных систем. В отличие от традиционного детерминированного подхода к построению и проектированию вычислительных систем, в ИФЛ-схемах преобладающее значение имеют вероятностные методы: такие УФЭ обладают свойствами адаптации. При этом достигается высокая устойчивость к помехам и выходу из строя отдельных элементов, что приводит к их высокой надежности. Важным является также наличие в ИФЛ-схемах распределенной памяти. Для создания ИФЛ-схем могут быть использованы интегральные оптические схемы и оптоэлектронные устройства, различные акустоэлектронные устройства, приборы на магнитостатических волнах, причем во всех случаях целесообразно применять в них приборы с плазменной связью, в которых осуществляется эффективное усиление сигнала благодаря наличию в каждом приборе положительной обратной связи.

ППС и ЭПС и их дальнейшие модификации в виде сверхинтегрированных нейристоров, супермногослойных структур, по-видимому, позволят создать в будущем самоорганизуемые среды. Кроме того, устройства функциональной электроники на основе приборов с плазменной связью открывают исключительные перспективы моделирования биологических систем.

Академия наук СССР

Институт проблем кибернетики

(Поступило 20.9.1985)

ელექტროლიტებია

ა. სურგულაშვილი, მ. დერგაგოვა, ი. გაგარინი, ვ. ნიკიშინი, ი. სუბოტინი,
გ. ფურსინი

ზემაღლა სისტრაციასა და ზემაღლა სიდიდის ინტეგრალური
სერვისის ახალი თაობის უმჯობეს ზოგიერთი საკითხი

რეზიუმე

მიუხედავად ნახევარგამტარული ხელსაწყოების მაღალი დინამიკური მახსინებლებისა, A₃B₅ სახის შენარჩუნა საფუძველზე და განსაკუთრებით პრ-სენიდ-გალიუმის საფუძველზე მაღალი ტექნოლოგიურობის გამო სილიციუმი მაინც რჩება ყველაზე პერსპექტიულ მასალად ზემაღლალი სისტრაციისა და ზე-მაღალი სიდიდის ინტეგრალური სქემების შესაქმნელად. მაღალი ინფორმაციუ-



ლი ტევადობის დიდი ინტეგრალური სქემების შესაქმნელად, პერსპექტიულ ელემენტურ ბაზას წარმოადგენენ ხელსაწყოები პლაზმური კავშირით და მათი ელექტრული ანალოგები.

ELECTROTECHNICS

M. Sh. SURGULADZE, E. P. DERBAKOVA, I. P. MAKAROV, V. I. NIKISHIN,
U. N. SUBBOTIN, G. I. FURSIN

SOME QUESTIONS OF PRODUCING A NEW GENERATION OF SFIC AND SHIC

Summary

In spite of the high dynamic characteristics of semiconductor devices based on the compound type A_3B_5 , and particularly on gallium arsenide, silicon—owing to its high adaptability to manufacture—remains the most prospective material for producing superfast integrated circuits (SFIC) and superhigh integrated circuits (SHIC). Devices with plasma coupling and their electric analogues constitute the prospective element base for producing SHIC with a high information capacity.

ლიტერატურა — ЛИТЕРАТУРА — REFERENCES

1. P. H. Yeung, W. C. Ko. IEEE Trans, ED-30, № 6, 1983.
2. G. I. Fursin. Electronics Letters, 16, № 17, 1980.
3. S. Konaka, Y. Yamamoto, T. Sakai. Extend Abstracts of the 16th (1984 International) Conference on Solid State Devices and Materials, Kobe, 1984.
4. H. Ichino, M. Suzuki, K. Hagimoto, S. Konaka. Extend Abstracts of the 16th (1984 International) Conference on Solid State Devices and Materials, Kobe, 1984.
5. Ю. М. Клименко, Ю. Н. Субботин, Г. И. Фурсин. Радиотехника и электроника, 28, № 9, 1983.

АВТОМАТИЧЕСКОЕ УПРАВЛЕНИЕ И ВЫЧИСЛИТ. ТЕХНИКА

В. В. МДЗИНАРИШВИЛИ

ОЦЕНКА ПАРАМЕТРОВ В ПОЛНОСТЬЮ НАБЛЮДАЕМЫХ НЕЛИНЕЙНЫХ СТОХАСТИЧЕСКИХ СИСТЕМАХ УПРАВЛЕНИЯ

(Представлено академиком В. К. Чичинадзе 19.9.1984)

В работе [1] был дан общий метод решения уравнения Фоккера—Планка—Колмогорова. В настоящей работе на основе концепции, разработанной в [1], дается один эффективный алгоритм оценки параметров в замкнутых нелинейных стохастических системах управления.

Стохастическая система управления с неизвестными параметрами $a(x,t)$ и $b(x,t)$ задана стохастическим дифференциальным уравнением

$$dx = f(x, t, a) dt + q(x, t, b) d\chi, \quad (1)$$

где $x(0) = x_0$ — заданное начальное состояние; x — скалярный марковский процесс; $f(\cdot, t, \cdot)$, $q(\cdot, t, \cdot)$ — непрерывные нелинейные преобразования от без элементов памяти; χ — стандартный винеровский процесс.

Оцениваемые параметры представимы в виде степенных рядов

$$a(x, t) = \sum_{i=0}^B a_i(t) x^i, \quad b(x, t) = \sum_{i=0}^B b_i(t) x^i \quad (2)$$

с коэффициентами $a_i(t)$ и $b_i(t)$, подлежащими определению. Критерием оптимальности оценки неизвестных параметров, определяющим степень отклонения оцениваемых параметров от их действительных значений, служит функционал

$$I = E \left\{ \int_0^T F(x, t, a(x, t), b(x, t)) dt \right\} = \text{extremum}, \quad (3)$$

где F — выпуклая функция; E — оператор математического ожидания; $[0, T]$ — временной интервал, на котором происходит оценка параметров.

Функция плотности вероятности $P(x, t)$ процесса x удовлетворяет уравнению диффузии

$$\frac{\partial P}{\partial t} = - \frac{\partial (f P)}{\partial x} + \frac{1}{2} \cdot \frac{\partial^2 (q^2 P)}{\partial x^2}, \quad (4)$$

где $P(x, 0) = \delta(x - x_0)$ — функция Дирака.

В дальнейшем будем полагать, что коэффициенты скоса и диффузии уравнения (4) представимы в виде рядов

$$f(x, t, a) = \sum_{i=0}^B [\alpha_i(t) x^i + \beta_i a^i], \quad (5)$$

$$q^2(x, t, b) = \sum_{i=0}^B [\gamma_i(t) x^i + \eta_i b^i]. \quad (6)$$

Подставим значения параметров a и b , определенных согласно (2), в выражения (5) и (6). Тогда получим

$$f(x, t, a) = \sum_{i=0}^B \left[\alpha_i(t) x^i + \sum_{v_1, v_2, \dots, v_i=0}^B \beta_i M_{v_1 v_2 \dots v_i} x^{N_i} \right], \quad (7)$$

$$q^2(x, t, b) = \sum_{i=0}^B \left[\gamma_i(t) x^i + \sum_{v_1, v_2 \dots v_i=0}^B \eta_i M'_{v_1 v_2 \dots v_i} x^{N_i} \right], \quad (8)$$

где $M_{v_1, v_2, \dots, v_i} = a_{v_1} a_{v_2} \dots a_{v_i}$; $M'_{v_1, v_2, \dots, v_i} = b_{v_1} b_{v_2} \dots b_{v_i}$;

$$N = v_1 + v_2 + \dots + v_i.$$

Произведем аппроксимацию функции плотности, удовлетворяющей уравнению (4) ортогональными полиномами Эрмита H :

$$P(x, t) = \sum_{i=1}^{\infty} C_i(t) \Psi_i(x, \sigma), \quad (9)$$

$$\Psi_i(x, \sigma) = \frac{d^i}{dx^i} \Psi(x; \sigma) = \sigma^{-i} H_i \left(\frac{x}{\sigma} \right) \Psi(x; \sigma),$$

$$\Psi(x; \sigma) = \sigma^{-1} \exp \left(\frac{-x^2}{2 \sigma^2} \right),$$

$$C_i(t) = \frac{(-\sigma)^t}{\sqrt{2\pi} i!} \int_{-\infty}^{\infty} P(x, t) H_i \left(\frac{x}{\sigma} \right) dx. \quad (10)$$

Предполагается, что для функции плотности выполняется условие сходимости

$$\int_{-\infty}^{\infty} P(x, t) \exp \left(\frac{x^2}{3\sigma^2} \right) dx < \infty.$$

Для получения основного результата обратимся к свойствам полиномов Эрмита и непрерывных марковских процессов.

Введем обозначение

$$K_t(x) = \frac{(-1)^t}{\sqrt{2\pi} i!} H_t(x). \quad (11)$$

Тогда имеют место следующие рекуррентные соотношения:

$$x K_t = -(i+1) K_{t+1} - K_{t-1},$$

$$\frac{d}{dx} K_t = -K_{t-1}. \quad (12)$$

Использование соотношения (11) в раз подряд даст

$$x^v K_t = \sum_{l=-v}^v \Delta_l^v(i) K_{t+l}, \quad (13)$$

где $\Delta_l^v(i) = \begin{cases} -(i+l)\Delta_{l-1}^{v-1}(i) - \Delta_{l+1}^{v-1}(i) & \text{при } |l| \leq v \\ 0 & \text{когда } v+l \text{ нечетно, или } |l| > v \text{ либо } i < 0 \\ 1 & \text{когда } l = v = 0. \end{cases}$

С учетом выражения (10) можем записать соотношение

$$C_i(t) = E\{K_{it}\}.$$

Для функции $K_t(x)$ случайного марковского процесса x справедлива формула Дынкина

$$E\{K_t(x(t))\} - K_t(x(0)) = \int_0^t A K_t(x(\tau)) d\tau, \quad (15)$$

где $A(\cdot) = f \frac{\partial(\cdot)}{\partial x} + \frac{1}{2} q^2 \frac{\partial^2(\cdot)}{\partial x^2}$ — инфинитезимальный оператор.

Возьмем производную от обеих частей равенства (15). Тогда с учетом (10) будем иметь

$$\dot{C}_i(t) = E \left[\frac{1}{2} q^2 K_{i-2} - f K_{i-1} \right]. \quad (16)$$

Подстановка значений коэффициентов сноса и диффузии, определенных согласно (7) и (8) в уравнение (16) с учетом равенств (13) и (14) приводит к уравнению

$$\begin{aligned} \dot{C}_r &= \frac{1}{2} \sum_{i=0}^B \sum_{l=-i}^i \gamma_l(t) \Delta_l^i(r-2) C_{r-2+l} + \frac{1}{2} \sum_{i=0}^B \sum_{\gamma_1, \dots, \gamma_i=0}^B \sum_{l=-N_i}^{N_i} \eta_i \times \\ &\times M_{\gamma_1 \dots \gamma_i} \Delta_l^{N_i}(r-2) C_{r-2+l} - \sum_{i=0}^B \sum_{l=-i}^i \alpha_i(t) \Delta_l^i(r-1) C_{r-1+l} - \\ &- \sum_{i=0}^B \sum_{\gamma_1, \dots, \gamma_i=0}^B \sum_{l=-N_i}^{N_i} \beta M_{\gamma_1 \dots \gamma_i} \Delta_l^{N_i}(r-1) C_{r-1+l}, \end{aligned}$$

где $r = 0, 1, \dots$, $C_{-r} = 0$ при $r > 0$.

Система уравнений (16) должна решаться с начальным условием

$$C_r(0) = \frac{(-1)^r}{\sqrt{2\pi r!}} H_r(x_0). \quad (17)$$

Критерий оптимальности (3) после подстановки в него значений параметров $a(x,t)$ и $b(x,t)$, определенных согласно (2), а также с учетом выражений (13) и (14) преобразуется к виду

$$I = \int_0^T F^*(a_1(t), \dots, a_B(t), b_1(t), \dots, b_B(t), C_1, \dots, C_r) dt, \quad (18)$$

где F^* — функция, относящаяся к тому же классу, что и функция $F(\cdot)$.

Решение системы (16), (17) при критерии (18) известными методами поиска экстремума позволит оценить численные значения ис-комых параметров

$$a_i(t) \text{ и } b_i(t) \quad (i = 1, 2, \dots).$$

Полученные в настоящей работе результаты могут быть обобщены на многомерный случай.

НИИ Автоматизации
производственных процессов
в промышленности
г. Гори

(Поступило 21.9.1984)

ავტომატური მართვა და გამოთვლითი ტექნიკა

3. მინარიზოლი

პარამეტრების უცვალება მთლიანად დაკვირვებად არაზრდის
სტრუქტურ მართვის სისტემებში

რეზიუმე

მოცემულია პარამეტრების შეფასების მეთოდი მთლიანად დაკვირვებად არაზრდის სტრუქტურ მართვის სისტემებში.

AUTOMATIC CONTROL AND COMPUTER ENGINEERING

V. V. MDZINARISHVILI

ON THE SOLUTION OF A POSTERIORI DENSITY EQUATIONS OF PARTIALLY OBSERVABLE STOCHASTIC CONTROL SYSTEMS

Summary

The author has developed an approximate method of estimating the function of conditional density, satisfying the equation of the posteriori density of stochastic systems of control. The results obtained permit to reduce the solution of the equation of a posteriori density to a system of linear algebraic equations written with respect to the coefficient of density expansion according to Hermite polynomials.

ლიტერატურა — ЛИТЕРАТУРА — REFERENCES

1. В. В. Мдзинаришвили, Г. У. Тавадзе. Сообщения АН ГССР, 90, № 2, 1978, 137—140.

АВТОМАТИЧЕСКОЕ УПРАВЛЕНИЕ И ВЫЧИСЛИТ. ТЕХНИКА

И. А. ГОРГИДЗЕ

СОГЛАСОВАННОЕ УПРАВЛЕНИЕ В БИНАРНЫХ АКТИВНЫХ СИСТЕМАХ

(Представлено академиком И. В. Прангвили 12.1.1985)

Бинарной активной системой (БАС) будем называть двухуровневую активную систему, состоящую из двух Центров (\mathbb{C}^1 и \mathbb{C}^2) и множества $I = \{i=1, 2, \dots, n\}$ активных элементов. Состояние y_i i -го АЭ есть $y_i = (y_i^1, y_i^2)$, где y_i —компоненты состояния, учитываемые первым Центром, y_i^2 —вторым Центром. Множество v_i возможных состояний i -го АЭ представим в различных формах.

Обозначим $v_i^1(v_i^2)$ проекцию v_i на подпространство $y_i^1(y_i^2)$, то есть

$$v_i^1 = \{y_i^1 | \exists y_i^2 : (y_i^1, y_i^2) \in v_i\},$$

$$v_i^2 = \{y_i^2 \mid \exists y_i^1 : (y_i^1, y_i^2) \in v_i\}.$$

Обозначим

$$v_i^{-1}(y_i^2) = \{y_i^{-1} | (y_i^{-1}, y_i^2) \in v_i\},$$

$$v_i^{-2}(y_i^{-1}) = \{y_i^{-2} | (y_i^{-1}, y_i^{-2}) \in v_i\}$$

Каждый Центр устанавливает для АЭ планы π_i^1, π_i^2 по некоторому подмножеству компонент. Эффективность функционирования БАС определяется двумя целевыми функциями: целевая функция первого Центра— $\Phi^1(\pi^1, y^1)$, целевая функция второго Центра— $\Phi^2(\pi^2, y^2)$.

Задачу построения оптимального механизма функционирования в БАС можно рассматривать как особого рода задачу векторной оптимизации и некоторую метаигру двух Центров, стратегиями которых являются выбор механизмов функционирования Σ_1 и Σ_2 , функциями выигрыша — целевые функции Φ^1 и Φ^2 .

Целевые функции элементов БАС имеют вид

$$f_t(\pi_t, y_t) = q_t [f_i^1(\pi_t^1, y_t^1); f_i^2(\pi_t^2, y_t^2)]$$

где $f_t^1(\pi_i^1, y_t^1)$, $f_t^2(\pi_i^2, y_t^2)$ —функции стимулирования первого и второго Центров; q_t —возрастающая по f_t^1 и f_t^2 функция свертки.

При процедуре формирования данных в БАС возможен обмен информацией между Центрами. В БАС вводится понятие механизма взаимодействия Центров (МВЦ) \sum^{B_3} . Центры не могут устанавливать друг другу планы, но координируют свои действия. Механизм функционирования БАС представляет собой $\Sigma = (\Sigma^1, \Sigma^2, \Sigma^{B_3})$, где

$$\sum^1 = (W^1, \pi^1); \quad \sum^2 = (W^2, \pi^2).$$

$$W^1 = \{f_t^{-1}(\pi_i^{-1}, y_t^{-2})\}, \quad W^2 = \{f_t^{-2}(\pi_i^{-2}, y_t^{-2})\}$$

При этом механизм Σ^1 устанавливается первым Центром, механизм Σ^2 вторым, Σ^3 устанавливается в результате взаимной договоренности между первым и вторым Центром.

Пусть Центры полностью информированы о моделях элементов, т. е. о множестве V возможных состояний. Тогда при выбранных механизмах Σ^1 и Σ^2 каждый Центр может предсказать множество состояний, которому будет принадлежать выбор элементов при принятых гипотезах об их поведении. Примем, что оба Центра придерживаются гипотезы независимого поведения элементов, согласно которому выби-раемое состояние \widehat{y}_i i -го элемента принадлежит множеству

$$\widehat{y}_i \in P_i(\pi_i) = \arg \max f_i(\pi_i, y_i).$$

Обозначая

$$P(\pi) = \prod_i P_i(\pi_i), \quad P = \bigcup_{\pi \in D} P(\pi).$$

$$P_i^1(\pi_i) = \{\widehat{y}_i^1 | \exists \widehat{y}_i^2 : (\widehat{y}_i^1, \widehat{y}_i^2) \in P_i(\pi_i)\},$$

$$P_i^2(\pi_i) = \{\widehat{y}_i^2 | \exists \widehat{y}_i^1 : (\widehat{y}_i^1, \widehat{y}_i^2) \in P_i(\pi_i)\},$$

$$P^1(\pi) = \prod_{i \in I} P_i^1(\pi), \quad P^2(\pi) = \prod_{i \in I} P_i^2(\pi),$$

гарантированный результат первого Центра при плане составит

$$\psi^1(\pi) = \min_{y^1 \in P^1(\pi)} \Phi^1(\pi^1, y^1),$$

второго—

$$\psi^2(\pi) = \min_{y^2 \in P^2(\pi)} \Phi^2(\pi^2, y^2).$$

Как и для активных систем с одним Центром, введем понятие совершенно согласованных планов

$$S = \prod_{i \in I} S_i,$$

где

$$S_i = \{\pi_i | \max_{y_i \in v_i} f_i(\pi_i, y_i) = f_i(\pi_i, \pi_i)\}.$$

Понятие правильных механизмов функционирования естественным образом обобщается на БАС.

Определение. Механизм функционирования БАС называется правильным (x -согласованным), если $\widehat{y} = \pi$. Условия правильности механизма функционирования при гипотезе благожелательного отношения элементов к плану имеют вид $\pi \in S$

Теорема. Пусть система стимулирования $W = \{q_i(f_i^1, f_i^2)\}$ является максимально согласованной, т. е. $S = PCD$. Тогда для любого механизма найдется правильный механизм наименьшей эффективности.

Следствие. Для любого механизма найдется правильный Парето-оптимальный механизм неменьшей эффективности.

Тбилисский филиал
МНУЦ СНПО «Алгоритм»

(Поступило 15.11.1985)

ი. გორგიძე

შეთანხმებული მართვა გინარულ აქტიურ სისტემებში

რეზიუმე

განსაზღვრულია ბინარული აქტიური სისტემის ცნება და მოცემულია ამ სისტემის მექანიზმის ფუნქციონირების სინთეზის ამოცანა როგორც ცენტრებს შორის თამაშის ამოხსნის განსაზღვრა.

დამტკიცებულია ბინარული აქტიური სისტემის შეთანხმებული მექანიზმების ოპტიმალობის თეორემა.

AUTOMATIC CONTROL AND COMPUTER ENGINEERING

I. A. GORGIDZE

COORDINATED MANAGEMENT IN BINARY ACTIVE SYSTEMS

Summary

The concept of a binary active system is defined and the problem of synthesis of the functioning of the mechanism of this system is given as a definition of the solution of a game between its centres. An optimality theorem of the coordinated mechanisms of the binary active system is proved.

ლიტერატურა — ЛИТЕРАТУРА — REFERENCES

1. В. Н. Бурков. Основы математической теории активных систем. М., 1977.
2. И. А. Горгидзе. Совершенствование планирования в активных системах. Тбилиси, 1985.
3. В. Н. Бурков, В. В. Кондратьев. Механизмы функционирования организационных систем. М., 1981.

БОТАНИКА

Дж. Н. АНЕЛИ

СПОСОБ ВЫЯВЛЕНИЯ МИКРОЖИЛОК ЛИСТА

(Представлено членом-корреспондентом Академии Г. Ш. Науццишвили 15.5.1984)

Известно много способов для получения четкого изображения крупных жилок листьев: простой и быстрый метод получения отпечатков листьев копировальной бумагой [1], топография листа на фильтровальной бумаге [2], рентгенографический метод [3], фотографирование листьев с проявлением вираж-факсажем [4]. Используется также способ выявления жилок листа для диагностики растений, включающий химическую обработку листа [5].

Предложенные ранее многими авторами методы выявления жилок листьев результативны преимущественно у древесных растений, при этом достигается хорошая видимость только макро жилок (жилок 1—3-го порядков). Что касается микро жилок (4—5-го и т. д. порядков), то при применении вышеуказанных способов они не видны, нечетко выражены или полностью разрушаются.

Микро жилкование является одним из важных признаков в диагностике растений [6—10], однако, отмечая это, авторы не предлагают способов выявления микро жилок листьев в нативном (натуральном) виде.

Задачей настоящего исследования была разработка способа выявления микро жилок листьев с целью использования их топографии как дополнительного признака при диагностике растений.

Метод выявления микро жилок: проводят химическую обработку листа или его части путем кипячения в смеси глицерина, соляной кислоты и 96°-ного этилового спирта. Затем лист промывают горячей водой и помещают в чистый глицерин. Глицерин, соляную кислоту и этиловый спирт вводят в состав в следующих соотношениях: глицерин—15—20%, соляная кислота—35—20%, этиловый спирт 50—60% [11]. Свежий или сухой лист (или его часть) помещают в чашки Петри в указанную выше смесь. Соотношение компонентов зависит от толщины и плотности листа и может колебаться от 1:2:3 до 1:1:4. Первое соотношение можно рекомендовать преимущественно для плотных, кожистых листьев, второе — для тонких, нежных листьев. В том случае, если изучают только микро жилкование, берут участок в середине листовой пластинки размером 1—2 см². Если кусочек листа всплывает, то его следует погрузить стеклянной палочкой обратно в смесь. Кипячение продолжают в течение 2—10 мин в зависимости от консистенции листа, после чего его промывают горячей водой и помещают в чистый глицерин под покровное стекло.

В некоторых случаях для получения более ясной картины сети жилок, особенно в жестких и кожистых листьях, кусочек листа после кипячения и промывки в воде помещают в бытовой холодильник (объект в чашке Петри с водой). Через 1—2 дня лист оттаивают и с помощью пинцета или мягкой кисточки осторожно, легко снимают верхнюю эпидерму (даже с целого листа). Мезофил легко удаляется мягкой кисточкой, и остается сеть жилок в чистом виде (рис. 1, а) с нижней эпидермой. Если листья более плотной консистенции, можно легко удалить и нижнюю эпидерму — остается только сеть жилок в натив-



ном виде. Последнюю необходимо несколько уплотнить 96%-ным этиловым спиртом, после чего ее переносят на предметное стекло в чистый глицерин и покрывают покровным стеклом (рис. 1, б). В неко-

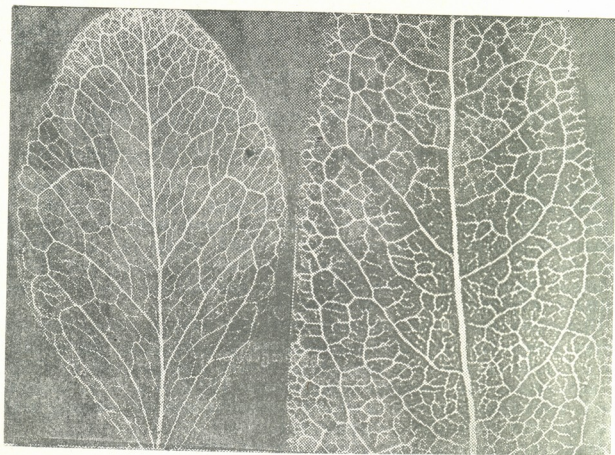


Рис. 1. а—*Lathyrus roseus* ($\times 6$). б—*Dictamnus caucasicus* ($\times 10$)

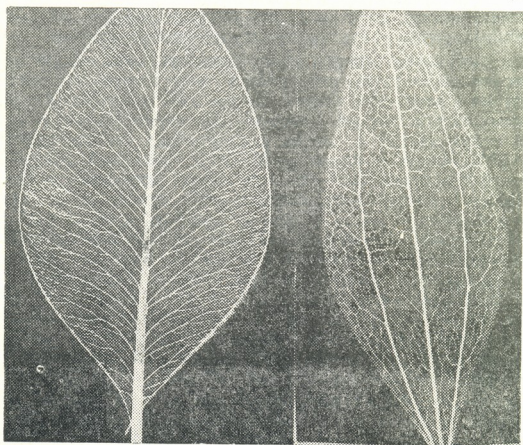


Рис. 2. а—*Buxus colchica* ($\times 7$); б—*Galium rotundifolium* ($\times 6$)

торых случаях препараты можно окрашивать 5—10%-ным флороглюцином (в этиловом спирте) с добавлением нескольких капель концентрированной соляной кислоты [12].

Кипячение листьев или их кусочков в смеси глицерин-солянной кислота-этиловый спирт в соотношении 1:2:3, 1:1:4 обесцвечивает их, и проявляется четкая сеть жилок, включая мелкие жилки 4—5-го и далее порядков. Способ применим для сухих и свежих, тонких и толстых, а также плотных, кожистых листьев.

Просмотр препарата осуществляется стереоскопическими или другими микроскопами при малом увеличении (от 5 до 30*). Сеть макро- и микрожилок репродуцируется при помощи проекционных аппаратов для зарисовок. С помощью предложенного нами фотоувеличителя можно получать фотографии на фотопленке или прямо на фотобумаге [13].

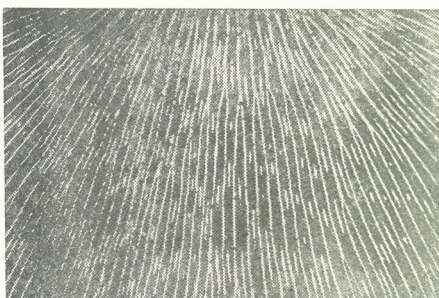


Рис. 3. а—*Ginkgo biloba* (x 10); б—*Buxus colchica* x 20,
в—*Digitalis ciliata* (x 20)

При использовании описанного способа сеть микрожилок не повреждается и получаются точные картины как в нативном виде, так и при увеличении. Этим способом получены отчетливые изображения микрожилок более 100 видов растений, в том числе *Buxus colchica* (рис. 2, а, 3, б), *Galium rotundifolium* (рис. 2, б), *Ginkgo biloba* (рис. 3, а), *Digitalis ciliata* (рис. 3, в).

Предложенным способом легко достигается четкое выявление деталей микрожилок листьев, над препаратами успешно можно производить измерительно-вычислительные манипуляции с целью установления контрольных видовых признаков для каждого растения. Для этого достаточно 5 мм^2 площади листовой пластиинки [14].



Все это дает возможность даже при наличии небольшого куска листовой пластинки проводить идентификацию растительного сырья (обнаруживать фальсификацию).

Академия наук Грузинской ССР

Институт фармакохимии
им. И. Г. Кутателадзе

(Поступило 18.5.1984)

გოთაცის

ქ. ანელი

ფოთოლუმი მიკროძარღვების გამოჩენის მეთოდი

რეზიუმე

შემუშავებულია ფოთოლუმი მიკროძარღვების გამოჩენის ქიმიური მეთოდი. ფოთოლს ადულებებ გლიცერინის, კონცენტ. მარილმჟავისა და 96°-იანი ეთილის სპირტის ნარევში.

გლიცერინის, მარილმჟავის და ეთილის სპირტის შეფარდება განისაზღვრება 1:2:3 და 1:1:4-ით.

BOTANY

D. N. ANELI

A TECHNIQUE FOR IDENTIFYING LEAF MICRONERVES

Summary

A chemical technique of identifying leaf nerves is proposed. The leaf is treated by boiling in a mixture of glycerine, hydrochloric acid, and ethyl alcohol; then it is washed in hot water and immersed in pure glycerine. The correlation of components depends on the leaf thickness and density, and may range from 1:2:3 to 1:1:4.

ლიტერატურა — REFERENCES

1. А. И. Полякова. Природа, № 11, 1961.
2. Ж. А. Медведев. Бот. ж., т. 43, № 1, 1958.
3. Э. И. Слепян, А. Н. Кишковский. Бот. ж., 45, № 5, 1960.
4. Э. Вольф и Н. Палибин. Определитель деревьев и кустарников Европейской России, Крыма и Кавказа по листьям и цветам. СПб, 1904.
5. I. A. Mountop. Bill. Soc. Bot., 119, № 9, 1972.
6. Дж. Н. Анели. Биологически активные вещества флоры Грузии, сер. I, вып. 10. Тбилиси, 1967.
7. Н. А. Анели. Автореферат докт. дисс. Тбилиси, 1961.
8. А. Я. Штромберг. Биологически активные вещества флоры Грузии, сер. I, вып. 10. Тбилиси, 1967.
9. Н. А. Анели. Тез. III Респ. науч.-мед. конф. Тбилиси, 1969.
10. Дж. Н. Анели. Тез. 15-й науч. конф. Ин-та фармакохимии АН ГССР. Тбилиси, 1971.
11. Дж. Н. Анели. Авт. свид. № 575066. Способ выявления жилок листа. 14. 6. 1977.
12. Л. И. Джапаридзе. Практикум по микроскопической химии растений. М., 1953.
13. Дж. Н. Анели. Удостоверение на рац. предложение, № 1, 16. 3. 1982.
14. Н. А. Анели, Дж. Н. Анели. Биологически активные вещества флоры Грузии, сер. I, вып. 13. Тбилиси, 1976.

Э. Я. КОБАСНИДЗЕ, Г. Е. ГВАЛАДЗЕ

К ИЗУЧЕНИЮ ЭНДОСПЕРМА СМОРОДИНЫ

(Представлено членом-корреспондентом Академии Г. Ш. Науццишивили 16.5.1984)

В эмбриологической литературе семейства крыжовниковых относительно эндоспермогенеза у исследователей нет единого мнения. Мазуритсон [1] указывает, что у рода *Ribes* существуют разные типы эндосперма. В частности, по его данным, у смородины черной эндосперм гелобиального типа. Вместе с тем, плохая фиксация материала не дала ему возможности с полной достоверностью установить тип развития эндосперма у *Ribes nigrum*. Для данного вида некоторые исследователи [2—4] отмечают нуклеарный тип эндосперма. Нуклеарный же тип описан и у *Ribes pallidum* и *Ribes odoratum* [5, 6]. А. Я. Радионенко [7, 8] у смородины черной наблюдал клеточный тип эндосперма. Клеточный тип эндосперма отмечен у *Ribes rubrum* [9]. Согласно исследованиям В. Ю. Мандрик [10], начальное развитие эндосперма смородины черной осуществляется по гелобиальному типу, дальнейшее же развитие идет по клеточному типу.

Нами были изучены последовательные фазы развития эндосперма у различных сортов смородины, произрастающих в условиях Бакуриани (1750 м н. у. м.).

Деление первичного ядра эндосперма опережает деление зиготы. Согласно литературным данным, у смородины после оплодотворения вторичное ядро опускается в халазальную часть зародышевого мешка [3, 10]. Однако наши исследования показали, что халазальное положение первичного ядра эндосперма не является обязательным. Его деление наблюдалось нами как в центре зародышевого мешка, так и непосредственно под яйцевым аппаратом. Нам кажется, что в ряде случаев положение первичного ядра эндосперма определяется степенью развития подиума и степенью его продвинутости в полость зародышевого мешка, так как первичное ядро эндосперма располагается в непосредственной близости к этой структуре.

Полученные нами результаты указывают, что у изученных растений развитие эндосперма идет по двум типам — клеточному и гелобиальному.

Развитие эндосперма по клеточному типу сопровождается образованием клеточных перегородок как при первом, так и при последующих делениях. На рис. 1—3 представлены последовательные стадии образования первых двух клеток эндосперма. Уже первые деления эндоспермальных клеток могут проходить асинхронно (рис. 4, 5). Клетки эндосперма имеют своеобразную луцистую вакуолизацию (рис. 3, 5, 7—9). Большие ядра эндосперма содержат крупные ядрышки, которые сильно вакуолизированы, чаще имеют несколько вакуолек, реже — одну большую. На рис. 7—9 показаны зародышевые мешки, в которых заложение клеточных перегородок шло различным образом.

В наших исследованиях гелобиального эндосперма у изученных



объектов выявлено, что первое деление первичного ядра эндосперма, как правило, сопровождается заложением клеточной перегородки с образованием двух камер, из которых микропилярная несколько больше, чем халазальная (рис. 6).

Пальм [11] различал две формы гелобиального эндосперма: особенностью первой является образование первичной настоящей клеточной перегородки между дочерними ядрами, для второй характерно только плазматическое размежевание ядер. Обе формы могут встречаться у одного и того же вида. Именно такие картины встречали мы на наших препаратах.

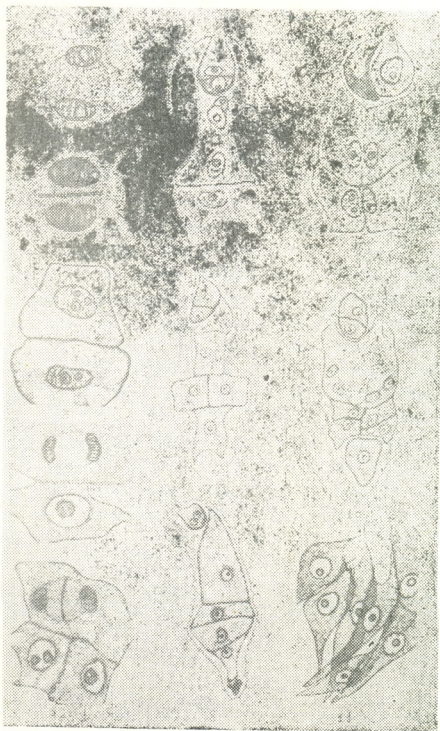


Рис. 1

В тех случаях, когда деление первичного ядра эндосперма было отмечено в непосредственной близости от яйцеклетки, халазальная камера оказывалась крупнее микропилярной. В микропилярной камере до возникновения клеточной перегородки образуются 4—8 свободных ядер (рис. 10). С формированием клеток в микропилярной камере число их в последующем возрастает за счет клеточных делений. Поскольку для изученных нами растений характерно клеткообразование

и в халазальной камере, то в конце концов сложно бывает различить части эндосперма, происшедшие из микропилярной и халазальной камер.

Клетки халазальной камеры обладают характерной структурой и формой. Это вытянутые, треугольные клетки, острый конец которых заполнен густой цитоплазмой, а расширенная часть вакуолизирована (рис. 11). Ядра клеток халазального эндосперма крупнее ядер эндосперма средней и верхней частей полости зародышевого мешка. Мы, вслед за В. Ю. Мандрик [10], своеобразные клетки эндосперма халазальной части называем гаусториальными с тем большим основанием, что нами отмечена гаусториальная клетка, внедрившаяся в ткань основания зародышевого мешка.

Относительно филогенетической оценки типов эндосперма высказывались самые различные мнения [12—14]. Большинство исследователей, считая более примитивным нуклеарный тип эндосперма, базируются на сходстве особенностей развития эндосперма покрытосеменных с женским заростком голосеменных и его наличии у ряда семейств, занимающих более низкое положение в системе. Некоторые авторы нуклеарный эндосперм, наоборот, считают производным. Основанием этой точки зрения служит эфемерное заложение у некоторых видов клеточных перегородок между свободными ядрами нуклеарного эндосперма еще до клеточной стадии, а также наличие целлюлярного типа эндосперма у ряда семейств, обладающих признаками низкой организации. Часть исследователей [11, 15], обсуждая вопрос о филогенетической оценке типов эндосперма, считают, что нет оснований для суждения о примитивности того или иного типа эндосперма. Эти типы должны рассматриваться как равноценные исходные типы, развитие которых могло происходить в разных направлениях у различных групп растений.

Как отмечалось, у изученных нами растений развитие эндосперма протекает по двум типам. Вместе с тем, гелобиальный и клеточный типы эндосперма мы наблюдали не только в пределах одного и того же вида, но и одного растения, что исключает возможность говорить об эволюционной продвинутости какого-либо из этих типов эндоспермогенеза.

Академия наук Грузинской ССР

Центральный ботанический сад

Институт ботаники
им. Н. Н. Кецховели

(Поступило 22.6.1984)

გოთანიძე

ი. პობასებიძე, გ. ლვალაძე

მოცხარის ენდოსერმის ზეჭავლისათვის

რეზიუმე

ბაქურიანის პირობებში შევისწავლეთ მოცხარის სხვადასხვა ჯიშის ენდოსერმოგენეზის თანმიმდევრული ფაზები. დაკადგინეთ ენდოსპერმის ორი ტიპი — ცელულარული და ჰელობიური. აღნიშნული ტიპები გვხვდება არა მარტო ერთი ჯიშის, არამედ ერთი მცენარის ფარგლებში.

E. I. KOBASNIDZE, G. E. GVALADZE

STUDY OF THE ENDOSPERM OF THE CURRANT

Summary

The endosperm genesis of the consecutive phases of different varieties of currant was investigated in conditions of Bakuriani. Two types of endosperm were established: cellular and helobial. These types are found not only within a single species but even within a single plant.

ЛІТЕРАТУРА — REFERENCES

1. J. Mauritzen. Studien über Embryologie der Familien Crassulaceae und Saxifragaceae. Lund, 1933.
2. А. С. Афанасьева. Труды Ин-та генетики, 31. М., 1964, 195—211.
3. А. Ф. Попова. Автореферат канд. дисс. Киев, 1970, 24.
4. Н. Л. Березенко, В. А. Лиферова. Укр. бот. ж., 27, № 3, 1970, 318—324.
5. X. Himmelbaur. Einige Abschnitte aus der Zebengeschichte von *Ribes pallidum*. Hamburg, Anstatt., 1911.
6. Е. В. Великанова. Сб. «Селекция плодово-ягодных культур». М., 1937.
7. А. Я. Радионенко. Цитология и генетика, 3, № 1, 1969.
8. А. Я. Радионенко. Бот. 55, № 6, 1970.
9. K. Schnäglf. Embryologie der Angiospermen. Berlin, 1927/1929, 417.
10. В. Ю. Майдрик. Бот. ж., 57, № 2, 1972.
11. S. T. Palm. Studien über Konstruktions typen und Entwicklungswege das Embryosackes der Angiospermen. Stockholm, 1915.
12. П. Матешвари. Эмбриология покрытосеменных. М.—Л., 1954.
13. Я. С. Модилевский. Эмбриология покрытосеменных растений. Киев, 1953, 224.
14. В. А. Поддубная-Арнольди. Цитоэмбриология покрытосеменных растений. М., 1976, 507.
15. Е. Л. Кордюм. Эволюционная цитоэмбриология покрытосеменных растений. Киев, 1978, 215.

БОТАНИКА

Л. К. РАДЧЕНКО, З. Д. МАНДЖАВИДЗЕ

ДИНАМИКА НЕКОТОРЫХ ПОКАЗАТЕЛЕЙ ВОДНОГО РЕЖИМА
ДРЕВЕСНЫХ РЕЛИКТОВ ТАЛЫША, ИНТРОДУЦИРОВАННЫХ
В ТБИЛИССКОМ БОТАНИЧЕСКОМ САДУ

(Представлено членом-корреспондентом Академии Г. Ш. Науццишвили 13.9.1984)

Третичные древесные реликты Талыша (АзССР) характеризуются исключительной декоративностью и высокими хозяйственными показателями. Для широкого внедрения в зеленое строительство г. Тбилиси и его окрестностей особое значение придается исследованию их водного режима, так как вода является основным лимитирующим фактором роста и развития интродукентов в жестких условиях сухого климата Восточной Грузии.

Наблюдения проводились на протяжении периода вегетации 1983 г. в условиях Тбилисского ботанического сада. Объектами исследования были: железное дерево (*Parrotia persica* C. A. M.), ленкоранская акация (*Albizzia julibrissin* Durazz), дуб каштанолистный (*Quercus castaneifolia* C. A. M.) и дзелька (*Zelkova carpinifolia* (Pall.) Dipp.). В качестве контроля был взят ксерофит каркас кавказский (*Celtis caucasica* Willd.). Данные виды произрастали на почвах средней мощности, в ложбине северной экспозиции, в условиях крайне редкого полива. Ленкоранская акация (условно обозначенная нами знаком «а») изучалась и в условиях постоянного полива, на почвах средней мощности северного склона.

Изучались следующие показатели водного режима: общее содержание воды в листьях, интенсивность транспирации и сосущая сила.

Степень оводненности листьев является одним из наиболее существенных показателей водного режима. Изменения оводненности

Таблица 1
Динамика оводненности листьев на протяжении периода вегетации, %
от сырого веса

Растения	26.V	23.VI	13.VII	18.VIII	26.IX	11.X
<i>Albizzia julibrissin</i> «а»	75,1	73,2	66,3	65,5	61,8	62,9
<i>Albizzia julibrissin</i>	75,5	70,2	63,8	60,4	57,0	61,5
<i>Parrotia persica</i>	57,6	52,5	52,6	49,5	46,1	51,7
<i>Zelkova carpinifolia</i>	56,8	53,9	50,9	48,4	45,8	48,9
<i>Quercus castaneifolia</i>	51,0	50,4	48,6	47,8	46,8	48,1
<i>Celtis caucasica</i>	61,7	55,9	54,0	49,2	45,4	50,2

листьев у всех изученных нами растений характеризуются одним общим признаком: в начале своего развития растения содержат наибольшее количество воды, которое по мере старения листьев посте-

пенно снижается (табл. 1). Однако к концу вегетации, в октябре, оводненность листьев повышается. Подобное явление можно объяснить усиленным сбрасыванием листьев в этом периоде, в результате чего на деревьях остаются сравнительно свежие листья, что и ведет к повышению оводненности.

Наибольшей оводненностью листьев характеризуется ленкоранская акация. Оводненность у каркаса кавказского значительно меньше, чем у ленкоранской акации, однако несколько больше, чем у остальных растений. По уменьшению среднегодовых показателей оводненности листьев исследованные нами реликты Талыша располагаются в следующем порядке: ленкоранская акация «а» → ленкоранская акация → железное дерево → дзелька → дуб каштанолистный.

Следует отметить, что подобное расположение указанных растений по уменьшению оводненности листьев отмечено и в условиях Бакинского ботанического сада [1], хотя оводненность листьев растений там сравнительно выше, чем в Тбилисском ботаническом саду. Это, по нашему мнению, вызвано условиями произрастания и возрастным фактором: в Бакинском ботаническом саду изучались 3—8-летние растения в условиях систематического полива, тогда как объектами наших исследований были растения средней возрастной группы в условиях редкого полива.

Таблица 2

Динамика транспирации на протяжении периода вегетации, г/г·час

Растения	26.V	23.VI	13.VII	18.VIII	26.IX	11.X
<i>Albizia julibrissin</i> «а»	0,62	0,57	0,65	0,64	0,4	0,23
<i>Albizia julibrissin</i>	0,51	0,36	0,6	0,35	0,26	0,24
<i>Parrotia persica</i>	0,22	0,19	0,3	0,25	0,15	0,17
<i>Zelkova carpinifolia</i>	0,45	0,33	0,27	0,23	0,19	0,15
<i>Quercus castaneifolia</i>	0,34	0,32	0,25	0,22	0,13	0,16
<i>Celtis caucasica</i>	0,4	0,38	0,28	0,2	0,18	0,2

Известно [2], что в жарком сухом климате растения потребляют гораздо больше воды, чем во влажном. Однако это положение подтверждается лишь в условиях достаточного увлажнения. Наблюдения показали, что у ленкоранской акации и железного дерева в наиболее засушливом периоде, в июле-августе, интенсивность транспирации несколько повышается. У остальных же растений она постепенно снижается от начала к концу вегетации. Наибольшая интенсивность транспирации наблюдается у ленкоранской акации, особенно в условиях постоянного полива (табл. 2).

Наиболее интересным показателем с точки зрения гидроэкологии является сосущая сила, способствующая поглощению воды растительной клеткой.

По полученным данным, величина сосущей силы листьев ленкоранской акации характеризуется четко выраженной стабильностью: она фактически не меняется на протяжении всей вегетации. Сосущая сила остальных растений подвергается более или менее значительным колебаниям. Наибольшаясосущая сила — 32 атм отмечена у дзельквы в самом засушливом периоде — 1 августа. Каркас кавказский, который способен развивать высокую сосущую силу в наиболее засушливых периодах, в условиях редкого полива довольствуется сравнительно «скромным» для себя показателем — 27,5 атм (табл. 3).

Таким образом, результаты исследований по некоторым показателям водного режима третичных древесных реликтов Талыша, интродуцированных в Тбилисском ботаническом саду, позволяют сделать следующие выводы:

Таблица 3
Динамика сосущей силы листьев на протяжении периода вегетации, атм

Растения	27.V	24.VI	12.VIII	1.VIII	26.IX	12.X	27.X
<i>Albizia julibrissin</i> «а»	2,5	5	5	5	2,5	5	2,5
<i>Albizia julibrissin</i>	2,5	5	5	5	5	5	2,5
<i>Parrotia persica</i>	10	15	12,5	22,5	17,5	25	16
<i>Zelkova carpinifolia</i>	10	10	23	32	12,5	25	18
<i>Quercus castaneifolia</i>	6	10	12,5	15	17,5	15	12,5
<i>Celtis caucasica</i>	12	20	22,5	27,5	26	27,5	20,5

1. Ленкоранская акация четко выделяется от остальных растений значительно высокой оводненностью листьев, большей интенсивностью транспирации и намного низкой сосущей силой. Однако данный вид испытывает затруднения в водообеспеченности и при таких показателях, о чем свидетельствует понижение ее декоративности в условиях редкого полива. При постоянном поливе ленкоранская акация сохраняет высокую декоративность, чем способствуют сравнительно высокая оводненность листьев и более интенсивная транспирация по сравнению с условиями редкого полива.

2. Дзелька и железное дерево мало чем отличаются по всем показателям водного режима от контрольного растения каркаса кавказского. Однако если значительные колебания сосущей силы, наблюдавшиеся у этих растений на протяжении всей вегетации, можно считать для каркаса и вообще для ксерофитов важной приспособительной функцией к засушливым условиям, то для дзельки и железного дерева они указывают на затруднения в водообеспеченности. Об этом свидетельствует и низкое содержание воды у данных видов.

3. Дуб каштанолистный не характеризуется значительными колебаниями сосущей силы, однако оводненность листьев у данного вида очень низкая (в среднем 48,8%), что указывает на плохую водообеспеченность.

4. Для сохранения высокодекоративности в условиях Тбилиси третичные древесные реликты Талыша нуждаются в постоянном поливе на протяжении всей вегетации: ленкоранская акация — 1—2 раза в течение недели, железное дерево, дзелька и дуб каштанолистный — 1 раз в 10—15 дней.

ლ. რადჭენკო, ზ. მანჯავიძე

თბილისის ბოტანიკურ ბაღში ინტერდიციული რელიეფის მიზნით რელიეფის დაზიანების გადასაცემის მიზნით მაჩვენებლის დინამიკა

რეზიუმე

შესწავლით თალიშის რელიეფების — ლენჯორანის აკაციის, რკინის ხის, ძელქვისა და წაბლფოთოლა მუხის წყლის რეჟიმი. დადგინდა, რომ თბილისის პირობებში მაღალდეკორატიულობის შესანარჩუნებლად მათ ესაჭიროებათ რწყევა: ლენჯორანის აკაციას კვირაში 1—2-ჯერ, ხოლო დანარჩენ მცენარეებს 10—15 დღეში ერთხელ.

BOTANY

L. K. RADCHENKO, Z. D. MANJAVIDZE

THE DYNAMICS OF SOME INDICES OF THE WATER REGIME OF THE TALYSH WOOD RELICTS INTRODUCED IN THE TBILISI BOTANICAL GARDEN

Summary

Some indices of the water regime of Tertiary wood relicts of Talysh mountains (Azerbaijan SSR) have been studied in the environmental conditions of the Tbilisi Botanical Garden. Under insufficient humidification the given species were found to lose their ornamental features. Hence they require regular watering throughout the vegetation period.

ლიტერატურა — ЛИТЕРАТУРА — REFERENCES

1. А. М. Масиев. Автореферат канд. дисс. Баку, 1969.
2. Н. А. Максимов. Тимирязевское чтение, 4. М., 1944.

ФИЗИОЛОГИЯ ЧЕЛОВЕКА И ЖИВОТНЫХ

И. Н. КИКВАДЗЕ

ВЛИЯНИЕ РАЗРУШЕНИЯ СИНЕГО ПЯТНА НА ВЫЗВАННУЮ
ПАРОКСИЗМАЛЬНУЮ ЭЛЕКТРИЧЕСКУЮ АКТИВНОСТЬ
ГИППОКАМПА

(Представлено членом-корреспондентом Академии А. Н. Бакурадзе 10.6.1984)

В настоящее время широко развернуто исследование структурной и функциональной организации синего пятна (СП), а также его афферентных и эфферентных связей. Большой интерес, проявляемый к СП, объясняется его вероятным участием во многих проявлениях физиологической активности организма. По литературным данным известно, что СП должно принимать участие в регуляции парадоксальной фазы сна и уровня внимательного бодрствования [1, 2], в регуляции болевой чувствительности [3] и активности симпатической нервной системы [4]. Согласно данным последних лет, электрическая стимуляция СП влияет и на пароксизмальную активность [5—8]. Исходя из вышесказанного чрезвычайно интересно изучить характер влияния активации СП, а тем более его разрушения как на общее поведение, так и на электрическую активность разных структур головного мозга.

В предлагаемой статье представлены результаты исследования эффектов билатерального разрушения СП на эпилептиiformную электрическую активность дорсального гиппокампа, вызванного ритмической стимуляцией этой же структуры. Опыты проводили на половозрелых кошках в условиях хронического эксперимента. Предварительное вживление металлических макроэлектродов с целью раздражения, отведения электрической активности или разрушения структур головного мозга осуществляли стереотаксически под нембуталовым наркозом. После 7-дневного постоперационного периода с соответствующим уходом приступали к предварительным опытам. После их завершения под кратковременным кеталаровым наркозом (3 мг/кг) производили билатеральную коагуляцию СП током в 5 ма в течение 40—60 сек. Через 2 недели после выздоровления животных приступали к повторным опытам. После завершения серий экспериментов животных забивали, головной мозг извлекали полностью, фиксировали в 10%-ном растворе формалина и на его фронтальных срезах проверяли локализацию неизолированных кончиков вживленных электродов.

Как показали опыты, билатеральное разрушение СП приводило к плачевным последствиям: большинство животных погибало после повреждения, а у тех, которых удавалось сохранить благодаря тщательному уходу, отмечались следующие нарушения: в течение 5—6 дней после операции они почти переставали принимать пищу, затем начинали питаться нормально, а через 10—12 дней после разрушения СП проявляли гиперфагию; у большинства животных наблюдались ригидность мускулатуры, характерное для болезни Паркинсона дрожание конечностей и головы; кошки чаще обычного мяукали, не чистились, двигались сравнительно медленно и во время сна проявляли

активную двигательную деятельность. Заметно изменялась и ЭКОГ животных: в коре начинали доминировать высокочастотные электрические волны частотой 5—9 гц. В сенсомоторной коре продолжительность отрицательной фазы первичных ответов увеличивалась и появлялись ритмические послеразряды.

Суммарная электрическая активность гиппокампа также менялась после разрушения СП (рис. 1). Так, вместо тета-ритма, который преувеличивался до разрушения, возникала более медленная нерегулярная активность. Изменялась чувствительность к эпилептогенной стимуляции. До разрушения СП пороговое раздражение дорсального гиппокампа вызывало возникновение локальных пароксизимальных разрядов с оп-

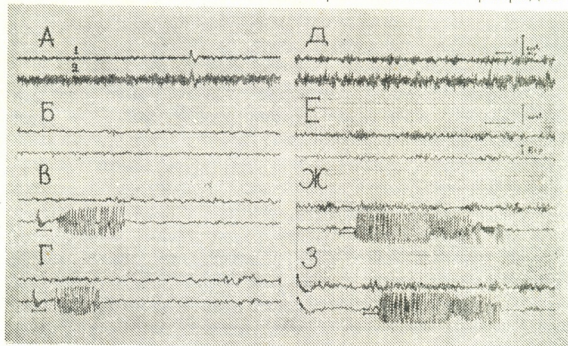


Рис. 1. Влияние билатерального разрушения СП на вызванную эпилептиформную активность дорсального гиппокампа. Регистрируются: 1 — сенсомоторная кора левого полушария; 2 — левый дорсальный гиппокамп; А—Г — до разрушения СП; Д—Ж — через 15 дней после билатеральной коагуляции СП; А,Б,Д,Е — спонтанная суммарная активность; В,Г,Ж, 3 — эффекты раздражения гиппокампа. Параметры раздражения: 3 в, 0,1 мс, 50 гц, 2 с (В,Г) и 1,8 в, 0,1 мс, 50 гц, 2 с (Ж,3)

ределенным стабильным скрытым периодом, послеразряды сами по себе были непродолжительны (рис. 1,В,Г). После билатеральной коагуляции СП порог возникновения эпилептиформной активности заметно понижался; пароксизимальные разряды последействия регистрировались непосредственно после эпилептогенной стимуляции, длились дольше и были интенсивнее, чем до разрушения СП (рис. 1,Ж,3).

Снижение порога эпилептогенного раздражения гиппокампа, наблюдавшееся после билатеральной коагуляции СП, можно интерпретировать как результат понижения содержания норадреналина в центральной нервной системе. Это предположение подкрепляется нашими предыдущими экспериментами [8], когда истощение норадреналина, осуществляемое путем фармакологического вмешательства, приводило к облегчению судорожных послеразрядов в гиппокампе.

Тбилисский государственный университет

(Поступило 29.6.1984)

II. ტიტოვი

ლურჯი ლაპის დაზიანების გავლენა ჰიპოკამპის ელექტრული
გაღიზიანებით გამოწვეულ გულურით აძირვობაზე

რეზიუმე

ზრდასრულ კატებზე ქრონიკული ექსპერიმენტის პირობებში შევისწავ-
ლეთ შუა ტვინის ლურჯი ლაქის ბილატერალური კოაგულაციის გავლენა ჰი-
პოკამპის ელექტრული სტიმულაციით გამოწვეულ კვალის პაროქსიზმულ გან-
მუხტვებზე. ლურჯი ლაქის დაზიანებამდე და დაზიანების შემდეგ ჩატარებული
ცდებისა და მათი სტატისტიკური დამუშავების საფუძველზე აღმოჩნდა, რომ
გულურით ყეტივობის გამოსაწვევი გაღიზიანების ზღურბლის სიდიდე საგრ-
ძნობლად კლებულობს ლურჯი ლაქის დაზიანების შემდეგ: ჰიპოკამპალური
გვალის ელექტრული განმუხტვების აღმოცენების ფარული პერიოდი შეკვე-
რად მცირდება, ხოლო განმუხტვათა ხანგრძლივობა და ინტენსივობა მატუ-
ლობს.

HUMAN AND ANIMAL PHYSIOLOGY

I. N. KIKVADZE

THE EFFECT OF THE LESION OF LOCUS COERULEUS ON THE
PAROXYSMAL ACTIVITY INDUCED BY ELECTRICAL HIPPOCAMPAL
STIMULATION

Summary

The effect of electrical bilateral coagulation of the midbrain locus coeruleus on the evoked paroxysmal activity of the dorsal hippocampus was studied in chronic adult cats. The statistical analysis of the results obtained before and after the lesion of the locus coeruleus revealed that the stimulation threshold of paroxysmal activity markedly decreases after the lesion of locus coeruleus: the latent period of the trace of hippocampal electrical discharges sharply decreases, while the duration and the intensity of the discharges increase. The data obtained allow to suppose that the noradrenergic system of the brain plays an important role in the regulation of hippocampal paroxysmal activity.

ლიტერატურა — REFERENCES

1. N. Chu, F. Bloom. Science. 179, 1973, 908-910.
2. M. Jouvet. Pharmacol. and Future Man. 4, 1973, 103-107.
3. R. Cespuglio, M. Gomez, E. Walker. Electroenceph. clin. Neurophysiol. 47, 3, 1979, 299-308.



4. J. Krowley, J. Maas, R. Roth. Brain res. 183, 2 1980, 301-311.
5. B. Libit *et al.* Epilepsia. 18, 4, 1977.
6. Т. К. Иоселиани, И. Н. Киквадзе. Сообщения АН ГССР, 99, № 2, 1980, 453—456.
7. Т. К. Иоселиани, К. Г. Чохели, Н. М. Мгалоблишвили. Сообщения АН ГССР, 96, № 1, 1979, 69—72.
8. И. Н. Киквадзе, Т. К. Иоселиани. Сообщения АН ГССР, 100, № 1, 1980, 193—196.

ФИЗИОЛОГИЯ ЧЕЛОВЕКА И ЖИВОТНЫХ

Т. Э. АДАМИЯ

ВЛИЯНИЕ АНТИХОЛИНЕРГИЧЕСКИХ И АНТИХОЛИНЭСТЕРАЗНЫХ ВЕЩЕСТВ НА ОБУЧЕНИЕ И ДИНАМИКУ МЕСТНОГО КРОВОТОКА В КОРЕ ГОЛОВНОГО МОЗГА У КРЫС

(Представлено членом-корреспондентом Академии С. П. Нарикашвили 19.7.1984)

В исследованиях, проведенных нами ранее [1, 2] по выявлению особенностей динамики местного кровотока в теменной области коры головного мозга (ММКТ) у крыс при решении многоходовых лабиринтных задач, было показано, что процесс поиска оптимальной траектории движения по лабиринту всегда сопровождается повышением ММКТ в указанной области коры.

Внутрибрюшинная инъекция холинергического блокатора скополамина до начала обучения в дозе 1 мг/кг вызывала полное нарушение процесса обучения и одновременно с этим устранение эффекта повышения ММКТ, сопровождающего этот процесс. Как показали специально проведенные острые опыты [3], используемая доза скополамина примерно через 20 мин после инъекции приводила к ярко выраженному сужению пialльных артерий (ПА) разного калибра, длящемся в течение нескольких часов.

Для создания модели ограниченной во времени блокады холинергических структур, в настоящей работе мы использовали антагонизм антихолинергических веществ с антихолинэстеразными. С этой целью в нескольких сериях хронических и острых опытов инъекцию скополамина дополняли введением галантамина (5 мг/кг) или эзерина (1 мг/кг). Непрерывную регистрацию ММКТ осуществляли методом электрохимической генерации водорода [4], модифицированным для применения в условиях хронического эксперимента [5].

Последовательность проведения хронических опытов была следующей: на 4-й день после вживления электродов животных (40 белых крыс-самцов весом 150—200 г) по одному разу пускали по лабиринту. Убедившись в наличии эффекта повышения ММКТ в теменной области коры головного мозга, интраперitoneально вводили скополамин. Спустя 20 мин животных вновь пускали по лабиринту для оценки угнетения эффекта повышения ММКТ. После этого половине группы подопытных животных инъецировали внутрибрюшинно галантамин, а другой половине — эзерин (в указанных выше дозах) и спустя 20 мин после инъекции начинали проводить полный цикл их обучения прохождению лабиринта с одновременной регистрацией ММКТ.

В результате опытов было выявлено, что используемые нами антихолинэстеразные вещества полностью восстанавливают как эффект повышения ММКТ в теменной области коры головного мозга, наблюдаемый у животных, не подвергающихся действию холинергического блокатора (рис. 1), так и их способность обучаться нахождению оптимальной траектории движения по лабиринту для попадания в ящик-гнездо.

В серии острых опытов на 12 животных, находящихся под легким гексаналовым наркозом, проводили сериюную микрофотосъемку



ПА. На полученных снимках измеряли просвет ПА в контроле, после инъекции скополамина и постскополаминного ввода галантамина (6 животных) или эзерина (6 животных). Дозировка указанных веществ была аналогичной хроническим опытам. На рис. 2 хорошо видно, что как галантамин, так и эзерин практически полностью восстанавливают просвет ПА, суженный скополамином.

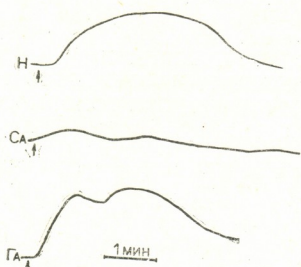
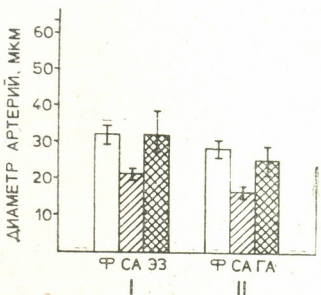


Рис. 1. Динамика ММКТ при прохождении крысой лабиринта в норме (Н), после действия скополамина (СА) и последующего ввода галантамина (Га). Стрелками указаны моменты пересадки животного на стартовую площадку

Описанные выше результаты хронических и острых опытов наглядно иллюстрируют эффект действия антихолинергических и антихолинэстеразных веществ как на поведение животных в лабиринте, так и на сосудистые реакции в головном мозге.

Известно, что сосуды головного мозга хорошо иннервированы как симпатическими, так и парасимпатическими нервыми волокнами. Известно и то, что симпатические адренергические волокна исходят из верхнего шейного ганглия и дают хорошо развитую сеть вокруг ПА [6]. В некоторых случаях адренергически нервные сплетения обнаруживаются и вокруг ответвлений ПА, проникающих в мозговую паренхиму [7]. Холинергические нервные окончания на мозговых сосудах идентифицированы также достаточно точно, однако, в отличие от адренергических волокон, они не обнаружены на внутримозговых сосудах [8]. Согласно нейрогенной теории, указанным нервным эффектам придается важное значение в осуществлении регуляции мозгового кровообращения [9].

Рис. 2. Среднестатистические изменения диаметра ПА после инъекции скополамина (СА) и последующего ввода эзерина (Э) или галантамина (Га) для сосудов калибром 20–40 мкм (I), 25–50 мкм (II). Ф — фон



Наши опыты свидетельствуют, что блокада холинорецепторов на мембранных эффекторных клеток у окончаний холинергических волокон посредством скополамина; во-вторых, нарушает функционирование механизма дилатации ПА (отсутствие повышения ММКТ при решении лабиринтной задачи) и, во-вторых, нарушает баланс в пользу

тонуса адренергической иннервации (сужение просвета ПА в острых опытах после инъекции скополамина). То, что эти эффекты вызваны действием именно скополамина и что они обратимы, доказывается эффектом действия антагонистов-галанамина и эзерина.

Таким образом, анализ полученных нами результатов, а также известные литературные данные, в частности о нарушении ауторегуляторных реакций ПА при изменениях системного артериального давления в результате действия таких холинергических блокаторов, как атропин и амизил [9], позволяют сделать вывод о важной роли нейрогенного звена в механизме регуляции местного кровотока в головном мозге.

Кроме того, подтверждается, что именно нейрогенное звено приобретает главенствующую роль в реакции ММКТ в условиях изменения функциональной активности нервной ткани, как это было описано в структурной схеме организации процесса регуляции местного кровотока в головном мозге [5], и при использовании скополамина в качестве психотропного агента необходимо учитывать, что он обладает и вазоактивными свойствами.

Академия наук Грузинской ССР

Институт физиологии
им. И. С. Бериташвили

(Поступило 27.9.1984)

ადამიანისა და ცოცვილთა ფიზიოლოგია

თ. ადამია

ანტიამინერგული და ანტიამინესტერაზული ნივთიერებების
გავლენა დასრულის პროცესზე და ადგილობრივი სისხლის
ნაკადის დინამიკაზე ვირთაგვების თავის ტვინის ქრება

რეზიუმე

პერიტონიალური ანექცია სკოპოლიმინისა მთლიანად არღვევს როგორც
დაწყვეტილი პროცესს, ისე მასთან მჟღიდრო კორელაციაში მყოფ სისხლის ნაკადის
დინამიკას ქრების თხემის უბანში. სკოპოლიმინის მოქმედების ეს ეფექტი სრუ-
ლად ითრგულება ეზერინის ან პალნტამინის შემდგომი ინექციით. ნაჩვენებია
აგრეთვე, რომ ეს ნივთიერებები ხსნან სკოპოლიმინის მოქმედებით გამო-
წვეულ პიალური არტერიების შევიწროვებას.

გამოტანილია დასკვნა, რომ ქოლინორეცეპტორების ბლოკადა სკოპოლი-
მინის მეშვეობით არღვევს პიალური არტერიების დილატატორული მექანიზმის
ფუნქციონირებას და ცვლის ძალთა ბალანსს ადრენერგული ტონუსის სასარ-
გებლოდ.

HUMAN AND ANIMAL PHYSIOLOGY

T. E. ADAMIA

THE EFFECT OF CHOLINE AND CHOLINESTERASE ANTAGONISTS ON THE LEARNING PROCESS AND LOCAL CEREBRAL BLOOD FLOW DYNAMICS IN RAT

Summary

In albino rat experiments in maze the effect of choline and cholinesterase antagonists on the learning process and local cerebral blood flow dy-



namics (polarography of the electrochemically generated hydrogen) was examined. Both the normal learning process and closely correlated with it dynamics of local blood flow in the parietal cortex were completely disturbed by the intraperitoneal injection of anticholinergic agent scopolamine. This effect of scopolamine was entirely inhibited by subsequent injection of cholinesterase antagonists (eserine or halantamine). The latter is shown to completely eliminate the scopolamine-induced constriction of the cerebral pial arteries.

It is concluded that the blocking of choline receptors by scopolamine disturbs the functioning of the dilatatory mechanism of the pial arteries and thus alters the normal balance of vasomotor influences in favour of the adrenergic tone.

ЛІТЕРАТУРА — REFERENCES

1. Н. П. Митагвария, Т. Э. Адамия, К. Д. Латария. Сообщения АН ГССР, 91, № 3, 1978.
2. Т. Э. Адамия, К. Д. Латария, Н. П. Митагвария. Изв. АН ГССР, сер. Биол., 4, № 3, 1978.
3. Т. Э. Адамия, Н. П. Митагвария. Сообщения АН ГССР, 106, № 2, 1982.
4. K. Stosseck *et al.* Pflugers Arch., 348, 1974.
5. Н. П. Митагвария. Устойчивость циркуляторного обеспечения функций головного мозга. Тбилиси, 1983.
6. L. Edvinsson, E. T. MacKenzie. Pharmacol. Rev., 28, 1977.
7. L. Edvinsson *et al.* Z. Zellforsch., 134, 1972.
8. M. J. Purves. Circul. Res., 43, 1978.
9. G. I. Mcchedlishvili, L. S. Nikolaishvili. Pflugers Arch., 315, 1970.

ФИЗИОЛОГИЯ ЧЕЛОВЕКА И ЖИВОТНЫХ

Ц. Г. СУКНИДЗЕ

ВЛИЯНИЕ КАВИНТОНА НА РАННЮЮ СТАДИЮ ЭКСПЕРИМЕНТАЛЬНОГО ИНФОРМАЦИОННОГО НЕВРОЗА И НА УСТОЙЧИВОСТЬ НЕРВНОЙ СИСТЕМЫ К ИНФОРМАЦИОННОЙ ПАТОЛОГИИ

(Представлено членом-корреспондентом Академии А. Н. Бакурадзе 7.9.1984)

Одним из возможных, но мало используемых методов оптимизации высших функций мозга является улучшение кровоснабжения мозговой ткани. Известно, что при эмоциональном состоянии меняется мозговое кровоснабжение [1], а при некоторых формах экспериментальных неврозов нарушается кровоснабжение неокортиекса [2, 3]. С другой стороны, кавинтон представляет собой препарат, который избирательно действует на сосудистую систему головного мозга, улучшая его кровоснабжение, способствует утилизации кислорода и повышает порог переносимости аноксии мозговыми клетками. Путем биохимических эффектов препарат усиливает функции мозга, благоприятно влияет на тканевую концентрацию циклического АМФ, серотонина и АТФ, ускоряет как аэробное, так и анаэробное усвоение глюкозы. Отсюда возникла задача исследования влияния кавинтона на раннюю стадию экспериментального информационного невроза, а также на устойчивость нервной системы к информационной патологии.

Опыты проводились на трех группах животных (всего на 15 собак). В условиях неограниченной двигательной активности у всех собак вырабатывались двигательно-пищевые условные рефлексы к трем кормушкам на разные звуковые раздражители: на тон 500 гц, звонок и звуковые щелчки, а также отрицательный условный рефлекс (дифференцировка) к одной кормушке. После упрочнения условных рефлексов методом отсроченных реакций устанавливался максимум краткосрочной памяти на все условные сигналы. Затем все собаки подвергались невротизаций методом, предложенным М. М. Хананашвили [4].

У животных систематически регистрировалась частота сердцебиения, измерялось артериальное давление по Ван-Лерзуму (через сонную артерию, выведенную в кожный лоскут). Полученные данные обрабатывались статистически по Т-критерию Стьюдента.

Первой группе собак (№ 1, 2, 3, 4, 5) давался кавинтон на ранней стадии патологии рег ос в дозе 1 мг/кг.

Ранняя стадия невроза характеризовалась следующими симптомами: собаки становились возбужденными как в экспериментальном помещении, так и вне его, отмечались частое почесывание, усиление двигательной активности, удлинение времени возвращения на старто-вое место, ухудшение памяти, статистически достоверное ($p < 0,001$) учащение сердцебиения.

После проведения курса лечения (в течение 30 дней) у этой группы собак улучшение состояния не наблюдалось.

Второй группе собак (№ 6, 7, 8, 9, 10) давался кавинтон в той же дозе и тем же путем в течение 30 дней, однако до введения невро-



тизирующего фактора. Через 2 недели после приема кавинтона у собак статистически достоверно ($p < 0,001$) уменьшилось время возвращения на стартовое место. Реакции животных стали более четкими. У второй группы собак отклонения в поведении начались позже (через 7—11 дней). Кроме того, по сравнению с контрольной группой удлинился предневротический период: защитные компенсаторные механизмы проявлялись долго.

Для этой группы собак было очень характерным развитие охранительного торможения: собаки стали малоподвижными, но работу с максимальной отсрочкой выполняли хорошо, изредка наблюдалось нереагирование на часть сигналов, удлинялось время возвращения на стартовое место; артериальное давление держалось в пределах нормы. Такой период повышенного тормозного состояния длился долго — в течение месяца и более.

У контрольной группы собак (№ 11, 12, 13, 14, 15), которым кавинтон не давался, изменения в поведении начались на второй же день: они возбуждались, регистрировалась тахикардия. У этой группы собак тормозное состояние длилось недолго — в течение 2—5 дней, потом оно сменялось чрезмерно возбужденным состоянием. В предnevротическом состоянии у всех собак контрольной группы эпизодически повышалось артериальное давление на 30—50 мм рт. ст.

Следовательно, согласно нашим исследованиям, кавинтон повышает устойчивость нервной системы к экспериментальному информационному неврозу. Он, очевидно, повышает функциональное состояние головного мозга, о чем свидетельствует тот факт, что после невротизации отклонения в поведении у второй группы собак начинаются позднее. Кроме того, исследования показали, что прием кавинтона заранее, до невротизации, усиливает компенсаторные механизмы путем усиления тормозного процесса.

Ранняя стадия экспериментального информационного невроза, должно быть, характеризуется формированием патологических процессов с характерными биохимическими сдвигами, устойчивыми к кавинтону, поэтому препарат и не оказывает влияния на ранней стадии развития патологии.

Академия наук Грузинской ССР

Институт физиологии

им. И. С. Бериташвили

(Поступило 14.9.1984)

ადამიანისა და ცხოვრითა ფიზიოლოგია

ც. სუქნიძე

კავინტონის გავლენა ეპსირიაზენტული ინფორმაციული ნეროზის
აღრეულ სტადიაზე და ინფორმაციული პათოლოგიის მიმართ
ნირვული სისტემის მდგრადიზაზე

რეზიუმე

გამოკვლევებმა გვიჩვენა, რომ ნორმალურ ძალებში კავინტონი აძლიერებს ნერვული სისტემის მდგრადობას ინფორმაციული პათოლოგიის მიმართ, ხოლო მისი მიღება ექსპერიმენტული ნევროზის აღრეულ სტადიაზე არ იძლევა სამკურნალო ეფექტს.

HUMAN AND ANIMAL PHYSIOLOGY

Ts. G. SUKNIDZE

EFFECT OF CAVINTON ON THE EARLY STAGE OF EXPERIMENTAL INFORMATIONAL NEUROSIS AND THE STABILITY OF THE NERVOUS SYSTEM TO INFORMATIONAL PATHOLOGY

Summary

Experiments showed that cavinton increases the stability of the nervous system to informational pathology in normal dogs; however, its application at the early stage of experimental neurosis has no curative effect.

ЛІТЕРАТУРА — REFERENCES

1. Н. П. Митагвария. Устойчивость циркулярного обеспечения функций головного мозга. Тбилиси, 1983.
2. М. Г. Айрапетянц, А. М. Вейн. Неврозы в эксперименте и клинике. М., 1982.
3. М. М. Александровская, А. В. Кольцова. ЖВНД, т. 30, вып. 4, 1980, 747—751.
4. М. М. Хананашвили. ЖВНД, т. 24, № 4, 1974, 675—680.

БИОХИМИЯ

З. Г. СУРВИЛАДЗЕ

МЕХАНИЗМ ИНГИБИРОВАНИЯ РИБОНОУКЛЕАЗЫ
BACILLUS INTERMEDIUS 7P ИОНАМИ Zn^{2+}

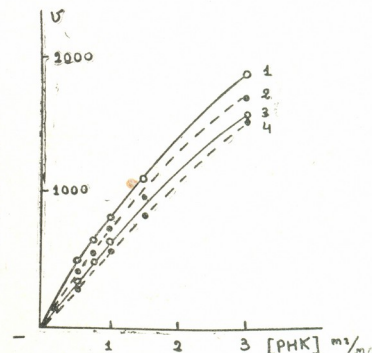
(Представлено членом-корреспондентом Академии М. М. Заалишвили 10.9.1984)

Специфичность и механизм действия фермента — внеклеточной РНКазы (биназы), продуцируемой споровыми бактериями вида *Bacillus Intermedius*, еще недостаточно хорошо изучены [1, 2]. В то же время известно, что некоторые двухвалентные катионы являются ингибиторами различных РНКаз [3, 4].

Целью данного исследования было обнаружение ингибиторов биназы и изучение механизма ингибирования.

В работе использовали суммарную дрожжевую РНК («Sigma», США), которую дополнительно очищали переосаждением этанолом. Удельную активность фермента определяли по приросту кислоторастворимой фракции, образующейся в результате расщепления РНК, аналогично работе [1]. К 1 мл раствора РНК в 0,1 М трис-HCl буферу (рН 8,5), содержащего нужную концентрацию ингибитора, добавляли 10 μ l раствора фермента и реакционную смесь инкубировали в течение 15 мин при 37°C. Реакцию останавливали добавлением 200 μ l раствора 0,75%-ного уранилацетата в 25% $HClO_4$. Смесь охлаждали и центрифугировали. 200 μ l супернатанта разбавляли 16 раз и оптическую плотность раствора измеряли при 260 нм. В качестве ингибиторов использовали $CaCl_2$ («Sigma» США). $MgCl_2$ и $ZnCl_2$ (х. ч., СССР) дополнительно очищали перекристаллизацией.

Рис. 1. Зависимость начальной скорости реакции расщепления РНК, катализируемой биназой в присутствии ионов Zn^{2+} , от концентрации субстрата. Концентрация Zn^{2+} : 1—0,25 mM; 2—0,5 mM; 3—1 mM; 4—1,5 mM (рН 8,5; 37°C)



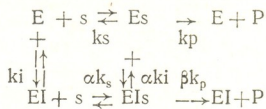
Оказалось, что лишь при высоких концентрациях (>10 mM) ионы Mg^{2+} и Ca^{2+} , т.е. катионы, стабилизирующие вторичную структуру РНК, замедляют действие фермента. Ионы Zn^{2+} являются сильными

ингибиторами биназы. На рис. 1 приведены кривые зависимости скорости расщепления РНК от концентрации субстрата при различных концентрациях ингибитора. Линеаризация этих кривых в координатах обратных величин приводит к получению семейства прямых, пересекающихся в правом верхнем квадранте графика.

Константы скорости ингибирования биназы ионами Zn^{2+}

Zn^{2+} мМ	K_{S_I}	V_{m_I}	$\text{tg}\varphi = K_s/V_m \cdot 10^{-4}$	$1/V_{m_I} \cdot 10^{-4}$
0	2,7	3535	7,67	2,8
0,25	4	4065	9,8	2,46
0,5	5,56	5000	11,1	2
1	7,4	5555	12,8	1,8
1,5	10	6667	15	1,5

Как видно из таблицы, с увеличением концентрации Zn^{2+} увеличивается как $V_{m(\text{каж})}$, так и $K_{s(\text{каж})}$. Это указывает на то, что наблюдается гиперболическое ингибирование смешанного типа. Ход реакции можно представить следующим механизмом:



где $\alpha > \beta > 1$; E — РНКаза; I — Zn^{2+} ; V_m и K_s определены из графика, когда $[Zn^{2+}] = 2$.

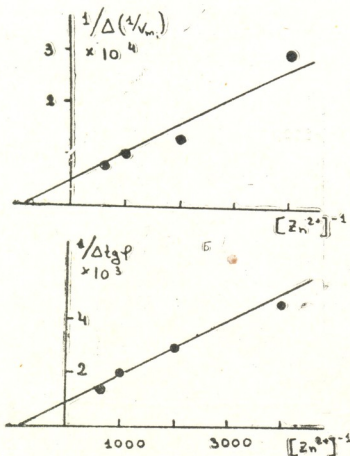


Рис. 2. Зависимость обратной величины $\Delta(1/V_{mI})$ (а) и $\Delta\lg\varphi$ (б) от обратной величины концентрации ионов Zn^{2+} (pH 8,5; 37°C)

Zn^{2+} (pH 8,5; 37°C)

Такой тип ингибирования (когда $\alpha > \beta > 1$) встречается не очень часто, и количественное определение величин α и β затруднено рядом

осложнений процесса [5]. Скорость этой реакции в координатах Лайнувера—Берка

$$\frac{1}{v} = \frac{\alpha ks}{V_m} \left(\frac{[I] + K_i}{\beta [I] + \alpha K_i} \right) \frac{1}{[s]} + \frac{1}{V_m} \left(\frac{[I] + \alpha K_i}{\beta [I] + \alpha K_i} \right).$$

Для определения таких кинетических параметров, как α , β и K_i , необходимо построить дополнительные графики

$$\Delta \operatorname{tg} \varphi = \operatorname{tg} \varphi_i - \operatorname{tg} \varphi = \frac{\alpha K_s}{V_m} \left(\frac{[I] + K_i}{\beta [I] + \alpha K_i} \right) - \frac{K_s}{V_m}$$

и

$$\Delta \left(\frac{1}{V} \right) = \frac{1}{V_m} - \frac{1}{V_{mi}} = \frac{1}{V_m} - \frac{1}{V_m} \left(\frac{[I] + \alpha K_i}{\beta [I] + \alpha K_i} \right).$$

В обратных координатах эти величины линеаризуются (рис. 2, а, б):

$$\frac{1}{\Delta \operatorname{tg} \varphi} = \frac{\alpha K_i V_m}{K_s(\alpha - \beta)} \frac{1}{[I]} + \frac{\beta V_m}{K_s(\alpha - \beta)}; \quad \frac{1}{\Delta \left(\frac{1}{V} \right)} = \frac{\beta V_m}{\beta - 1} + \frac{\alpha K_i V_m}{\beta - 1} \frac{1}{[I]}.$$

Используя эти зависимости, можно устраниТЬ трудности, отмеченные в статье [5]. Определены все кинетические параметры этой реакции:

$$V_m = 3535; K_s = 2,7 \frac{\text{МГ}}{\text{мл}}; K_i = 4,4 \cdot 10^{-4} \text{ м}; \alpha = 10,3; \beta = 4,2.$$

Математическое симулирование с использованием этих параметров дает хорошее совпадение теоретических и экспериментальных данных.

Академия наук Грузинской ССР
Институт физиологии
им. И. С. Бериташвили

(Поступило 13.9.1984)

გიორგი გიგა

% სურვილაძე

BACILLUS INTERMEDIUS 7P რიბონუკლეიზას ინიცირების
მექანიზმი Zn²⁺ იმედიტო

რეზიუმე

Zn²⁺ იმედიტოს თანაობისას რნ მ-აზით რნ მ-ის პილროლიზის სტაციონარული კინეტიკის ექსპერიმენტული შესწავლის საფუძველზე ნაჩვენებია, რომ ადგილი აქვს შერეული სახის პიპერბოლურ ინიცირების ($\alpha > 1, \beta > 1, \alpha > \beta$) განსაზღვრულია რეაქციის კინეტიკური პარამეტრები.

Z. G. SURVILADZE

INHIBITORY ACTION OF Zn^{2+} ON RIBONUCLEASE *BACILLUS INTERMEDIUS* 7P CATALYSIS

S u m m a r y

The steady state kinetics of RNA degradation in the presence of RNase *Bac. Intermedius* and Zn^{2+} ions at pH 8.5 has been investigated. Increasing the Zn^{2+} concentration caused an increase of $V_{m(app)}$ and $K_{s(app)}$. $\alpha > 1$, $\beta > 1$ as well as $\alpha > \beta$. In other words, the increase of k_p falls short of K_s increase. All kinetic parameters of hyperbolic mixed-type inhibition have been determined.

ЛІТЕРАТУРА — REFERENCES

1. И. А. Голубенко, Н. П. Балабан, И. Б. Лещинская, Т. И. Волкова, Г. И. Клейнер, Н. К. Чепурнова, Г. А. Афанасенко, С. М. Дудкин. Биохимия, 44, 4, 1979, 640—646.
2. М. Я. Карпейский, А. Ж. Ханданян, Н. К. Чепурнова, А. Л. Платонов, Г. И. Яковлев. Биоорг. химия, 7, 11, 1981, 1669—1679.
3. Р. И. Татарская, Н. М. Абросимова-Амельянчик, В. Д. Аксельрод, А. И. Кореняко, Н. Я. Ниедра, А. А. Баев. Биохимия, 31, 5, 1966, 1017—1026.
4. M. Itaya, Y. Itoh. Biochem. S. 207, 2, 1982, 357-362.
5. К. Мартинек, С. Д. Варфоломеев, А. В. Левашов, И. В. Березин. Молек. биол., 5, 3, 1971, 351—361.

БИОХИМИЯ

Л. Ш. ТУШИШВИЛИ, К. В. СУЛАВЕРИДЗЕ
ДИНАМИКА СОДЕРЖАНИЯ СТЕРИНОВ В ЛИСТЬЯХ
ЦИТРУСОВЫХ В ПЕРИОД ПОКОЯ

(Представлено академиком С. В. Дурмишидзе 19.10.1984)

Известно, что стерины присутствуют в клеточных мембранах и влияют на физическое состояние и функциональные свойства этих структур [1]. Так как в процессе адаптации растений к низким температурам в мембранах происходит целый ряд изменений физического и физиологического-биохимического характера [2], не должны быть неожиданными изменения стеринового состава растений в течение температурно-адаптационного процесса.

В настоящей работе впервые изучены состав и динамика суммарных, свободных и гликолизированных стеринов в листьях разных по морозоустойчивости цитрусовых в течение осенне-зимнего периода.

Объектом исследования служили листья средних ярусов стеблей лимона сорта Новогрузинский (наименее морозоустойчивый), апельсина сорта Местный (среднеморозоустойчивый в ряду исследуемых цитрусовых) и Юноса Юзу (морозоустойчивый), культивируемых на территории Батумского ботанического сада АН ГССР. Образцы собирали в конце месяца (август, ноябрь, январь, март 1980—1981 гг.) с одних и тех же деревьев, выращенных в одинаковых экологических условиях, в утренние часы. За этот период не наблюдались резкие температурные изменения воздуха. Минимальная температура воздуха составляла —2°C (январь).

Липидные экстракты из воздушно-сухого растительного материала получены по методу Фолча [4]. Во всех образцах обнаружены свободные, гликолизированные и этерифицированные стерины (ССТ, СТГ и ЭСТ, соответственно). Стерины выделены по методу [5].

Идентификацию стеринов осуществляли с помощью методов высокоеффективной ТСХ (ВЭТСХ), ГЖХ-МС, ГЖХ и УФ-спектрофотометрии [6]. Во всех образцах показано наличие десметилстерины ($R_f = 0,45$), а также монометил- ($R_f = 0,52$) и диметилстерины ($R_f = 0,62$) в элюенте гептан-диэтиловый эфир-уксусная кислота (7:3:0,1 [7]). Разделение этих стеринов проводили на пластинках для ВЭТСХ на стеклянной подложке с силикагелем КСКГ (5—8 мкм) с неорганическим связующим [8] при двукратном хроматографировании. Детектирование: 10% фосфорномolibденовая кислота в этаноле.

Качественный состав стеринов представлен холестерином, кампестерином, стигмастерином, β -ситостерином, Δ^7 -монометилстериином и 24-этилденлофенолом.

Как видно из рис. 1,в (см. таблицу) в ноябре, с понижением температуры воздуха, независимо от вида и морозоустойчивости в листьях цитрусовых количество липидов увеличивается. При дальнейшем понижении температуры (в январе) начинается накопление липидов. Однако в марте содержание общих липидов снижается. Литературные данные [9] о динамике содержания липидов в осенне-зимний период совпадают с нашими наблюдениями.

Результаты количественного определения свободных, гликолизированных и суммарных стеринов свидетельствуют о том, что более интенсивное накопление в период покоя происходит в листьях более морозоустойчивых видов цитрусовых (рис. 1,а,б). Наблюдаются коли-

чественные изменения стеринов на протяжении всего сезона. В листьях лимона, апельсина и Юноса Юзу количество свободных, гликолизированных и суммарных стеринов увеличивается к концу января,

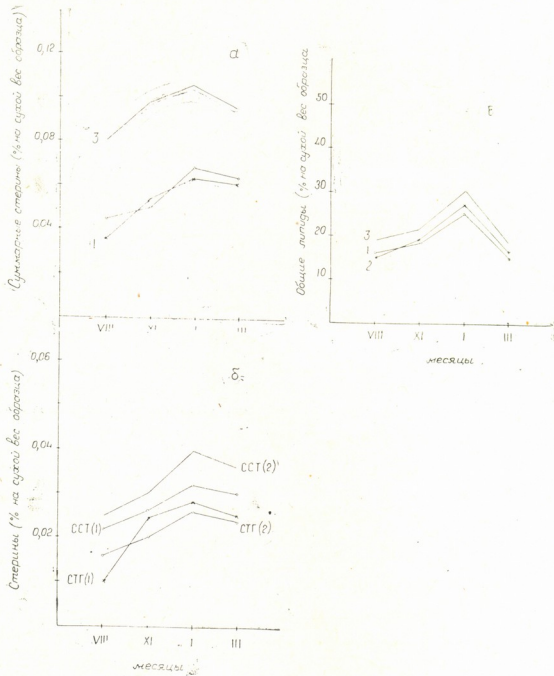


Рис. 1. Динамика содержания (а) суммарных стеринов, (б) свободных и гликолизированных стеринов, (в) общих липидов в листьях цитрусовых: (1) — лимона, (2) — апельсина, (3) — Юноса Юзу

затем оно уменьшается незначительно (рис. 1а, б). Вероятно, незначительное уменьшение количества стеринов в марте является времененным явлением перед началом активного биосинтеза стеринов в вегетационном периоде.

Сравнительно высокое содержание стеринов в листьях цитрусовых в первой половине зимы можно объяснить, с одной стороны, накоплением углеводов и липидов (таблица), [9, 10], а также увеличением мембранныго материала в закаленных растениях [11], и, с другой стороны, приспособительной реакцией растений на выживание в неблагоприятных условиях среды.

Как видно, изменения стеринового состава зависят от температурного режима (положительные, отрицательные температуры) закаливания и специфичности физиологических и биохимических процессов развития растения. Возможно, что более интенсивное накопление стеринов в листьях апельсина и Юноса Юзу по сравнению с лимоном является признаком морозоустойчивости. Такая же специфика имела место при изучении состава фосфолипидов в разных по морозоустойчивости сортах растений [12, 13].

В период покоя наблюдаются количественные изменения индивидуальных стеринов (таблица).

В заключение следует отметить, что факт нарастания количества стеринов при небольших отрицательных температурах, которые не вызывают повреждения растений, и уменьшения содержания стеринов, а также соотношения стерины фосфолипиды при воздействии низких температур, которые вызывают частичную гибель растений, указывает на перспективность дальнейших поисков в этом классе соединений, в предположении, что стерины и стерин-фосфолипидные взаимодействия участвуют в процессе закаливания, стабилизируя мембранны. Стабильность клеточных мембран — один из основных признаков устойчивости растений.

Академия наук Грузинской ССР

Институт биохимии растений

(Поступило 2.11.1984)

გიორგი გაბაშვილი

სტირინების დინამიკა ციტრუსოვანთა ფოთლებში სენიაში დროს
რეზიუმე

დადგენილია, რომ საკვლევ ციტრუსოვანთა ფოთლებში საერთო ლიპიდების და სტერინების რაოდენობა იცვლება შემოღვევა-ზამთრის პერიოდში, ძლიერებს რა მაქსიმუმს იანვარში. ნაჩვენებია, რომ ციტრუსოვანთა შედარებით ყინუაგამძლე სახეობები ხასიათდებიან ლიპიდების და სტერინების მეტი რაოდენობით.

BIOCHEMISTRY

L. Sh. TUSHISHVILI, K. V. SULABERIDZE

STEROL DYNAMICS IN CITRUS LEAVES DURING DORMANCY

Summary

The content of total lipids and sterols in the citrus leaves of frost-resistant citrus species studied varies throughout the season, achieving the maximum value in January. It is shown that the more frostresistant species of citrus are characterized by a higher content of lipids and sterols in comparison with non-frost resistant species.

ლიტერატურა — REFERENCES

1. C. Grunwald. Phil. Trans. Roy. Soc. London, B284, № 1002, 1978, 541.
2. Т. С. Сулакадзе. Физиологические основы морозоустойчивости цитрусовых растений. Тбилиси, 1967.
3. D. L. Davis, V. C. Finkner. Plant Physiol., 52, 1972, 324.
4. I. Folch *et al.* Biol. Chem., 226, № 1, 1957, 497.
5. C. Grunwald. Plant Physiol., 45, 1970, 663.
6. Л. Ш. Тушишвили, С. В. Дурмишдзе, К. В. Сулаберидзе. ХПС, 4, 1982, 478.
7. A. Kornfeldt. Lipids, 16, № 5, 1981, 306.
8. Б. Г. Беленький, Э. С. Ганкина, Л. С. Литвинова, И. И. Ефимова. Биоорг. химия, 10, № 2, 1984, 244.
9. С. А. Марутян. Биохимические аспекты формирования и диагностики морозоустойчивости виноградного растения. Ереван, 1978, 45.
10. В. Т. Гогия. Биохимия субтропических культур. Тбилиси, 1979, 233.
11. I. Högvatch *et al.* Physiol. Plant., 49, 1980, 117.
12. А. Д. Дограмаджян, С. А. Марутян, Ж. А. Петросян. Физиол. раст., 16, 3, 1969, 470.
13. I. Högvatch *et al.* Physiol. Plant., 45, № 1, 1979, 57.

ЭНТОМОЛОГИЯ

Ш. Г. СИЧИНАВА

ПРИУРОЧЕННОСТЬ ВИДОВ КОМПЛЕКСА
ANOPHELES MACULIPENNIS MEIGEN
К ОТДЕЛЬНЫМ ГИПСОМЕТРИЧЕСКИМ ЗОНАМ
И ЛАНДШАФТАМ ЗАПАДНОЙ ГРУЗИИ

(Представлено членом-корреспондентом Академии Б. Е. Курашвили 2.11.1985)

В Грузии изучением морфологии яиц при повсеместном доминировании *An. maculipennis* на побережье Абхазии [1], в г. Поти и в Алазанской долине [2, 3] зарегистрированы кладки *An. messeae*. В Гальском [1] и Гагрском [4] районах получены единичные кладки «melanoon», а в Алазанской и Куринской долинах, в г. Поти [3] и в с. Гагида Гальского района [5, 6] — также единичные «subalpinus». Распространение *An. sacharovi* установлено в Сигнахском и Гардабанском районах, особенно у оз. Кумиси Восточной Грузии [2, 3, 7].

На основании структуры дорзальной поверхности яиц, характера межреберных перепонок и количества ребер удалось установить в Западной Грузии нам [8] распространение только трех форм («maculipennis», «subalpinus», «melanoon») комплекса. Однако в связи с значительной изменчивостью структуры поверхности яиц и межреберных перепонок этих форм таксономический ранг комплекса «maculipennis» в указанной части республики определен нами [8, 9, 10] гибридологическим, хромосомным и морфологическим анализами.

В результате изучения данного вопроса на уровне требований современной биологии выяснилось, что потомство F_1 при скрещивании «subalpinus» (с пестрой и черной поверхностью яиц) и «maculipennis» (с модификациями поверхности яиц) по обоим направлениям имеет типичные для межвидовых гибридов несеконъюгируемые хромосомы [10]. Исходные формы почти четко различаются между собой также по структуре поверхности эндохориона яиц и количеству ребрышек [8, 9]. На основании этих данных в Западной Грузии подтверждено распространение двух видов комплекса — *An. maculipennis* и *An. subalpinus* [8, 9, 10].

An. maculipennis распространен в равнинно-низменной и холмистой (0—200 м над уровнем моря), предгорной (200—500 м), низкогорной (500—1000 м), средне- и высокогорной (выше 1000 м) зонах Западной Грузии. Здесь он встречается в основном от 0 до 1600 м над уровнем моря и доминирует по численности от р. Псоу до р. Ингури и от р. Натанеби до Турецкой границы Аджарии. В пределах центральной части Колхидской низменности на высотах от 80 м над уровнем моря и до высоких гор он также является видом, превалирующим в комплексе по численности (см. карту).

Комары *An. subalpinus* приурочены к центральному прибрежному ландшафту равнинно-низменной и холмистой зоны — от левого берега р. Ингури до правого берега р. Натанеби. На высотах от 0 до 80 м над уровнем моря этот вид распространен здесь совместно с *An. maculipennis* (см. таблицу и карту), но в Хобском, Цхакаевском, Абашском, Ланчхутском, Самтредском районах и в г. Поти на высотах от 0 до 30 м он занимает доминантное место (51,9—91,6%) по сравнению

с последним видом. При этом в самых прибрежных населенных пунктах Зугдидского (с. Анаклия), Хобского (с. Кулеви), Цхакаевского (с. Чаладиди), Абашского (сс. Кетилари, Наесакао) районов и в г. Поти, расположенных на высотах от 0 до 15 м над уровнем моря, число



Рис. 1

комаров *An. subalpinus* колеблется от 70,2 до 91,6% (таблица). Однако в дождливый сезон, в связи с частыми разливами рек и размытием их прибрежья и пойменных водоемов — мест выплода *An. maculipennis*, в указанных местах процентное соотношение *An. subalpinus* возрастает до 94,9—98,5. В центральном прибрежном ландшафте число комаров *An. subalpinus* с черными яйцами колеблется от 0,5 до 10,5%, остальная часть популяции представлена в основном комарами, откладывающими пестрые яйца. В предгорной и низкогорной зонах комарам *An. maculipennis* сопутствует *An. subalpinus* с исключительно черными яйцами, а комары с пестрыми яйцами не встречаются выше 80—100 м над уровнем моря. Последний вид комплекса с модификациями отмеченных яиц встречается также в некоторых населенных пунктах прибрежной части Гагрского, Гудаутского, Сухумского, Гульрипшского, Очамчирского и Кобулетского районов, но в этих местах он малочислен, а на правом берегу р. Ингури, в населенных пунктах Пичори и Гогида Гальского района количество *An. subalpinus* значительно высокое (таблица).

Биотопами водных фаз *An. subalpinus* служат хорошо прогреваемые (гипертермичные) болота, заболоченности и лужи, расположенные на торфяно-болотных и иловато-болотных почвах. Водные фазы *An. maculipennis* заселяют гипер-, изо- и гипотермичные водоемы (заболоченности, лужи, пойменные водоемы, карьеры, родники, прибрежья рек, речек, озер и водохранилищ) с каменисто-песчаным или глинистым дном.

Количественное соотношение распространения видов комплекса *An. maculipennis* в центральной части равнинно-низменной и холмистой зоны на основании морфологического и гибридологического анализов в 1980—1982 гг.

Районы	Место сбора комаров	Высота пунктов сбора комаров, м. н. у. м.	Число яйцекладок (всего)	Из них число и процент	
				<i>An. subalpinus</i>	<i>An. maculipennis</i>
Гальский	Гагида	4	67	22(32,8)	45(65,7)
	Пичори	4	72	25(34,7)	47(65,3)
	Тагилони	50	63	2(3,2)	61(96,8)
Зугдидский	Анаклия	3	84	68(81,0)	16(19,0)
	Дарчели	15	77	21(27,3)	56(72,7)
	Кахати	75	80	8(10,0)	72(90,0)
Хобский	Кулеви	0	96	87(90,6)	9(9,4)
	Хорга	10	95	50(52,6)	45(47,4)
	Ноджихеви	30	81	42(51,9)	39(48,1)
Цхакаевский	Чаладиди	6	104	73(70,2)	31(29,8)
	Теклати	30	185	99(53,5)	86(46,5)
	Накалакеви	80	68	7(10,3)	61(89,7)
Абашский	Кетилари	12	102	93(91,2)	9(8,8)
	Наесакао	15	112	94(83,9)	18(16,1)
	Норио	28	73	43(58,9)	30(41,1)
Ланчхутский	Супса	7	109	67(61,5)	42(38,5)
	Нигвзиани	8	64	35(54,7)	29(45,3)
	Джапаны	10	63	36(57,1)	27(42,9)
Самтредский	Саджавахо	10	75	41(54,7)	34(45,3)
	Дапнари	10	71	38(53,5)	33(46,5)
	Пирвелмаиси	25	37	19(51,4)	18(48,6)
Махарадзевский	Уреки	3	55	31(56,4)	24(43,6)
	Натанеби	10	104	52(50,0)	52(50,0)
	Тхинвали	47	32	1(3,1)	31(96,9)
Кобулетский	Очхамури	11	91	6(6,6)	85(93,4)
	Хуцубани	27	84	4(4,8)	80(95,2)
	Бобоквати	70	23	1(4,3)	22(95,7)
г. Поти Всего	Окрестности	1—5 0—80	95 2262	87(91,6) 1152(50,9)	8(8,4) 1110(49,1)

Таким образом, в Западной Грузии из комплекса обыкновенного малярийного комара распространены *An. subalpinus* и *An. maculipennis*. *An. subalpinus* приурочен к центральному прибрежному ландшафту Колхицкой низменности от р. Ингури до р. Натанеби и на высотах от 0 до 30 м над уровнем моря доминирует. В остальных местах от низменности до высоких гор доминантное место занимает *An. maculipennis*.

Институт медицинской паразитологии
и тропической медицины
им. С. С. Вирсаладзе
МЗ ГССР

შ. სიჩინავა

ANOPHELES MACULIPENNIS MEIGEN კომპლექსის სახეობათა
 გავრცელების შეფარდება ცალკეულ ჰიფსომეტრიულ ზონითან და
 ლანდშაფტებთან დასავლეთ საქართველოში

რეზიუმე

An., maculipensis-ს კომპლექსიდან დასავლეთ საქართველოში გავრცელებულია An. subalpinus An. maculipennis. კოლხეთის დაბლობის ცენტრალურ ზღვისპირა ლანდშაფტში მდ. ენგურიდან მდ. ნატანებამდე 0-დან 30 მ სიმაღლემდე ზღვის დონიდან დომინირებს An. subalpinus. დანარჩენ ადგილებში — დაბლობიდან მაღალ მთებამდე გაბატონებულია An. maculipennis.

ENTOMOLOGY

Sh. G. SICHINAVA

PREVALENCE OF THE SPECIES OF *ANOPHELES MACULIPENNIS* MEIGEN COMPLEX IN SEPARATE HYPSEMETRIC ZONES AND LANDSCAPES OF WESTERN GEORGIA

Summary

In Western Georgia the *An. maculipennis* complex is represented by *An. subalpinus* and *An. maculipennis*. *An. subalpinus* is prevalent in the central coastal area of the Kolkheti lowland from the river Inguri to the river Natanebi and dominates at a height of 0 to 30 metres a. s. l. In the remaining places—from the lowland to the highlands—*An. maculipennis* is predominant.

ლიტერატურა — ЛИТЕРАТУРА — REFERENCES

1. Н. П. Рухадзе. Труды Троп. ин-та Абхазии, т. 2, 1936.
2. Л. П. Каландадзе, И. С. Сагателова. Мед. паразитол. и паразитар. болезни, т. 7, 1938.
3. Л. П. Каландадзе, М. К. Лемер, И. С. Сагателова. Труды III Закавказского съезда по борьбе с малярией и другими тропическими заболеваниями. Тбилиси, 1939.
4. Л. В. Гакетт, М. А. Барбер. Мед. паразитол. и паразитар. болезни, т. 4, 1935.
5. В. Н. Беклемишев. Экология малярийного комара. М., 1944.
6. А. А. Устинов. Мед. паразитол. и паразитар. болезни, т. 15, 1946.
7. М. К. Лемер. Автограферат канд. дисс. Тбилиси, 1945.
8. Ш. Г. Сичинава. Изв. АН ГССР, сер. биол., 5, № 2, 1979.
9. Ш. Г. Сичинава, В. Н. Стегний, Н. Г. Сипович. Сообщения АН ГССР, 112, № 2, 1983.
10. В. Н. Стегний, Ш. Г. Сичинава, Н. Г. Сипович. Зоол. ж., 53, № 2, 1984.

თ. გურგელიძე, გ. კაცლია, ვ. დევიარიანი, ლ. მაღლაჩვილიძე

ზოგიერთი ბიოლოგიური ინსტიტიტის მოქმედების შესახლა

CULEX PIPiens MOLESTUS FORSKAL, 1775 და AEDES
AEGYPTI LINNAEUS, 1762 კოლებზე

(წარმოადგინა ფადემიის წევრ-კორესპონდენტმა გ. ყურაშვილმა 7.6.1984)

უკანასკნელ წლებში მავნე მწერების წინააღმდეგ საბრძოლველად ბიოლოგიური ინსექტიცილები ფართოდ გამოიყენება. ამ თვალსაზრისით ნეოაპლექტრინის გვარის ნემატოდები ერთ-ერთ საუკეთესო აგნტს წარმოადგენენ. ცნობილია, რომ ეს უკანასკნელი 100-ზე მეტი სახეობის მავნე მწერებზე ინსექტიცილურ ეფექტს იძლევიან [1, 2].

დასახული ამოცანის გადასაწყვეტად გამოყენებული იყო *Neoaplectana carpocapsae*-ს შტამი *Neoaplectana agriotos*-ის წყლიანი სუსპენშია და ენტომობათოგნური ბაქტერია *Bac. thuringiensis* Berliner-ისა და მისი შტამების 0,56,90-T, BTT-ს თერმოსტაბილური ეგზოტოქსინი.

კოლო *Culex pipiens molestus* მიღებული იყო დეზინფექციისა და სტერილიზაციის ცენტრალური სამეცნიერო-კვლევითი ინსტიტუტიდან; *Aedes aegypti* — მარცინოვსკის სახელობის სამედიცინო პარაზიტოლოგიის ინსტიტუტიდან; *Neoaplectana carpocapsae agriotos* -ის კულტურა — მცენარეთა დაცვის საკაშირო ინსტიტუტიდან; ეგზოტოქსინები — ვეტერინარული სანიტარიის საკაშირო სამეცნიერო-კვლევითი ინსტიტუტიდან.

500 მლ მოცულობის ჩვეულებრივ მინის ქილებში ვათავსებდით 500 ნემ/მლ შემცველობის ნემატოდურ სუსპენშიას და დიქლორინებულ წყალზე მომზადებული ეგზოტოქსინის შემდგ კონცენტრაციებს 50, 20, 10%. სითხს რაოდენობა ქილებში იყო 300 მლ. აღნიშნულ ხსნარებში ვათავსებთ *Culex pipiens molestus*-ისა და *Aedes aegypti*-ის III—IV ასაკის 15—15 მატლა. [3]-ის მონაცემებით *Culex pipiens molestus*-ის I და II ასაკის მატლებს არ შეუძლიათ DD-136-ის შეფეხვება.

ბაქტერიების ნიაღავისა და ბიომასალის კულტივირების შემოწმების მიზნით ვაყენებდით საკონტროლო ცდებს. პირველ შემთხვევაში მატლების აღნიშნულ რაოდენობას ვათავსებდით კანტველის ნიაღავში (ეგზოტოქსინის კულტივირებული ნიაღავი). ბიომასის საკონტროლოს შემთხვევაში მატლებს ვათავსებდით დიქლორინებულ ონკანის წყალზე. საკვებად ვიყენებდით ოეთრ პურს შემდეგი გაანგარიშებით: 15 მატლზე 1,5 გ. ცდის შედეგების აღრიცხვას ვაწარმოებდით ყოველ 24 საათში. მიღებული შედეგები მოყვანილია 1. და 2 ცხრილებში.

როგორც 1 ცხრილიდან ჩანს, ნეოაპლოქტრანს სუსპენშიის ცდის დროს პირველ ოთხ დღეს კოლოების მატლების სიკვდილიანობა არ აღინიშნა, მე-5 და მე-6 დღეს კი შეაღენდა 15,5 და 20,0%. ეგზოტოქსინების შემთხვევაში პირველ ორ დღეს საცდელი კოლოების სიკვდილიანობა არ აღინიშნა. მე-3 დღეს



შტამებში 0,56, 90-T BTT, რომლებიც შეიცავდნენ 50 და 20% ეგზოტოქ-სინს, აღინიშნებოდა 13,2 და 19,2; 19,8; 13,2 და 13,2% მატლების სიკვდილიანობა. მომდევნო დღეებში მატლების სიკვდილიანობა ამ კონცენტრაციებში გაიზარდა და მე-4—5 დღეს მიაღწია 100%-ს; იმავე დროს 10% კონცენტრაციის შემთხვევაში შეადგენდა შესაბამისად 30, 60, 66%; მე-5 დღეს 66 და 60%; 33 და 80%; 50%. ყველა გადარჩენილი მატლი განვითარდა ჭუპრამდე, როგორც ბიომასალის საკონტროლო ცდაში. საცდელ ჭუპრებს ვათავსებდით ცალკეულ სათავსებში, სადაც ვაკეირდებოდით გარეგნულად ნორმალური იმავს გამოფრენას.

ცხრილი 1

ნეოაპლექტანის სუსპენზიასა და ეგზოტოქსინების სხეადასხვა შტამის ინსექტიციდური აქტივობა (%) *Culex pipiens molestus*-ის III—IV ასაკის მატლებისათვის

ბიოპრეპარატი	ნემატოფის რაოდენობა 1 მლ. და ეგზოტოქსინის პროცენტიანობა შეაბალში	აღრიცხვის დღეები			
		3	4	5	6
Neoaplectana carpocapsae-ის სუსპენზია	500	—	—	15,5	20,0
0,56 შტამის ეგზოტოქსინი	1 10 20 50 100	— — 19,2 13,2 —	— 30,0 100 100 —	60,0 — — — 6,6	— — — — —
90-T შტამის ეგზოტოქსინი	1 10 20 50 100	— — — 19,8 —	— 60,0 80,0 10,0 —	— 80,0 100 — —	— — — — 33,0
BTT შტამის ეგზოტოქსინი	1 10 20 50 100	— — 13,2 13,2 —	— 6,6 70,0 90,0 —	— 50,0 95,4 100 —	— — — — —
საკულტურატორო ნიადგის კონტროლი		—	—	12,0	36,0

2 ცხრილზე წარმოდგენილია *Neoaplectana carpocapsae agriotos* სხვადასხვა კონცენტრაციის ეგზოტოქსინის ინსექტიციდური აქტივობა *Aedes aegypti*-ის III—IV ასაკის მატლებისათვის.

ექსპერიმენტული მონაცემებიდან ჩანს, რომ ნეოაპლექტანის ნემატოდური სუსპენზია ავღენს უმნიშვნელო ინსექტიციდურ აქტივობას კოლოების მატლების მიმართ. უფრო ეფექტურია ეგზოტოქსინის მოქმედება, თანაც კონცენტრაციის გაზრდით იზრდება მწერების სიკვდილიანობა.

კოლოების მატლები უფრო მგრძნობიარეა BTT-ს შტამის ეგზოტოქსინის მიმართ.

ჩატარებული გამოკვლევების საფუძველზე ჩვენ დავადგინეთ, რომ კოლოები *Culex pipiens molestus* და *Aedes aegypti*-ის მატლებს აქვთ გარკვეული მგრძნობელობა. ზემოთ აღნიშნული შტამების ეგზოტოქსინის მიმართ და პრაქტიკულად არ რეაგირებენ ნეოაპლაქტანის წყლიან სუსპენზიაზე.

საკონტროლომ კულტივირებული ნიადაგის შემადგენლობის მიმართ გა-
მოამდევნა გარკვეული ტოქსიკურობა. თანაც ხსნარში კონცენტრაციის გაზრ-
დისას იზრდებოდა მწერების სიკვდილიანობა, მაგრამ არ მიღლწია 100%-ს მაშინ
როდესაც მატლების სრული სიკვდილი აღინიშნებოდა ეგზოტოქსინის შესა-
ბამის ხსნარებში. ამიტომ ეგზოტოქსინური ეფექტის ნაწილს ჩვენ მივაწერთ
ნიადაგის ტოქსიკურობას.

ცხრილი 2

Neoaplectana carposcapsae agriotae-ს სუსპენზიისა და *Bac. thuringiensis* Berl.
სხვადასხვა შტამის ეგზოტოქსინის ინსექტიციდური აქტივობა (%) *Aedes aegypti*-
III—IV ასაკის მატლებისათვის

პრეპარატი	ნემატოდის რაოდე- ნია 1 მლნ. და ეგზოტოქსინის პროცენტიანობა	ალტიცენის დღეები						
		4	5	6	7	8	10	12
ნეოაპლექტანას სუს- პენზია		4	5	8	10	40	60	
0,56 შტამის ეგზო- ტოქსინი	1		20	30	46	62	84	90
	10	8	28	40	48	56	75	92
	50	58	82	86	90	100		
90-T	1		13	42	58	71	86	98
	10	4	40	50	62	72	82	98
	50	30	68	70	80	100		
BTT	1	18	42	55	70	82	98	100
	10	40	55	68	70	82	100	
	50	42	90	96	100			

მიღებული მონაცემების ანალიზის შედეგად ჩვენ ვფიქრობთ, რომ ნეო-
აპლექტანას გვარის ნემატოდები არ უნდა გამოვიყენოთ ბიოლოგიური ბრძო-
ლის მიზნით აღნიშნული სახეობის კოლოების წინააღმდეგ, ხოლო ეგზოტოქსი-
ნებიდან უფრო ეფექტურია *Bac. thuringiensis* -ის შტამის BTT-ს ეგ-
ზოტოქსინი.

საქართველოს სსრ მეცნიერებათა აკადემია
ზოოლოგიის ინსტიტუტი

(შემოვიდა 26.10.1984)

ПАРАЗИТОЛОГИЯ И ГЕЛЬМИНТОЛОГИЯ

Т. В. ГУРГЕНИДЗЕ, Г. А. КАКУЛИЯ, Ц. Г. ДЕВДАРИАНИ,
Л. К. МАГЛАКЕЛИДЗЕ

ИЗУЧЕНИЕ ИНСЕКТИЦИДНОГО ДЕЙСТВИЯ РЯДА
БИОЛОГИЧЕСКИХ ИНСЕКТИЦИДОВ НА КОМАРОВ
CULEX PIPiens MOLESTUS FORSKAL, 1775 и *AEDES
AEGYPTI LINNAEUS, 1762*

Резюме

Установлено, что нематодная суспензия неоаплектаны проявляет незначительную инсектицидную активность к личинкам указанных видов комаров. Более эффективно действие экзотоксина, причем с повышением концентрации увеличивается гибель насекомых. Личинки комаров наиболее чувствительны к экзотоксину штамма BTT.

T. V. GURGENIDZE, G. A. KAKULIA, Ts. G. DEVDRARIANI,
 L. K. MAGLAKELIDZE

STUDY OF THE ACTION OF SOME BIOLOGICAL INSECTICIDES
 ON THE MOSQUITOES (*CULEX PIPiens MOLESTUS* FORSKAL,
 1775 AND *AEDES AEGYPTI* LINNAEUS, 1762)

S u m m a r y

The action of a thermostable exotoxin of the strains 056, 90-T, BTT and of entomopathogenous bacteria *Neoplectana carpopcapsae agriotos* on the title mosquitoes has been studied.

It can be concluded that a nematodic suspension of *Neoplectanae* manifests slight insecticide activity towards the larvae of the indicated mosquito species. More effective is the action of exotoxin, the insect mortality growing with the increase of concentration. The mosquito larvae are most sensitive to the exotoxin of strain BTT.

ლიტერატურა — ЛИТЕРАТУРÀ — REFERENCES

1. Г. В. Веремчук. Паразитология. т. 6, №4, 1972, 376—380.
2. Г. В. Санднер. Биол. средства защиты растений, 1974, 79—92.
3. R. H. Dadd. J. Invert. Pathol. 18(2), 1971, 246—251.

ЦИТОЛОГИЯ

Г. К. ГОГИЧАДЗЕ, Н. Н. КАЧАРАВА

ЭЛЕКТРОННОМИКРОСКОПИЧЕСКОЕ ИЗУЧЕНИЕ КЛЕТОК
МЫШЕЧНОЙ ТКАНИ В УСЛОВИЯХ ДЕЙСТВИЯ
СТАФИЛОКОККОВОГО ТОКСИНА НА ФОНЕ ОБЩЕГО
ПЕРЕГРЕВАНИЯ ОРГАНИЗМА

(Представлено академиком О. Н. Гудушаури 22.6.1984)

Как известно, при космических полетах имеют место повышенный белковый катаболизм и мышечная атрофия, которые вместе с возможным общим перегреванием организма могут способствовать ухудшению работоспособности космонавта [1, 2]. Вместе с тем, нахождение человека в условиях перегревания, приводит к ослаблению защитных сил организма и к повышению восприимчивости к возбудителям инфекций, в том числе и к представителям собственной флоры [3].

Цель данной работы заключается в электронномикроскопическом изучении мышечной ткани при сочетанном воздействии стафилококкового токсина и общего перегревания в эксперименте.

Опыты ставились на 100 неполовозрелых беспородных белых крысах-самцах весом 100—120 г. Животные подвергались ежедневному (в течение 30 дней) часовому перегреванию при 30—40°C вместе с однократной инъекцией токсина стафилококка O_{15} . Материал от животных брался в начале эксперимента, т. е. в 1-й день, затем на 5-й, 7-й, 14-й, 21-й день, а также в конце эксперимента, т. е. на 30-й день. Для электронной микроскопии материал фиксировался в 1%-ных растворах глутаральдегида и четырехокиси осмия. Материал заливался в эпон-812. Срезы контрастировались в уранил-ацетате и цитрате свинца. Визуальное изучение материала проводилось в электронном микроскопе «Tesla BC-500» при инструментальном увеличении 3000—50000.

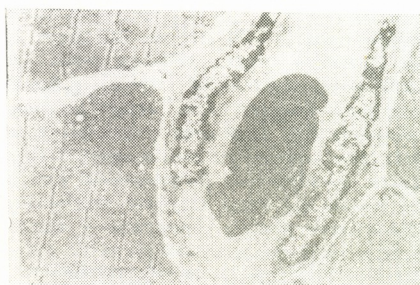


Рис. 1. 14-й день. Мышицы. Миоциты (—) с ядром удлиненной формы (ув. 4000)

На 5-й и 14-й день после введения крысам стафилококкового токсина в сочетании с гипертермией в мышечной ткани выявляются клетки с удлиненной формой ядра (рис. 1). Ядрышки четкие, гипертрофированные, нередки т. н. кольцевидные ядрышки. Часто встреча-

ются миоциты маленького размера, с ядром неправильной формы, со значительными инвагинациями ядерной мембраны. В цитоплазме миоцитов выявляются миофibrиллы, а также вакуоли большого размера. В большинстве из них локализовано электроннодense вещество неправильной формы, вероятно представляющее собой токсин (рис. 2).

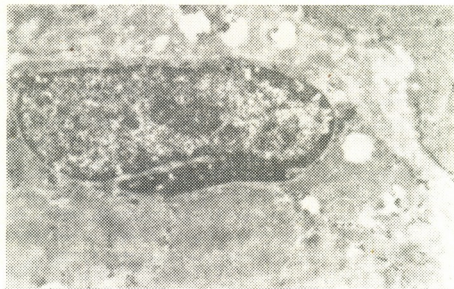


Рис. 2. 14-й день. Мышцы. Миоцит с гипертрофированным ядрышком; в цитоплазматических вакуолях локализовано электроннодense вещество (—) (ув. 5000)

На 21-й день после начала эксперимента изредка наблюдаются разрывы миофibrильных структур. Миоциты чаще имеют сферическую или продолговатую форму со значительными инвагинациями ядерной мембраны. Нуклеоплазма четко дифференцирована на электроннодense и прозрачные участки. Цитоплазма этих клеток бедна органеллами. В окружающей эти клетки мышечной ткани вакуолей не обнаружено, что, вероятно, следует приписать адаптационному механизму организма.

На 30-й день после начала опыта ядра клеток чрезвычайно полиморфны — от сферических до сегментированных форм. Ядрышки обычно отсутствуют. Хроматин дифференцирован резко — гетерохроматин чаще локализован вдоль кариолеммы. Изредка наблюдаются признаки деструкции в ядре. Вокруг клеток, между массами миофibrилл, расположены канальца. Как в канальцах, где локализованы миоциты, так и в миофibrилах отмечается резкая вакуолизация.

Таким образом, электронномикроскопическое изучение материала показало, что в первые дни после введения экспериментальным животным стафилококкового токсина в сочетании с высокими температурами в мышцах, в частности в миофibrилах, а также в миоцитах, первые признаки деструктивных изменений отмечаются с 5-го дня после введения токсина. Сходные деструктивные изменения наблюдаются и в конце эксперимента.

НИИ гематологии и переливания крови
 им. Г. М. Мухадзе
 МЗ ГССР

(Поступило 28.6.1984)

გ. გოგიჩაძე, ნ. კაჭარავა

კუნთოვანი ქსოვილის ელექტრომიკროსკოპული უსწავლა
ორგანიზმის სტაფილოკოკის ტოქსინის მოქმედებისას ორგანიზმის
საერთო გადახურვის ვონზე

რეზიუმე

შრომაში აღწერილია ვირთაგვების კუნთოვანი ქსოვილის ულტრასტრუქ-
ტურული თავისებურებანი სტაფილოკოკური ტოქსინისა და ჰიპერთერმიის პი-
რობებში.

CYTOTOLOGY

G. K. GOGICHADZE, N. N. KACHARAVA

ELECTRON MICROSCOPIC STUDY OF THE MUSCULAR TISSUE CELLS UNDER THE ACTION OF STAPHYLOCOCCUS TOXIN AGAINST THE BACKGROUND OF A GENERAL OVER-HEATING OF THE ORGANISM

Summary

Ultrastructural peculiarities of the muscular tissue of rats under the action of the staphylococcus toxin against the background of a general over-heating of the organism are described.

ლიტერატურა — REFERENCES

1. Е. И. Воробьев, О. Г. Газенко, А. М. Генин, А. Д. Егоров. Космическая биология и авиакосмическая медицина, № 1, 1984, 14—29.
2. Е. Ф. Дитлейн, П. Рембо, А. Никогосян. Там же, 8—14.
3. О. Г. Газенко. Там же, 3—8.

ЭКСПЕРИМЕНТАЛЬНАЯ МЕДИЦИНА

Д. Г. ДЕВДАРИАНИ, В. В. МЕУНАРГИЯ, И. В. ПАВЛЕНИШВИЛИ

Т- И В-СИСТЕМЫ ИММУНИТЕТА И ИЗМЕНЕНИЕ СУБПОПУЛЯЦИЙ Т-ЛИМФОЦИТОВ ПРИ СЕПСИСЕ ГРАМОТРИЦАТЕЛЬНОЙ ЭТИОЛОГИИ У НОВОРОЖДЕННЫХ И ДЕТЕЙ ГРУДНОГО ВОЗРАСТА

(Представлено членом-корреспондентом Академии И. К. Пагава 19.3.1985)

Решающим фактором защиты макроорганизма в борьбе с инфекционным агентом является активность иммунной системы. Особенно важная роль принадлежит функции различных популяций и субпопуляций лимфоцитов, которые, мобилизуюсь, специфически перестраиваются под действием возбудителя, его антигенов и опосредуют иммунный ответ [1].

За последние годы наблюдается резкий рост удельного веса сепсиса, вызванного грамотрицательными микробами [2, 3].

Вопросы о состоянии Т- и В-систем иммунитета и особенно сдвиги со стороны субпопуляций Т-лимфоцитов у новорожденных и детей грудного возраста при сепсисе, вызванном грамотрицательными микробами, в литературе практически не освещены, что и обусловило проведение данной работы.

Клинико-иммунологическому исследованию подверглись 130 больных детей в возрасте от 3 дней до 6 месяцев, которые по возрасту были разделены на две группы: I группу составили 53 новорожденных, а II—77 детей в возрасте от 1 до 6 месяцев.

108 детей поступили в клинику в остром периоде заболевания (53 новорожденных и 55 детей грудного возраста), из них у 56 был диагностирован септический шок, а у 22 — обострение затяжного течения сепсиса.

74 матери исследуемых нами детей перенесли во время беременности различные заболевания (грипп, анемия), отмечались токсикозы I и II половины беременности, у 68 рожениц — патологические роды. Анализ истории больных детей показал, что 62 новорожденных родились в состоянии асфиксии, на естественном вскармливании находились 28 детей.

Клинический диагноз сепсиса у всех больных был подтвержден бактериологическими исследованиями крови, отделяемого из пищеводных очагов, кала, мочи и спинномозговой жидкости.

Так, у 60 детей из крови выделен: *Ser. marcescens*, у 21—*E. aerogenes*, у 15—*Ps. aeruginosa*, у 12—*E. coli*, у 8—*Pr. mirabilis*, у 5—*Pr. vulgaris*, у 4—*E. cloacae*, у 2—*Kl. pneumoniae*, у 2—*Citrobacter freudii* и у 1—*Acinetobacter anitratus*.

Популяции Т(Е-рек.)- и В(ЕАС-рек.)-лимфоцитов идентифицировались по общепринятой методике спонтанного и комплементарного розеткообразования (Jondal, 1972) в незначительной модификации. Активная фракция Т-лимфоцитов определялась по Wybran (1973), субпопуляции Т-лимфоцитов (Т-хелперы и Т-супрессоры) — по методу Moretta (1977).



Отмеченные иммунологические показатели были изучены у больных детей в начале заболевания и в периоде выздоровления.

Для выявления степени достоверности результаты исследований были обработаны методом математической статистики с использованием критерии Стьюдента. Различие считалось достоверным при значении вероятности $P < 0,05$. Результаты исследования выявили определенные сдвиги в иммунологических показателях в зависимости от характера и тяжести течения септического процесса (таблица).

Как видно из таблицы, у больных детей в возрасте от 3 дней до 1 месяца отмечается глубокая иммунная депрессия, выражаясь в значительном (в 2 и более раза) снижении процентных и абсолютных показателей общей популяции Т-лимфоцитов, их активной фракции $T_{ак}$ и иммунорегулярных субпопуляций по сравнению с группой сравнения.

Особенно ярко выражено снижение индекса активности лимфоцитов — показатели соотношения суммы абсолютных количеств Т- и В-лимфоцитов к нулевым.

Иммунологические показатели новорожденных и детей грудного возраста

Возраст	Течение болезни	Т		В		О	
		%	абс	%	абс	%	абс
От 3 дней до 1 месяца	Острое течение (n=26)	38,0±2,0	983,4±88,2	8,4±0,7	214,7±23,0	53,5±2,6	1345,6±114,6
	P	<0,001	<0,001	<0,001	<0,001	<0,001	<0,001
	P ₁	<0,02	>0,05	<0,05	<0,05	<0,01	>0,05
	Септический шок (n=27)	31,7±1,5	760,4±80,0	6,4±0,6	156,5±19,4	62,1±1,9	1516,2±126,1
	P	<0,001	<0,001	<0,001	<0,001	<0,001	<0,001
	Группа сравнения (n=10)	63,1±1,9	2116,8±79,9	17,6±0,8	589,9±32,5	13,6±2,4	643,5±79,4
От 1 до 6 месяцев	Острое течение (n=26)	48,2±2,2	1452,5±132,0	9,6±0,5	296,4±28,6	42,0±2,7	1215,1±89,8
	P	>0,05	<0,05	<0,001	<0,001	>0,05	>0,05
	P ₁	<0,001	<0,02	<0,02	>0,05	<0,001	<0,01
	Септический шок (n=29)	35,6±1,7	1100,1±54,7	7,7±0,6	247,5±37,0	56,8±2,2	1877,2±236,1
	P	<0,001	<0,001	<0,001	<0,001	<0,001	<0,02
	Затяжное течение (n=22)	44,1±1,4	1478,6±144,7	8,1±0,7	288,5±35,4	47,6±1,2	1626,3±180,6
От 1 до 6 лет	P	<0,02	>0,05	<0,001	<0,001	<0,001	>0,05
	Группа сравнения (n=10)	50,6±2,1	1756,8±72,6	13,2±0,9	457,1±28,2	36,2±2,2	1270,9±105,6

Примечание: Р—вероятность различия с группой сравнения; Р₁—с группой

Обращает на себя внимание значительное снижение количества $T_{ак}$ -лимфоцитов, представляющих собой отдельную субпопуляцию Т-лимфоцитов в эфферентном звене клеточного иммунитета. Сниже-

ние количества активных Т-лимфоцитов указывает на иммунодефицитное состояние или функциональную недостаточность Т-клеток [4].

Из всех указанных в таблице параметров соотношение T_μ/T_γ сохранено в пределах нормы, но только за счет равномерного снижения отдельных иммунорегуляторных субпопуляций.

Следует отметить, что в обеих возрастных группах при септическом шоке отмечается более глубокая иммунная депрессия по сравнению с острым течением сепсиса.

Острое и затяжное течение септического процесса в возрасте от 1 до 6 месяцев протекает на фоне менее выраженных сдвигов иммунологических показателей.

Таким образом, при сепсисе, особенно при его остром течении, вызванном грамотрицательными микробами, у новорожденных отмечается более глубокое поражение Т- и В-систем иммунитета по сравнению с детьми грудного возраста, что, по всей вероятности, обусловливает у них более тяжелое клиническое течение сепсиса.

при сепсисе, вызванном грамотрицательными микробами

T _γ		T _μ		T _{ак}		T _μ /T _γ	ИАЛ
%	абс	%	абс	%	абс		
9,2±0,55	98,3±12,7	34,5±2,5	380,8±56,9	11,1±1,5	158,3±21,6	3,76±0,24	0,98±0,10
<0,001	<0,001	<0,001	<0,001	<0,001	<0,001	>0,05	<0,001
<0,001	<0,01	<0,01	<0,01	>0,05	<0,01	>0,05	<0,01
7,0±0,39	55,6±8,4	22,9±1,8	194,2±40,4	9,9±1,1	84,8±16,8	3,29±0,17	0,66±0,05
<0,001	<0,001	<0,001	<0,001	<0,001	<0,001	>0,05	<0,001
13,6±0,60	262,2±18,7	52,7±4,0	1135,7±121,3	24,1±2,1	519,2±61,3	3,89±0,33	5,26±1,0
9,0±0,4	96,6±10,4	46,9±2,8	736,8±82,7	17,3±1,7	295,6±50,6	5,44±0,42	1,63±0,22
<0,001	<0,001	>0,05	>0,05	>0,05	>0,05	<0,001	>0,05
<0,001	>0,05	<0,001	<0,001	<0,001	<0,02	>0,05	<0,001
6,0±0,5	72,9±11,9	27,7±1,4	341,8±36,9	11,2±0,8	145,6±30,1	4,92±0,34	0,83±0,06
<0,001	<0,001	<0,001	<0,001	<0,001	<0,001	<0,001	<0,001
7,7±0,7	109,0±12,3	36,8±1,7	562,3±76,5	15,6±1,5	246,4±52,6	5,34±0,4	1,13±0,05
<0,001	<0,001	<0,01	<0,02	>0,05	>0,05	<0,001	<0,001
12,3±0,5	215,5±12,6	44,4±2,0	783,2±54,8	17,3±0,7	301,2±13,0	3,65±0,1	1,87±0,18

септического шока; п—число обследованных.

Результаты проведенных исследований указывают на наличие иммунодефицитного состояния при сепсисе, вызванном грамотрицательными микробами, и дают возможность заключить, что вышеотме-

ченные иммунологические показатели адекватно отражают степень тяжести клинического течения септического процесса, а по характеру и динамике их изменений можно получить важную диагностическую информацию.

Тбилисский государственный институт
усовершенствования врачей
МЗ СССР

(Поступило 21.3.1985)

ექსპერიმენტული მდგრადი

დ. დევდარიანი, ვ. მეუნარგია, ი. პავლენიშვილი

იმუნიტეტის T-და B-სისტემა და T-ლიმფოციტების სუბკოპულაციების ცვლილება გრამუარყოფითი მიკრობებით გამოწვეული სეფსისით დაა-მუშაობილი 130 ბავშვის კლინიკა და სპეციფიკური იმუნიტეტის მაჩვენებლები, აქედან ახალშობილი — 53, 1-დან 6 თვემდე ასკის — 77 ბავშვი.

გრამუარყოფითი მიკრობებით გამოწვეული სეფსისით დაავადებულ ახალშობილებში და ჩვილ ბავშვებში აღინიშნება T ლიმფოციტების, მისი სუბპოლუაციებისა და T აქტიური ლიმფოციტების რაოდენობის მკვეთრად დაჭვეოთება სეფსისის კლინიკურად მძიმე მიმდინარეობის ფონზე, განსაკუთრებით კი სეპტიური შოკის დროს.

EXPERIMENTAL MEDICINE

D. G. DEVDARIANI, V. V. MEUNARGIA, I. V. PAVLENISHVILI

T AND B SYSTEM OF IMMUNITY AND ALTERATION OF T LYMPHOCYTE SUBPOPULATIONS IN NEWBORN AND 1-6 MONTH OLD CHILDREN WITH SEPSIS INDUCED BY GRAM-NEGATIVE MICROBES

Summary

The authors have studied the clinical picture and specific immunity parameters of 130 children (53, newborn and 77, 1-6 month old) suffering from sepsis induced by gram-negative microbes.

A drastic decrease in the number of T lymphocytes as well as of the subpopulations of T lymphocytes and T active lymphocytes was observed against the background of a heavy clinical course, especially during septic shock.

The immunity parameters of 1-6 month old children were close to normal values this probably being a good prognostic indicator.

ლიტერატურა — REFERENCES

1. Р. В. Петров. Иммунология и иммуногенетика. М., 1976.
2. Г. И. Нижарадзе, И. В. Павленишвили. Сепсис новорожденных и детей раннего возраста. Тбилиси, 1983.
3. Г. А. Самсыгина. Автореферат докт. дисс. М., 1985.
4. J. Wybran, H. H. Funderberg. J. Clin. Invest., 52, № 5, 1973, 1026-1032.

УДК 612.824.1 : 612.112.24

ЭКСПЕРИМЕНТАЛЬНАЯ МЕДИЦИНА

З. Г. НАДАРЕИШВИЛИ, Ю. А. МАЛАШХИЯ

О ПРОИСХОЖДЕНИИ ЛИМФОЦИТОВ НОРМАЛЬНОЙ ЦЕРЕБРОСПИНАЛЬНОЙ ЖИДКОСТИ

(Представлено членом-корреспондентом Академии В. И. Бахуташвили 12.9.1984)

Большинство исследователей [1] считают, что лимфоциты церебро-спинальной жидкости (ЦСЖ) гематогенного происхождения. Однако, как известно, при миграции лимфоцитов крови в ЦСЖ всегда возникает воспалительная, аутоиммунная реакция клеточного и гуморального типа. Также показано, что при инкубации лимфоцитов крови в ЦСЖ лимфоциты крови разрушаются вследствие их несовместимости [2].

Таким образом, до сих пор остается необъяснимым вопрос о происхождении клеток ЦСЖ за гематоэнцефалическим барьером (ГЭБ). Несмотря на огромное количество работ, посвященных изучению разных сторон функции ГЭБ, возможность прохождения через неповрежденный ГЭБ лимфоцитов крови не исследовалась.

Задачей настоящей работы явилось установление возможного происхождения лимфоцитов крови через неповрежденный ГЭБ и происхождение лимфоцитов ЦСЖ.

Для изучения возможности прохождения лимфоцитов брали кровь из вены собаки, метили ^{51}Cr (2×10^6 клеток), отмывали и инкубировали с 100 мк ^{51}Cr в течение 1 часа при 37°C , отмывали 3 раза культуральной средой 1640-RPMJ. Меченные лимфоциты вводили тем же животным обратно внутривенно. Через каждые 2 часа извлекали ЦСЖ из большой цистерны и проверяли возможность прохождения меченных ^{51}Cr лимфоцитов крови в ЦСЖ. Подсчет импульсов проводили в камере фирмы «Gamma» (Венгрия).

Экспериментальные исследования показали невозможность прохождения лимфоцитов через неповрежденный ГЭБ. Проникновение меченных лимфоцитов через ГЭБ нам удалось обнаружить только в патологических условиях, приводящих к повышению его проницаемости. С этой целью мы вызывали черепно-мозговую травму у собак, приводящую к повышению проницаемости ГЭБ, вводили меченные лимфоциты внутривенно и через 2–4 часа после травмы извлекали ЦСЖ. Таким путем нам удалось обнаружить меченные лимфоциты в ЦСЖ с помощью «Gamma»-счетчика.

Полученные результаты показали, что лимфоциты ЦСЖ не гематогенного происхождения. Однако оставалось неясным происхождение лимфоцитов и моноцитов ЦСЖ. Возникло предположение о возможности прохождения клеток ЦСЖ из стволовых клеток-предшественников. Для подтверждения этого предположения были предприняты попытки выявления клеток-предшественников ЦСЖ с использованием метода культивирования одноядерных клеток в двухслойной агаровой системе, который, как известно, является одним из методов, нашедших применение в клинической иммунологии для выявления клеток-предшественников [3].



Исследовали ЦСЖ у 16 практически здоровых лиц, оперированых по поводу криптохизма. У этих лиц 5–10 мл ЦСЖ извлекали во время спинальной анестезии. Результаты исследования приведены в табл. 1 и 2.

Таблица 1

Частота образования колоний в двухслойной агаровой системе в зависимости от количества размещенных клеток

Количество размещенных в агаре мононуклеарных клеток ЦСЖ	Количество образовавшихся колоний
3×10^4	$16,0 \pm 1,2$
5×10^4	$15,3 \pm 3,6$

Использование метода культивирования клеток ЦСЖ в двухслойной агаровой системе позволило выявить в ЦСЖ наличие коммитированных клеток-предшественников, образующих исключительно лимфоидные и смешанные (макрофагально-гранулоцитарные) колонии (см. табл. 1, 2). Отсутствие эритроидных колоний говорит об отсутствии плорипотентных кроветворных стволовых клеток в ЦСЖ. Клетки-предшественники в ЦСЖ были обнаружены также с применением моноклональных антител против человеческих стволовых клеток ОКТ-10.

Таблица 2

Морфологический анализ клеток колоний ЦСЖ

Лимфоидные	Эритроидные	Смешанные (гранулоцитарно-макрофагальные)
65,4%	Не обнаружены	34,6%

Таким образом, пополнение и постоянное самоподдерживание толерантных к антигенам мозга иммуноактивных лимфоцитов и моноцитов за ГЭБ в нормальных условиях осуществляются коммитированными клетками-предшественниками. Созревание и превращение клеток предшественников в Т-и В-лимфоциты ЦСЖ происходят под воздействием тимозина — гормона, который синтезируется в ЦНС в ядрах гипоталамуса и в большом количестве обнаруживается в ЦСЖ [4].

Существующая между ЦНС и иммунной системой функциональная взаимосвязь во многом определяется пептидными гормонами гипоталамуса. Показано функциональное сходство пептидных гормонов, синтезируемых клетками гипоталамуса, с лимфокинами, синтезируемыми клетками иммунной системы. Некоторые из пептидных гормонов гипоталамуса способны стимулировать развитие и дифференцировку Т-клеток, а также продукцию лимфокинов (интерферон, интерлейкин-2 и др.).

Результаты предыдущих исследований указывают на функционирование в ЦСЖ толерантных к антигенам мозговой ткани автономных иммуноактивных лимфоцитов, моноцитов, а в ЦНС — систем мононуклеарных фагоцитов в виде клеток микроглии, которые в нормальных условиях не индуцированы антигенами и находятся в «покоящемся» состоянии, т. е. в нормальных условиях в ЦНС и ЦСЖ обычно отсутствуют реакции иммунитета. При антигенной стимуляции находящиеся в «покоящемся» состоянии клетки индуцируются, активизируются и осуществляют локально в ЦНС, без участия общей иммунной системы организма иммунологический надзор. При нарушении же функции ГЭБ иммунокомpetентные клетки крови мигрируют за гемато-

тоэнцефалический и гематоликворный барьеры и вызывают развитие аутоиммунных реакций клеточного и гуморального типа. При нарушении функции ГЭБ свой мозг для иммунокомпетентных клеток крови становится «чужим» и в ответ на проникновение в ЦСЖ и ЦНС иммунокомпетентных клеток крови возникает не защитная, а аутоиммунная реакция, которая способствует еще большему поражению нервной ткани.

Таким образом, полученные результаты дают основание утверждать, что источниками Т- и В-лимфоцитов и моноцитов ЦСЖ являются находящиеся среди одноядерных клеток ЦСЖ клетки-предшественники.

Обнаружение клеток-предшественников подтверждает концепцию о функционировании автономной иммунной системы мозга, морфофункциональной основой которого являются клетки-предшественники, Т- и В-лимфоциты, их субпопуляции, моноциты, естественные киллерные клетки, макрофаги, клетки микроглии, обеспечивающие иммунологический надзор в нормальных условиях в забарьерном органе—ЦНС.

Тбилисский государственный институт
усовершенствования врачей
МЗ СССР

(Поступило 16.11.1986)

05200000000000000000

Ч. НАДАРЕИШВИЛИ, Ю. МАЛАШКХИА

Лимфоциты ЦСЖ
Церебральный спинномозговой
жидкости

Резюме

Установлено, что лимфоциты ЦСЖ не являются кровью, а являются клетками-предшественниками, находящимися среди одноядерных клеток ЦСЖ. Это подтверждает концепцию о функционировании автономной иммунной системы мозга, морфофункциональной основой которой являются клетки-предшественники, Т- и В-лимфоциты, их субпопуляции, моноциты, естественные киллерные клетки, макрофаги, клетки микроглии, обеспечивающие иммунологический надзор в нормальных условиях в забарьерном органе—ЦНС.

EXPERIMENTAL MEDICINE

Z. G. NADAREISHVILI, Yu. A. MALASHKHI

ON THE ORIGIN OF T-AND B-LYMPHOCYTES IN NORMAL CEREBROSPINAL FLUID

Summary

Experiments involving dogs have demonstrated nonhematogenous origin of cerebrospinal fluid (CSF) lymphocytes. In normal conditions no penetration of lymphocytes through an intact hematoencephalic barrier was detected.

To identify the sources of T- and B- lymphocytes among mononuclear cells of CSF the method of cultivating trunical cells and those of predecessors in a two-layer agar system according to Noess *et al.* (2). Mononuclear CSF



cells, were cultivated in¹² practically healthy persons. CSF was taken during spinal anaesthesia in practically healthy persons operated for cryptorchidism. The concentration of the injected mononuclear CSF cells varied from 3.10^4 to 5.10^4 . In the 7th-15th days of cultivation the growth of colonies—cell aggregates—was observed; morpho-cytochemical analysis of these colonies showed that they consist exclusively of lymphoid and mixed (macrophagic-granulocytic) cells, which in turn points to the presence in the CSF of committed cells of predecessors of T- and B- lymphocytes and monocytes.

Committed predecessor cells ensure the replenishment and self-support in the CSF of autonomous lymphocytic and monocytic cells tolerant to brain antigens. The predecessor cells, T- and B- lymphocytes, their subpopulations, monocytes, macrophages, and microglial cells form the immune system of the brain, ensuring immunological supervision in normal conditions in the transbarrier organ—the CNS and the subarachnoid space.}

ლიტერატურა — REFERENCES

1. А. П. Фридман. В кн.: «Основы ликворологии». Л., 1971, 138—256.
2. A. A. Noess. Int. Arch. Allergy and appl. immunol. 70, № 2, 1983, 97-99.
3. T. R. Bradley. Metcalf. Austral. J. Exp. Biol. and Med. Sci. 44, 1966, 287.
4. J. Wyvill. Acta clin. Belg., 39, № 3, 1984, 131-135.

ЭКОНОМИКА

Я. Е. МЕСХИЯ, Н. Б. ХУЧУА

ЭКОНОМЕТРИЧЕСКОЕ МОДЕЛИРОВАНИЕ И
ПРОГНОЗИРОВАНИЕ РАЗВИТИЯ МАШИНОСТРОИТЕЛЬНОГО
КОМПЛЕКСА

(Представлено академиком А. Л. Гуния 14.10.1985)

В процессе совершенствования планирования и управления народным хозяйством одно из главных мест принадлежит составлению долгосрочных прогнозов на всех уровнях иерархии экономики. В настоящее время накоплен определенный опыт по составлению прогнозов экономического и социального развития как по стране в целом [1], так и по союзным республикам [2]. Проведены исследования по моделированию и прогнозированию социально-экономического развития Грузинской ССР [3]. Разработана система региональных эконометрических моделей, позволяющих рассчитать прогнозные параметры синтетических показателей на макроуровне (Груз-1), на уровне основных отраслей материального производства (Груз-2), на уровне отраслей промышленности (Груз-3). Однако предложенная система моделей не дает возможности провести прогнозные расчеты в разрезе отдельных подотраслей машиностроительного комплекса.

В настоящей работе предложены методические принципы разработки эконометрической модели прогнозирования основных синтетических показателей развития машиностроительного комплекса союзной республики. Главной целью отраслевой эконометрической модели Груз-4 является анализ и прогнозирование таких синтетических показателей машиностроения, как валовая и чистая продукция, основные производственные фонды и капитальные вложения, ввод в действие и выбытие основных производственных фондов, амортизация, численность занятых в отрасли и др., а также показателей эффективности общественного производства — производительности труда, фондооборудованности, фондоотдачи и др.

Модель Груз-4 состоит из сводного блока и двух отраслевых блоков. В сводном блоке обеспечиваются расчеты прогнозных параметров в целом по машиностроительному комплексу. В рамках первого отраслевого блока осуществляется расчет прогнозов тех подотраслей, развитие которых в основном предопределется уровнем производственных и общественных потребностей в их продукции. Такими являются те комплексообразующие отрасли машиностроения, продукция которых преимущественно имеет местное назначение, например продукция машиностроения легкой и пищевой промышленности, тракторного и сельскохозяйственного машиностроения, строительного, дорожного и коммунального машиностроения и межотраслевого машиностроения.

Во втором отраслевом блоке обеспечивается расчет прогнозов тех отраслей машиностроения, развитие которых в основном зависит от производственно-ресурсных возможностей. Сюда включены те подотрасли специализации машиностроения, продукция которых преимущественно вывозится из республики. Такими являются электротехническая промышленность, тяжелое, энергетическое и транспортное машиностроение, приборостроение, автомобильная промышленность и другие отрасли машиностроения.

Для первого отраслевого блока эконометрическая прогнозно-аналитическая модель записывается следующим образом:

$$M_j = f(V\Pi_{\text{пром}}, V\Pi_{\text{чтп}}, V\Pi_{\text{чх}});$$

$$V\Pi_j = f(M_j, \text{ВВОЗ}_j, \text{ВЫВОЗ}_j),$$

$$\chi_j = (\chi_{\text{маш}}, t) \text{ ОПФ}_j = f(V\Pi_j, \chi_j),$$

$$\text{ВОФ}_j = f(\text{ОПФ}_{j,t}, \text{ОПФ}_{j,t-1}),$$

$$A_j = f(\text{ОПФ}_j, t), \text{ КВ}_j = f(\text{ВОФ}_j, t),$$

$$\text{ПТ}_j = \frac{V\Pi_j}{\chi_j}, \quad \Phi\text{O} = \frac{V\Pi_j}{\text{ОПФ}_j}, \quad \Phi\text{B} = \frac{\text{ОПФ}_j}{\chi_j},$$

где ВП — валовая продукция; ЧП — чистая продукция; М — производственное потребление продукции отрасли; Ч — численность занятых в отрасли; КВ — капитальные вложения; ВОФ — ввод в действие основных фондов; ОПФ — основные производственные фонды; А — амортизация; ПТ — производительность труда; ФО — фондотдача; ФВ — фондоооруженность, $j=1, 2, 3, 4$ — порядковый номер отраслей первого отраслевого блока.

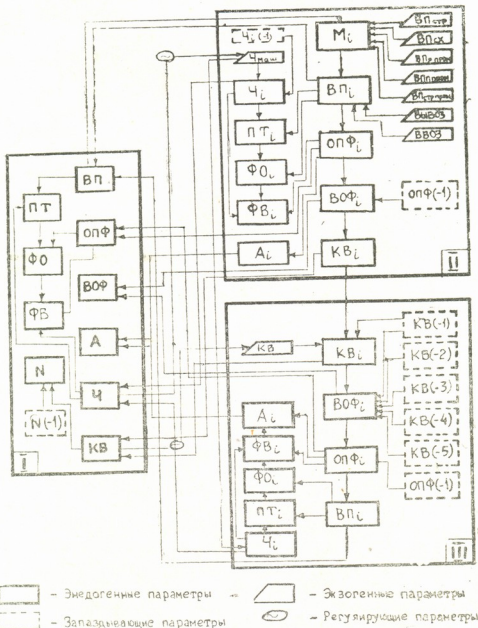


Рис. 1. Блок-схема причинно-следственных зависимостей в эконометрической модели

Поскольку объем показателей М и ВП зависит от характера производственных связей отрасли и от производственного потребления, то они для каждой отрасли первого блока рассчитываются по-разному.

Для машиностроения легкой и пищевой промышленности

$$M_j = f(V\Pi_{\text{л.пром}}, V\Pi_{\text{п.пром}}), \quad V\Pi_j = f(M_j, \text{ВВОЗ}).$$

Для строительного, дорожного и коммунального машиностроения

$$M_j = f(B\Pi_{\text{стр. пром}}, B\Pi_{\text{стр}}, B\Pi_{j, t-1}), \quad B\Pi_j = f(M_j, \text{ВЫБОЗ}).$$

Для тракторного и сельскохозяйственного машиностроения

$$M_j = (B\Pi_{\text{стр}}, B\Pi_{\text{сx}}, B\Pi_{j, t-1}), \quad B\Pi_j = f(M_j, \text{ВЫБОЗ}).$$

Для межотраслевого машиностроения

$$M_j = f(B\Pi_{\text{маш}}), \quad B\Pi_j = f(M_j, \text{ВЫБОЗ}).$$

Эконометрическая модель анализа и прогнозирования развития отраслей второго отраслевого блока в общем виде записывается следующим образом:

$$\begin{aligned} \Psi_j &= f \left[\left(\Psi_{\text{маш}} - \sum_{j=1}^4 \Psi_j \right); \Psi_{j, t-1} \right], \\ KB_j &= f \left[\left(KB_{\text{маш}} - \sum_{j=1}^4 KB_j \right), KB_{j, t-1} \right], \end{aligned}$$

$$BO\Phi_j = f(KB_j [K]), \quad OP\Phi_j = f(OP\Phi_{j, t-1}, BO\Phi_j),$$

$$A_j = f(OP\Phi_j, t), \quad B\Pi_j = f(OP\Phi_j, \Psi_j, t),$$

где $j = 5, 6, 7, 8, 9, 10$ — порядковый номер отраслей второго отраслевого блока, $k = 0, 1, 2, 3 \dots \tau_{\max}$.

Показатели эффективности рассчитываются аналогично первому отраслевому блоку.

Показатели сводного отраслевого блока рассчитываются по формулам

$$B\Pi_{\text{маш}} = \sum_{j=1}^{10} B\Pi_j; \quad \Psi_{\text{маш}} = \sum_{j=1}^{10} \Psi_j, \quad OP\Phi_{\text{маш}} = \sum_{j=1}^{10} OP\Phi_j,$$

$$A_{\text{маш}} = \sum_{j=1}^{10} A_j, \quad BO\Phi_{\text{маш}} = \sum_{j=1}^{10} BO\Phi_j, \quad KB_{\text{маш}} = \sum_{j=1}^{10} KB_j,$$

$$PT_{\text{маш}} = \frac{B\Pi_{\text{маш}}}{\Psi_{\text{маш}}}, \quad FO_{\text{маш}} = \frac{B\Pi_{\text{маш}}}{OP\Phi_{\text{маш}}}, \quad FB_{\text{маш}} = \frac{OP\Phi_{\text{маш}}}{\Psi_{\text{маш}}}.$$

Причинно-следственная зависимость между отдельными блоками эконометрической прогнозно-аналитической модели машиностроительного комплекса схематически представлена на рис. 1.

Выбор конкретной формы уравнений эконометрической модели осуществляется на основе анализа ретроспективных закономерностей поведения исследуемых показателей. В прогностической модели машиностроительного комплекса Грузинской ССР уравнения приняли в основном вид линейной, логарифмической и степенной функции. При расчете конкретных статистических характеристик модели используются коэффициенты корреляции и детерминации, Дарбина—Уинстона и др. Реализация отраслевой эконометрической прогнозной модели требует автономного расчета ряда экзогенных параметров с помощью регрессионных уравнений.

На базе вышепредложенной модели нами рассчитаны прогнозы свыше 90 экономических показателей развития машиностроительного комплекса Грузинской ССР на долгосрочную перспективу в трех вариантах. По первому варианту прогнозов предусматривается несущественное замедление темпов развития машиностроительного комплекса, по второму — инерционное, стабильное развитие, а по третьему



ему — ускорение темпов роста. Анализ прогнозных данных показывает, что исходя из социально-экономических проблем, стоящих в настоящее время перед республикой, наиболее желаемым (оптимальным) вариантом является по первому отраслевому блоку — третий вариант, а по второму блоку — второй вариант прогнозных параметров. По этим вариантам за прогнозируемый период ожидаются прогрессивные сдвиги в отраслевой структуре машиностроения, существенно возрастает удельный вес комплексообразующих отраслей. Анализ и верификация эконометрических прогнозов машиностроительного комплекса указывает на их пригодность для формирования исходных концепций развития отрасли на долгосрочную перспективу и тем самым на практическую направленность разработанной нами прогнозной эконометрической модели Груз-4.

НИИ экономики, планирования
и управления народным
хозяйством при Госплане
Грузинской ССР

(Поступило 18.10.1985)

გვონიშვილი

ი. ვისეია, ნ. ხუჭუა

მანქანათმმართველობის კომპლექსის განვითარების
მკონვენიული მოდელირება და პროგნოზირება

რეზიუმე

შემუშავებულია რესპუბლიკის მანქანათმშენებლობის განვითარების სტატოლი ეკონომეტრიკული მოდელი — Груз-4, ჩატარებულია ექსპერიმენტული პროგნოზული გაანგარიშებები და მიღებული შედეგებით დასაბუთებულია მოდელის პრაქტიკული დანიშნულება.

ECONOMICS

Ja. E. MESKHLA, N. B. KHUCHUA

ECONOMIC MODELLING AND PROGNOSING OF A MACHINE-BUILDING COMPLEX

Summary

The paper presents a three-block econometric model (Gruz-4) of the development of a machine-building complex of a union republic; experimental prognostic calculations have been carried out, and the practical significance of the model is substantiated on the basis of the results obtained.

ლიტერატურა — ЛИТЕРАТУРА — REFERENCES

1. А. И. Анчишкин. Прогнозирование роста социалистической экономики. М., 1973.
2. Р. Я. Почек. Эконометрическая модель комплексного прогнозирования промышленного производства союзной республики. Рига, 1981.
3. Я. Е. Месхия. Вопросы методологии регионального эконометрического прогнозирования. М., 1983.

მ. გურგენიძე

მორფომა -išin თურქული ენის სივასის დიალექტში

(წარმოადგინა აკადემიკოსმა ს. ჯიქიძე 29.9.1984)

თურქული ენის დიალექტების შესწავლა დაიწყო XIX ს. მეორე ნახევარში. დღეს თურქულ დიალექტოლოგიაში მოიპოვება როგორც საბჭოთა, ისე უცხოელ მკვლევართა შენიშვნელოვანი გამოკვლევები [1], მაგრამ კერ კი-დევ შეუსწავლელია ოღონისავლეთ ინატოლის ზოგი დიალექტი, მათ შორის სივასის დიალექტიც, რომელიც ჩვენი კვლევის საგანს წარმოადგენს.

საანალიზო მასალა ამოღებულია უცხოელი [2] და თურქი მკვლევრების [3] მიერ შედგენილი დიალექტოლოგიური კრებულებიდან. მასალა შესწავლილია შეპირისპირების მეთოდით — საკვლევი დიალექტის მორფოლოგიური სისტემა მთლიანად შეპირისპირებულია სალიტერატურო თურქული ენის მორფოლოგიურ სისტემასთან, შეპირისპირების შედეგად წარმოჩენილ მრავალ საკითხებს შორის ჩვენი ყურადღება მიიქცია სივასის დიალექტში საქმაოდ პროდუქტულმა აფიქსმა -išin, რომელიც უცხოა თანამედროვე სალიტერატურო თურქული ენისათვის. ცნობა აღნიშნული აფიქსის შესახებ არ დაიძებნა ჩვენთვის ხელმისაწვდომ თურქოლოგიურ საენათმეცნიერო ლიტერატურაშიც, არც საბჭოურში [4—6] და არც უცხოურში [7—9].

მხოლოდ თურქი მეცნიერი თ. ე ჩაგინი [10], აბსოლუტივების რიგის აფიქსთა შორის ასახელებს ჩვენთვის საინტერესო ჭორფებასაც. მ. ერგონის მიხედვით, აღნიშნული მორფება თავს იჩენს ძველ ანატოლიურ თურქულში. მისი გავრცელების არედ იგი მიიჩნევს ყარამანულ დიალექტს და მმბობს, რომ ამ არეალში იგი დღესაც ცოცხალია, მაგრამ, როგორც ვხედავთ, ყარამანულ დიალექტთან ერთად აფიქსი -išin სივასის დიალექტშაც შემოგვინახა. როგორც ჩანს, ეს აფიქსი არქეულია და სავარაუდოა, რომ ენის განვითარების გარკვეულ ეტაპზე იგი საქმაოდ პროდუქტულიც უნდა ყოფილიყო.

ჩვენს მიერ მოძიებული მასალების მიხედვით შევეცადეთ დაგვედგინა -išin აფიქსის ადგილი საკვლევი დიალექტის მორფოლოგიურ სისტემაში და მისი გრამატიკული ფუნქცია. გამოირკვა, რომ მორფება -išin არის დროის აბსოლუტივების რიგის აფიქსი, რადგანაც აქმაყოფილებს ყველა იმ პირობას, რაც დროის აბსოლუტივებს მოეთხოვება: ერთვის ზმნურ ფუნქციებს, აქეს დროის გამოხატვის შესაძლებლობა, ფორმაუცვლელია, არ გამოხატავს კილოს და არ დაირთავს თანდებულებს, ე. ი. მორფება -išin, როგორც გრამატიკული კატეგორია, თურქული ენის სივასის დიალექტში წარმოადგენს დროის აბსოლუტივს.



აღნიშნული მორფემის ფუნქციის დადგენისას გარკვეულ სირთულეს „შე-ვხვდით. თუ ამოვალთ დებულებიდან, რომ ამა თუ იმ აბსოლუტივის ფუნქციის დადგენისას გათვალისწინებულ უნდა იქნეს არა მარტო მოცემული აბსოლუტივის მიმართება მთავარ და მეორეხარისხოვან მოქმედებებთან, არამედ მიმართება სხვადასხვა აბსოლუტივებს შორისაც, მაშინ -iśin აფიქსისათვის მხოლოდ ერთი გარკვეული ფუნქციის დადგენა შეუძლებელი ხდება. როგორც ჩვენს მიერ მოძიებული მასალების ანალიზით ირკვევა, მორფემას -iśin საკვლივე დიალექტში აქვს უფრო მეტი ფუნქციონალური დატვირთვა, ვიდრე აბსოლუტივების რიგის რომელიმე აფიქსს:

1. დაერთვის რა ზმნურ ფუძეებს, იგი გადმოსცემს წინამავალ მოქმედებას დროში და უთანაბრდება აბსოლუტივს -ince, მაგ. Aslanzâde ხუსი გირუშინ (~სალიტ. görünce) gortdu 'როცა ეს ალანზადე დაინახა, შეშინდა'; Boz duman çöküşün (~სალიტ. çokünce) yarı yoldan dönmüş 'როცა რუხი ნისლი ჩამოწოლილა, ნახევრად გზიდან უკან მობრუნებულა'; Axşam oluşup (~სალიტ. olunca) variyorum-ki kinä dützlânmiş 'როცა სალამთ დგება, მივდივარ და კვლავ გასწორებულია და სხვა.

აღსანიშნავია, რომ ერგინიც ყარამანულ დიალექტში დაღასტურებულ აბსოლუტივს -iśin მიიჩნევს — ince მორფემის ეკვივალენტად [10, გვ. 328].

2. მორფემა -iśin საკვლევ დიალექტში, გარდა წინამავალი მოქმედებისა, თანადროულ მოქმედებასაც გადმოგცემს. მაგ.: Nâmas gilmiya gedisiñ (~სალიტ. giderken) guş bana ne yapıyor, gelin bahin 'როცა ნამაზის შესასრულებლებიდ მივდივარ, ერთი ნახეთ რას მიშვრება ჩიტი'; Baba uyumusışun (~სალიტ. uyumuşken) uyandim-ki atin birini yemiş 'მიმა, ის იყო ჩამდინებოდა, გავიღიძე და ვხედავ ერთი ცხენი შეუჭამას'.

ამასვე მიგვანიშნებს ჩვენი მასალების ავტორიც, როდესაც -iśin აფიქსიანი ზმნის სალიტერატურო ფორმას წარმადგენს -ken აბსოლუტივით [3, გვ. 76]. ეს უკანასკნელი კი, როგორც ცნობილია, სალიტერატურო თურქულ ენაში გადმოსცემს თანადროულ მოქმედებას [11].

მაშასადამე, როგორც ირკვევა მორფემას -iśin თანამედროვე თურქული ენის სივასის დიალექტში აქვს უფრო მეტი ფუნქციონალური დატვირთვა, ვიდრე იმავე დიალექტში და სალიტერატურო თურქულ ენაში დაღასტურებული აბსოლუტივების რიგის დროის აღმნიშვნელ აფიქსებს. -ince და -ken, რომლებსაც აქვთ მხოლოდ ერთი ფუნქცია. დაერთვის რა ზმნის ფუძეს, იგი გადმოსცემს როგორც წინამავალ, ისე პარალელურ მოქმედებას დროში, ე. ი. მას აქვს როგორც -ince, ისე -ken აბსოლუტივების ფუნქცია, რაც დიალექტის თვისებურებას წარმოადგენს.

საქართველოს სსრ მეცნიერებათა აკადემია

გ. წერეთლის სახ. აღმოსავლეთმცოდნეობის

ინსტიტუტი

М. Г. ГУРГЕНИДЗЕ

МОРФЕМА -İŞİN В СИВАССКОМ ДИАЛЕКТЕ ТУРЕЦКОГО ЯЗЫКА

Резюме

В статье рассматривается вопрос о новой, характерной только для сивасского диалекта, двоякой функции деепричастия -işin.

LINGUISTICS

M. G. GURGENIDZE

THE MORPHEME 1ŞİN IN THE SIVAS DIALECT OF TURKISH

Summary

A new, dual function of the adverbial participle —*işin* — characteristic only of the Sivas dialects—is discussed.

ЛІТЕРАТУРА — REFERENCES

1. А. П. Векилов. Турецкая диалектология. Л., 1973.
2. M. Rasanen. Türkische sprachproben aus Mittel-Anatolien. Sivas vil. Hesligforsiae. 1933.
3. A. Caferoglu. Sivas ve Tokat illeri agıtlarından toplamalar, İstanbul. 1944.
4. А. Н. Кононов. Грамматика современного турецкого литературного языка. М.—Л., 1956.
5. В. А. Гордлевский. Избранные сочинения, т. II. М., 1961.
6. Н. К. Дмитриев. Страны тюркских языков. М., 1962.
7. Y. Deny. Grammaire de la langue turque (Dialecte Osmanli). Paris, 1922.
8. Г. Д. Гълъбов. Турска грамматика. София, 1949.
9. В. Atalay. Ekler ve kokler. İstanbul. 1958.
10. M. Ergin. Türk dilbilgisi. İstanbul. 1972.
11. Н. Н. Джанашиа. Морфология турецкого глагола. Тбилиси, 1981.

გ. ბურჟულაძე

„დადების“ აღმიგვნელი ზონის თაობაზე კაპუშურ-ჰუნიბურ ენაში

(წარმოადგინა აკადემიკოსმა არჩ. ჩიქობავაშ 15.4.1985)

„დადების“ ოღნიშვნელი ზმნა კაპუშურ-ჰუნიბურში გრამატიკულ კლასებს დღეს განარჩევს ფუძეში ხმოვანთა მონაცვლეობით:

კაპუშური დიალექტი: ა) ტლადალური თქმა: გოლცა (I გრ. კლ.), გოლჩა II, V გრ. კლ.), გულცა (III, IV გრ. კლ.) „დებს“ [1, 98], ბ) ბეჭიტური თქმა: გოლალ (I გრ. კლ.), გოლალ (II გრ. კლ.), გულალ (III, IV გრ. კლ.) „დადება“ [2, 116].

ჰუნიბური დიალექტი: გვლა (I გრ. კლ.), გოლა (II, III გრ. კლ.), გულა IV, V გრ. კლ.) „დადება“ ...გვლარ, გილერ, გულერ (გრ. კლასების მიხედვით) „დაღო“ [1, 30, 48].

სხვა დიდოურ ენებში იმავე წარმომავლობის „დადების“ ოღნიშვნელი ზმნა გრამატიკული კლასების მიხედვით უცვლელია: დიღ. ქურა, ხვარშ. ქულა, ჰინ. გორა.

გარკვეულია, რომ მოყვანილ ზმნებში თავკიდური გ. ქ (მომდევნო ხმოვნებითურთ) პრეფიქსული ელემენტებია, ხოლო რ<*ლ<*ლ, ლ<ლ* — ძირეული მორფები [3, 106—107].

ლ ძირეულმორფებიანი ზმნები (ზოგჯერ ფონეტიკურად სახეცვლილი) წარმოდგენილია რიგს დაღესტნურ ენაში, სადაც ზოგ ზმნას გრამატიკული კლასის მოქმედი ნიშანი უძღვის წინ: ტინდ. ბ-ილ'ო, კარ. ბ-ილ'ე, ბაგვ. ბ-ილპი<*ბ-ილ'-ი, ახვახ. ბ-ილ'ერი „დაღო“⁽¹⁾... ლაკ. ბ-იშინ<*ბ-იხ'ინ<*ბ-ილ'ინ, დარგ. ქა-ბ-ირბ'ეს<*ქა-ბ-ირლ'ეს „დადება“⁽²⁾... არჩ. ე (-ვ-, -რ-, -ბ-) ლ'ას „დადება“...

შენიშვნავენ, რომ დიდოურ ენათა თავკიდური გუ-(გო), ქუ- ელემენტების ფუნქცია, მართალია, ბოლომდე არაა ნათელი, მაგრამ მათ გამოყოფას ლეზ-გიურ ენებში დადასტურებული ლოკატიური მნიშვნელობის მქონე ანალოგიური პრეფიქსების არსებობა (როგორიცაა, მაგალითად, წახ. გი-ხ' ეს „დადება“) დაუჭირდა მხარსო [3, 107]. მართლაც, ასეთი პრეფიქსული ელემენტები „დადების“ ოღნიშვნელ ზმნებთან სხვა შემთხვევებშიცაა ცნობილი:

ალ. ჰი-ხ'ას „რისამე წინ დადება“. ქაი-ხ'ეს<*გი-ხ'ეს, რუთ. გი-ხ'ის „რისამე ქეშ დადება“... [4, 252]... ხინ. ჩე-შირი<*ქე-ხ'ირი³, დარგ. ქა-ბ-იხ'ეს „დადება“...

მაშასადამე, დიდოურ ენათათვის ამოსავალი შემდეგი ფურქები ყოფილა: გულლა<*გუ-ლ'ალ (კა.3.), გულა<*გუ-ლ'ა (ჰუნ.).; ქურა<*ქუ-ლა<*ქუ-ლ'ა (დიღ.); ქულა<*ქუ-ლ'ა (ხვარშ.); გორა<*გო-ლა<*გო-ლ'ა (ჰინ.) „დადება“.

(1) იმავე ძირის შემცველია, აგრეთვე, ქაბ. ბელ'ულა „დაამზადა ქსელი (ნობის, მატერიის საქსოვალ)“ [4, 251].

(2) მართალია, ამ და ზოგი სხვა დაღესტნური ენისათვის „დადების“ ოღნიშვნელ ლექსი-მათათვის *ლ* ძირეულმორფებიანი ზმნა ნაიარაუდევი [4, 251; 5, 121—122], მაგრამ იქ არაა გაფასალისწინებული დიდოურ ენათა შესაბამის რომელიც ტ. გ. უ დავამ შეართებულად დაკავშირა ხუნდურ-ანდიურ ენათა სათანადო ზმნებთან [3, 106—107].

3 შტრ. [4, 251], რომლის თანახმადაც ჩე<*ჩია<*დე — გრამატიკული კლასის ნიშანია.



თუ აღნიშნულ ფუძეებს შევადარებთ ზემოთ მოყვანილ იმავე მნიშვნელობის კლასისშიან ზმნებს, მაშინ დიდოურ ენათა სათანადო ზმნებთანაც ისტორიულად გრამატიკული კლასის ნიშნებია საგულვებელი. ჩანს, დიდოურში, ხვარშიულსა და ჰინუბურში ეს ნიშნები პრევერბონიდთა დართვის შემდეგ უკვილოდ დაკარგულია, კაპუსტურ-პუნიბურ ენაში კი მისი კვალია: გრამატიკული კლასები ზმნის ფუძეში ხმოვანთა მონაცემებით განირჩა (რაც ერთგვარი კომპენსაციაა გრამატიკული კლასის ნიშნების დაკარგვისა). სახელდობრ:

ჰუნწიბურ დიალექტში პრევერბონიდული გა-〈*გა- შედარებით უცვლელად ჩანს დაცული (შდრ. დარგ. ქა-ბიძეს, „დადება“); როცა ის შეერწყმა ზმნის ფუძეს, კლას-ნიშანი უკვალოდ გამქრალა:

*გა-ტV-ლ⁽⁴⁾ > *გა-ტლ⁽⁵⁾ა (ხმოვნის რედუქციით) > *გალ⁽⁶⁾ა (*ტლ კომპლექსის გამარტივებით) > *გალ⁽⁷⁾ა > გალა (დელატერალიზაციით) „დადო“ (I გრ. კლ.).

სამაგიეროდ, კაპუსტურში *ტლ კლას-ნიშანს გავლენა მოუხდენია *გა- ელემენტის ხმოვანზე და ნაწილობრივ დაუმსგავსებია იგი:

*გა-ტV-ლ⁽⁸⁾ ალ > *გა-ტ-ლ⁽⁹⁾ ალ (ხმოვნის რედუქციით) > *გო-ტლ⁽¹⁰⁾ ალ (ნაწილობრივი ასიმილაციით) > *გო-ლ⁽¹¹⁾ ალ (ა-ის დისიმილაციური დაკარგვით)⁽¹²⁾ > გოლალ (დელატერალიზაციით) „დადება“.

II გრამატიკული კლასის ა ნიშანსაც გავლენა მოუხდენია წინამავალ ხმოვანზე, დაუმსგავსებია იგი სრულიად და შემდგომ თვით დაკარგულა:

*გა-მV-ლ⁽¹³⁾ ალ⁽¹⁴⁾ > *გო-მV-ლ⁽¹⁵⁾ ალ (სრული ასიმილაციით) > *გო-ლ⁽¹⁶⁾ ალ (ხმოვნის რედუქციით) > *გი-ლ⁽¹⁷⁾ ალ (ა-ის დისიმილაციური დაკარგვით) > გილალ (დელატერალიზაციით) „დადება“.

ასეთივე პროცესია სავარაუდო ჰუნწიბურისათვისაც:

*გა-მV-ლ⁽¹⁸⁾ ა > *გო-მV-ლ⁽¹⁹⁾ ა > *გი-ლ⁽²⁰⁾ ა > გილა „დადება“.

ჩანს, III გრამატიკული კლასის ბ ნიშანსაც მოუხდენია გავლენა წინამავალ ხმოვანზე, დაუმსგავსებია იგი და შემდგომ თვით დაკარგულა:

კაპუჭური: *გა-ბV-ლ⁽²¹⁾ ალ > *გუ-ბV-ლ⁽²²⁾ ალ (ასიმილაციით)⁽²³⁾ > *გუ-ბლ⁽²⁴⁾ ალ (ხმოვნის რედუქციით) > *გუ-ლ⁽²⁵⁾ ალ (ბ-ის დისიმილაციური დაკარგვით) > გულალ (დელატერალიზაციით) „დადება“.

ჰუნწიბური: *გა-ბV-ლ⁽²⁶⁾ ა > *გუ-ბV-ლ⁽²⁷⁾ ა > *გულ⁽²⁸⁾ ა > გულა „დადება“. მართალია, გულა „დადება“ ჰუნწიბურში IV, V გრამატიკული კლასის სახელთან იხმარება, მაგრამ IV გრამატიკული კლასის ნიშანი აქ სწორედ ბ-ია (რაც შეეხება V გრამატიკულ კლასს, აქ კლასის ნიშანად რ გვევლინება⁽²⁹⁾; ჩანს, გულა „დადება“ ფორმა განხოვადებულა).

ამგვარად, „დადების“ აღმნიშვნელ კაპუსტურ-ჰუნწიბურ ზმნაში გრამატიკული კლასის გამოხატვა ფუძეში ხმოვანთა მონაცემებით — მეორე ული ყოფილა, შედეგი ზმნის ფუძეში მომხდარი გარკვეული ფონეტიკური ცვლილებებისა.

სპეციალურ ლიტერტურაში აღნუსხულია სხვა შემთხვევებიც, რიცხვით არც თუ ბევრი, როცა კაპუსტურ-ჰუნწიბური ზმნა გრამატიკულ კლასებს განარ-

(4) აღნიშვნისათვის: V — ხმოვანი.

(5) ანალოგიური შემთხვევებისათვის ლაკურში იხ.: [6, 153—154].

(6) შდრ. მრ. რიცხვის სათანადო ფორმა „გა-მა-ლნა“ < *გა-მა-ლნა „დებენ“.

(7) შდრ. მრ. რიცხვის სათანადო ფორმა გუ-ტუ-ლცა < *გუ-ბა-ლცა „დებენ“.

(8) აღსანიშვნავია, რომ ლ- < *ლ- ძირულმორფებინან ფორმა სწორედ გვევეტული რ- კლასიშინთა წარმოდგენილი ჰუნწიბურში ჩ-გლა „ქარქაშის“ სახით [7, 159]. ამისავალი „დადება“ მნიშვნელობაა: „ჩასადები აბა“ > „ქარქაში“. ასეთი სემანტიკური გადასცელა სუნდურ-ანდიურ-დილორ ენებში ცნობილია [3, 107; 7, 159; იგრეოვე: 4, 145].

ჩევს ფუძეში ხმოვანთა მონაცემეობით (მაშასალამე, „დადების“ აღმნიშვნელი ზმნა კაპუჭურ-ჰუნტიბურისა ამ თვალსაზრისით არ დგას განცალკევებით):

კაპუჭური დალექტი: ა) ტლადალური თქმა: გლც (I გრ. კლ.), გნჩ(II, V გრ. კლ.), გუც (III, IV გრ. კლ.) „მიდის“; ტოტოც (I გრ. კლ.), ტუტოც (II, V გრ. კლ.), ტუტოც (III, IV გრ. კლ.) „ტოვებს“, „აგდებს“ [I, 98]. ბ) ბეჭიტური თქმა: გოვალ (I გრ. კლ.), გოძალ (II გრ. კლ.), გუვალ (III, IV გრ. კლ.) „მოსვლა“; გოწალ (I გრ. კლ.), გიწალ (II გრ. კლ.), გუწალ (III, IV გრ. კლ.) „ჩევნება“; გოვაწალ (I გრ. კლ.), გოძაწალ (II, გრ. კლ.), გუვაწალ (III, IV გრ. კლ.) „ძებნა“; ტოტალ (I გრ. კლ.), ტუტალ (II გრ. კლ.), ტუტალ (III, IV გრ. კლ.) „დაგდება“, „მოსროლა“; თას (I გრ. კლ.), თის (II გრ. კლ.), თუს (III, IV გრ. კლ.) „წავიდეთ“, გოჲ (I გრ. კლ.), გიჲ (II გრ. კლ.), გუჲ (III, IV გრ. კლ.) „იარე“, „წაღი“ [2, 116-117].

ჰუნზიბური დალექტი: გირ (III გრ. კლ.), გურ (V გრ. კლ.) „მოდიოდა (წვიმა, თოვლი)“; ნაწა (I გრ. კლ.), ნიჲა (II გრ. კლ.), ნუწა (IV გრ. კლ.); „საჭიროდ ყოფნა“; ნარ (I გრ. კლ.), ნირ (II, III გრ. კლ.), ნურ (IV-VI გრ. კლ.) „მოვიდა ქე“; თას (I გრ. კლ.), თის (II გრ. კლ.), თუს (IV გრ. კლ.) „იარე ჩემთან ერთად“; თაშა (I გრ. კლ.), თიშა (II, III გრ. კლ.), თუშა (IV-VI გრ. კლ.) „შეება“, „დაკარება“; ტტრა (I გრ. კლ.), ტიტრა (II, III გრ. კლ.), ტუტრა (IV-VI გრ. კლ.) „გადაგდება“, „დატოვება“ [I, 30, 48].

გრამატიკული კლასების გარჩევის თვალსაზრისით ამ ზმნებთანაც ისეთი ვითარება უნდა ყოფილიყო ისტორიულად, როგორიც ზემოთ „დადების“ აღმნიშვნელ კაპუჭურ-ჰუნტიბურ ზმნაში ვივარაუდეთ. ამდენად, სალიქრელია, რომ ისტორიულ ეს ზმნებიც კლას-ნიშნიანები იყო. მაშინ ავ ჩამოთვლილ ზმნებშიც „დადების“ აღმნიშვნელი კაპუჭურ-ჰუნტიბური ზმნის ანალოგიური ვითარება საგულვებელი იყო⁽⁹⁾.

საქართველოს სსრ მცენიერებათა აკადემია
ენათმეცნიერების ინსტიტუტი

(შემოვიდა 25.4.1985)

ЯЗЫКОЗНАНИЕ

Г. Т. БУРЧУЛАДЗЕ

О ГЛАГОЛЕ, ОБОЗНАЧАЮЩЕМ «ПОЛОЖИТЬ», «КЛАСТЬ» В КАПУЧСКО-ГУНЗИБСКОМ ЯЗЫКЕ

Р е з у м е

Глагол, обозначающий «положить», «класть» в капучско-гунзибском языке, по грам. классам ныне различается при помощи внутренней флексии гласных.

Указанное различие по грам. классам является вторичным — результатом утери исторически действовавших показателей грам. классов⁽¹⁾.

(9) ჩემთო მოყვანილ ბეჭიტურ ზმნათა მიმართ იგარაუდა ვ. მაღიევ ვაკ [2, 117], ოლონდ, სთანადო ნიმუშების ანალიზის გარეშე:

10 ეს ზოგადი. ისე კი, არა გამორიცხული გრამატიკული კლასების მიხედვით ზმნათა ზემოთ აღნიშნული გარჩევა ცალკეულ შემთხვევებში ანალოგითაც იყოს გამოწვეული.

(1) Действующие показатели грам. классов ныне представлены в соответствующих глагольных основах некоторых дагестанских языков ([4], 251; [5], 121—123; [3], 106—107).

G. T. BURCHULADZE

ON THE VERB "TO PUT, TO LAY" IN THE KAPUCHA-GUNZIB LANGUAGE

Summary

The verb "to put, to lay" in the Kapucha-Gunzib language expresses the opposition of grammatical classes by means of the internal flexion of vowels:

The indicated opposition of grammatical classes is a *secondary* phenomenon, a result of the loss of historically productive markers of grammatical classes¹, e. g.

ლიტერატურა — ЛИТЕРАТУРА — REFERENCES

1. Е. А. Бокарев. Цезские (дидойские) языки Дагестана. М., 1959.
2. Г. И. Мадиева. Грамматический очерк бежтинского языка. Махачкала, 1965.
3. Т. Е. Гудава. Историко-сравнительный анализ консонантизма дидойских языков. Тбилиси, 1979.
4. Сб. «Сравнительно-историческая лексика дагестанских языков», М., 1971.
5. Б. К. Гигинейшили. Сравнительная фонетика дагестанских языков. Тбилиси, 1977.
6. გ. ბურჯულაძე. ნარვევები იბერიულ-კავკასიურ ენათა მორფოლოგიდან. თბილისი, 1980.
7. Т. Е. Гудава. Консонантизм андийских языков. Тбилиси, 1964.

¹ Productive grammatical class markers are at present found in certain verbal stems of some Dâghestanian languages ([4], p. 251; [5], p. 121-123; [3], p. 106-107).

6. დარასელი

ბრიტანული საგაზითო სათაურის ტექსტთან მიმართების ჯობივრობის
საჭიროები

(წარმოადგინა აყადემიკოსმა თ. გამყრელიძემ 17.10.1985)

ლინგვისტიკაში არსებობს ტექსტის ცნების სხვადასხვა გავება. ჩვენ ვიზიარებთ იმ თვალსაზრისს, რომ ტექსტი არის ენობრივი კომუნიკაციის ქტი. იგი შეიძლება წარმოდგენილი იყოს ენის ზეპირი ან წერითი ვარიანტის სახით [1]. წერითი ტექსტის ერთ-ერთ კონსტიტუენტს სათაური წარმოადგენს. ბრიტანული საგაზითო მასალის საფუძველზე შევეცადეთ შეგვესწავლა სათაური-ტექსტის მიმართება.

სათაური საგაზითო ტექსტის მნიშვნელოვანი კომპონენტია. მასში უნდა ლაკონიურად გამოიხატოს ტექსტის ძირითადი ფაქტუალური და პრაგმატული ინფორმაცია. სათაური და ტექსტი ერთ მთლიანობას ქმნან. მათ შორის არსებობს არა მხოლოდ პროპოზიციული, არამედ ლექსიკურ-გრამატიკული კავშირიც. ეს უკანასკნელი სათაური-ტექსტის პრაგმატული ერთიანობის შედევია.

როგორც ცნობილია, მეტყველების პროცესი „თემატიზაციით“ ხასიათდება. მოსაუბრე-შეტრალი წინ პლაზე გამოვყენთ და თვეს საკომუნიკაციო მიზანთა შესაბამისად ლინგვისტურ ფორმაში აყალიბებს შეტყობინების იმ მონაკვეთს, რომელიც საკომუნიკაციო ქტში ამოსავალი წერტილის ფუნქციას შეასრულებს და განსაზღვრავს მთელი ტექსტის ინტერაქტურაციას. საგაზითო სათაური ასეთი თემატიზაციის შედეგია. სათაურში გარკვეული პოზიციის თვალსაზრისით ორგანიზებული შეტყობინება ფსიქოლოგიურად ამზადებს მკითხველს ტექსტუალური ინფორმაციისადმი, უქმნას მას განწყობას მასალის მართებული გაზეთის თვალსაზრისით აღვმისათვის.

თემატიზაციის შედეგია თვით ტექსტის კორპუსის იერარქიული სტრუქტურა. საგაზითო ტექსტი იყოფა სემანტიკურ მონაკვეთებად, რომელთაგან ერთ-ერთს დომინანტის მნიშვნელობა ენიჭება. მონაკვეთი-დომინანტა წარმოადგენს საგაზითო ტექსტის ფაქტუალური და პრაგმატული ინფორმაციის ცენტრს. გარდა ამისა, ყოველ ტექსტს აქვს თემატური ველი, რომელიც იქმნება კომუნიკაციისათვის ღირებული ლინგვისტური ერთეულების (პირდაპირი, სინონიმური ან პერიფრაზული) განმეორებით.

ინფორმაციულ საგაზითო უანრებში მონაკვეთი-დომინანტა ნათლად გამოიყენება თემატური ველის ფონზე. 78% შემთხვევაში ინფორმაციულ საგაზითო უანრებში მონაკვეთი-დომინანტა ტექსტის კორპუსის პირველ ნაწილშია მოთავსებული. ტექსტის კორპუსის დანარჩენ ნაწილში მოცემულია შეტყობინების დეტალიზაცია. სტატისტიკური მონაკვებიდან გამომდინარე შეიძლება ითქვას, რომ ინფორმაციულ საგაზითო უანრებში ტექსტის ორგანიზაცია სტანდარტული სტრუქტურის მხედვით ხორციელდება. ეს გაპირობებულია შემდეგი ფაქტორებით: გაზეთისათვის დამახასიათებელი დროით-სივრცობრივი შეზღუდვით, შეტყობინების ხასიათით.



მხატვრულ-პუბლიცისტურ და ანალიტურ საგაზეთო ჟანრთა მცირებულების მიმართ ინფორმაციულ საგაზეთო ჟანრთათვის დამახასიათებელ ტექსტის ორგანიზაციის პრინციპს მიმართავს. მხატვრულ-პუბლიცისტურ და ანალიტურ საგაზეთო ჟანრებში ტექსტის ორგანიზაცია მეტი მრავალფეროვნებითა და ინდივიდუალობით გამოიჩინება. ონლაინულ საგაზეთო ჟანრებში მონაცემი-დოკუმენტთა მოთავსებულია ტექსტის კორპუსის შუა (53%) ან ბოლო ნაწილში (23%). ზღვარი თემატურ ველსა და მონაცემთ-დოკუმენტას შორის ნათლად არ გამოიკვეთება.

იმ შემთხვევაში, როდესაც ტექსტის კორპუსში კომუნიკაციისათვის ღირებული რამდენიმე სემანტიკური მონაცემი (ინფორმაციული ცენტრი) გამოიყოფა, ტექსტის ექლევა სათაურთა ნაკრები.

განხეთში სათაური-ტექსტის მიმართება შემდევ ხსიათს ატარებს: ერთი მხრივ ტექსტი წარმოადგენს სათაურის ფაქტუალური და პრაგმატული ინფორმაციის წყაროს. იგი განსაზღვრავს მის ლანგვისტურ სტრუქტურას. ხოლო მეორე მხრივ, საგაზეთო სათაური ეხმარება მქითხველს ტექსტის ინფორმაციული ცენტრისა და თემატური ველის გამოვლენაში. სათაური ტექსტის დასრულებულობის გამაპირობებელი ფაქტორია, ტექსტის კორპუსის ორგანიზაციის საშუალება.

უნდა განვიხსხევათ ერთმანეთისაგან სათაური-ტექსტის შეკავშირების ორი ტიპი: უშუალო და ასოციაციური. უშუალო შეკავშირების დროს სათაურისა და ტექსტის შორის არსებობს ლექსიკურ-გრამატიკული მსგავსება. სათაურის ლექსიკურ-გრამატიკული თავისებურებანი გაპირობებულია ტექსტის ინფორმაციული ცენტრის ლექსიკურ-გრამატიკული თავისებურებით.

ასოციაციური კავშირის დროს ლექსიკურ-გრამატიკული მსგავსება სათაურისა და ტექსტის შორის სუსტად არის გამოვლენილი, ან საერთოდ არ არის გამოვლენილი. არსებობს მხოლოდ სათაური-ტექსტის პრაგმატული ერთიანობა. თუ სათაური-ტექსტის შეკავშირების პირველი ტიპი ახასიათებს ინფორმაციულ საგაზეთო ჟანრებს (93%), ასოციაციური შეკავშირება დამახასიათებელია მხატვრულ-პუბლიცისტური (83%) და ანალიტური (62%) საგაზეთო ჟანრებისათვის.

ბრიტანული საგაზეთო სათაურის ტექსტთან მიმართების საფუძველზე გამოვყავით სათაურის შემდევი ტიპები:

1. ს ა თ ა უ რ ი -ი ნ ტ რ ი ლ უ ც ი ა . ინტროდუქციულ ტიპს მივაკუთვნეთ SV-სინტაქსური სტრუქტურის მქონე სათაურები. SV-სტრუქტურა ენობრივი სისტემის დონეზე ორაზროვნობითა და აბსტრაქტულობით ხასიათდება [2]. განხეთში კონტექსტუალიზაციის შემთხვევაში SV-სტრუქტურას აბსტრაქტულობას „ამძაფრებს“ საგაზეთო ენის ისეთი ზოგადი მახასიათებლები, როგორიცაა აქტივური განუსაზღვრელი დრო, არტიკულის ელიფსი.

SV-სტრუქტურიანი სათაურების დაზუსტება-დაკონკრეტება ტექსტში ხორციელდება. მიმართება ონლაინული სტრუქტურის მქონე სათაურისა და ტექსტის შორის კატაფორულია.

2. ს ა თ ა უ რ ი -შ ე გ ა მ ე ბ ა საგაზეთო სათაურის გავრცელებული ტიპია. ონლაინული ტიპის სათაურს შეიძლება პრონონდეს წინადაღების სტრუქტურა (SVO_d, SVO_{O_d}, SVA, SVO_{dA}, რთული წინადაღების სტრუქტურა), ან გამოიხატოს სახელის ფრაზით, რომელიც თავის მხრივ ტექსტის ინფორმაციული ცენტრის ერთ-ერთი პრედიკატული სტრუქტურის ნომინალიზაციას წარმოადგენს. სახელის ფრაზით გამოხატული სათაური სტატიკური და აბსტრაქტულია, პრედიკატული სტრუქტურით გამოხატული სათაური კი კონკრეტული და დინამიური. თუ ტოპიკალიზაციის შედეგად პრედიკაციულ სტრუქტურაში გამოიკვე-

თება „ძველი ინფორმაცია“ (თემა) და „ახალი ინფორმაცია“ (რემა), სახელმწიფო უნივერსიტეტის სათაური თვითონ წარმოადგენს თემას ტექსტის კორპუსის მიმართ. პრედიკაციული სტრუქტურის მქონე სათაურის მიმართება ტექსტთან კატაფორულია, სახელის ფრაზით გამოხატული სათაურისა კი ანაფორული. სათაური-შეჯამება დამახასიათებელია ინფორმაციული საგამოცხაო უნივერსიტეტისათვის.

3. სათაური-შეფასება. მასში ექსპლიციტურად გამოიკვეთება ტექსტუალური მოღალობა, რომლის ექსპლიციტური გამოხატვის საშუალებას ქმნიან სინტექსური სტრუქტურა SVC_s, ფაქტუალური ზმნის შემცველი სტრუქტურა SVO_{dC₀}, განსაზღვრებითი ქვეწყობილი წინადადების შემცველი რთული წინადადება, განსაზღვრების ფუნქციაში მიმღება პირველი ან ზედსართავი სახელის მქონე სტრუქტურა მსაზღვრელი — საზღვრული. სათაური-შეფასების მიმართება ტექსტთან მიზეზ-შედევობრივი ხსიათისაა.

4. სათაური-შეფასება. რეკლამურობა სათაურის ერთ-ერთი მნიშვნელოვანი ფუნქციათაგანია. სათაურმა უნდა მიიჩიდოს მკითხველი, დააინტერესოს იგი, აძლევოს რომ სტატია წაიკითხოს, სათაური რეკლამას უკეთებს სტატიას. რეკლამურ საგამოცხაო ტიპს მივაკუთვნეთ სათაურები, რომელთა ლინგვისტური ფორმა ტექსტუალური ინფორმაციის სრული გადმოცემის საშუალებას არ იძლევა:

ა) კითხვითი წინადადებანი. როგორც ცნობილია, კითხვითი წინადადება წინადადების ფუნქციონალური ტიპია, რომელიც გამოხატავს მწერლის არასრულ (ნაკლულ) ინფორმაციას გარკვეულ საკითხთან მიმართებაში. კვლევამ დაგვანახეა, რომ 42% შემთხვევაში ტექსტი სათაური-შეკითხვის პასუხს შეიცვას, 51% შემთხვევაში ტექსტში გამოხატული ინფორმაცია არამატიონ, არადამაკაყოფილებელ პასუხს იძლევა სათაურში დასმულ შეკითხვაზე. დანარჩენ შემთხვევაში სათაური, მიუხედავად კითხვითი ფორმისა, ძახით წინადადებას უახლოვდება ფუნქციონალურად. სათაური-შეკითხვის გამოყენება გზიერში აღრესატის კომუნიკაციაში ჩაბმას ისახავს მიზნად. სათაური-შეკითხვა უშუალობისა და თანაგანცდის ეფექტს ქმნის.

ბ) სტრუქტურა Wh+Clause. საგამოცხაო ტექსტის ანალიზმა დაგვანახა, რომ 34% შემთხვევაში სტრუქტურა Wh+Clause რთული წინადადების ნაწილს — ქვეწყობილ წინადადებას წარმოადგენს. დანარჩენ შემთხვევაში ოღნიშნული სტრუქტურა ირიბი კითხვაა, რომელიც პირდაპირი კითხვისაგან განსხვავებით ოფიციალურ, იმპრესონალურ ხსიათს ატარებს. ხშირ შემთხვევაში აღნიშნული სტრუქტურის მქონე სათაურს რიტორიკული ულერადობა აქვს. სათაურ-რეკლამის ტიპს მივაკუთვნეთ აგრეთვე გ) სათაური ციტატი და დ) წინადადების მნიშვნელოვანი წევრის (ქვემდებარის, შემასმენლის ან დამატების) ელიფსის შემცველი სტრუქტურები.

5. სათაური-მინიჭნება. მიუთითებს მკითხველს ტექსტში განხილული მასალის თემაზე. სათაურ-მინიჭნებას მივაკუთვნეთ არსებითი სახელით გამოხატული სათაურები და და-კავშირით შეერთებული სახელის ფრაზები. სათაური-მინიჭნება აღიქვება როგორც სათაური-ტექსტის პროპოზიციული სტრუქტურის სუბიექტი.

თბილისის სახელმწიფო უნივერსიტეტი



Н. В. ДАРАСЕЛИЯ

НЕКОТОРЫЕ ВОПРОСЫ СООТНОШЕНИЯ БРИТАНСКОГО ГАЗЕТНОГО ЗАГОЛОВКА С ТЕКСТОМ

Р е з ю м е

В статье рассматриваются особенности соотношения британского газетного заголовка с текстом. Заголовок как один из конституентов письменного текста, является результатом тематизации.

На основе соотношения заголовок-текст выделены следующие типы газетных заголовков: заголовок—интродукция, подытоживание, оценка, реклама и указание.

LINGUISTICS

N. V. DARASELIA

SOME PECULIARITIES OF HEADLINE/TEXT CORRELATION IN BRITISH NEWSPAPERS

Summary

The paper deals with the problem of the headline/text correlation in British newspapers. Headline, as one of the constituents of written text, is the result of thematisation. The newspaper headline and text can be regarded as a unity. The link between them is not only propositional but lexical and grammatical as well. The latter is pragmatically determined. On the basis of headline/text correlation the newspaper headlines are classified into: introductory, summary, advertising, evaluative, and pointing heads.

ԱՌԵՋԱՑՄԱՆ — ЛИТЕРАТУРА — REFERENCES

1. G. Brown, G. Yule. Discourse Analysis, Cambridge, 1983.
2. R. Quirk *et al.* A Grammar of Contemporary English, London: Longmans, 1974.

3. საძრავი

ცენტრალურ-ამინისტრაციაში და უიდაბართლური გრინჯაოს
კულტურების ურთიერთობის საპირობები

(წარმოადგინა ეკადემიკოსმა ა. აფაქიძემ 9.11.1985)

მცხეთაში სამთავროს ველზე გათხრილი, ე. წ. გვიანდრინგაოს ხანის სამარხების ინვენტურში გამოიყო ცენტრალურ-ამიერკავკასიური ბრინჯაოს კულტურისათვის დამახასიათებელი ორქეოლოგიური მასალები [1], ე. ი. შუაბრინგაოს ხანის კომპლექსები.

ასეთია სამარხთა პირველი ჭგუფი (№№ XVI, 55, 61, 62, 70, 71, 92, 112, 123, 142, 178, 194, 243, 263). ამათგან ორი სამარხი (70, 178) შუაბრინგაოს ხანის დასასრულისაა: ძვ. წ. XVI—XV სს. მიკეუთვნება ბრინჯაოს პირამიდულთავიანი საკინძი და თიხის ჭურჭელი — მორგვეზე ამოკვენილიცა და ხელით ნაძერწიც. ამათ შორის შედარებით ძველი იერსახე აქვს ოთხი სამარხის (71, 123, 243, XVI) ინვენტურს. ყველა ისინი პირველ ქრონოლოგიურ ჭგუფში ერთიანდება (სურ. 1, I) და შუაბრინგაოს ხანით თარიღდება.

წარმომავლობით ამ ჭგუფთან აღმოჩნდა დაკავშირებული უშუალოდ მომდევნო ქრონოლოგიური საფეხურის არქეოლოგიური მონაპოვარი — უპირატესად მოყვავისფრო-მოვარდისფროდ გამომწვარი, სამეთუნეო მორგვეზე ამოყვანილი თიხის ჭურჭელი (სურ. 1, II) აღმოჩენილი 12 სამარხში (S-1, K-1, 9, 41, 60, 93, 111, 122, 161, 185; N-10, აგრეთვე თიხის ჭურჭელი № 2901).

ამ გახვდება გვიანდრინგაოს ხანისათვის დამახასიათებელი, შავ-ლეგად გამომწვარი დერგისებური ჭურჭელი (სამარხები: 1, K-1, 9, 41), რომელსაც ანალოგები ეძებნება ოლეს [1], თრელიგორების, ნამგალმიწის [2], მუხაოვერდისა და წეროვან-საბურების არქეოლოგიურ მასალებში.

მესამე ჭგუფი (სამარხები №№ 7, 62, 139, 145, 146, 153, 160, 163) ქრონოლოგიურად მომდევნოა და წარმომავლობითაც წინა საფეხურის — მეორე ჭგუფის კომპლექსებს უკავშირდება (სურ. 1, III) მესამე ჭგუფისათვის დამახასიათებელი თიხის ჭურჭელი პარალელებს პოულობს დიდი მცხეთის სამაროვნებზე (წეროვანი II, IV; ნატახტარი III).

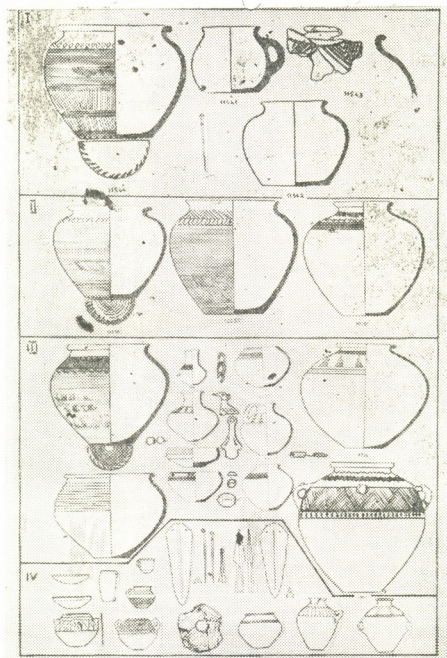
ამ ჭგუფში გმოიყო აღრინდელი (7, 62, 146, 163, 139) და გვიანდელი (145, 153, 160) სამარხები.

სამივე ჭგუფის არქეოლოგიური ძეგლები ქმნიან ბრინჯაოს ხანის ცენტრალურ-ამიერკავკასიური კულტურის [1] ქრონოლოგიურად თანამიმდევარ, წარმომავლობით ერთმანეთთან დაკავშირებული, ურთიერთმონაცვლე საფეხურებს.

ამრიგად, სამთავროს სამაროვნის აღრინდელი სამარხებისა და სამარხისეული კომპლექსების გამოყოფამ დადასტურა, რომ პირველ სამ ჭგუფში მოქაული თიხის ჭურჭელი გვიჩვენებს ცენტრალურ-ამიერკავკასიური ბრინჯაოს კულტურის უწყვეტ განვითარებას დიდი მცხეთის მიწა-წყალზეც. იგივე არ

ითქმის მეოთხე ჯგუფის ფოთლისებურსატევრისპირიანი კომპლექსების — ე. ტ.

შიდაქართლური გვიანბრინჯაოს კულტურისათვის ღამახასიათებელი თიხის ნა-



სურ. 1

წარმის, იარაღისა და სამკაულის შესახებ (სურ. 1, IV). ეს უკანასკნელი წარმო-
მავლობით არ არის დაკავშირებული წინა სამ ჯგუფთან, ე. ი. ცენტრალურ-
ამიერკავკასიურ კულტურას არ მიეკუთვნება და მისგან არ განვითარებულა.

მეოთხე ჯგუფის ძეგლების კავშირი თითქოს შეიმჩნევა მეტად ჯგუფის
გვიანდელი საფეხურის მასალებთან, რომელშიაც ჩანს ფოთლისებურსატევრის-
პირიანი კომპლექსებისათვის დამახასიათებელი ნიშნები: ზოომორფული ყური,
ჯამის ჰედატანის დანაკეცება, პარკეტსახის სამკაული.

ამ საფეხურზე, როდესაც თანაარსებობენ ცენტრალურ-ამიერკავკასიური
და შიდაქართლური კულტურები (გვიანბრინჯაო I-ის დასასრული — დ. წ.
XIII ს. შუაბანები), სამთავროს სამაროვანზე წყდება ცენტრალურ-ამიერკავ-
კასიური კულტურის შემდგომი განვითარება და თანდათან გზას იყაფას ფოთ-
ლისებურსატევრისპირიანი კომპლექსების, ე. ი. შიდაქართლური კულტურის
ელემენტები. ეს პროცესი შიდა ქართლის მოსახლეობის შემდგომი ეთნიკური
კონსოლიდაციის განსაზღვრული საფეხურის მაუწყებელიც არის და ამ ჩე-
გიონში ბრინჯაოს ხანის კავკასიური ცივილიზაციის ორი უალესად მნიშვნე-

ლოვანი ნაკადის — ცენტრალურ-ამიერკავკასიური და შიდაქართლური კულტურების ლოგიური კულტურების თანამიმდევრობა-განვითარების მქაფიო სურათსაც ასახავს.

საქართველოს სსრ მეცნიერებათა ეკადემია
ი. გ. გავახიშვილის სახ. ისტორიის, არქეოლოგიისა და
ეთნოგრაფიის ინსტიტუტის არქეოლოგიური
კვლევის ცენტრი

(ტემოვიდა 9.11.1985)

АРХЕОЛОГИЯ

В. Г. САДРАДЗЕ

ВОПРОСЫ ВЗАИМООТНОШЕНИЯ КУЛЬТУР ЦЕНТРАЛЬНОГО ЗАКАВКАЗЬЯ И ШИДА КАРТЛИ В ЭПОХУ БРОНЗЫ

Резюме

В статье исследованы погребальные комплексы из Самтаврского могильника, среди которых выделен археологический материал, характерный для культуры Центрального Закавказья эпохи бронзы.

Выделение ранних комплексов (I, II и III группы) доказало непрерывность развития культуры Центрального Закавказья на территории Великой Мцхета.

Керамика, оружие и украшения позднебронзовой эпохи, характерные для культуры Шида Картли (IV группа) показывают, что они не имеют генетической связи с тремя вышеуказанными группами, т. е. не относятся к культуре Центрального Закавказья.

На этапе (IV группа) сосуществования культур Центрального Закавказья и Шида Картли (середина XIII в. до н. э.) на Самтаврском могильнике прекращается дальнейшее развитие культуры Центрального Закавказья и появляются комплексы, содержащие листовидные кинжалы, т. е. элементы культуры Шида Картли.

ARCHAEOLOGY

V. G. SADRADZE

THE RELATIONSHIP OF THE CENTRAL TRANSCAUASICAN AND INNER KARTLI CULTURES IN THE BRONZE AGE

Summary

The article deals with the Late Bronze Age burial inventory discovered at the Samtavro burial ground. Among the finds archaeological material characteristic of the Central Transcaucasian culture have been identified.

A thorough analysis of the earlier complexes (groups I, II, III) has demonstrated the continuous development of the Central Transcaucasian culture in the territory of Greater Mtskheta, but pottery, weapons and ornaments of the Inner Kartli culture (group IV) are not connected with the three above-mentioned groups, does not belong to the Central Transcaucasian culture, nor is it related to it.

At the stage (IV group) of coexistence of the Central Transcaucasian and Inner Kartli cultures (in mid- 13th cent. B. C.) the further development of the Central Transcaucasian culture came to an end, and there appeared burial complexes containing daggers with leaf-shaped blades, i. e. elements of Inner Kartli culture.

ლიტერატურა — ЛИТЕРАТУРА — REFERENCES

1. ქ. ფიც ხელაური. აღმოსავლეთ საქართველოს ტომთა ისტორიის ძირითადი პრობლემები. თბილისი, 1973.
2. რ. აბრამიშვილი. თრელის შუა-და გვიანბრინჯაოს ხანის სამაროვანი, ტ. I. თბილისი, 1978.

К СВЕДЕНИЮ АВТОРОВ

1. В журнале «Сообщения АН ГССР» публикуются статьи академиков, членов-корреспондентов, научных работников системы Академии и других ученых, содержащие еще не опубликованные новые значительные результаты исследований. Печатаются статьи лишь из тех областей науки, номенклатурный список которых утвержден Президиумом АН ГССР.

2. В «Сообщениях» не могут публиковаться полемические статьи, а также статьи обзорного или описательного характера по систематике животных, растений и т. п., если в них не представлены особенно интересные научные результаты.

3. Статьи академиков и членов-корреспондентов АН ГССР принимаются непосредственно в редакции «Сообщений», статьи же других авторов представляются академиком или членом-корреспондентом АН ГССР. Как правило, академик или член-корреспондент может представить для опубликования в «Сообщениях» не более 12 статей разных авторов (только по своей специальности) в течение года, т. е. по одной статье в каждый номер, собственные статьи—без ограничения, а с соавторами—не более трех. В исключительных случаях, когда академик или член-корреспондент требует представления более 12 статей, вопрос решает главный редактор. Статьи, поступившие без представления, передаются редакцией академику или члену-корреспонденту для представления. Один и тот же автор (за исключением академиков и членов-корреспондентов) может опубликовать в «Сообщениях» не более трех статей (независимо от того, с соавторами она или нет) в течение года.

4. Статья должна быть представлена автором в двух экземплярах, в готовом для печати виде, на грузинском или на русском языке, по желанию автора. К ней должны быть приложены резюме—к грузинскому тексту на русском языке, а к русскому на грузинском, а также краткое резюме на английском языке. Объем статьи, включая иллюстрации, резюме и список цитированной литературы, приводимой в конце статьи, не должен превышать четырех страниц журнала (8000 типографских знаков), или шести стандартных страниц машинописного текста, отпечатанного через два интервала (статьи же с формулами—пяти страниц). Представление статьи по частям (для опубликования в разных номерах) не допускается. Редакция принимает от автора в месяц только одну статью.

5. Представление академика или члена-корреспондента на имя редакции должно быть написано на отдельном листе с указанием даты представления. В нем необходимо указать: новое, что содержится в статье, научную ценность результатов, насколько статья отвечает требованиям пункта 1 настоящего положения.

6. Статья не должна быть перегружена введением, обзором, таблицами, иллюстрациями и цитированной литературой. Основное место в ней должно быть отведено результатам собственных исследований. Если по ходу изложения в статье сформулированы выводы, не следует повторять их в конце статьи.

7. Статья оформляется следующим образом: вверху страницы в середине пишутся инициалы и фамилия автора, затем—название статьи; справа вверху представляющий статью указывает, к какой области науки относится она. В конце основного текста статьи с левой стороны автор указывает полное название и местонахождение учреждения, где выполнена данная работа.

8. Иллюстрации и чертежи должны быть представлены по одному экземпляру в конверте; чертежи должны быть выполнены черной тушью на кальке. Надписи на чертежах должны быть выполнены каллиграфически в таких размерах, чтобы даже в случае уменьшения они оставались отчетливыми. Подрисуночные подписи, сделанные на языке основного текста, должны быть представлены на отдельном листе. Не следует приклеивать фото и чертежи к листам оригинала. На полях оригинала автор отмечает карандашом, в каком месте должна быть помещена та или иная иллюстрация. Не должны представляться таблицы, которые не могут уместиться на одной странице журнала. Формулы должны быть четко вписаны чернилами.

ми в оба экземпляра текста; под греческими буквами проводится одна черта красным карандашом, под прописными — две черты черным карандашом снизу, под строчными — также две черты черным карандашом сверху. Карандашом должны быть обведены полукругом индексы и показатели степени. Резюме представляются на отдельных листах. В статье не должно быть исправлений и дополнений карандашом или чернилами.

9. Список цитированной литературы должен быть отпечатан на отдельном листе в следующем порядке. Вначале пишутся инициалы, а затем — фамилия автора. Если цитирована журнальная работа, указываются сокращенное название журнала, том, номер, год издания. Если автор считает необходимым, он может в конце указать и соответствующие страницы. Список цитированной литературы приводится не по алфавиту, а в порядке цитирования в статье. При ссылке на литературу в тексте или в сносках номер цитируемой работы помещается в квадратные скобки. Не допускается вносить в список цитированной литературы работы, не упомянутые в тексте. Не допускается также цитирование неопубликованных работ. В конце статьи, после списка цитированной литературы, автор должен подписаться и указать место работы, занимаемую должность, точный домашний адрес и номер телефона.

10. Краткое содержание всех опубликованных в «Сообщениях» статей печатается в реферативных журналах. Поэтому автор обязан представить вместе со статьей ее реферат на русском языке (в двух экземплярах).

11. Автору направляется корректура статьи в сверстанном виде на строго ограниченный срок (не более двух дней). В случае невозвращения корректуры к сроку редакция вправе приостановить печатание статьи или печатать ее без визы автора.

12. Автору выдается бесплатно 25 оттисков статьи.

(Утверждено Президиумом Академии наук Грузинской ССР 10.10.1968; внесены изменения 6.2.1969)

Адрес редакции: Тбилиси 60, ул. Кутузова, 19, телефоны: 37-22-16, 37-86-46.

Почтовый индекс 380060

Условия подписки: на год — 22 руб. 80 коп.

1. კურნალ საქართველოს სსრ მცნიერებათა აკადემიის მომზეში "კვეყნდება აკადემიკოსთა და წერტორესპონდენტთა, აკადემიის სისტემაში მომუშავე და სხვ მცნიერთა მოქალა წერილები, რომლებიც შეიცავს აალ მნიშვნელოვან გამოყვლევთა ჯერ გმოსურვეყვნებელ შედეგებს. წერილები კვეყნდება მხოლოდ იმ სამცნიერო დაზებითან, რომელთა ნომენკლატურული სია დამტკიცებულია აკადემიის პრეზიდიუმის მიერ.

2. „მოაბეში“ ან უეილება გამოქვეყნდეს პოლემიკური წერილი, აღრეთვე მიმოხილვითი ან აღწერითი ხსიათის წერილი ცხოველთა, მცენარეთა ან სხვათა სისტემატიკაზე, თუ მასში მოცემული არა მცნიერებისათვის განსაკუთრებით საინტერესო უდევები.

3. საქართველოს სსრ მცირებულებათა აკადემიის აკადემიკოსთა და წევრ-კორესპონდენტთა წერილები უშუალოდ გადაუცემა გამოსაქვეყნებლად „მთამბის“ რედაქციას, ხოლო სხვა ავტორთა წერილები ქვეყნება აკადემიკოსთა ან წევრ-კორესპონდენტთა წარდგინებით. როგორც წესი, აკადემიკოსს ან წევრ-კორესპონდენტს „მთამბიში“ დასახელდად წელიწადში შეუძლო წარმოადგინოს სხვა აგრძოთა ორა უმეტეს 12 წერილისა (მხოლოდ თვეისი სპეციალობის მიხედვით), ე. ი. თოთვეულ ნომერში თთო წერილი. სკუთარი წერილი — რაც გამოიცა სტურს, ხოლო თანაგრძოლებების ერთა არა უმეტეს სამი წერილისა. გამონაცლის შემთხვევაში როცა აკადემიკოსი ან წევრ-კორესპონდენტი მოითხოვს 12-ზე მეტი წერილის წარდგინას, საკითხს წყვეტს მთავარი რედაქტორი. წარდგინების გატაშე შემოსულ წერილს „მთამბის“ რედაქცია წარმოადგენად გადასცემს აკადემიკოსს ან წევრ-კორესპონდენტს. ერთსა და იმავე ავტორს (გაზრდა აკადემიკოსისა და წევრ-კორესპონდენტისა) წელიწადში შეუძლია „მთამბიში“ გამოაცემონოს არა უმეტეს სამი წერილისა (სულ ერთია, თანაგრძოლებთან იქნება იგი, თუ ცალკე).

4. წერილი წარმოდგენილი უნდა იყოს ორ ცალია, დასაბეჭდად სავსებით მზა სახით, ვეროზოს სურვილისამებრ ქართულ ან რუსულ ენაზე. ქართულ ტექსტს თან უნდა ახლდეს რუსული და მოკლე ინგლისური რეზიუმე, ხოლო რუსულ ტექსტს — ქართული და მოკლე ინგლისური რეზიუმე. წერილის მოცულობა ილუსტრაციებითა, რეზიუმეებითა და დამოუწესელი ლიტერატურის ცნებითთვის, რომელიც მას ბოლოში ერთვის, არ უნდა აღმოჩენილი გურანალის 4 გვერდს (8000 სასტამბო ნიშანი), ანუ საწერ მანქანაზე ორი ინტერვალით გადაწერილ 6 სტანდარტულ გვერდს (ფორმულებითან წერილი კი 5 გვერდს). არ შეიძლება წერილების ნიშილებად დაყოფა სხვადასხვა ნომერში გრძელებუნებლად. ვეტოზოსაგან რეაქცია ლიტერატურის თვეში მხოლოდ ერთ წერილს.

6. წერილი არ უნდა იყოს გადატვირთული შესავლით, მიმოხილვით, ცხრილებით, იღუსტურად იყენებითა და დამზიდებული ლიტერატურით. გასში მთავარი აღვილი უნდა ჰქონდეს დამოკიდილი სკუთარი გამოყვლევის შედეგებს. თუ წერილში გზადგიშა, ძევთავების მიხედვით გადმოიყენება დასკვნები, მაშინ სკურრ არა მათ გამოიყენება წერილის ბოლოს.

7. წერილი ასე ფორმდება: თავში ზემოთ უნდა დაიწეროს ატრიბუტის ინიციალები და გვარი. ქვემთ — წერილის სათაური. ზემოთ მარცვენა მხატვეს, წარმომდგენმა უნდა წარეჩროს, თუ მეცნიერების რომელ დარგს განკუთვნება წერილი. წერილის ძირითადი ტექსტის პოლოს, მარცვენა მხატვეს, ატრიტუმა უნდა აღიშვინოს იმ დაწესებულების სრული სახელწოდება და ადგილმდებარეობა, სადაც შესრულობულია შრომა.

8. ილუსტრაციები და ნახატები წარმოდგენილ უნდა იქნეს თითო ცალკე კონვენტით. მასთან, ნახატები შესრულებული უნდა იყოს კალვაზე შავი ტუშით. წარწერები ნახატებს უნდა გაუკეთდეს კალიგრაფიულად და ისეთი ზომისა, რომ შეგვიძების შემთხვევაშიც ყარგად იკოთხებოდეს. ილუსტრაციების ქვემო წარწერების ტექსტი წერილის ძირითადი ტექსტის ენაზე წარმოდგენილ უნდა იქნეს ცალკე ფურცელზე, არ შეიძლება ფორმებისა და ნახატების დაწერება დღინის გვერდისზე. ვეტორმა დღინის კიდეზე ფანჯრით უნდა აღნიშვნოს, რა ადგილას მოთავსდეს ესა თუ ის ილუსტრაცია. არ შეიძლება წარმოდგენილ იქნეს ისეთი ცხრილი, რომელიც უურნალის ერთ გვერდზე ვერ მოთავსდება. ფორმულები მელნით შეა-

ფილატონი უნდა იყოს ჩაწერილი ტექსტის ორივე ეგზემპლარში, ბერძნულ ასოებს ქვემოთ ცალკეული განკვეთის თითო ხაზი წითელი ფანჯრით, მთავრულ ასოებს — ქვემოთ ორ-ორი ხაზი შეკრით. ტანჯრითვე უნდა შემოიფარგლოს ნახევარწრით ნიშნავებიც (ინდექსები და ხარისხის მაჩვენებლები). რეზიუმეები წარმოდგენილ უნდა იქნეს ცალ-ცალკე ფურცლებშე. წერილში არ უნდა იყოს ჩამატებები და ჩამატებები ფანჯრით ან მელით.

9. ღმოწმებულ ლიტერატურა უნდა დაბეჭდოს ცალკე ფურცლებშე. საჭიროა დაცული იქნეს ასეთი თანმიმდევრობა: ავტორის ინიციალები, გვარი. თუ დამოწმებულია საჭურნალ შრომა, კურტენთ ფურნალის შემოკლებული სახელწოდება, ტრომი, ნომერი, გამოცემის წელი. თუ დამოწმებულია წიგნი, აუცილებელია კურტენთ მისი სრულ სახელწოდება, გამოცემის ადგილი და წელი. თუ ავტორი საჭიროდ მიიჩნევს, ბოლოს შეუძლია გვერდების ნუმერაციაც უჩვენოს. დამოწმებული ლიტერატურა უნდა დალაგდეს არა ანბანური წესით, არამედ დამოწმების თანმიმდევრობით. ლიტერატურის მისათხოებლად ტექსტისა თუ შენიშვნებში კვადრატულ ფრჩხილებში ნაჩვენები უნდა იყოს შესაბამისი ნომერი დამოწმებული შრომისა. არ უძინულია დამოწმებული ლიტერატურის ნუსხაში შევიტანოთ ისეთი შრომა, რომელიც ტექსტში მითითებულია არ არის. ასევე არ შეიძლება გამოუქვეყნებელი შრომის დამოწმება დამოწმებული ლიტერატურის ბოლოს ავტორმა უნდა მოაწეროს ხელი, აღნიშნოს სად მუშაობს და რა თანამდებობაზე, უჩვენოს თავისი ზუსტი მისამართი და ტელეფონის ნომერი.

10. „მოამბეში“ გამოქვეყნებული ყველა წერილის მოკლე შინაარსი იბეჭდება რეფერატულ ურუნალში. ამიტომ ავტორმა წერილთან ერთად აუცილებლად უნდა წარმადგინოს მისი რეფერატი რუსულ ენაზე (ორ ცალდდ).

11. ავტორს წასაკითხად ეძლევა თავისი წერილის გვერდებად შეკრული კორექტურა მეცანურად განსაზღვრული ვალით (არაუმეტეს ორი დღისა). თუ დადგენილი ვალისათვის კორექტურა არ იქნა დაბრუნებული, რედაქტირა უფლება აქვს შეაჩეროს წერილის დაბეჭდვა ან დაბეჭდოს იგი ავტორის ვიზის გარეშე.

12. ავტორს უფასოდ ეძლევა თავისი წერილის 25 ამონაბეჭდი.

(დამტკიცებულია საქართველოს სსრ მეცნიერებათა აკადემიის პრეზიდიუმის მიერ 10.10.1968; შეტანილია ცვლილები 6.2.1969)

რედაქციის მისამართი: თბილისი 60, კუტუროვის ქ. № 19; ტელ. 37-22-16, 37-86-42

საფოსტო ინდექსი 380060

ხელმოწერის პიროვნები: ერთო წლით 22 მან. 80 კაჲ.